



วิทยานิพนธ์

การศึกษาคุณภาพน้ำและดินตะกอนที่เหมาะสมต่อความอุดมสมบูรณ์
ของหญ้าทะเลในประเทศไทย

**STUDY ON OPTIMUM QUALITIES OF WATERS AND
SEDIMENTS FOR ABUNDANCE OF SEAGRASSES IN
THAILAND**

นายชาคริต เรืองสอน

บัณฑิตวิทยาลัย มหาวิทยาลัยเกษตรศาสตร์
พ.ศ. 2550



ใบรับรองวิทยานิพนธ์

บัณฑิตวิทยาลัย มหาวิทยาลัยเกษตรศาสตร์

วิทยาศาสตร์ธรรมชาติ (วิทยาศาสตร์ทางทะเล)

ปริญญา

วิทยาศาสตร์ทางทะเล

สาขา

วิทยาศาสตร์ทางทะเล

ภาควิชา

เรื่อง การศึกษาคุณภาพน้ำและดินตะกอนที่เหมาะสมต่อความอุดมสมบูรณ์ของหญ้าทะเลในประเทศไทย

Study on Optimum Qualities of Waters and Sediments for Abundance of Seagrasses in Thailand

นามผู้วิจัย นายชาคริต เรืองสอน

ได้พิจารณาเห็นชอบโดย

ประธานกรรมการ

(รองศาสตราจารย์ชัยธงชัย เมฆสัมพันธ์, Ph.D.)

กรรมการ

(รองศาสตราจารย์ศรีวนิช เพ็ชร์พิรุณ, Ph.D.)

กรรมการ

(รองศาสตราจารย์จารุมาศ เมฆสัมพันธ์, Ph.D.)

หัวหน้าภาควิชา

(ผู้ช่วยศาสตราจารย์สุนันท์ กัตรจินดา, วท.ม.)

บัณฑิตวิทยาลัย มหาวิทยาลัยเกษตรศาสตร์รับรองแล้ว

รองศาสตราจารย์วินัย อาจคงหาญ, M.A.

คณบดีบัณฑิตวิทยาลัย

วันที่ เดือน พ.ศ.

วิทยานิพนธ์

เรื่อง

การศึกษาคุณภาพน้ำและดินตะกอนที่เหมาะสมต่อความอุดมสมบูรณ์ของหญ้าทะเลในประเทศไทย

Study on Optimum Qualities of Waters and Sediments for Abundance of Seagrasses in Thailand

โดย

นายชาคริต เรืองสอน

เสนอ

บัณฑิตวิทยาลัย มหาวิทยาลัยเกษตรศาสตร์

เพื่อความสมบูรณ์แห่งปริมาณวิทยาศาสตร์มหาบัณฑิต (วิทยาศาสตร์ทางทะเล)

พ.ศ. 2550

ชาคริต เรืองสอน 2550: การศึกษาคุณภาพน้ำและดินตะกอนที่เหมาะสมต่อความอุดมสมูรณ์ของหญ้าทะเลในประเทศไทย ปริญญาวิทยาศาสตร์บัณฑิต (วิทยาศาสตร์ทางทะเล) สาขาวิทยาศาสตร์ทางทะเล ภาควิชาวิทยาศาสตร์ทางทะเล ประธานกรรมการที่ปรึกษา: รองศาสตราจารย์เชษฐพงษ์ เมฆสันพันธ์, Ph.D. 207 หน้า

การศึกษาคุณภาพน้ำและดินตะกอนที่เหมาะสมต่อความอุดมสมูรณ์ของหญ้าทะเลในประเทศไทยในครั้งนี้ ได้ดำเนินการในพื้นที่แหล่งหญ้าทะเลบริเวณชายฝั่งทะเลอ่าวไทยและชายฝั่งทะเลอันดามันรวม 4 พื้นที่ ได้แก่ 1) อ่าวคุ้งกระเบน จังหวัดจันทบุรี 2) หมู่เกาะช้าง จังหวัดตราด 3) เกาะจง จังหวัดพังงา และ 4) เกาะลันตาใหญ่ จังหวัดกระบี่ โดยทำการสำรวจภาคสนามในช่วงเดือนเมษายน พ.ศ. 2548 จนถึงเดือนมกราคม พ.ศ. 2549 ผลการศึกษา พบหญ้าทะเลทั้งสิ้น 6 ชนิด ได้แก่ *Enhalus acoroides* *Halodule pinifolia* *Halodule uninervis* *Halophila ovalis* *Halophila decipiens* และ *Cymodocea serrulata* โดยพบมวลชีวภาพของหญ้าทะเลสีชนิดหลักประกอบด้วย *Enhalus acoroides* *Halodule pinifolia* *Halophila ovalis* และ *Halophila decipiens* มีค่าระหว่าง 28.01-86.47 3.34-81.61 27.69-40.15 และ 0.15-1.60 กรัมน้ำหนักแห้งต่ำตระหง่านเมตร ตามลำดับ ผลการศึกษาปัจจัยสิ่งแวดล้อมบริเวณแหล่งหญ้าทะเล พบริมาณออกซิเจนละลายน้ำ ความเป็นกรดเป็นด่าง ความเค็ม และอุณหภูมิ อยู่ในช่วง 5.1 -11.3 มิลลิกรัมต่อลิตร 7.56-8.64 14.86-33.94 psu และ 28.9-34.4 องศาเซลเซียส ตามลำดับ ส่วนระดับชาต้อาหารในน้ำระหว่างอนุภาคดินตะกอนที่ความลึก 0-1 เซนติเมตร ณ ตำแหน่งที่มีหญ้าทะเลขึ้นอยู่ พบรความเข้มข้นของเอมโนเนียม-ในโตรเจน ชิลิกอน-ชิลิกอน และ ออร์โซฟอสเฟต-ฟอสฟอรัส มีค่าระหว่าง 2.93-91.63 1.11-8.62 μM และ 0.04-0.99 μM ตามลำดับ ผลการวิเคราะห์ความสัมพันธ์ระหว่างมวลชีวภาพของหญ้าทะเลและปัจจัยทางคุณภาพน้ำและดินตะกอน แสดงให้เห็นว่าหญ้าทะเลชนิดหลักแต่ละชนิดมีความอุดมสมูรณ์ภายนอกต่อระดับของชีวภาพลักษณะที่มีความจำเพาะ โดยหญ้าทะเลดังกล่าวได้รับอิทธิพลอย่างชัดเจนจากระดับของชาต้อาหารภายนอกต่อระดับของชีวภาพในดินในช่วงจำเพาะ ได้แก่ เอมโนเนียม-ในโตรเจน (424.39-530.34 μM) ชิลิกอน-ชิลิกอน (40.00-54.97 μM) และออร์โซฟอสเฟต-ฟอสฟอรัส (5.54-6.77 μM) ตามลำดับ ระดับชาต้อาหารสามารถนำมาประยุกต์ใช้เพื่อการพิจารณาหาพื้นที่ที่มีศักยภาพในการพัฒนาเป็นแหล่งหญ้าทะเลแห่งใหม่ได้ต่อไป

Chakhrit Ruengsorn 2007: Study on Optimum Qualities of Waters and Sediments for Abundance of Seagrasses in Thailand. Master of Science (Marine Science), Major Field: Marine Science, Department of Marine Science. Thesis Advisor: Associate Professor Shettapong Meksumpun, Ph.D. 207 pages.

Research on water and sediment optimal qualities for abundance of seagrasses around the coastal area of the Gulf of Thailand and the Andaman sea was carried out in 4 major seagrass beds; (1) Kungkraben Bay of Chantaburi Province, (2) Chang Islands of Trat Province, (3) Chong Island of Pangnga Province, and (4) Lanta Yai Island of Krabi Province by field survey during April 2005 to January 2006. Six species of seagrasses included *Enhalus acoroides*, *Halodule pinifolia*, *Halodule uninervis*, *Halophila ovalis*, *Halophila decipiens*, and *Cymodocea serrulata* were found. Biomass of *Enhalus acoroides*, *Halodule pinifolia*, *Halophila ovalis*, and *Halophila decipiens* ranged between 28.01-86.47, 3.34-81.61, 27.69-40.15, and 0.15-1.60 g-dry weight.m⁻², respectively. The analysis of impacts of environmental factors among seagrass meadows can imply that the limitation of seagrass growth were depended on optimum level of water and sediment qualities. Through water qualities were measured namely, the ranges of dissolve oxygen, pH, salinity, and temperature were between 5.1-11.3 mg.L⁻¹, 7.56-8.64, 14.86-33.94 psu, and 28.9-34.4 °C, respectively. In a case of pore water nutrient of surface sediment (0-1cm depth), the result indicated that concentrations of ammonium-nitrogen, silicate-silicon, and orthophosphate-phosphorus ranged between 2.93-91.63, 1.11-8.62, and 0.04-0.99 μM, respectively. Analysis on relationship among seagrass biomass and environmental factors in water and sediment indicated that each seagrass abundance had optimal growth in specific circumstance and were significantly influenced by pore water nutrients of NH₄⁺-N (424.39-530.34 μM), Si(OH)₄-Si (40.00-54.97 μM), PO₄³⁻-P (5.54-6.77 μM), respectively. Such levels were invaluable for transplant site selection so as to develop new seagrass beds in near future.

Student's signature

Thesis Advisor's signature

กิตติกรรมประกาศ

กราบขอบพระคุณรองศาสตราจารย์เชษฐพงษ์ เมมสัมพันธ์ ประธานกรรมการที่ปรึกษาที่กرعณาให้ความรู้ในศาสตร์ทางสาขาวิชา และแนวทางการคิดซึ่งเป็นประโยชน์ต่อการทำงานเพื่อการอยู่ร่วมกันในสังคม อีกทั้งยังร่วมทุ่มเทกำลังกายและใส่ใจในงานของศิษย์ทุกคน

กราบขอบพระคุณรองศาสตราจารย์ครรัตน์ เพ็ชรพิรุณ กรรมการวิชาเอก ในความกรุณาที่ได้ให้คำปรึกษาในการเรียนและการจัดทำวิทยานิพนธ์ กราบขอบพระคุณรองศาสตราจารย์จารุมาศ เมมสัมพันธ์ กรรมการวิชาการ สำหรับคำปรึกษาในทิศทางของวิทยานิพนธ์ รวมถึงการถ่ายทอดองค์ความรู้เกี่ยวกับนิเวศวิทยา โดยเฉพาะนิเวศวิทยาของดินตะกอนอย่างลึกซึ้ง ตลอดจน ความอาใจใส่ติดตามความก้าวหน้าและปัญหาเกี่ยวกับวิทยานิพนธ์อยู่เป็นนิจ

กราบขอบพระคุณผู้ช่วยศาสตราจารย์แสงเทียน อัจฉิมางกุล อาจารย์ศันสนีย์ หวังวรลักษณ์ และอาจารย์จันทร์ ศรีสมวงศ์ ที่ให้การช่วยเหลือ ติดต่อประสานงาน และดูแลความเป็นอยู่ตลอด การปฏิบัติงานภาคสนามจนกระทั่งงานบรรลุผลไปด้วยดี กราบขอบพระคุณผู้ช่วยศาสตราจารย์ ชัชรี แก้วสุรลิบิต ที่ได้มอบความรู้เกี่ยวกับศาสตร์ของหญ้าทะเลทั้งในวิชาเรียนและในห้องเรียน ธรรมชาติของหญ้าทะเล

กราบขอบพระคุณพ่อชิดประเสริฐ และแม่วิภา เรืองสอน ที่ได้ให้ความสำคัญและสนับสนุนการศึกษาเรื่อยมา อีกทั้งพี่ศันสนีย์ พี่สรรสิริญ พี่ดันย และพี่เยาวเรศ เรืองสอน สำหรับความห่วงใยและแคลอญญา疼

ท้ายที่สุด ขอขอบคุณคุณภัททิรา เกynomคิริ คุณโต และคุณนพดล ที่เป็นทั้งกำลังกายและใจในการทำงาน และขอขอบคุณคุณบุณฑริกา ทองคงนพุ่ม คุณชิระ อ้วมอิม คุณพฤหัส จันทร์นวล คุณนัฐพงษ์ ล้ออัศจรรย์ คุณณิศา ถาวร ไสตร์ คุณนิสา เพิ่มศิริวัฒน์ คุณอริงค์ เวชลีทัช คุณภัทรา วุฒิ ไทยพิชิตบูรพา คุณจริยา กันดำเนิด คุณชยารัตน์ ตันชนะสุขดี และพี่น้องที่มิได้กล่าวถึง ผู้ซึ่งเป็นเหล่าแรงงานในชุดครุยลายคราม โคลน

ชาคริต เรืองสอน
พฤษภาคม 2550

(1)

สารบัญ

หน้า

สารบัญ	(1)
สารบัญตาราง	(2)
สารบัญภาพ	(4)
คำนำ	1
วัตถุประสงค์	3
การตรวจเอกสาร	4
อุปกรณ์และวิธีการ	26
อุปกรณ์	26
วิธีการ	28
ผลการศึกษา	45
วิจารณ์ผลการศึกษา	147
สรุปผลการศึกษา	167
ข้อเสนอแนะ	174
เอกสารและสิ่งอ้างอิง	176
ภาคผนวก	186

สารบัญตาราง

ตารางที่	หน้า
1 ช่วงความผันแปรของความเค็มในลิ่งแวงค์ล้อมทะเลประเทกต่าง ๆ	22
2 การจำแนกชนิดของดินตะกอนตามขนาด โดยวิธีของ Wentworth	22
3 ความสัมพันธ์ระหว่างชนิดของหินทางเลกับลักษณะของดินตะกอนที่เป็นพื้นที่อยู่อาศัย	23
4 พิกัดจุดสถานีเก็บตัวอย่าง	40
5 มวลชีวภาพส่วนเหนือดินและส่วนใต้ดินของหินทางเลตามพื้นที่ศึกษาในช่วงเดือนเมษายน พ.ศ. 2548 ถึงเดือนมกราคม พ.ศ. 2549	54
6 คุณภาพนำ้มริเวนพื้นที่ศึกษา	58
7 ช่วงของปริมาณอนุภาคดินตะกอน (ร้อยละ) ระดับความลึก 0-5 เซนติเมตร ที่เหมาะสมต่อการอยู่อาศัยตามชนิดของหินทางเล	125
8 มวลชีวภาพสูงสุดและคุณภาพดินตะกอนที่ระดับความลึก 0-1 เซนติเมตร และปริมาณอนุภาคดินตะกอนขนาดต่าง ๆ ที่ระดับความลึก 0-5 เซนติเมตร	126
9 ช่วงความเข้มข้นของชาตุอาหาร ในน้ำที่หินทางเลแต่ละชนิดอาศัยอยู่ได้	137
10 ช่วงของความเค็มและอุณหภูมิที่หินทางเลแต่ละชนิดอาศัยอยู่ได้	139
11 ช่วงของปริมาณสารอินทรีย์รวมในดินตะกอนที่หินทางเลแต่ละชนิดอาศัยอยู่ได้	143
12 องค์ประกอบของดินตะกอนบริเวณแหล่งหินทางเลแต่ละชนิด	144
13 มวลชีวภาพของหินทางเลที่พบในประเทศไทยตั้งแต่ปี พ.ศ. 2531-2546	145
14 ความยาวใบ (เซนติเมตร) ความหนาแน่น (ต้นต่อตารางเมตร) และมวลชีวภาพของหินทางเล (กรัมต่ำหนักแห้งต่อตารางเมตร) ของหินทางเลชนิด <i>Enhalus acoroides</i> บริเวณอ่าวคุ้งกระเบน	159
15 สัดส่วนระหว่างปริมาณแอมโมเนียม-ไนโตรเจน ($\mu\text{g-at-N}$) และฟอสฟे�ต-ฟอสฟอรัส ($\mu\text{g-at-P}$) ในน้ำหนึ่งผิวดินและในน้ำระหว่างอนุภาคดินตะกอน	160

สารบัญตาราง (ต่อ)

ตารางที่		หน้า
16	ค่าสัมประสิทธิ์การตัดสินใจระหว่างคุณภาพดินตะกอนและมวลชีวภาพที่ระดับความลึกทุก ๆ 1 เซนติเมตร และทุก ๆ 5 เซนติเมตร	162
17	ค่าสัมประสิทธิ์การตัดสินใจระหว่างคุณภาพดินตะกอนและมวลชีวภาพที่ระดับความลึกดินตะกอน 0-4 เซนติเมตร และ 0-25 เซนติเมตร	163
18	ค่าสัมประสิทธิ์การตัดสินใจระหว่างขนาดอนุภาคดินตะกอนที่ระดับความลึก 0-5 เซนติเมตร และมวลชีวภาพ	164
19	ปริมาณอนุภาคดินตะกอนเฉลี่ยระดับความลึก 0-5 เซนติเมตร	164
20	ผลต่างของความเข้มข้นของชาต้อาหาร ในน้ำระหว่างอนุภาคดินตะกอนเฉลี่ยที่ระดับความลึก 0-4 เซนติเมตร ระหว่างบริเวณที่มีหญ้าทะเลและบริเวณที่ไม่มีหญ้าทะเล	165
21	สัดส่วนระหว่างโมเลกุลของแอมโมเนียม-ในโตรเรนต์ซิลิกेट-ซิลิกอน และแอมโมเนียม-ในโตรเรนต์ฟอสเฟต-ฟอสฟอรัสของน้ำระหว่างอนุภาคดินตะกอนบริเวณแหล่งหญ้าทะเล	166
22	สัดส่วนขององค์ประกอบดินตะกอนระหว่างบริเวณที่มีหญ้าทะเลและบริเวณที่ไม่มีหญ้าทะเล	166

ตารางผนวกที่

1	คุณภาพน้ำทะเลบริเวณแหล่งหญ้าทะเลแต่ละชนิด	189
2	คุณภาพดินตะกอนบริเวณแนวหญ้าทะเลชนิด <i>Enhalus acoroides</i>	191
3	คุณภาพดินตะกอนบริเวณแนวหญ้าทะเลชนิด <i>Enhalus acoroides Halodule pinifolia Halophila ovalis</i> และ <i>H. decipiens</i>	195
4	องค์ประกอบของดินตะกอนตามชนิดของหญ้าทะเล	199
5	มวลชีวภาพของหญ้าทะเลที่พับในประเทศไทยตั้งแต่ปี พ.ศ. 2531-2546	202

สารบัญภาพ

ภาพที่	หน้า
1 หญ้าทะเลที่พบในประเทศไทย	5
2 ลักษณะทั่วไปของหญ้าทะเล	6
3 ภาคตัดขวางของใบหญ้าทะเลชนิด <i>Enhalus acoroides</i>	8
4 ดอกเพชรผู้ ดอกเพชรเมีย และผลขนาดต่าง ๆ ของหญ้าทะเลชนิด <i>Enhalus acoroides</i>	10
5 การแพร่กระจายของหญ้าทะเลบริเวณต่าง ๆ ทั่วโลก	11
6 แผนที่แสดงจุดเก็บตัวอย่าง พื้นที่ที่ 1 อ่าวคุ้งกระเบน จังหวัดจันทบุรี	36
7 แผนที่แสดงจุดเก็บตัวอย่าง พื้นที่ที่ 2 เกาะช้าง จังหวัดตราด บริเวณเกาะไม้ชี้เล็ก เกาะรัง และเกาะคลุ่ม	37
8 แผนที่แสดงจุดเก็บตัวอย่าง พื้นที่ที่ 3 เกาะจง จังหวัดพังงา	38
9 แผนที่แสดงจุดเก็บตัวอย่าง พื้นที่ที่ 4 เกาะลันตาใหญ่ จังหวัดกระบี่ บริเวณหาด คลองดาวและหาดเจี้ยหดี	39
10 ชนิดของหญ้าทะเลที่พบระหว่างการสำรวจเดือนเมษายน พ.ศ. 2548 ถึงเดือน มกราคม พ.ศ. 2549	49
11 ลักษณะของแหล่งหญ้าทะเลแต่ละพื้นที่ศึกษาระหว่างการสำรวจในเดือนเมษายน พ.ศ. 2548 ถึงเดือนมกราคม พ.ศ. 2549	50
12 ความเข้มข้นของแอมโมเนียม-ไนโตรเจนในน้ำระหว่างอนุภาคคิดเหตุ (μM) ที่ระดับความลึก 0-1 เซนติเมตร บริเวณอ่าวคุ้งกระเบน จังหวัดจันทบุรี	61
13 ความเข้มข้นของแอมโมเนียม-ไนโตรเจนในน้ำระหว่างอนุภาคคิดเหตุ (μM) ที่ระดับความลึก 0-1 เซนติเมตร และ 0-5 เซนติเมตร ในแนวหญ้าทะเลบริเวณอ่าว คุ้งกระเบน จังหวัดจันทบุรี	62
14 ความเข้มข้นของแอมโมเนียม-ไนโตรเจนในน้ำระหว่างอนุภาคคิดเหตุ (μM) ที่ระดับความลึก 0-1 เซนติเมตร ในแนวหญ้าทะเลบริเวณหมู่เกาะช้าง จังหวัด ตราด	63
15 ความเข้มข้นของแอมโมเนียม-ไนโตรเจนในน้ำระหว่างอนุภาคคิดเหตุ (μM) ที่ระดับความลึก 0-1 เซนติเมตร บริเวณเกาะจง จังหวัดพังงา	63

สารบัญภาพ (ต่อ)

ภาพที่	หน้า
16 ความเข้มข้นของแอมโมนีียม-ในไตรเจนในน้ำระหว่างอนุภาคคินตะกอน (μM) ที่ระดับความลึก 0-1 เซนติเมตร บริเวณหาดคลองดาว บริเวณเกาะลันตาใหญ่ จังหวัดกระบี่	64
17 ความเข้มข้นของแอมโมนีียม-ในไตรเจนในน้ำระหว่างอนุภาคคินตะกอน (μM) ที่ระดับความลึก 0-1 เซนติเมตร และ 0-5 เซนติเมตร บริเวณหาดเจี้ยหลี เกาะลันตาใหญ่ จังหวัดกระบี่	65
18 ความเข้มข้นของแอมโมนีียม-ในไตรเจนในน้ำระหว่างอนุภาคคินตะกอน (μM) ที่ระดับความลึก 0-1 เซนติเมตร และ 0-5 เซนติเมตร บริเวณหาดเจี้ยหลี ในแนวหญ้าทะเล เกาะลันตาใหญ่ จังหวัดกระบี่	66
19 ความเข้มข้นของซิลิกेट-ซิลิคอนในน้ำระหว่างอนุภาคคินตะกอน (μM) ที่ระดับความลึก 0-1 เซนติเมตร บริเวณอ่าวคุ้งกระเบน จังหวัดจันทบุรี	68
20 ความเข้มข้นของซิลิกेट-ซิลิคอนในน้ำระหว่างอนุภาคคินตะกอน (μM) ที่ระดับความลึก 0-1 เซนติเมตร และ 0-5 เซนติเมตร ในแนวหญ้าทะเลบริเวณอ่าวคุ้งกระเบน จังหวัดจันทบุรี	69
21 ความเข้มข้นของซิลิกेट-ซิลิคอนในน้ำระหว่างอนุภาคคินตะกอน (μM) ที่ระดับความลึก 0-1 เซนติเมตร ในแนวหญ้าทะเลบริเวณหมู่เกาะช้าง จังหวัดตราด	70
22 ความเข้มข้นของซิลิกेट-ซิลิคอนในน้ำระหว่างอนุภาคคินตะกอน (μM) ที่ระดับความลึก 0-1 เซนติเมตร บริเวณเกาะจง จังหวัดพังงา	70
23 ความเข้มข้นของซิลิกेट-ซิลิคอนในน้ำระหว่างอนุภาคคินตะกอน (μM) ที่ระดับความลึก 0-1 เซนติเมตร บริเวณหาดคลองดาว เกาะลันตาใหญ่ จังหวัดกระบี่	71
24 ความเข้มข้นของซิลิกेट-ซิลิคอนในน้ำระหว่างอนุภาคคินตะกอน (μM) ที่ระดับความลึก 0-1 เซนติเมตร และ 0-5 เซนติเมตร บริเวณหาดเจี้ยหลี เกาะลันตาใหญ่ จังหวัดกระบี่	72

สารบัญภาพ (ต่อ)

ภาพที่	หน้า
25 ความเข้มข้นของซิคิเกต-ซิลิกอนในน้ำระหว่างอนุภาคดินตะกอน (μM) ที่ระดับความลึก 0-1 เซนติเมตร และ 0-5 เซนติเมตร ในแนวที่ทางเดินบริเวณหาดเจี้ยห์หลี เกาะลันตาใหญ่ จังหวัดกระนี่	73
26 ความเข้มข้นของออร์โธฟอสเฟต-ฟอสฟอรัสในน้ำระหว่างอนุภาคดินตะกอน (μM) ที่ระดับความลึก 0-1 เซนติเมตร บริเวณอ่าวคุ้งกระเบน จังหวัดจันทบุรี	75
27 ความเข้มข้นของออร์โธฟอสเฟต-ฟอสฟอรัสในน้ำระหว่างอนุภาคดินตะกอน (μM) ที่ระดับความลึก 0-1 เซนติเมตร และ 0-5 เซนติเมตร ในแนวที่ทางเดินบริเวณอ่าวคุ้งกระเบน จังหวัดจันทบุรี	76
28 ความเข้มข้นของออร์โธฟอสเฟต-ฟอสฟอรัสในน้ำระหว่างอนุภาคดินตะกอน (μM) ที่ระดับความลึก 0-1 เซนติเมตร ในแนวที่ทางเดินบริเวณหมู่เกาะช้าง จังหวัดตราด	77
29 ความเข้มข้นของออร์โธฟอสเฟต-ฟอสฟอรัสในน้ำระหว่างอนุภาคดินตะกอน (μM) ที่ระดับความลึก 0-1 เซนติเมตร บริเวณเกาะจง จังหวัดพังงา	77
30 ความเข้มข้นของออร์โธฟอสเฟต-ฟอสฟอรัสในน้ำระหว่างอนุภาคดินตะกอน (μM) ที่ระดับความลึก 0-1 เซนติเมตร บริเวณหาดคลองดาว เกาะลันตาใหญ่ จังหวัดกระนี่	78
31 ความเข้มข้นของออร์โธฟอสเฟต-ฟอสฟอรัสในน้ำระหว่างอนุภาคดินตะกอน (μM) ที่ระดับความลึก 0-1 เซนติเมตร และ 0-5 เซนติเมตร บริเวณหาดเจี้ยห์หลี เกาะลันตาใหญ่ จังหวัดกระนี่	79
32 ความเข้มข้นของออร์โธฟอสเฟต-ฟอสฟอรัสในน้ำระหว่างอนุภาคดินตะกอน (μM) ที่ระดับความลึก 0-1 เซนติเมตร และ 0-5 เซนติเมตร ในแนวที่ทางเดินบริเวณหาดเจี้ยห์หลี เกาะลันตาใหญ่ จังหวัดกระนี่	80
33 ปริมาณน้ำในดินตะกอน (ร้อยละ) ที่ระดับความลึก 0-1 เซนติเมตร บริเวณอ่าวคุ้งกระเบน จังหวัดจันทบุรี	82

สารบัญภาพ (ต่อ)

ภาพที่	หน้า
34 ปริมาณน้ำในดินตะกอน (ร้อยละ) ที่ระดับความลึก 0-1 เซนติเมตร และ 0-5 เซนติเมตร ในแนวหินทรายเลบริเวณอ่าวคุ้งกระเบน จังหวัดจันทบุรี	83
35 ปริมาณน้ำในดินตะกอน (ร้อยละ) ที่ระดับความลึก 0-1 เซนติเมตร ในแนวหิน ทราย บริเวณหมู่เกาะช้าง จังหวัดตราด	84
36 ปริมาณน้ำในดินตะกอน (ร้อยละ) ที่ระดับความลึก 0-1 เซนติเมตร บริเวณเกาะจง จังหวัดพัทฯ	84
37 ปริมาณน้ำในดินตะกอน (ร้อยละ) ที่ระดับความลึก 0-1 เซนติเมตร บริเวณหาด คลองดาว เกาะลันตาใหญ่ จังหวัดกระบี่	85
38 ปริมาณน้ำในดินตะกอน (ร้อยละ) ที่ระดับความลึก 0-1 เซนติเมตร และ 0-5 เซนติเมตร บริเวณหาดเจี้ยหดี เกาะลันตาใหญ่ จังหวัดกระบี่	86
39 ปริมาณน้ำในดินตะกอน (ร้อยละ) ที่ระดับความลึก 0-1 เซนติเมตร และ 0-5 เซนติเมตร ในแนวหินทรายเลบริเวณหาดเจี้ยหดี เกาะลันตาใหญ่ จังหวัดกระบี่	87
40 ปริมาณสารอินทรีย์รวมในดินตะกอน (มิลลิกรัมต่อกิโลกรัมน้ำหนักดินแห้ง) ที่ระดับ ความลึก 0-1 เซนติเมตร บริเวณอ่าวคุ้งกระเบน จังหวัดจันทบุรี	89
41 ปริมาณสารอินทรีย์รวมในดินตะกอน (มิลลิกรัมต่อกิโลกรัมน้ำหนักดินแห้ง) ที่ระดับ ความลึก 0-1 เซนติเมตร และ 0-5 เซนติเมตร ในแนวหินทรายเลบริเวณอ่าวคุ้ง กระเบน จังหวัดจันทบุรี	90
42 ปริมาณสารอินทรีย์รวมในดินตะกอนตาม (มิลลิกรัมต่อกิโลกรัมน้ำหนักดินแห้ง) ที่ ระดับความลึก 0-1 เซนติเมตร ในแนวหินทรายเลบริเวณหมู่เกาะช้าง จังหวัดตราด	91
43 ปริมาณสารอินทรีย์รวมในดินตะกอน (มิลลิกรัมต่อกิโลกรัมน้ำหนักดินแห้ง) ที่ระดับ ความลึก 0-1 เซนติเมตร บริเวณเกาะจง จังหวัดพัทฯ	91
44 ปริมาณสารอินทรีย์รวมในดินตะกอน (มิลลิกรัมต่อกิโลกรัมน้ำหนักดินแห้ง) ที่ระดับ ความลึก 0-1 เซนติเมตร บริเวณหาดคลองดาว เกาะลันตาใหญ่ จังหวัดกระบี่	92

สารบัญภาพ (ต่อ)

ภาพที่	หน้า
45 สารอินทรีย์รวมในดินตะกอน (มิลลิกรัมต่อกิรัมน้ำหนักดินแห้ง) ที่ระดับความลึก 0-1 เซนติเมตร และ 0-5 เซนติเมตร บริเวณหาดเจี๊ยะหลี เกาะลันตาใหญ่ จังหวัด กระบี่	93
46 สารอินทรีย์รวมในดินตะกอน (มิลลิกรัมต่อกิรัมน้ำหนักดินแห้ง) ที่ระดับความลึก 0-1 เซนติเมตร และ 0-5 เซนติเมตร ในแนวหญ้าบริเวณหาดเจี๊ยะหลี เกาะลันตาใหญ่ จังหวัดกระบี่	94
47 องค์ประกอบของอนุภาคดินตะกอน (ร้อยละ) ในบริเวณอ่าวคุ้งกระเบน เกาะไม้ตี๋ เล็ก เกาะรัง เกาะคลื่น เกาะจง หาดคลองดาว และหาดเจี๊ยะหลี	98
48 องค์ประกอบของอนุภาคดินตะกอน (ร้อยละ) บนพื้นหญ้าทะเลบริเวณอ่าวคุ้งกระเบน เกาะจง และหาดเจี๊ยะหลี	99
49 ช่วงความเข้มข้นของแอมโมเนียม-ในไตรเจน (μM) ในน้ำเหนือผิวดินตะกอนที่ เหมาะสมต่อการอยู่อาศัยตามชนิดของหญ้าทะเล	104
50 ช่วงความเข้มข้นของไตรฟีฟาร์บอต-ไตรเจน (μM) ในน้ำเหนือผิวดิน ตะกอนที่เหมาะสมต่อการอยู่อาศัยตามชนิดของหญ้าทะเล	105
51 ช่วงความเข้มข้นของซิลิกेट-ซิลิคอน (μM) ในน้ำเหนือผิวดินตะกอนที่เหมาะสม ต่อการอยู่อาศัยตามชนิดของหญ้าทะเล	106
52 ช่วงความเข้มข้นของออร์โธฟอสฟেต-ฟอสฟอรัส (μM) ในน้ำเหนือผิวดินตะกอน ที่เหมาะสมต่อการอยู่อาศัยตามชนิดของหญ้าทะเล	107
53 ช่วงความเค็มของน้ำทะเล (psu) ที่เหมาะสมต่อการอยู่อาศัยตามชนิดของหญ้า ทะเล	108
54 ช่วงอุณหภูมิของน้ำทะเล (องศาเซลเซียส) ที่เหมาะสมต่อการอยู่อาศัยตามชนิด ของหญ้าทะเล	109
55 ช่วงความเข้มข้นของแอมโมเนียม-ในไตรเจน ในน้ำระหว่างอนุภาคดินตะกอน (μM) ระดับความลึก 0-1 เซนติเมตร ที่เหมาะสมต่อการอยู่อาศัยตามชนิดของ หญ้าทะเล	119

สารบัญภาพ (ต่อ)

ภาพที่	หน้า
56 ช่วงความเข้มข้นของซิลิกेट-ซิลิคอนในน้ำระหว่างอนุภาคดินตะกอน (μM) ระดับความลึก 0-1 เซนติเมตร ที่เหมาะสมต่อการอyu/o/aศัยตามชนิดของหญ้าทะเล	120
57 ช่วงปริมาณความเข้มข้นของออร์โธฟอสเฟต-ฟอสฟอรัสในน้ำระหว่างอนุภาคดินตะกอน (μM) ระดับความลึก 0-1 เซนติเมตร ที่เหมาะสมต่อการอyu/o/aศัยตามชนิดของหญ้าทะเล	121
58 ช่วงปริมาณน้ำในดินตะกอน (ร้อยละ) ระดับความลึก 0-1 เซนติเมตร ที่เหมาะสมต่อการอyu/o/aศัยตามชนิดของหญ้าทะเล	122
59 ช่วงของปริมาณสารอินทรีย์รวมในดินตะกอน (มิลลิกรัมต่อกรัมน้ำหนักดินแห้ง) ระดับความลึก 0-1 เซนติเมตร ที่เหมาะสมต่อการอyu/o/aศัยตามชนิดของหญ้าทะเล	123
60 ช่วงของค่าความเป็นกรดเป็นด่างในดินตะกอน (ร้อยละ) ระดับความลึก 0-1 เซนติเมตร ที่เหมาะสมต่อการอyu/o/aศัยตามชนิดของหญ้าทะเล	124
61 ความสัมพันธ์ระหว่างปริมาณแอมโมเนียม-ในโครงuren ในน้ำระหว่างอนุภาคดินตะกอน ที่ระดับความลึก 0-1 เซนติเมตร กับมวลชีวภาพของหญ้าทะเลชนิด <i>Enhalus acoroides</i> <i>Halodule pinifolia</i> <i>Halophila ovalis</i> และ <i>Halophila decipiens</i>	127
62 ความสัมพันธ์ระหว่างปริมาณซิลิกेट-ซิลิคอนในน้ำระหว่างอนุภาคดินตะกอน ที่ระดับความลึก 0-1 เซนติเมตร กับมวลชีวภาพของหญ้าทะเลชนิด <i>Enhalus acoroides</i> <i>Halodule pinifolia</i> <i>Halophila ovalis</i> และ <i>Halophila decipiens</i>	128
63 ความสัมพันธ์ระหว่างปริมาณออร์โธฟอสเฟต-ฟอสฟอรัสในน้ำระหว่างอนุภาคดินตะกอน ที่ระดับความลึก 0-1 เซนติเมตร กับมวลชีวภาพของหญ้าทะเลชนิด <i>Enhalus acoroides</i> <i>Halodule pinifolia</i> <i>Halophila ovalis</i> และ <i>Halophila decipiens</i>	129

สารบัญภาพ (ต่อ)

ภาพที่	หน้า
64 ความสัมพันธ์ระหว่างปริมาณน้ำในดินตะกอนที่ระดับความลึก 0-1 เซนติเมตร กับ มวลชีวภาพของหญ้าทะเลชนิด <i>Enhalus acoroides</i> <i>Halodule pinifolia</i> <i>Halophila ovalis</i> และ <i>Halophila decipiens</i>	130
65 ความสัมพันธ์ระหว่างปริมาณสารอินทรีย์รวมในดินตะกอนที่ระดับความลึก 0-1 เซนติเมตร กับมวลชีวภาพของหญ้าทะเลชนิด <i>Enhalus acoroides</i> <i>Halodule pinifolia</i> <i>Halophila ovalis</i> และ <i>Halophila decipiens</i>	131
66 ความสัมพันธ์ระหว่างปริมาณอนุภาคดินตะกอนขนาดเล็กกว่า 63 ไมโครเมตร กับ มวลชีวภาพของหญ้าทะเลชนิด <i>Enhalus acoroides</i> หญ้าทะเลชนิด <i>Halodule pinifolia</i> ที่อนุภาคดินตะกอนขนาดใหญ่กว่า 1,000 ไมโครเมตร 500-1,000 ไมโครเมตร และเล็กกว่า 63 ไมโครเมตร ณ ระดับความลึก 0-5 เซนติเมตร	132
67 ความสัมพันธ์ระหว่างปริมาณอนุภาคดินตะกอนขนาด 125-250 ไมโครเมตร และ 63-125 ไมโครเมตร กับมวลชีวภาพของหญ้าทะเลชนิด <i>Halophila ovalis</i> และ อนุภาคดินตะกอนขนาดใหญ่กว่า 1,000 ไมโครเมตร 500-1,000 ไมโครเมตร และ 250-500 ไมโครเมตร กับมวลชีวภาพของหญ้าทะเลชนิด <i>Halophila decipiens</i> ณ ระดับความลึก 0-5 เซนติเมตร	133
68 การแพร่กระจายของปริมาณแอมโมเนียม-ในโตรเจนและค่าความเต็มในน้ำ ปริมาณแอมโมเนียมในโตรเจนในน้ำระหว่างอนุภาคดินตะกอนบริเวณพื้นหญ้า ทะเลชนิด <i>Enhalus acoroides</i> และ <i>Halodule pinifolia</i> และมวลชีวภาพของหญ้า ทะเลชนิด <i>Enhalus acoroides</i> และ <i>Halodule pinifolia</i> บริเวณอ่าวคุ้งกระเบน	157
69 ลักษณะการแพร่กระจายของหญ้าทะเลชนิด <i>Enhalus acoroides</i> บริเวณตอนเหนือ และตอนใต้ของอ่าวคุ้งกระเบน หญ้าทะเลชนิด <i>Halodule pinifolia</i> บริเวณตอน เหนือและตอนใต้ของอ่าวคุ้งกระเบน และลักษณะดินตะกอนบริเวณตอนเหนือ และตอนใต้ของอ่าวคุ้งกระเบน	158

สารบัญภาพ (ต่อ)

ภาพที่ ภาพทั่วไป	หน้า
70 ความแตกต่างของค่าส่วนเบี่ยงเบนมาตรฐานระหว่างมวลชีวภาพเฉพาะส่วนหนึ่อ ดินและมวลชีวภาพรวมส่วนหนึ่อดินและส่วนใต้ดินของหญ้าทะเลชนิด <i>Enhalus acoroides</i>	175
ภาพผนวกที่ ภาพทั่วไป	
1 ลักษณะดินตะกอนบริเวณที่มีหญ้าทะเลและไม่มีหญ้าทะเลเป็นริเวณอ่าวคุ้งกระเบน จังหวัดจันทบุรี และบริเวณเกาะจง จังหวัดพัทฯ	187
2 ลักษณะดินตะกอนบริเวณที่มีหญ้าทะเลและไม่มีหญ้าทะเลเป็นหาดคลองดาว และบริเวณหาดเจี้ยหดี เกาะลันตาใหญ่ จังหวัดกระบี่	188

การศึกษาคุณภาพน้ำและดินตะกอนที่เหมาะสมต่อความอุดมสมบูรณ์ของหญ้าทะเลในประเทศไทย

Study on Optimum Qualities of Waters and Sediments for Abundance of Seagrasses in Thailand

คำนำ

หญ้าทะเล เป็นพืชชั้นสูง มีดอก ลำต้น ใบ และรากที่แท็จริง เป็นพืชใบเลี้ยงเดี่ยวที่จัดอยู่ใน Division Anthophyta Class Monocotyledoneae (den Hartog, 1970) ลักษณะภายนอกคล้ายกับหญ้า บกทั่วไป แต่มีการพัฒนาลักษณะของส่วนต่าง ๆ ให้เหมาะสมแก่การเจริญเติบโตและแพร่พันธุ์ มีความทนทานต่อการเปลี่ยนแปลงทางด้านสิ่งแวดล้อมในทะเล ออาทิ ความรุนแรงของคลื่นลม ความเค็ม ความเข้มแสง ปริมาณธาตุอาหารในดินและน้ำ ขนาดอนุภาคของดินตะกอน ตลอดจนระยะเวลาในการผึ่งแห้งในช่วงเวลาしながらที่มีความแตกต่างกัน ไปตามชนิดของหญ้าทะเล

แหล่งหญ้าทะเลจัดเป็นแหล่งทรัพยากรทางทะเลที่สมบูรณ์ มีความสำคัญต่อระบบนิเวศทางทะเล กล่าวคือ ช่วยทำให้ปริมาณอนินทรียสารทึ้งในมวลน้ำและในดินตะกอนลดลงโดยการนำกลับมาสร้างให้อยู่ในรูปของมวลชีวภาพตามบทบาทของผู้ผลิตขั้นต้น ก่อให้เกิดห่วงโซ่ออาหาร และพัฒนาคุณภาพเป็นแหล่งสนับสนุนสายอาหารที่อุดมสมบูรณ์ เป็นแหล่งผลผลิตพันธุ์ วางใจ อนุบาลตัวอ่อน และเป็นที่หลบภัยของสัตว์น้ำ จึงจัดได้ว่าเป็นพื้นที่ทำการประมงชายฝั่งที่มีความสำคัญมากแห่งหนึ่ง นอกจากนี้ ส่วนของใบยังช่วยลดความรุนแรงของกระแสน้ำ ช่วยเพิ่มอัตราการตกตะกอน ลดการกัดเซาะพังทลายบริเวณชายฝั่ง ได้เป็นอย่างดี และด้วยกรณีที่แหล่งหญ้าทะเลถูกทำลายลง ด้วยปัจจัยทั้งทางตรงและทางอ้อม เช่น การรวมทะเล การสร้างท่าเรือ การทำประมงอวนรุน อวนลาก และนอกจากการทำลายโดยตรงข้างต้น ผลกระทบอ้อมจากการรบกวนโดยกิจกรรมดังกล่าวก็อาจส่งผลทำให้ปริมาณการฟังกระจาดของตะกอนเพิ่มมากขึ้น นอกจากนี้ การเปลี่ยนแปลงสภาพแวดล้อม โดยธรรมชาติ ก็เป็นสาเหตุหลักต่อการเปลี่ยนแปลงของแหล่งหญ้าทะเล อีกประการหนึ่ง ด้วย ส่วนผลกระทบจากความเสื่อมสภาพของแหล่งหญ้าทะเลที่ตามมาก็คือ ประชากรสัตว์น้ำเปลี่ยนแปลงหรือสูญหายไป การคืนสู่สภาพปกติจะต้องใช้เวลานานขึ้นอยู่กับสภาพท้องที่นั้น ๆ การฟื้นฟูแหล่งหญ้าทะเล เช่น การขุดลอกหญ้าทะเล จึงเป็นวิธีที่นิยมนิยมนำมาใช้

พื้นฟูแหล่งหญ้าทะเลให้กลับคืนสู่สภาพภาวะปกติได้เร็วขึ้น อย่างไรก็ตาม การพื้นฟูดังกล่าวซึ่งยังไม่สามารถทำได้สำเร็จ เนื่องจากข้อมูลด้านปัจจัยสิ่งแวดล้อมของพื้นที่ที่ต้องการพื้นฟูแหล่งหญ้าทะเล บริเวณนั้น ๆ

จากความสามารถในการพัฒนาลักษณะของส่วนต่าง ๆ ให้เหมาะสมแก่การเจริญเติบโต พร้อมที่จะมีความทนทานต่อการเปลี่ยนแปลงทางด้านสิ่งแวดล้อมในทะเลเช่นนี้ มีความแตกต่างกันไปตามแต่ละชนิดของหญ้าทะเลเดิมที่ได้ก่อรากมาข้างต้น แสดงให้เห็นถึงความจำเพาะเจาะจงต่อแหล่งที่อยู่อาศัยของหญ้าทะเลแต่ละชนิดที่ไม่เหมือนกัน ประกอบกับ ข้อมูลการศึกษาคุณภาพสิ่งแวดล้อม ในแหล่งหญ้าทะเลของประเทศไทยเป็นข้อมูลช่วงกว้าง และไม่มีการรายงานอย่างชัดเจนถึงลักษณะเฉพาะทางด้านสิ่งแวดล้อมของหญ้าทะเลแต่ละชนิดในประเทศไทยที่สามารถอาศัยและเจริญเติบโตอยู่ได้ ดังนั้น การศึกษาความสัมพันธ์ระหว่างชนิดของหญ้าทะเลกับคุณภาพสิ่งแวดล้อม ที่เหมาะสมจึงมีความสำคัญอย่างยิ่งในการสนับสนุนข้อมูล เพื่อใช้ในการฝ่าระวังการเปลี่ยนแปลงสภาพแวดล้อมของแหล่งหญ้าทะเล ป้องกันความเสื่อมโกรนอ่อนอาบเกิดขึ้น หรือนำไปสู่การพิจารณาความเป็นไปได้ที่จะพื้นฟูแหล่งหญ้าทะเลแหล่งเดิมหรือสร้างแหล่งหญ้าทะเลแหล่งใหม่ โดยการปลูกให้ประสบผลสำเร็จต่อไปในอนาคต

วัตถุประสงค์

1. เพื่อศึกษาความสัมพันธ์ระหว่างคุณภาพน้ำและดินตะกอนกับชนิดของหญ้าทะเล
2. เพื่อศึกษาระดับของคุณภาพน้ำและดินตะกอนที่หญ้าทะเลสามารถอาศัยอยู่ได้

การตรวจเอกสาร

หญ้าทะเล เป็นพืชกลุ่มหนึ่งในหมู่พฤกษชาติพื้นทะเล (Marine benthic flora) เป็นพืชมีคอกใบเลี้ยงเดี่ยว มีส่วนของลำต้น (Shoot) ใบ (Leaf) ลำต้นได้คินหรือเหง้า (Rhizome) ดอก (Flower) และผล (Fruit) ที่แท้จริง มีการพัฒนาลักษณะของลำต้น ใน คอก ผล และรากให้เหมาะสมแก่การเจริญเติบโตและแพร่พันธุ์ มีความทนทานต่อความรุนแรงของคลื่นและลม ได้ดี

กาญจนภานน์และคณะ (2534) รายงานว่า ประเทศไทยพบหญ้าทะเลทั้งสิ้น 7 สกุล 12 ชนิด (ภาพที่ 1) เรียงตามลำดับการแพร่กระจายสูงสุดไปต่ำสุด ได้แก่ *Halophila ovalis* *Halodule uninervis* *Enhalus acoroides* *Halodule pinifolia* *Halophila beccarii* *Thalassia hemprichii* *Cymodocea rotundata* *Halophila decipiens* *Cymodocea serrulata* *Syringodium isoetifolium* *Ruppia maritima* และ *Halophila minor* ตามลำดับ มีการจัดลำดับทางอนุกรมวิธานตามระบบของ den Hartog (1970) ดังนี้

Division Anthophyta

Class Monocotyledoneae

Order Helobiae

Family Potamogetonaceae

Genus *Halodule* ได้แก่ *Halodule pinifolia* และ *H. uninervis*

Genus *Cymodocea* ได้แก่ *Cymodocea rotundata* และ *C. serrulata*

Genus *Ruppia* ได้แก่ *Ruppia maritima*

Genus *Syringodium* ได้แก่ *Syringodium isoetifolium*

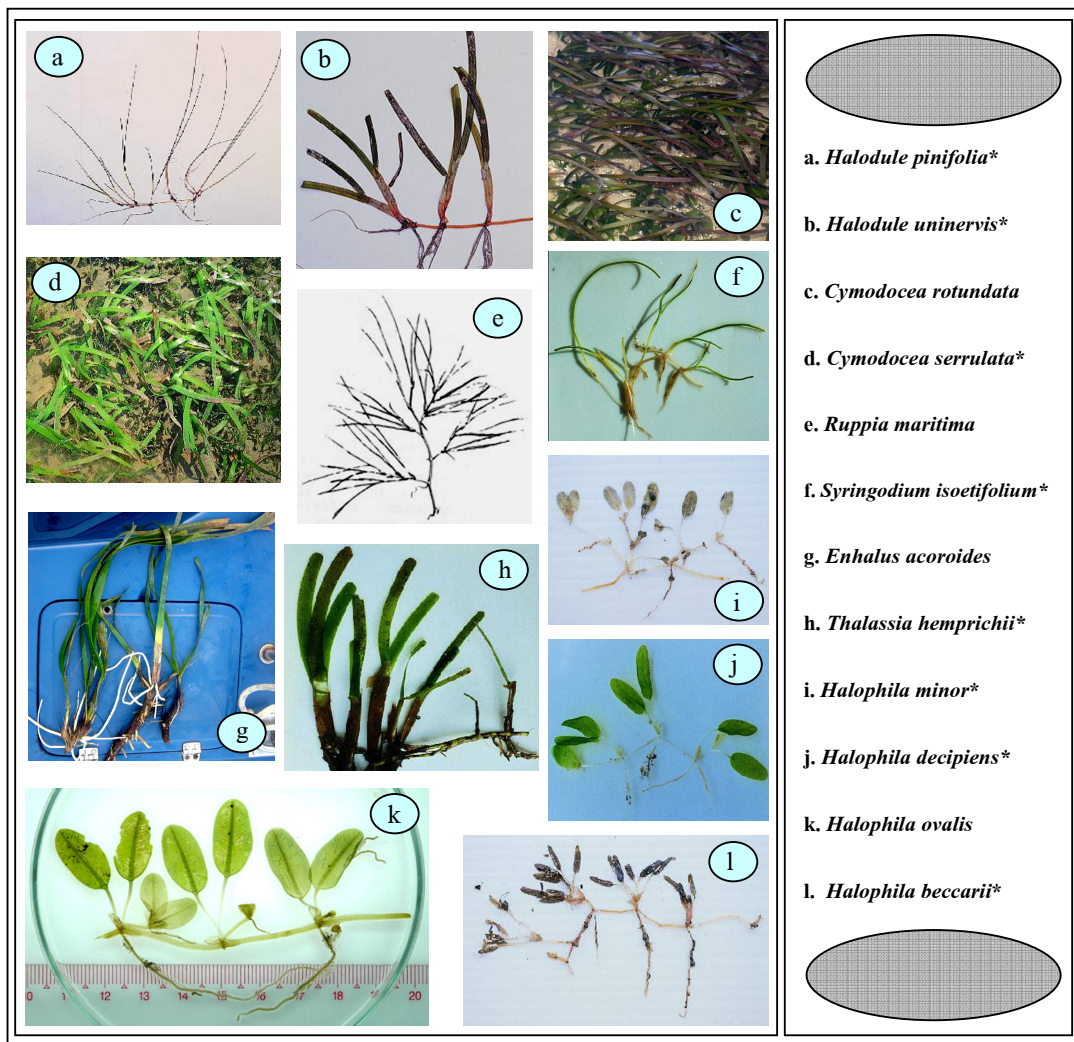
Family Hydrocharitaceae

Genus *Enhalus* ได้แก่ *Enhalus acoroides*

Genus *Thalassia* ได้แก่ *Thalassia hemprichii*

Genus *Halophila* ได้แก่ *Halophila ovalis* *H. minor*

H. decipiens และ *H. beccarii*



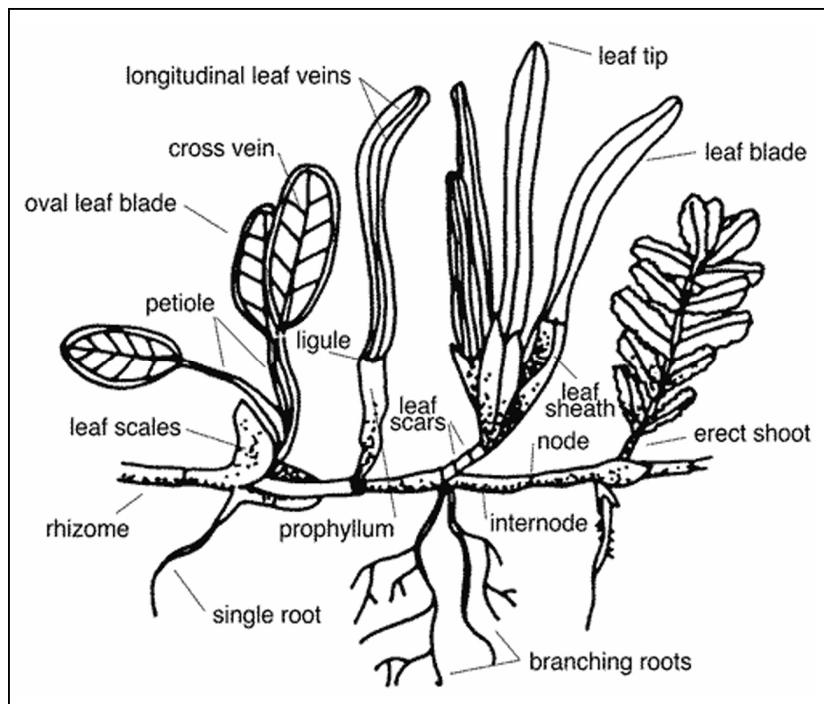
ภาพที่ 1 หญ้าทะเลที่พบในประเทศไทย

ที่มา: *ชัยวิชิต (2543)

1. ชีววิทยาของหญ้าทะเล

1.1 ลักษณะโครงสร้างหญ้าทะเล

หญ้าทะเลเป็นโครงสร้างพื้นฐานคล้ายกับหญ้าน้ำทั่วไป แต่จะมีวงจรชีวิตอยู่ในน้ำทะเล มีรูปร่างและลักษณะของใบ ลำต้น ราก ดอก และผลที่แตกต่างกันออกໄไปดังนี้ หญ้าทะเลจึงมีลักษณะทั่วไป คือ มีใบตั้งชูในน้ำ มีส่วนลำต้นทอดยาวและเจริญเติบโตอยู่ใต้ดินและมีระบบ rak ที่แข็งแรงที่ใช้ในการยึดเกาะเพื่อต้านทานการถดเชาของกระแสน้ำและคลื่น นอกจากนั้น หญ้าทะเลยังเป็นพืชนำที่มีคอกเพียงกลุ่มเดียวเท่านั้นที่ขึ้นอยู่ในทะเล (Thorhaug, 1986) เมื่อจากสามารถผ่านเกสรได้น้ำได้ (Lanyon, 1986) ลักษณะส่วนต่าง ๆ ของหญ้าทะเล (ภาพที่ 2) จะประกอบด้วยส่วนต่าง ๆ ดังต่อไปนี้



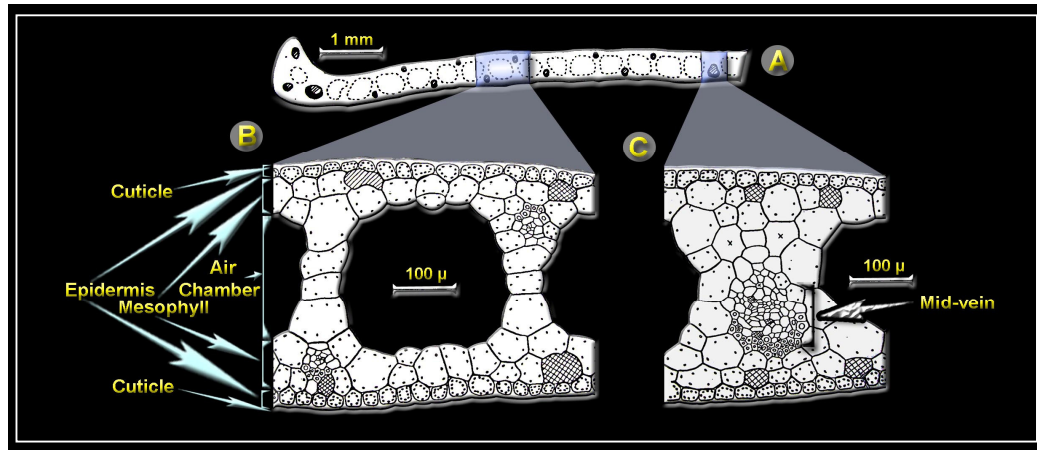
ภาพที่ 2 ลักษณะทั่วไปของหญ้าทะเล

ที่มา: กรมป่าไม้ (2543)

1.1.1 ใบ (leaf) พืชใบเลี้ยงเดี่ยวมีใบอยู่ 4 ประเภท

ใบหญ้าทะเลแบ่งเป็น 2 ส่วน คือ ส่วนใบ (Leaf blade) มีสีเขียวซึ่งเป็นรังควัตๆที่ใช้ในการสัมเคราะห์แสงและต่อ กับส่วนที่เป็นก้านใบ (Petiole) ซึ่งพนในใบหญ้าใบมะกรูด (*Halophila decipiens*) ส่วนใบหญ้าทะเลชนิดอื่นนั้น ใบส่วนที่มีสีเขียวจะต่อ กับก้านใบ (Leaf sheath) ซึ่งไม่มีสี และมักถูกฟังอยู่ติดกัน มีเส้นใยแข็งแรงเป็นโครงสร้างค้ำจุนภายในใบมากกว่าส่วนใบ ทำให้ก้านใบมีลักษณะที่แข็งแรงซึ่งสามารถยืดใบกับส่วนของลำต้นได้ดี และยังสามารถป้องกันใบอ่อนที่เกิดใหม่ให้แห้งขาดขึ้นมาได้ หญ้าทะเลบางชนิด (ยกเว้น Family Hydrocharitaceae) บริเวณที่ก้านใบต่อ กับส่วนใบจะมีเนื้อเยื่อชั้นผิว (Epidermis) มีความหนา 2 ชั้นเซลล์ขวางอยู่ เรียกว่า ลิ้นใบ (Ligule)

จากภาพที่ 3 ซึ่งเป็นภาคตัดขวางของใบหญ้าทะเลชนิด *Enhalus acoroides* พบว่า ใบหญ้าทะเลมีผิวเคลือบ cuticle เคลือบอยู่บ้าง ๆ เชลล์ชั้นนอกสุดเป็นเนื้อเยื่อชั้นผิว (Epidermis) มีคลอโรฟลาสต์ซึ่งใช้ในการสัมเคราะห์แสงอยู่ภายใน ไม่มีปากใบ มีเนื้อเยื่อชั้นรองจากผิว (Hypodermis) ไม่มีชั้นมีโซฟิลล์ (Mesophyll) พัฒนาจนมีขนาดใหญ่ มีช่องว่างบริเวณกลางใบเรียกว่า ช่องอากาศ (Air chamber) สำหรับเก็บกักอากาศซึ่งเกิดจากการรวมตัวของ Aerenchyma cell ลักษณะการเรียงตัวของช่องอากาศ จำนวน และขนาดของช่องอากาศจะขึ้นอยู่กับชนิดของหญ้าทะเล ช่องอากาศจะมีความยาวต่อเนื่องกันตั้งแต่ปลายใบจนถึงปลายรากโดยมีแผ่นกันตามขวางเป็นช่วง ๆ เพื่อป้องกันไม่ให้น้ำไหลเข้ามาในช่องอากาศหากใบหลีกขาดหรือโคนสัตว์กัดกินเป็นบางส่วน ช่องอากาศภายในใบหญ้าทะเลมีปริมาตรประมาณร้อยละ 70 ของปริมาตรใบหญ้าทะเล ทั้งหมด การมีช่องอากาศในใบหญ้าทะเลน่าจะเป็นประโยชน์ต่อการแลกเปลี่ยนก๊าซและมีส่วนในการเพิ่มพื้นที่ผิวของใบหญ้าทะเลเป็นการเพิ่มประสิทธิภาพในการเก็บกักอากาศเพื่อการสัมเคราะห์แสงและการหายใจสำหรับส่วนได้ดินของหญ้าทะเลที่อยู่ในสภาพที่มีออกซิเจนต่ำ นอกจากนี้ยังช่วยพยุงให้ใบหญ้าทะเลตั้งตรงในน้ำได้ดีอีกด้วย



ภาพที่ 3 ภาคตัดขวางของใบหญ้าทะเลนิด *Enhalus acoroides*

ที่มา: ปรับปรุงจากชัชรี (2549)

หญ้าทะเลมีการพัฒนาโครงสร้างกำลุนในใบน้อยเนื่องจากใบต้องการความยืดหยุ่นเพื่อใช้ในการโบกพัดตามแรงของคลื่นสูง ปลายใบมีลักษณะเหนียวเล็กน้อยเนื่องจากมีท่อลำเดียงไปรวมกัน ใบหญ้าทะเลอาจมีความยาวน้อยกว่า 1 เซนติเมตร หรืออาจยาวถึง 2 เมตร ใบเกิดจากบริเวณข้อ มีจำนวนตั้งแต่ 1-10 ใบต่อข้อ อาจเป็นรูปไข่หรือแบบยาวคล้ายริบบิน มีเพียงชนิดเดียวคือหญ้าใบสน (*Syringodium isoetifolium*) ที่มีใบกลมยาวทรงกระบอก (ชัชรี, 2549)

1.1.2 ลำต้นใต้ดิน หรือ เหง้า (Rhizome)

ลำต้นใต้ดินหรือเหง้าของหญ้าทะเลจัดอยู่ในกลุ่มที่ไม่มีเนื้อไม้ (Herbaceous) ซึ่งพบในพืชล้มลุกทั่วไป ลำต้นจะทอดยาวอยู่ใต้ดินและแตกแขนงได้ทำให้สามารถยึดเกาะกับพื้นได้ดี หากหญ้าทะเลมีการเจริญอย่างหนาแน่น ต้นใต้ดินจะเจริญสาบกันไปมากล้ำพรุนช่วยยึดพื้นดินป้องการพังทลายของชายฝั่ง ได้ดี หากสภาพแวดล้อมไม่เหมาะสมต่อการเจริญเติบโต เช่น มีการผึ่งแห้งขณะน้ำลงเป็นเวลานานในฤดูร้อน คุณภาพน้ำหรืออุณหภูมิมีการเปลี่ยนแปลง ส่วนของใบที่อยู่เหนือดินจะตายแต่ต้นใต้ดินยังคงฟังอยู่กับดินและคงอยู่บนสภาพแวดล้อมเหมาะสมจึงจะออกต้นและใบใหม่ขึ้นมา ภายในลำต้นจะประกอบด้วยช่องอากาศขนาดใหญ่จำนวนมากเพื่อใช้ในการเก็บและแลกเปลี่ยนกําช หญ้าทะเลที่มีขนาดเล็กจะมีลำต้นใต้ดินไม่แข็ง ส่วนหญ้าทะเลที่มีขนาดใหญ่ลำต้นจะมีส่วนประกอบของลิกนินจำนวนมากทำให้มีความแข็งแรงและหึ้งลำต้นลึกลงไปใน

ติน ได้มากกว่า ลำต้นได้ดินจะแบ่งเป็นข้อ (Node) ปลาย (Internode) มีลักษณะเป็นทรงกระบอก หรืออาจแบนข้างเล็กน้อย บริเวณที่เป็นข้อจะเป็นจุดกำเนิดของใบ เมื่อใบหลุดออกไปแล้วจะเหลือรอยไว้บนต้น (Leaf scar) เมื่อต้นยังยาวออกไป ส่วนรอบของใบที่หลุดไปแล้วจะเป็นข้ออยู่รอบต้น หลักที่เลบทางชนิดจะมีลำต้นได้ดิน 2 ลักษณะ คือ มีส่วนลำต้นที่ทอดยาวไปตามพื้น (Horizontal rhizome) ซึ่งมีช่วงปล้องยาว และลำตันตั้งตรง (Vertical rhizome) มีช่วงปล้องสั้นซึ่งเป็นลำต้นที่แยกออกจากลำต้นที่ทอดยาวไปกับพื้น ส่วนมากลำต้นที่ตั้งตรงขึ้นมาสามารถเจริญเป็นลำต้นทอดยาวไปกับพื้น ได้เมื่อมีการเจริญขึ้นมาบนผิวดิน ส่วนลำต้นที่ตั้งตรงจะมีส่วนใบและกาบใบเกิดขึ้นเราระยะก่อนส่วนทั้งหมดนี้ว่า ต้น (Shoot) (ชัชรี, 2549) นอกจากนี้ ลำต้นได้ดินของหลักที่เลบจะเป็นส่วนสำคัญต่อการเพิ่มผลผลิตด้วยการแตกหน่อ ซึ่งมีอยู่ในปริมาณมากกว่าผลผลิตที่เกิดจากการออกของเมล็ด (Larkum *et al.*, 1989)

1.1.3 ราก (Root)

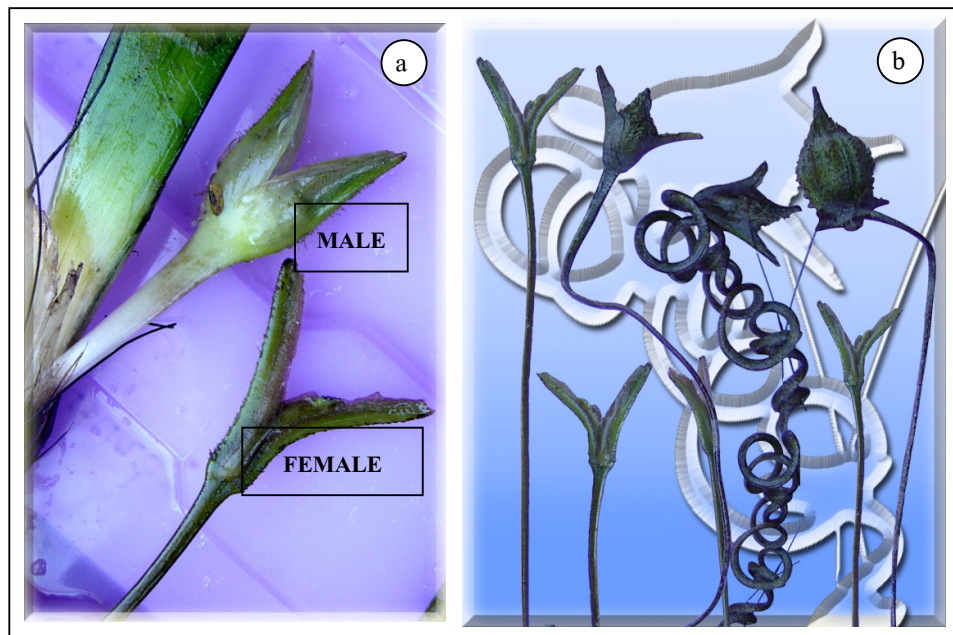
รากของหลักที่เลบเป็นรากพิเศษ (Adventitious) เข่นเดียวกับพืชในเลี้ยงเดียวอื่น ๆ ซึ่งจะเจริญออกทางด้านล่างของข้อลำต้นได้ดิน ทำหน้าที่ในการยึดลำต้นกับพื้นดินและคุ้มครองอาหาร (Larkum *et al.*, 1989) ลักษณะภายนอกของรากจะมีความแตกต่างในหลักที่เลบแต่ละชนิดแต่จะมีลักษณะภายในคล้ายกัน รากมีหมวดราก เนื้อเยื่อชั้นผิวของรากที่เจริญเติบโตที่จะมีรากบนเกิดขึ้นและจะหุ้มเนื้อเยื่อพาร์เชนคิมา (Cortical parenchyma) ช่องอากาศ (Air chamber) และสตีล (Stele) ไว้ภายใน รากของหลักที่เลบแต่ละชนิดมีขนาดแตกต่างกัน โดยมีเส้นผ่านศูนย์กลางรากตั้งแต่ 0.18-3.5 มิลลิเมตร มีความยาวตั้งแต่ 1 เซนติเมตร ถึง 5 เมตร ภายในรากประกอบด้วยช่องอากาศทำหน้าที่ลำเลียงออกซิเจนที่เกิดจากการสัมเคราะห์แสงส่งมาซึ่งรากที่อยู่ใต้ดินในภาวะที่มีออกซิเจนต่ำหรือไร้ออกซิเจนเพื่อใช้ในการหายใจของราก (ชัชรี, 2549)

1.1.4 ดอก (Flower)

ดอกของหลักที่เลบพัฒนามาจากส่วนบนของต้นได้ดิน เป็นดอกแยกเพศ ซึ่งอาจอยู่ร่วมต้นเดียวกันหรือต่างต้นกันขึ้นอยู่กับชนิดของหลักที่เลบ (ชัชรี, 2549)

1.2 การสืบพันธุ์

หญ้าทะเลเป็นพืชชั้นสูงในเดิมที่ขึ้นได้ยาก มีคอกแยกเพศผู้และเพศเมีย (ภาพที่ 4) สามารถขยายพันธุ์แบบอาศัยเพศ (Sexual reproduction) อย่างสมบูรณ์แบบ ได้ในน้ำทะเล อีกทั้งยังสามารถสืบพันธุ์แบบไม่อาศัยเพศ (Asexual reproduction) โดยการแตกยอดจากลำต้นได้ดินได้อีกด้วย (คณะสิ่งแวดล้อมและทรัพยากรศาสตร์ มหาวิทยาลัยมหิดล, 2547)

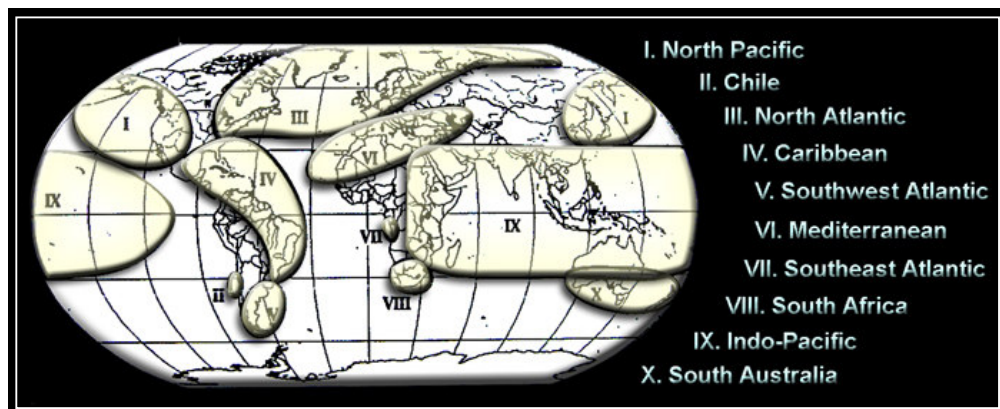


ภาพที่ 4 คอกเพศผู้และเพศเมีย (a) และคอกเพศเมียและผลขนาดต่าง ๆ ของหญ้าทะเลชนิด *Enhalus acoroides* (b)

สำหรับการสืบพันธุ์แบบอาศัยเพศของหญ้าทะเลนั้น เมื่อคอกเพศเมียได้รับการผสมแล้วจะพัฒนาเกลี้ยเป็นผล (ภาพที่ 4-b) ชัชรี (2543) กล่าวว่า หญ้าทะเลมีการผลิตดอกออกผลน้อยมาก การเพิ่มจำนวนของหญ้าทะเลส่วนใหญ่เกิดจากการเพิ่มจำนวนต้นและความยาวของลำต้นได้ดินแบบไม่อาศัยเพศ จากการรายงานพบว่ามีหญ้าทะเลเพียงร้อยละ 10 เท่านั้นที่มีการสร้างคอกและผล อย่างไรก็ตาม หญ้าทะเลบางชนิดได้แก่ หญ้าใบมะกรูด (*Halophila decipiens*) และหญ้าชาเงา (*Enhalus acoroides*) มีการสร้างคอกและผลเป็นจำนวนมากทุกปี

1.3 การแพร่กระจาย

หญ้าทะเลมีการแพร่กระจายตลอดแนวชายฝั่งทั่วโลกทั้งเขต้อนและเขตอบอุ่น ที่พบทั่วไปมี 49 ชนิดจาก 13 สกุล ส่วนใหญ่พบในเขตอบอุ่น (Tropical zone) และแถบกึ่งร้อน (Subtropical zone) ตั้งแต่ริมชายฝั่งจนถึงบริเวณที่มีน้ำลึกประมาณ 5-6 เมตร และอาจพบบ้างในบริเวณน้ำลึกกว่า 10 เมตร ทั้งนี้ขึ้นอยู่กับความชุ่น습ของน้ำทะเลในบริเวณนั้น ๆ (จิตติมา, 2544)



ภาพที่ 5 การแพร่กระจายของหญ้าทะเลบริเวณต่าง ๆ ทั่วโลก
ที่มา: ปรับปรุงจาก Short et al. (2001)

จากภาพที่ 5 Short et al. (2001) ได้รวบรวมข้อมูลและรายงานการแพร่กระจายของหญ้าทะเลทั่วโลกไว้ในหนังสือ Global Seagrass Research Methods ว่าพบหญ้าทะเลประมาณ 60 ชนิด 13 สกุล ใน 5 ครอบครัว แพร่กระจายอยู่ทั่วโลก ตั้งแต่ North Pacific, Chile, North Atlantic, Caribbean, Southwest Atlantic, Mediterranean, South Atlantic, South Africa, Indo-Pacific จนถึง Southern Australia ขณะเดียวกัน หญ้าทะเลที่พบทั่วไปในภูมิภาคเอเชียตะวันออกเฉียงใต้และได้รายงานไว้ทั้งหมดมีอยู่ 16 ชนิด (จิตติมา, 2544) ในประเทศไทยพบหญ้าทะเลทั้งสิ้น 7 สกุล 12 ชนิด แพร่กระจายทั้งบริเวณอ่าวไทยและฝั่งทะเลอันดามัน เรียงตามลำดับการแพร่กระจายสูงสุดไปลำดับได้แก่ *Halophila ovalis* *Halodule uninervis* *Enhalus acoroides* *Halodule pinifolia* *Halophila beccarii* *Thalassia hemprichii* *Cymodocea rotundata* *Halophila decipiens* *Cymodocea serrulata* *Syringodium isoetifolium* *Ruppia maritima* และ *Halophila minor* ตามลำดับ (กาญจนภานุ, และคณะ, 2534)

Lewmanomont *et al.* (1996) ได้สำรวจแหล่งหญ้าทะเลที่ฟังอ่าวไทยพบว่ามีการแพร่กระจายอยู่ตามชายฝั่งทะเลรวม 13 จังหวัด โดยแหล่งหญ้าทะเลที่มีขนาดค่อนข้างใหญ่และมีความสำคัญ คือ แหล่งหญ้าทะเลบริเวณจังหวัดชลบุรี ระยอง จันทบุรี ตราด ชุมพร สุราษฎร์ธานี และปัตตานี กรมทรัพยากรทางทะเลและชายฝั่ง (2548) รายงานว่าฟังอ่าวไทยพบหญ้าทะเลทั้งสิ้น 11 ชนิด ได้แก่ *Enhalus acoroides* *Halophila ovalis* *H. beccarii* *H. decipiens* *H. minor* *Halodule uninervis* *H. pinifolia* *Thalassia hemprichii* *Cymodocea rotundata* *C. serrulata* *Ruppia maritima* และ สำหรับหญ้าทะเลบริเวณชายฝั่งอันดามัน พบริเวณสิ้น 11 ชนิด เช่นเดียวกัน คือ *Enhalus acoroides* *Halophila beccarii* *H. decipiens* *H. minor* *H. ovalis* *Thalassia hemprichii* *Cymodocea serrulata* *C. rotundata* *Halodule pinifolia* *H. uninervis* และ *Syringodium isoetifolium* จะเห็นได้ว่า หญ้าทะเลชนิด *Ruppia maritima* จะพบเฉพาะที่ฝั่งทะเลอ่าวไทย ส่วนชนิด *Syringodium isoetifolium* พบริเวณชายฝั่งทะเลอันดามัน

แหล่งหญ้าทะเลในน่านน้ำไทยมีพื้นที่รวมประมาณ 104.39 ตารางกิโลเมตร โดยประมาณ ซึ่งแหล่งหญ้าทะเลทางฝั่งทะเลอันดามันจะมีพื้นที่มากกว่าฝั่งทะเลอ่าวไทย อยู่ประมาณ 54.35 ตารางกิโลเมตร (กรมทรัพยากรทางทะเลและชายฝั่ง, 2548)

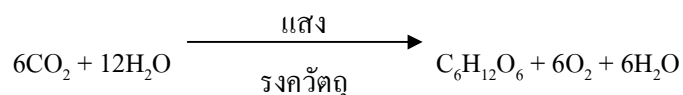
2. บทบาทของปัจจัยสิ่งแวดล้อมต่อหญ้าทะเล

ลักษณะแหล่งที่อยู่อาศัยของหญ้าทะเลแต่ละชนิดที่แตกต่างกันมีผลต่อการแพร่กระจายของชนิดหญ้าทะเล ทั้งนี้ ขึ้นอยู่กับปัจจัยสิ่งแวดล้อม ได้แก่ อุณหภูมิ ความเค็ม คลื่น กระแสน้ำ ความลึก พื้นที่อยู่อาศัย และระยะเวลาของช่วงวันที่ควบคุมกิจกรรมทางสีรีระของหญ้าทะเล นอกจากนี้ ถูกกาลยังจำกัดความสามารถในการสังเคราะห์แสงของพืชในเรื่องความเข้มแสง ปริมาณชาต้อาหาร จำนวนอิพิไฟต์ และการเกิดโรคด้วย ส่วนการแพร่กระจายโดยการเปลี่ยนแปลงสิ่งแวดล้อมที่เกิดจากกระบวนการโดยของกิจกรรมมนุษย์ (Anthropogenic impacts) ที่เป็นส่วนสำคัญที่ทำให้อัตราการติดต่อกันเพิ่มขึ้น ปริมาณชาต้อาหารเปลี่ยนแปลง ส่งผลต่อการแพร่กระจายของหญ้าทะเลได้เช่นเดียวกัน (Short *et al.*, 2001)

2.1 แสงและชาตุอาหาร

แสงและชาตุอาหาร ถือได้ว่าเป็นปัจจัยสำคัญเบื้องต้นที่สำคัญยิ่งต่อการเจริญเติบโตของหญ้าทะเล ปริมาณแสงและความเข้มข้นของชาตุอาหารจึงเป็นปัจจัยสำคัญกำหนดผลิตของหญ้าทะเลด้วย (Dennison *et al.*, 1987) นอกจากนั้น หญ้าทะเลยังสามารถดูดซึมชาตุอาหารได้ทั้งทางระบบใบและราก (Short and McRoy, 1984) ซึ่งชาตุอาหารที่ละลายในน้ำทะเลเตรียมล่วงหน้าให้กับความเข้มข้นต่ำ และมักเป็นปัจจัยสำคัญต่อการเจริญเติบโตของหญ้าทะเล ขณะที่น้ำระบายน้ำท่วงอนุภาคคินตะgonจะมีความเข้มข้นของชาตุอาหารสูงกว่า ดังนั้น การดูดซึมชาตุอาหารจากมวลน้ำท่วงในของหญ้าทะเลเตรียม จึงควรพิจารณาถึงการดูดซึมชาตุอาหารจากคินตะgonด้วย (Erftemeijer and Middelburg, 1993) อย่างไรก็ตาม การดูดซึมดังกล่าวจะขึ้นอยู่กับอัตราส่วนระหว่างพื้นที่ผิวของใบและพื้นที่ผิวของรากหญ้าทะเลแต่ละชนิด (Smith *et al.*, 1979)

อัตราการดูดซึมชาตุอาหารในพืชมีความสัมพันธ์โดยตรงกับอัตราการสังเคราะห์แสง เชยจูพงษ์ (2545) อธิบายไว้ว่า การดูดซึมชาตุอาหารเข้าสู่เซลล์โดยกระบวนการ Active transport จำเป็นต้องใช้สารพลังงานสูง (High energy compound หรือ Nucleotides) "ไดเก" Adenosine triphosphate (ATP) ดึงเอาสารที่ต้องการมาสะสมภายในเซลล์และขับสารที่เซลล์ไม่ต้องการออกมากายนอก แม้ว่าสารในน้ำจะมีความเข้มข้นต่ำกว่าหรือมากกว่าภายในเซลล์ก็ตาม ซึ่งสามารถสนับสนุนสารที่มีประจุบวก ประจุลบ กรดอะมิโน และน้ำตาลได้ ทั้งนี้ สาร ATP ดังกล่าว เป็นองค์ประกอบที่สำคัญมากในการกระบวนการสังเคราะห์แสงในรูปของน้ำตาลกลูโคส ($C_6H_{12}O_6$) ดังสมการ



น้ำตาลกลูโคสที่ได้จากการกระบวนการสังเคราะห์แสงข้างต้น จะผ่านกระบวนการ Metabolism ภายในเซลล์ให้กับพลังงานของเซลล์ (Metabolic energy) ในรูปสาร ATP ซึ่งจะถูก Hydrolyze เป็นพลังงานในการนำสารเข้าสู่เซลล์ต่อไป ดังนั้น อัตราการดูดซึมชาตุอาหารจึงขึ้นอยู่กับอัตราการสังเคราะห์แสง

เมื่อพิจารณาองค์ประกอบของชาตุอาหารบนในโตรเจน และฟอฟอรัส (C:N:P ratio) ในใบหญ้าทะเลจะมีสัดส่วนจำนวนอะตอมเท่ากับ 474:24:1 (Duarte, 1990) ในพืชชั้นสูงทั่วไปทางทะเล (รวมทั้งพะรอยไม้ชายเลนและหญ้าทะเล) มีค่าเท่ากับ 550:30:1 (Atkinson and Smith, 1984)

ส่วนแพลงก์ตอนพืชทะเลมีค่าเท่ากับ 106:16:1 (Redfield *et al.*, 1963) ซึ่งพืชแต่ละกลุ่มจะมี องค์ประกอบของธาตุอาหารภายในเซลล์และความต้องการธาตุอาหารในสัดส่วนที่ไม่เท่ากัน แต่ สัดส่วนเหล่านี้จะเป็นค่าคงที่ และเป็นสัดส่วนที่พืชสามารถดูดซึมธาตุคาร์บอน ในโตรเจน และ ฟอสฟอรัสเข้าสู่เซลล์ เห็นได้ว่า หากพืชมีอัตราการสังเคราะห์แสงสูง มีการดูดซึมสารประกอบ การรับอนมากขึ้น ก็จะส่งผลให้ปริมาณการดึงสารประกอบในโตรเจนและฟอสฟอรัสเข้าสู่เซลล์มาก ขึ้นเป็นสัดส่วนตามลำดับ ซึ่งในโตรเจนจะถูกนำไปใช้สร้างเป็นกรดอะมิโนภายในเซลล์ และสร้าง โปรตีนซึ่งเป็นโครงสร้างของเซลล์ในลำดับต่อไป ส่วนฟอสฟอรัสนับว่ามีความสำคัญต่อการ เจริญเติบโตของพืชอย่างยิ่ง เนื่องจากการกระบวนการสังเคราะห์แสง จะต้องใช้ฟอสฟอรัสเป็น องค์ประกอบในการสร้างสารพลังงานสูง ได้แก่ ATP และ NADPH_2^+ นอกจากนี้ ยังเป็น องค์ประกอบของกรดไขมันที่สะสมอยู่ภายในเซลล์อีกด้วย (Hernandez, 2545) ดังนั้น สารอาหารที่ ละลายอยู่ในน้ำหนึ่นอพิวดินและในน้ำระหว่างอนุภาคดินตะกอน จึงมีความสำคัญต่อการ เจริญเติบโตของพืชน้ำทั่วไป

ธาตุซิลิคอน เป็นองค์ประกอบภายในเซลล์ของพืชบทั่วไป มีค่าอยู่ระหว่างร้อยละ 0.1-10.0 ของน้ำหนักแห้ง (Epstein, 1994) ซึ่งในเนื้อเยื่อพืชหลายชนิด พบริสุทธิ์ในรูปโพลิเมอร์ ของ Hydrated amorphous silica ($\text{SiO}_2 \cdot n\text{H}_2\text{O}$) สะสมอยู่ในปริมาณมาก ซึ่งความสำคัญของซิลิคอน ต่อการเจริญเติบโตของพืช คือ ธาตุซิลิคอนจะช่วยเสริมสร้างความแข็งแกร่งให้กับลำต้นและใบ เพื่อประโยชน์ในการแก่งแย่งพื้นที่รับแสงของพืช (Kaufman *et al.*, 1981) ส่วนในเซลล์จะไม่ พบรายงาน อี่างไรก็ตาม Herman *et al.* (1996) ได้ทำการศึกษาความสัมพันธ์ระหว่างปริมาณ ซิลิคอนในเนื้อเยื่อใบเซลล์ Zostera marina กับปริมาณสารละลายซิลิคอนในมวลน้ำ บริเวณ Grevelingen (SW Netherlands) พบว่า ปริมาณซิลิคอนในเนื้อเยื่อใบลดลงตามความอุดม สมบูรณ์ของแหล่งน้ำซึ่งใช้ปริมาณสารละลายซิลิคอนในมวลน้ำเป็นตัวชี้วัดความอุดมสมบูรณ์ และ พื้นที่การปกคลุมของ *Z. marina* ตั้งแต่ปี ก.ศ. 1972-1992 มีแนวโน้มลดลงตามปริมาณซิลิคอนใน มวลน้ำ เช่นเดียวกับ Kamermans *et al.* (1999) ที่ทำการศึกษาในเซลล์ใน Grevelingen (SW Netherlands) พบว่า มวลชีวภาพมีความสัมพันธ์ในเชิงบวกกับปริมาณความ เข้มข้นของสารละลายซิลิคอนในมวลน้ำ

ซิลิคอนในแหล่งน้ำธรรมชาติอยู่ทั้งในรูปของสารละลายและสารแขวนลอย ละลายอยู่ ในรูปของ Monomeric orthosilicic acid ($\text{Si}(\text{OH})_4$) โดยในน้ำทะเลทั่วไปซิลิกาจะอยู่ในสภาพที่ไม่ อิ่มตัว จึงสามารถรับซิลิกาจากแหล่งน้ำจืดได้อิ่มมาก many ซิลิกาอิกรูปแบบหนึ่งคือ Biogenic silica

(SiO_2) ที่มีจากซากของพวกรไดอะตوم ซึ่งจะเป็นสารตั้งต้นในการละลายให้กรดօร์โซซิลิซิก แต่กรดօร์โซซิลิซิกในน้ำทะเลมีความเข้มข้นน้อยมาก กรดօร์โซซิลิซิกในน้ำทะเลส่วนใหญ่จะมาจากการสึกกร่อนและพัคพา Quartz Feldspar และ Clay mineral โดยนำฟันจากแผ่นดินลงสู่ทะเล ในประเทศไทยมีความเข้มข้นของกรดօร์โซซิลิซิกของทะเลและปากแม่น้ำ ขึ้นอยู่กับปริมาณน้ำฝนที่จะถูกพื้นดินนำเอาซิลิเกตลงสู่ทะเล จึงทำให้ปริมาณซิลิเกตในช่วงฤดูฝนแตกต่างจากช่วงฤดูร้อนมาก (เชยรูพงษ์, 2545)

ในขณะที่ธาตุอาหารมีบทบาทสำคัญต่อการเจริญเติบโตของหญ้าทะเล ปัจจัยอื่น ๆ สำหรับคุณภาพน้ำและดินตะกอนก็นับว่ามีผลต่อการดำรงชีวิตของหญ้าทะเลเดือดaway เช่นกัน ซึ่งสามารถอธิบายได้ดังนี้

2.2 ความเค็ม

ความเค็มนักพบมีค่าคงที่หรือเปลี่ยนแปลงไม่มากนักในบริเวณทะเลหรือมหาสมุทรเปิด (ตารางที่ 1) แต่จะผันแปรในช่วงกว้างกว่าในบริเวณที่ดีน้ำซึ่งหือบริเวณซึ่งหากระดับน้ำทะเลอาจบ่อบอกถึงประเภทของแหล่งที่อยู่อาศัยในทะเลได้ (จิตติมา, 2544)

พื้นที่แหล่งหญ้าทะเลส่วนใหญ่จะอยู่ในบริเวณชายฝั่ง เนื่องจากเป็นแหล่งของอนินทรียสาร จึงได้รับอิทธิพลจากกระแสน้ำ น้ำขึ้นน้ำลง และปริมาณน้ำฝนที่หลากหลายแผ่นดินออกสู่ทะเล ส่งผลให้ความเค็มของน้ำในบริเวณดังกล่าวมีความผันแปรทั้งในรอบวันและในแต่ละฤดูกาลค่อนข้างสูง หญ้าทะเลมีความทนทานต่อการเปลี่ยนแปลงความเค็มในช่วงกว้าง ขึ้นอยู่กับชนิดของหญ้าทะเล (McRoy and McMillan, 1977) Hillman and McComb (1988) พบว่าหญ้าทะเลชนิด *Halophila ovalis* เจริญเติบโตได้ดีที่ความเค็ม 15-30 ส่วนในพันส่วน แต่มีอุดคลองปรับความเค็มเหลือ 5-10 ส่วนในพันส่วน เป็นเวลา 4 เดือน พบว่ามีการตายของส่วนหนึ่งอดินเกิดขึ้น ในขณะที่หญ้าทะเลสกุล *Halodule* สามารถทนต่อการเปลี่ยนแปลงความเค็มได้ที่ระดับสูงกว่าตั้งแต่ 35-75 ส่วนในพันส่วน (McMillan and Mosely, 1967) นอกจากนี้ หญ้าทะเลชนิดเดียวที่ขึ้นบริเวณชายฝั่ง ได้รับอิทธิพลจากการเปลี่ยนแปลงความเค็มมากกว่าหญ้าทะเลที่ขึ้นอยู่ห่างฝั่งจะมีความทนทานต่อการเปลี่ยนแปลงความเค็มได้ไม่เท่ากัน Benjamin et al. (1999) พบว่า หญ้าทะเลชนิด *Halophila ovalis* ที่ขึ้นอยู่ในเขตทะเล (ความเค็ม 35 psu) เมื่อเข้ามาสู่บริเวณน้ำกร่อย (ความเค็ม 25 psu) จะทำให้หญ้าทะเลตายถึงร้อยละ 75 ภายใน 3 สัปดาห์

ความเค็ม สามารถอับยั้งการเจริญเติบโตของหญ้าทะเล จากปริมาณโซเดียมคลอไรด์ (NaCl) ในน้ำทะเลที่มีความเค็มสูง จะทำให้กิจกรรมการส่งผ่านไฮโคลเรนอิออน (H^+) ที่ Plasma membrane โดยการทำงานของ ATPase proton pump ลดลง ส่งผลให้อัตราการดึงสารเข้าสู่เซลล์ ลดลงค่อนข้าง (*Muramatsu et al., 2002*) ในขณะที่ความเค็มต่ำ จะทำให้ Chloroplast บวมขึ้นและมีจำนวนลดลง ส่วนหญ้าทะเลที่มีการปรับตัวต่อการเปลี่ยนแปลงความเค็มในช่วงกว้าง เช่น *Halophila ovalis* ที่อาศัยอยู่ได้ทั้งในทะเลและแหล่งน้ำกร่อย อาจเป็นผลมาจากการสร้างเยื่อหุ้มเซลล์ 2 ชั้น (Double membrane) ซึ่งส่งผลต่อการไหลผ่านของน้ำระหว่างเซลล์ (*Benjamin et al., 1999*)

2.3 อุณหภูมิ

จิตติมา (2544) กล่าวว่า อุณหภูมิเป็นปัจจัยสิ่งแวดล้อมทางกายภาพที่สำคัญปัจจัยหนึ่ง แต่มีผลต่อสิ่งมีชีวิต ไม่นานนักในน่านน้ำไทย เนื่องจากมีการเปลี่ยนแปลงในแต่ละฤดูกาล ไม่นานนัก ซึ่งโดยทั่วไปอุณหภูมน้ำทะเลจะมีช่วงความผันแปรตั้งแต่ -2 องศาเซลเซียส ถึง +30 องศาเซลเซียส ขึ้นอยู่กับตำแหน่งทางภูมิศาสตร์ ในน่านน้ำเขตร้อน (Tropical water) ปกติจะมีอุณหภูมิที่ผิวน้ำสูง กว่า 20 องศาเซลเซียส *Hillman et al. (1989)* กล่าวว่า การเปลี่ยนแปลงแสงและอุณหภูมิตามฤดูกาล ในเขตร้อน ส่งผลต่อหญ้าทะเลไม่ค่อยเด่นชัดเท่าในเขตตอบอุ่นและเขตหนาว หญ้าทะเลชนิดที่ขึ้นในเขตร้อน มีความทนทานต่อช่วงเวลาในการเปลี่ยนแปลงอุณหภูมิสูงกว่าหญ้าทะเลที่ขึ้นในเขตตอบอุ่น (*Bulthuis, 1987*) ซึ่ง *Hillman and McComb (1988)* พบว่า *Halophila ovalis* มีการเจริญเติบโตดี ในช่วงอุณหภูมิ 10-15 องศาเซลเซียส

ความทนทานต่อการเปลี่ยนแปลงอุณหภูมิขึ้นอยู่กับชนิดของหญ้าทะเลซึ่งเป็นอุณหภูมิที่เหมาะสมต่อการสังเคราะห์แสง การหายใจ และการเจริญเติบโต โดยอุณหภูมิจะมีผลโดยตรง กับการสังเคราะห์แสงและการหายใจในหญ้าทะเล กล่าวคือ เมื่ออุณหภูมิสูงขึ้น อัตราการหายใจของใบจะเพิ่มขึ้นอย่างรวดเร็วมากกว่าอัตราการสังเคราะห์แสง เป็นผลให้ทั้งสัคลส่วนระหว่างการสังเคราะห์แสง (Photosynthesis) ต่อการหายใจ (Respiration) (P:R ratio) และการเจริญเติบโตมีค่าลดลง (*Short et al., 2001*)

2.4 ออกซิเจนละลายน้ำและความเป็นกรดเป็นด่าง

Johnstone (1979) กล่าวว่า หญ้าทะเลมีการผลิตออกซิเจนในเวลากลางวันจากกระบวนการสังเคราะห์แสง และทำให้ออกซิเจนที่ละลายน้ำหนึ่งแทลงหญ้าทะเลมีปริมาณสูงซึ่งบางครั้งเกินจุดอิ่มตัว และอาจสูงถึงร้อยละ 260 ส่วนในเวลากลางคืนจะทำให้กุณภาพน้ำอยู่ในสภาวะขาดออกซิเจน จะเห็นได้ว่า หญ้าทะเลมีบทบาทต่อปริมาณออกซิเจนที่ละลายน้ำ อย่างไรก็ตาม ถึงแม้ว่าออกซิเจนที่ละลายได้ในน้ำจะไม่มีบทบาทต่อหญ้าทะเลโดยตรง แต่ผลทางอ้อมพบว่า ปริมาณออกซิเจนละลายน้ำซึ่งบ่งบอกถึงปริมาณการสังเคราะห์แสงของพืชจะมีผลต่อสมดุลของความเป็นกรดเป็นด่างของน้ำ เนื่องจากในเวลากลางวันหญ้าทะเลจะใช้คาร์บอนไดออกไซด์ที่ละลายน้ำในกระบวนการสังเคราะห์แสง เป็นผลให้ความเป็นกรดเป็นด่างของน้ำสูงขึ้น ซึ่งตรงข้ามความเข้มข้นของไฮโดรเจนอิオน (H^+) ที่เกิดจากการแตกตัวของไบคาร์บอนเนตที่มีค่าคงคลง (สุจินต์, 2524) ดังสมการที่ 1 และ 2

$$pH = -\log c_{H^+} \quad (1)$$

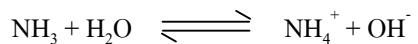


แม้ว่าความเป็นกรดเป็นด่างของน้ำทะเลจะเปลี่ยนแปลงไม่มาก เนื่องจากน้ำทะเลมีความสามารถกักกันกลาง (Buffer capacity) จากระบบคาร์บอนเนต กรดบอริก และเกลือบอริเต ทำให้ความเป็นกรดเป็นด่างของน้ำทะเลมีค่าค่อนข้างคงที่อยู่ในช่วง 7.8-8.3 (สุจินต์, 2524) อย่างไรก็đ แหล่งหญ้าทะเลในประเทศไทยส่วนใหญ่ โดยเฉพาะหญ้าทะเลชนิด *Enhalus acoroides* จะอยู่บริเวณชายฝั่ง ได้รับอิทธิพลจากน้ำจืดและการปล่อยของเสียจากแหล่งชุมชน เกษตรกรรม และการเพาะเลี้ยงชายฝั่งชายฝั่งในปริมาณมาก ค่าความเป็นกรดเป็นด่างของน้ำในเขตชายฝั่งจึงอาจเปลี่ยนแปลงมากกว่าในเขตทะเลได้ และจากการรายงานคุณภาพน้ำทะเลชายฝั่งทั่วประเทศในฤดูฝนของกรมควบคุมมลพิษ (2548) พบรความเป็นกรดเป็นด่างของน้ำทะเลมีค่าอยู่ระหว่าง 7.0-8.5 ส่วนค่าความเป็นกรดเป็นด่างของน้ำทะเลชายฝั่งเกาะลันตาบริเวณแหล่งกำเนิดมลพิษ ในเดือนมีนาคม พ.ศ. 2548 มีค่าอยู่ระหว่าง 5.76-8.39 (กรมควบคุมมลพิษ, 2549)

ออกซิเจนละลายในน้ำ นอกจากจะแสดงผลโดยอ้อมกับความเป็นกรดเป็นด่างดังกล่าว ข้างต้น ยังมีผลโดยตรงกับการเปลี่ยนรูปของสารประกอบของชาตุอาหารในน้ำ เช่น การเกิดกระบวนการทางชีวเคมีของแบคทีเรียกลุ่ม Aerobic bacteria ที่ทำหน้าที่ย่อยสลายแอมโมเนียมให้กลาวยเป็นไนโตรทีและไนเตรท ตามลำดับ โดยเรียกกระบวนการนี้ว่า “Nitrification” (จารุมาศ, 2548) นอกจากนี้ ออกซิเจนละลายในน้ำยังสนับสนุนให้กิจกรรมของ Aerobic bacteria กลุ่มนี้อีก ที่ทำหน้าที่ย่อยอนทริยสารให้กลาวยเป็นอนินทริยสารในน้ำที่พื้นท้องการเพิ่มขึ้นได้อีกด้วย

ความสำคัญของความเป็นกรดเป็นด่างของน้ำทะเลและดินตะกอนต่อการคุณค่าชาตุอาหารเข้าสู่เซลล์พืช เช่น ในแพลงค์ตอนพืช พบว่า หากความเป็นกรดเป็นด่างระหว่างน้ำทะเลและภัยในเซลล์ต่างกันเท่ากับ 1 จะทำให้ความต่างศักย์มีค่าเท่ากับ 59 mv ความต่างศักย์ที่เกิดขึ้นระหว่างภายนอกและภัยในเซลล์นี้ หากเพิ่มขึ้นก็จะยิ่งทำให้การคุณค่าชาตุอาหาร โดยการทำงานของ ATPase proton pump เพิ่มขึ้นด้วย (เซยูฟงษ์, 2545)

ความเป็นกรดเป็นด่างของน้ำทะเลเด่นอย่างมากจากกระบวนการคุณค่าชาตุอาหารในเซลล์พืชแล้ว ยังทำหน้าที่ปรับสมดุลระหว่างปริมาณแอมโมเนียม (NH_3) และแอมโมเนียม (NH_4^+) ในน้ำ ดังสมการ



จากการข้างต้น เมื่อพิจารณาถึงทะเลในประเทศไทย ซึ่งมีความเป็นกรดเป็นด่างประมาณ 8.0 และมีอุณหภูมิของน้ำประมาณ 30 องศาเซลเซียส จะมีแอมโมเนียมประมาณร้อยละ 93 หากความเป็นกรดเป็นด่างมีค่ามากกว่า 8.0 ปฏิกิริยาจะข้อนกับ ปริมาณแอมโมเนียมจะลดลง หากความเป็นกรดเป็นด่างมีค่าน้อยกว่า 8.0 ปฏิกิริยาจะดำเนินไปข้างหน้า ปริมาณแอมโมเนียมจะเพิ่มขึ้น เซยูฟงษ์ (2545) ได้กล่าวว่า แอมโมเนียมจะเป็นสารอาหารที่พืชเลือกนำเข้าสู่เซลล์ก่อนสารอาหารชนิดอื่น ๆ เนื่องจากมีมวลโมเลกุลน้อยที่สุดซึ่งเทียบเท่ากันน้ำ (มวลโมเลกุลเท่ากับ 18) จึงสามารถแพร่ผ่านเข้าสู่เซลล์โดยกระบวนการ Simple diffusion ซึ่งไม่ต้องใช้พลังงานจากเซลล์ อีกทั้ง เซลล์สามารถนำแอมโมเนียมเข้าไปใช้ในกระบวนการสร้างกรดอะมิโนได้โดยตรง ในขณะที่ในไตรท (NO_3^-) และไนไตรท (NO_2^-) เมื่อพืชนำเข้าสู่เซลล์ จะต้องใช้ออนไซด์ Nitrate reductase ย่อยในไตรทให้เป็นไนไตรท และใช้ออนไซด์ Nitrite reductase ย่อยในไนไตรทให้เป็นแอมโมเนียม ตามลำดับ ซึ่ง Walsted (1994) กล่าวในทำนองเดียวกันว่า สาหร่ายทะเลและพะรรณ ไม่มีน้ำมี

ความสามารถในการใช้สารประกอบในโตรเจนในรูปแอมโมเนียมมากกว่าในteredที่ซึ่งต่างจากพืชบกทั่วไปที่มักใช้สารประกอบในโตรเจนในรูปในteredได้ดีกว่า

2.5 คุณภาพดินตะกอนอื่น ๆ

คุณภาพดินตะกอนอื่น ๆ นอกเหนือจากธาตุอาหารในน้ำระหว่างอนุภาคดินตะกอนที่ได้กล่าวไว้ข้างต้นแล้วจะประกอบด้วย ขนาดอนุภาคของดินตะกอน (Grain size) ปริมาณน้ำในดินตะกอน (Water Content: WC) และปริมาณสารอินทรีย์รวมในดินตะกอน (Total Organic Matter: TOM) อธิบายได้ดังนี้

ดินตะกอน หรือ Sediments หมายถึง อนุภาคที่อาจเป็นสารอินทรีย์หรือสารอนินทรีย์ซึ่งเกิดจากการพังทลายของดิน (Soil erosion) หรือการที่หินหรือพื้นดินบริเวณใกล้แหล่งน้ำถูกกดเข้า รวมถึงโครงสร้างที่เป็นของแข็งของสิ่งมีชีวิตที่ถูกพัดพามาหรือเกิดขึ้นภายในแหล่งน้ำแล้วสิ่งเหล่านี้ได้มีการตกตะกอนทับคลุมบนพื้นท้องน้ำ (จารุมาศ, 2548)

2.5.1 ขนาดอนุภาคของดินตะกอน

ขนาดของอนุภาคดินตะกอนมีความสัมพันธ์โดยตรงกับองค์ประกอบทางเคมีของดินตะกอน และมีบทบาทต่อความอุดมสมบูรณ์ของดินตะกอนอีกด้วย โดยดินตะกอนที่มีอนุภาคใหญ่จะมีการไหลผ่านของน้ำได้ดี และมักมีน้ำหรือปริมาณอินทรีย์สารหลงเหลืออยู่น้อย ในทางตรงข้าม ดินที่มีอนุภาคละเอียด อนุภาคค่อนข้างอัดแน่นรวมตัวกันดี มีปริมาณน้ำและอินทรียสารสูง แต่น้ำจะมีการไหลเวียนผ่านระหว่างอนุภาคดินตะกอนได้ไม่ดี (จารุมาศ, 2548) ขนาดของอนุภาคดินตะกอนสามารถนำมาใช้ในการจำแนกชนิดของดินตะกอนซึ่งแสดงได้ดังตารางที่ 2

กาญจนภานุและคณะ (2534) ได้อธิบายถึงความสัมพันธ์ระหว่างหนัญชาทะเลกับลักษณะของดินตะกอนที่เป็นที่อยู่อาศัย ซึ่งหนัญชาทะเลแต่ละชนิดจะสามารถขึ้นในดินตะกอนที่มีลักษณะแตกต่างกันไป (ตารางที่ 3) นอกจากนี้ den Hartog (1970) รายงานว่า *Cymodocea rotundata* จะพบมากบริเวณที่เป็นโคลนแน่น และจะลดลงเมื่อพื้นเป็นวัตถุหยาบ ถ้าพื้นเป็นรายปนประการจะพบน้อยหรือไม่พบเลย และ *Cymodocea serrulata* มักขึ้นบนพื้นทรายที่มีชากร

ประการัง หากเป็นบริเวณที่มีชาติประการังที่คลุมด้วยโคลนจะขึ้นหนาแน่น ถ้าเป็นพื้นทรายปนโคลน จะพบไม่มากนัก และถ้าเป็นพื้นโคลนนิ่มจะไม่พบเลย

2.5.2 น้ำในดินตะกอน

ปริมาณน้ำในดินตะกอนเป็นค่าที่แสดงสัดส่วนของน้ำหนักน้ำต่อน้ำหนักดิน ตะกอนในปริมาตรของดินตะกอนหนึ่ง ๆ แสดงออกมาในรูปของร้อยละของน้ำหนักดิน ทั้งนี้ ปริมาณน้ำในดินตะกอนจะเป็นปัจจัยทางกายภาพเบื้องต้น สามารถสะท้อนขนาดอนุภาคของดิน ตะกอน และสภาพความอุดมสมบูรณ์ทางอินทรียสารในดิน โดยระดับของปริมาณน้ำในดินต่ำ เช่น ประมาณร้อยละ 20-40 มักมีองค์ประกอบส่วนใหญ่เป็นทรายเนื้อหยาบและมีปริมาณอินทรียสารต่ำ ด้วย (จากรุมาศ, 2548)

2.5.3 สารอินทรีย์ในดินตะกอน

สารอินทรีย์ในดินตะกอน จะประกอบด้วยชาตุการ์บอน ไฮโดรเจน ออกซิเจน และไนโตรเจนอยู่ร้อยละ 58 10 20 และ 5 ตามลำดับ ส่วนฟอสฟอรัส และกำมะถันจะมีอยู่ย่างละ ร้อยละ 1 (Jackson, 1958) ซึ่งสารอินทรีย์ในดินตะกอนสามารถตอบถึงความอุดมสมบูรณ์ของแหล่งน้ำไม่ว่าจะเป็นน้ำจืดหรือทะเล โดยแหล่งน้ำที่สมบูรณ์มากพบปริมาณสารอินทรีย์ได้มากกว่าแหล่งน้ำที่ไม่สมบูรณ์ (ปีร์ยมศักดิ์, 2525) เนื่องจากสารอินทรีย์ในดินตะกอน เมื่อผ่านกระบวนการย่อยสลายโดยแบคทีเรียนอยู่ในรูปสารอนินทรีย์ เช่น แอมโมเนียม ในไตรท์ และไนเตรท ซึ่งจะละลายอยู่ในน้ำระหว่างอนุภาคดินตะกอนแล้ว ความเข้มข้นของสารอนินทรีย์ในดินตะกอนที่สูงกว่าก็จะถูกปล่อยโดยกระบวนการ Advection ออกสู่มวลน้ำ (เชษฐรุพงษ์, 2545) ดังนั้น สารอินทรีย์ในดินตะกอนจึงเป็นแหล่งชาตุอาหารที่สำคัญสำหรับกลุ่มผู้ผลิตเบื้องต้น เช่น แพลงก์ตอนพืช สาหร่าย และหญ้าทะเล เป็นต้น

ปัจจัยที่ควบคุมการสลายตัวของสารอินทรีย์มีทั้งองค์ประกอบทางเคมีของสารอินทรีย์เองและสภาพแวดล้อมของสารอินทรีย์ เช่น อุณหภูมิ การถ่ายเทอากาศ ความชื้น ความเป็นกรดเป็นด่าง และปัจจัยอื่น ๆ ที่ควบคุมการเจริญเติบโตของจุลินทรีย์ (สมศักดิ์, 2528) การย่อยสลายที่อุณหภูมิสูงจะเกิดขึ้นได้เร็วกว่าที่อุณหภูมิต่ำ (ศุภมาศ, 2529) โดยจะเกิดขึ้นได้ดีที่อุณหภูมิ 30-40 องศาเซลเซียส (สมศักดิ์, 2528) Brewer and Pfander (1979) พบว่า บริเวณท้องน้ำที่มีปริมาณ

ออกซิเจนเพียงพอ การทำงานของแบคทีเรียกลุ่ม Aerobic bacteria จะทำการย่อยสลายสารอินทรีย์ได้ดี โดยสารอินทรีย์ที่มีไมเลกุลขนาดเล็กจะถูกย่อยสลายได้ดีกว่าสารอินทรีย์ที่มีไมเลกุลขนาดใหญ่

นอกจากนี้ ปริมาณสารอินทรีย์ในน้ำยังส่งผลต่อปริมาณสารอินทรีย์ในดิน ตะกอนด้วย ศิรินา (2531) และ วิลาสินี (2533) รายงานว่า เมื่อความเข้มข้นของสารอินทรีย์ในน้ำสูงขึ้นมักพบความเข้มข้นของสารอินทรีย์ในดินตะกอนสูงตามด้วย ความละเอียดของอนุภาคดิน ตะกอนที่สามารถส่งผลต่อการสะสมสารอินทรีย์ในดินตะกอนได้ด้วยเช่นกัน ซึ่งพบว่า สารอินทรีย์จะยึดเกาะเนื้อดินตะกอนที่มีขนาดอนุภาคละเอียด มีความหนืดลื่นสูง ได้ดีกว่าดินตะกอนหยาบ มีปริมาณของรายปีมาก (สมเจตน์, 2530)

ตารางที่ 1 ช่วงความผันแปรของความเค็มในสิ่งแวดล้อมทางทะเลต่าง ๆ

สิ่งแวดล้อมทางทะเล	ช่วงความผันแปรความเค็ม (psu)
ทะเล/มหาสมุทรเปิด (Open ocean)	32-38 (เฉลี่ย 35)
บริเวณที่ตื้นชายฝั่งทะเล (Shallow coastal areas)	27-30
ช่องทางเดด (Estuaries)	0-30*
ทะเลกึ่งปิด (Semi-enclosed seas)	<25*
สิ่งแวดล้อมที่มีความเค็มสูง (Hypersaline environments)	>40

*บริเวณน้ำกร่อย (Brackish water)

ที่มา: ปรับปรุงจาก จิตติมา (2544)

ตารางที่ 2 การจำแนกชนิดของดินตะกอนตามขนาดโดยวิธีของ Wentworth

ประเภทดินตะกอน	ขนาดดินตะกอน	
	มิลลิเมตร (mm)	ไมโครเมตร (μm)
Boulder	ใหญ่กว่า 256	-
Cobble	256 – 64	-
Pebble	64 – 4	-
Granule	4 – 2	-
Very coarse sand	2 – 1	2,000 – 1,000
Coarse sand	1 – 0.5	1,000 – 500
Medium sand	0.5 – 0.25	500 – 250
Fine sand	0.25 – 0.125	250 – 125
Very fine sand	0.125 – 0.063	125 – 63
Silt	0.063 – 0.004	63 – 4
Clay	เล็กกว่า 0.004	เล็กกว่า 4

ที่มา: จารุมาศ (2548)

ตารางที่ 3 ความสัมพันธ์ระหว่างชนิดหญ้าทะเลกับลักษณะของดินตะกอนที่เป็นพื้นที่อยู่อาศัย

ชนิดหญ้าทะเล	ลักษณะของดินตะกอนที่เป็นพื้นที่อยู่อาศัย						
	ทราย	ทราย	ทราย	ชาด	ทราย	โคลน	โคลน
	ละเอียด	ปนชาด	ปะการัง	ปน	โคลน	ทราย	
			ปะการัง		โคลน	โคลน	
<i>Halodule pinifolia</i>	+	-	-	-	-	+	-
<i>Halodule uninervis</i>	+	-	-	-	-	-	+
<i>Cymodocea rotundata</i>	-	-	+	-	+	-	+
<i>Cymodocea serrulata</i>	-	+	+	-	+	-	-
<i>Ruppia maritima</i>	-	-	-	-	-	-	+
<i>Syringodium isoetifolium</i>	-	-	-	-	-	-	+
<i>Enhalus acoroides</i>	+	-	-	-	-	-	+
<i>Thalassia hemprichii</i>	-	-	+	+	+	-	+
<i>Halophila ovalis</i>	-	-	+	+	-	+	+
<i>Halophila minor</i>	-	-	-	-	+	-	+
<i>Halophila decipiens</i>	-	-	-	+	+	-	-
<i>Halophila beccariei</i>	-	-	-	-	-	+	+

+ พบรหัสษาเดล

- ไม่พบรหัสษาเดล

ที่มา: ข้อมูลรายงานของกลุ่มนักวิชาชีพและคณบ (2534)

3. การศึกษามวลชีวภาพของหญ้าทะเล

มวลชีวภาพของหญ้าทะเล (Biomass) หมายถึง น้ำหนักของหญ้าทะเลทั้งต้นซึ่งรวมทั้งราก และเหง้าต่อหน่วยพื้นที่ ทำได้โดยการสู่มด้วย Quadrat ที่ทราบขนาดและบุดทั้งส่วนที่อยู่เหนือดิน และส่วนที่อยู่ใต้ดินขึ้นมาทั้งหมด แต่เนื่องจากรากรและเหง้าของหญ้าทะเลบางชนิดฝังอยู่ลึก ไม่สามารถขุดขึ้นมาได้หมด การรายงานค่ามวลชีวภาพของหญ้าทะเลส่วนใหญ่จึงใช้ค่าของส่วนที่อยู่เหนือดิน (Above ground biomass) ซึ่งรวมทั้งดอกและผล หรือถ้าคิดเฉพาะใบก็จะเป็นค่ามวลชีวภาพของใบ (Leaf biomass) (กาญจนภานุ์และคณะ, 2534)

กาญจนภานุ์และคณะ (2534) ได้ทำการศึกษามวลชีวภาพบริเวณหาดสันงาม และหาดเขาหน้าชัยกษ์ จังหวัดพังงา จากหญ้าทะเลที่ขึ้นอยู่ ผลประภากว่า หญ้าทะเลทั้ง 6 ชนิด ที่ขึ้นอยู่บริเวณหาดสันงาม มีการเปลี่ยนแปลงไม่เด่นชัด แต่พอกล่าวได้ว่า ระหว่างเดือนมิถุนายนถึงสิงหาคม พ.ศ. 2533 ค่ามวลชีวภาพสูงสุดเมื่อเทียบกับเดือนอื่น ๆ และเมื่อพิจารณาตามชนิดของหญ้าทะเลแล้ว พบว่า *Enhalus acoroides* มีค่ามวลชีวภาพสูงที่สุด คือ 533.57 กรัม/น้ำหนักแห้งต่อตารางเมตร รองลงมา คือ *Cymodocea serrulata* *Syringodium isoetifolium* *Halodule uninervis* *H. pinifolia* และ *Halophila ovalis* มีค่ามวลชีวภาพเป็น 161.21 142.88 133.81 93.56 และ 40.00 กรัม/น้ำหนักแห้ง ต่อตารางเมตร ตามลำดับ มวลชีวภาพของหญ้าทะเลบริเวณหาดสันงาม จึงมีค่าเฉลี่ยเป็น 201.50 กรัม/น้ำหนักแห้งต่อตารางเมตร ส่วนที่หาดเขาหน้าชัยกษ์ซึ่งมีเฉพาะ *Thalassia hemprichii* เพียงชนิดเดียว และมีมวลชีวภาพเฉลี่ย 316.53 กรัม/น้ำหนักแห้งต่อตารางเมตร ทั้งนี้ หากพิจารณาค่ามวลชีวภาพของส่วนเหนือดินและส่วนใต้ดิน พอจะกล่าวได้ว่า ส่วนเหนือดินมีการเปลี่ยนแปลงมากกว่า ส่วนใต้ดิน เนื่องจากในมีการเปลี่ยนแปลงตลอดเวลา ซึ่งได้แก่ในแน่นมากค่ามวลชีวภาพของส่วนเหนือดินจะต่ำ ในทางตรงข้าม หากช่วงใดเป็นช่วงที่มีดอกและผลมาก ค่ามวลชีวภาพจะสูงกว่าปกติ หรือถ้ามี Epiphyte มากและกำจัดออกไม่หมดจะทำให้มวลชีวภาพมีค่าสูงกว่าความเป็นจริง สำหรับค่ามวลชีวภาพของส่วนใต้ดินนั้นจะใช้เป็นตัวกำหนดได้ดีกว่าหากสามารถบุดได้ครบสมบูรณ์ทั้งรากและเหง้า เนื่องจากรากรและเหง้าของหญ้าทะเลบางชนิดฝังอยู่ลึกมาก ทำให้การบุดให้หมดนั้นทำได้ยาก เช่น หญ้าทะเลชนิด *Enhalus acoroides* และ *Thalassia hemprichii* ที่สำคัญ จากการเปรียบเทียบอัตราส่วนระหว่างมวลชีวภาพของส่วนเหนือดินและส่วนใต้ดินของหญ้าทะเลทั้งหมด 7 ชนิด พบว่าหญ้าทะเล 6 ชนิด ซึ่งได้แก่ *Cymodocea serrulata* *Enhalus acoroides* *Halodule pinifolia* *H. uninervis* *Syringodium isoetifolium* และ *Thalassia hemprichii* มีอัตราส่วนอยู่ระหว่าง 1.0:1.5 ถึง 1.0:3.5 และคงว่าส่วนที่อยู่ใต้ดินมีค่ามวลชีวภาพมากกว่าส่วนที่อยู่เหนือดิน

ยกเว้น *Halophila ovalis* มีอัตราส่วนเท่ากับ 1.0:0.7 นอกจากนี้ Kuo and McComb (1989) กล่าวว่า ในการศึกษามหาลชีวภาพของหญ้าทะเลเม็กพบว่ามหาลชีวภาพส่วนได้ดินมีมากกว่าส่วนเหนือดิน โดย สัดส่วนระหว่างมหาลชีวภาพส่วนเหนือดินและส่วนใต้ดินจะมีค่าน้อยกว่า 1

การศึกษาอัตราส่วนระหว่างมหาลชีวภาพส่วนเหนือดินกับส่วนใต้ดินโดย Zieman and Wetzel (1980) โดยศึกษาในหญ้าทะเลชนิด *Thalassia hemprichii* ที่ประเทศ Puerto Rico พบว่า ค่า จะแปรเปลี่ยนไปตามลักษณะของพื้น หากเป็นพื้นโคลนละอียดจะมีค่าเท่ากับ 1:3 หากเป็นพื้น โคลนปนทรายค่าจะเป็น 1:5 และค่าอัตราส่วนจะลดลงเป็น 1:7 เมื่อพื้นเป็นทรายหยาบ ทั้งนี้ *T. hemprichii* จะเจริญได้ดีในพื้นที่มีลักษณะหยาบ นอกจากนี้ Sand-Jensen (1975) ยังพบว่า อัตราส่วนของใบและเหง้าของ *Thalassia spp.* จะเปลี่ยนจาก 1:2 ในฤดูหนาวเป็น 1:1 ในฤดูร้อน

ឧបករណ៍នៃវិធីការ

ឧបករណ៍

1. ឧបករណ៍សំខាន់កែបត្រូយោងនិងវិគ្រារ់គុណភាពនាំ

- 1.1 កើតុក Multi-parameter Water Quality Monitor មុន 6600 Sonde
- 1.2 កើតុកវិគ្រារ់គុណភាពទាញខ្លួន (Nutrients Automatic Analyzer) មុន Skalar មុន
The SAN^{plus} Segmented flow analysers
- 1.3 ករាបាយករង (Glass Microfibre Filters: GF/F) មុន Whatman ដៅតាមតម្លៃការងារ 25
មិត្តិមេត្រ
- 1.4 ឧបករណ៍នៃករងនាំ (Filter set)
- 1.5 អលូដីជាយណាត 10 មិត្តិមេត្រ
- 1.6 អលូដកែបត្រូយោងនាំ 10 មិត្តិមេត្រ
- 1.7 បកកិប (Millipore forceps)
- 1.8 សារគេិត្យសំខាន់កែបត្រូយោងនិងវិគ្រារ់គុណភាពនាំ
- 1.9 កើតុកកំឡុងនាំ មុន Hamilton មុន WSC/4D

2. ឧបករណ៍សំខាន់កែបត្រូយោងនិងវិគ្រារ់គុណភាពនាំ

- 2.1 ថែកកិចិនិត្យសំខាន់កែបត្រូយោងនិងវិគ្រារ់គុណភាពនាំ មុន 4.7 មិត្តិមេត្រ មាត្រា 50 មិត្តិមេត្រ ព្រឹមចុកយោង
- 2.2 ផែនតុកិចិន (Cut plate)
- 2.3 Porcerlaine crucible មុន HCT, 101/30
- 2.4 ក្រុមគោរមិនី (Desicator)
- 2.5 Aluminum foil
- 2.6 កើតុកខ្សោយការិយាល័យសំខាន់កែបត្រូយោងនិងវិគ្រារ់គុណភាពនាំ Sartorius មុន BL210S
- 2.7 តោខោ (Oven) មុន Memmert មុន 500
- 2.8 គុងអូនអក្សមិនុង (Furnace) មុន Thermolyne មុន 47900
- 2.9 កុងមិនុង

2.10 ดาดละลูมิเนียม

2.11 ถุงมือยางแบบไม่มีแป้ง (Latex Desposable Gloves)

2.12 เครื่องวัดความเป็นกรดเป็นด่าง (pH meter)

2.13 ตะแกรงร่อนขนาด 1,000 500 250 125 และ 63 ไมโครเมตร

2.14 กระดาษกรองขนาดเส้นผ่าศูนย์กลาง 110 มิลลิเมตร ของ Whatman เปอร์ 2

3. อุปกรณ์สำหรับเก็บตัวอย่างและวิเคราะห์ัญญาทະເລ

3.1 กรอบท่อ PVC รูปสี่เหลี่ยมจตุรัส (Quadrat) ขนาด 50x50 ตารางเซนติเมตร และขนาด 100x100 ตารางเซนติเมตร

3.2 พลั่วมือ

3.3 ถุงเก็บตัวอย่าง

3.4 กล้องถ่ายรูป

3.5 ดาดละลูมิเนียม

3.6 Forceps

3.7 เตาอบ (Oven) ของ Memmert รุ่น 500

3.8 เครื่องชั่งทศนิยมสองตำแหน่งของ Sartorius รุ่น BP410

3.9 ขวดเก็บรักษาตัวอย่าง

3.10 ฟอร์มาลิน 4%

3.11 กระดาษหนังสือพิมพ์

วิธีการ

1. วิธีการสำรวจและเก็บตัวอย่าง

การสำรวจแหล่งหญ้าทะเลและเก็บตัวอย่างเพื่อศึกษาคุณภาพน้ำและดินตะกอนที่เหมาะสม ต่อการเจริญเติบโตของหญ้าทะเลในประเทศไทยในครั้งนี้ จุดมุ่งหมายสูงสุดก็คือ การได้มาซึ่งช่วงของค่าคุณภาพน้ำและคุณภาพดินตะกอนสำหรับการพิจารณาเลือกแหล่งปลูกหญ้าทะเล โดยที่การปลูกนั้นประสบความสำเร็จ กล่าวคือ หญ้าทะเลที่ทำการปลูกสามารถอาศัยอยู่ตลอดจนมีการเจริญเติบโตและขยายพันธุ์เพิ่มพื้นที่ปักกุณจนกลายเป็นระบบนิเวศหญ้าทะเลได้ ดังนั้น เพื่อให้ได้มาซึ่งช่วงของคุณภาพน้ำและดินตะกอนที่หญ้าทะเลสามารถอาศัยอยู่ได้ ลักษณะการสำรวจและเก็บตัวอย่างจึงทำได้ดังนี้ คือ

1.1 การเก็บตัวอย่างครอบคลุมพื้นที่ เป็นการเก็บตัวอย่างและสำรวจน้ำทะเลและดินตะกอนครอบคลุมพื้นที่ทั้งบริเวณที่มีหญ้าทะเลขึ้นอยู่ และในบริเวณใกล้เคียงแต่ไม่มีหญ้าทะเลขึ้น ทั้งนี้ เพื่อให้ได้ค่าของคุณภาพสิ่งแวดล้อมที่เหมาะสมสมคลองคลุนในช่วงกว้าง

1.2 การเก็บตัวอย่างเฉพาะจุดที่พบหญ้าทะเล เป็นการเก็บตัวอย่างและสำรวจดินตะกอนและหญ้าทะเลในบริเวณที่มีหญ้าขึ้นอยู่ เพื่อให้ได้ค่าทางสิ่งแวดล้อมที่มีช่วงแคบลง มีความจำเพาะต่อหญ้าทะเลแต่ละชนิดมากขึ้น

1.3 การเก็บตัวอย่างเฉพาะจุดในบริเวณที่ไม่พบหญ้าทะเล เป็นการเก็บตัวอย่างและสำรวจดินตะกอนในบริเวณที่ไม่มีหญ้าขึ้นอยู่ เพื่อใช้เปรียบเทียบคุณภาพของดินตะกอนระหว่างดินตะกอนบริเวณที่มีหญ้าทะเลและดินตะกอนบริเวณที่ไม่มีหญ้าทะเล

ช่วงของคุณภาพสิ่งแวดล้อมที่ได้จากลักษณะการสำรวจและเก็บตัวอย่างดังกล่าว สามารถนำไปใช้พิจารณาความเป็นไปได้ หรือโอกาสที่หญ้าทะเลชนิดใดชนิดหนึ่งจะสามารถอยู่รอดได้โดยค่าของคุณภาพสิ่งแวดล้อมที่เหมาะสมในช่วงกว้าง จะมีความเป็นไปได้ในการปลูกหญ้าทะเลต่ำกว่าค่าของคุณภาพสิ่งแวดล้อมที่เหมาะสมในช่วงแคบที่มีความจำเพาะเจาะจงมากกว่า อย่างไรก็ตาม โอกาสที่จะพบแหล่งปลูกหญ้าทะเลเหล่านั้น โดยมีค่าของคุณภาพสิ่งแวดล้อมใกล้เคียงกันแหล่งจริงทุกพารามิเตอร์นั้น นับว่าเป็นไปได้ยาก

2. การเก็บรวบรวมข้อมูล ตัวอย่าง และการวิเคราะห์

2.1 การเก็บรวบรวมข้อมูลและตัวอย่าง

2.1.1 ทำการรวบรวมข้อมูลและเอกสารที่เกี่ยวข้อง จาการสารในประเทศและต่างประเทศ รายงานและเอกสารทางวิชาการ หนังสือ ตลอดจนสิ่งพิมพ์ที่เกี่ยวข้อง เพื่อใช้เป็นข้อมูลพื้นฐานในการวิเคราะห์ข้อมูลจากการทดลอง โดยเฉพาะ การศึกษาข้อมูลทุกภูมิภาคด้านมวลชีวภาพของหญ้าทะเลและคุณภาพสิ่งแวดล้อมในบริเวณแหล่งหญ้าทะเลในประเทศไทย เพื่อประกอบการพิจารณาระดับความอุดมสมบูรณ์ของหญ้าทะเล และระดับคุณภาพสิ่งแวดล้อมต่อชนิดของหญ้าทะเลในประเทศไทย

2.1.2 เก็บข้อมูลคุณภาพน้ำเบื้องต้นโดยใช้ Multi-parameter Water Quality Monitor เพื่อวัดค่า ความเค็ม อุณหภูมิ อออกซิเจนและcyanin และความเป็นกรด-ด่าง

2.1.3 เก็บตัวอย่างน้ำเพื่อนำมาวิเคราะห์หาปริมาณธาตุอาหารในน้ำ โดยใช้หลอดนีดยา (Syringe) ขนาด 10 มิลลิลิตร เก็บตัวอย่างน้ำและกรองผ่านชุดกรอง (Filter set) ที่มีกระดาษกรอง GF/F บรรจุอยู่ เก็บน้ำตัวอย่างที่กรองไว้ในหลอดเก็บตัวอย่างน้ำขนาด 10 มิลลิลิตร ซึ่งจะเก็บตัวอย่างน้ำในแต่ละจุดที่กำหนด โดยจะเก็บที่บริเวณผิวน้ำและผิวดินตะกอนอย่างละ 2 หลอด นำตัวอย่างน้ำที่ได้ไปแช่เย็น หลังจากนั้นเมื่อกลับมาถึงห้องปฏิบัติการ นำตัวอย่างน้ำที่ได้ไปเก็บไว้ในตู้เย็นที่มีอุณหภูมิ -20 องศาเซลเซียส เพื่อรอนำไปทำการวิเคราะห์หาปริมาณธาตุอาหาร โดยใช้เครื่องวิเคราะห์ธาตุอาหารอัตโนมัติ (Nutrients Auto Analyzer ของ Skalar) และรีบันนำตัวอย่างน้ำไปทำการวิเคราะห์ภายในระยะเวลาไม่超過 3 เดือน หลังจากการเก็บตัวอย่าง เพื่อให้ได้ผลการวิเคราะห์ใกล้เคียงกับความเป็นจริงมากที่สุด

2.1.4 ใช้ pH meter วัดค่าความเป็นกรดเป็นด่างที่ผิวดินตะกอน

2.1.5 เก็บตัวอย่างดินโดยใช้ Core tube ขนาดเส้นผ่านศูนย์กลาง 5 เซนติเมตร ในการเก็บตัวอย่างดินตามจุดที่กำหนดให้ได้ดินความลึก 10 เซนติเมตร ใช้แผ่น Cut plate ตัดดินออกเป็นชิ้น ๆ ทุก ๆ 1 เซนติเมตร จำนวน 1 Core สำหรับวิเคราะห์หาธาตุอาหารในน้ำระหว่างอนุภาคดินตะกอน ปริมาณน้ำและสารอินทรีย์รวมในดินตะกอน และดินตะกอนความลึก 0-5 เซนติเมตร

สำหรับวิเคราะห์หาขนาดอนุภาคดินตะกอน จำนวน 1 Core ส่วนการเก็บดินในบริเวณที่เป็นหญ้าทะเลชนิด *Enhalus acoroides* จะเก็บดินถึงระดับความลึกที่ 10 และ 25 เซนติเมตร ตัดดินออกเป็นชั้นๆ ทุก 1 และ 5 เซนติเมตร ตามลำดับ ตัวอย่างดินตะกอนที่เก็บได้จะนำไปในถุงซิปและแทร่เย็นที่ -20 องศาเซลเซียส เพื่อรักษาคุณภาพของดินไว้ หลังจากนั้นนำตัวอย่างดินกลับมายังวิเคราะห์ที่ห้องปฏิบัติการต่อไป

2.1.6 เก็บตัวอย่างหญ้าทะเล โดยทำการสูมด้วย Quadrat ขนาด 50X50 หรือ 100X100 ตารางเซนติเมตร ขึ้นอยู่กับขนาดในแต่ละชนิดและลักษณะการกระจายตัวของหญ้าทะเลลงบนพื้นหญ้า จำนวน 3 ช้ำต่อสถานี จากนั้นใช้พลาสติกหุ้มขุดหญ้าทะเลทึ่งส่วนที่อยู่เหนือนีอัดนและให้ดินให้หมดภายใน Quadrat (ในการนี้ของหญ้าทะเลชนิด *Enhalus acoroides* จะเก็บเฉพาะส่วนที่อยู่เหนือนีอัดน) ทำการล้างทราย และสิ่งแปรปรวนออก แล้วนำไปในถุงพลาสติกหุ้มขุดหญ้าทะเลทึ่งส่วนที่อยู่เหนือนีอัดนเพื่อป้องกันการสูญเสียน้ำระหว่างเดินทาง และป้องกันความบอบช้ำ นอกจากนั้นยังเก็บตัวอย่างนอก Quadrat เก็บรักษาด้วยฟอร์มาลิน 4% เพื่อประโยชน์ในการจำแนกชนิด

2.2 การวิเคราะห์ข้อมูลและตัวอย่าง

2.2.1 การวิเคราะห์หาปริมาณชาตุอาหารในน้ำ

ทำการวิเคราะห์โดยใช้เครื่องวิเคราะห์ชาตุอาหารอัตโนมัติของ Skalar รุ่น The SAN^{plus} Segmented flow analysers ตามวิธีของ Mudroch (1995) เพื่อหาปริมาณของชาตุอาหารที่มีในน้ำตัวอย่าง คือ แอมโมเนียม-ไนโตรเจน ในไตรท์และไนโตรเจน ซิลิกะ-ซิลิกอน และ ออร์โซฟอสเฟต-ฟอสฟอรัส

2.2.2 การวิเคราะห์ตัวอย่างดินตะกอน

1) การวิเคราะห์หาปริมาณน้ำในดิน (Water Content: WC)

1.1) นำตัวอย่างดินตะกอนปีกมาทำให้เป็นเนื้อเดียวกันก่อนที่จะตักตัวอย่างลงในกระทอง Aluminum foil ขนาดเส้นผ่านศูนย์กลาง ประมาณ 3 เซนติเมตร ที่ผ่านการซั่งน้ำหนักแล้ว น้ำหนักที่ได้ควรใกล้เคียงกับ 0.1 มิลลิกรัม

1.2) ใส่ดินตะกอนเปียกประมาณ 1-2 กรัม ลงใน Aluminum foil ที่พับเป็นกระ Thompson และชั่งน้ำหนักดินตะกอน และ Foil ทำซ้ำ 3 ครั้ง จดบันทึกน้ำหนักดินเปียกที่ชั่งไว้ทุกครั้ง

1.3) นำตัวอย่างทั้งหมดไปอบในตู้อบที่อุณหภูมิ 110 องศาเซลเซียส เป็นเวลา 12 ชั่วโมง เพื่อให้น้ำที่มีอยู่ในดินระเหยออกไปให้หมด

1.4) นำตัวอย่างดินที่ผ่านการอบเรียบร้อยแล้ว มาชั่งน้ำหนักเพื่อหาค่า น้ำหนักดินแห้ง โดยแบ่งตัวอย่างดินที่ผ่านการอบแล้วมาชั่งทีละน้อย เพื่อบรรลุความแม่นยำที่เกิดจากความขึ้นจดบันทึกค่าที่ชั่งน้ำหนักได้ เพื่อนำไปคำนวณหาค่าที่หายไป โดยใช้สูตร

$$\text{Water content} = \frac{(w_1 + w_2 - w_3) \times 100}{w_2}$$

โดยที่ w_1 = น้ำหนัก Aluminium foil
 w_2 = น้ำหนักดินตะกอนก่อนอบ
 w_3 = น้ำหนักดินตะกอนรวมกระ Thompson หลังอบ

2) การวิเคราะห์หาปริมาณสารอินทรีย์รวม (Total Organic Matter: TOM)

การหาปริมาณสารอินทรีย์รวม (Total Organic Matter: TOM) จะวิเคราะห์ด้วยวิธี Ignition loss ของ Verardo (1990)

2.1) นำตัวอย่างดินตะกอนมาทำให้เป็นเนื้อเดียวกันที่อุณหภูมิท้อง และทำให้แห้ง โดยนำตัวอย่างดินไปอบที่อุณหภูมิ 60 องศาเซลเซียส เป็นเวลา 2 วัน

2.2) เลือกเศษเปลือกหอยหรือหินที่มีอยู่ในตัวอย่างดินตะกอนออก จากนั้นนำดินตัวอย่างไปบดให้ละเอียดจนเป็นเนื้อเดียวกัน

2.3) นำ Crucible ที่ผ่านการเผาที่อุณหภูมิ 450 องศาเซลเซียส นาน 2 ชั่วโมง เสร็จแล้วนำไปพักไว้ในโถดูดความชื้น เพื่อรอให้ Crucible เย็นลง ทำการซั่งน้ำหนัก Crucible

2.4) นำตัวอย่างคิดนตะกอนมาซั่งลงใน Crucible ที่ทราบน้ำหนัก จากนั้นนำตัวอย่างคิดนที่ซึ่งได้ไปเผาที่อุณหภูมิ 600 องศาเซลเซียส นาน 3 ชั่วโมง เสร็จแล้วทิ้งไว้ให้เย็นในโถดูดความชื้น นำ Crucible ไปซั่ง เพื่อหาน้ำหนักคิดนหลังเผา แล้วคำนวณหาน้ำหนักที่หายไปและคำนวณหาค่า Total organic matter content (มิลลิกรัมต่อกรัมน้ำหนักคิดนแห้ง) โดยใช้สูตร

$$\text{Total organic matter content (mg/g-dry weight)} = \frac{(\text{น้ำหนักคิดนแห้งที่หายไป} \times 1000)}{\text{น้ำหนักคิดนก่อนเผา}}$$

3) การวิเคราะห์หาปริมาณชาตุอาหารในน้ำระหว่างอนุภาคคิดน (Pore water)

3.1) นำคิดนตะกอนที่ผสมเป็นเนื้อเดียวกัน มาซั่งน้ำหนักประมาณ 4-5 กรัม ใส่ลงในหลอดเก็บตัวอย่าง 10 มิลลิลิตร

3.2) เติมน้ำกลั่นลงไปในหลอดเก็บตัวอย่างคิดนตะกอน 5 มิลลิลิตร เทย่าให้เข้ากัน บันทึกปริมาตรน้ำที่เติมลงไป

3.3) นำไป Centrifuge ที่ความเร็ว 4000 รอบต่อนาที เป็นเวลา 10 นาที ข่ายเฉพาะสารละลายที่อยู่บริเวณผิวน้ำคิดนตะกอนด้วย Micropipette โดยมิให้คิดนตะกอนที่ผิวน้ำฟุ่งขึ้นมา เก็บใส่หลอดเก็บตัวอย่างน้ำ เก็บรักษาตัวอย่างน้ำที่อุณหภูมิ -20 องศาเซลเซียส

3.4) ก่อนทำการวิเคราะห์ นำตัวอย่างน้ำมาละลายที่อุณหภูมิห้อง และทำการเลือจาน้ำตัวอย่างด้วยน้ำกลั่น (Double distilled water) 9 มิลลิลิตร ต่อ นำตัวอย่าง 1 มิลลิลิตร (10 เท่า) แล้ววิเคราะห์โดยใช้เครื่องวิเคราะห์ชาตุอาหารแบบอัตโนมัติของ Skalar รุ่น The SAN^{plus} Segmented flow analysers

4) การวิเคราะห์ขนาดอนุภาคคินตะกอน (Grain size)

4.1) นำคินตะกอนที่ระดับความลึก 0-5 เซนติเมตร ที่ทราบปริมาณน้ำในดิน ตะกอนแล้ว ชั่งน้ำหนักโดยเครื่องชั่ง 4 ตำแหน่ง ให้มีน้ำหนักประมาณ 10 กรัม ใส่ลงในกระถางที่เตรียมไว้ พร้อมจดบันทึกน้ำหนัก

4.2) ละลายคินตะกอนด้วยน้ำเปล่าพร้อมกรองผ่านตะแกรงร่อนที่วางช้อน กันขนาดตา 1,000 500 250 125 และ 63 ไมโครเมตร เรียงลำดับจากด้านบนสู่ด้านล่าง ทำการร่อน ตะแกรงจนมั่นใจว่าตะกอนที่มีขนาดเล็กกว่าขนาดตาของตะแกรงถูกชะล้างผ่านไปหมด

4.3) ล้างตะกอนที่ติดอยู่บนตะแกรงร่อนลงบนกระดาษกรองขนาดเส้นผ่าศูนย์กลาง 110 มิลลิเมตร ของ Whatman เบอร์ 2 ที่ทราบน้ำหนักแห้งแล้วแยกตามขนาดอนุภาคคินตะกอน ร่อนกระทั้งน้ำบนกระดาษกรองไว้ให้ผ่านกระดาษกรองขนาดใหญ่ จึงพับกระดาษกรองที่มีคินตะกอนอยู่ภายในเข้าด้วยกัน โดยทำการอบที่อุณหภูมิ 80 องศาเซลเซียส เป็นเวลา 3 วัน

4.4) นำกระดาษกรองพร้อมคินตะกอนที่ผ่านการอบจนมั่นใจว่าแห้งสนิท แล้ว ใส่ในตู้ดูดความชื้นจนกระทั้งกระดาษร้อนลดลงสู่อุณหภูมิห้อง จึงนำไปชั่งน้ำหนักด้วยเครื่องชั่ง 4 ตำแหน่ง พร้อมจดบันทึกน้ำหนักที่ได้

4.5) คำนวณสัดส่วนของอนุภาคคินตะกอนขนาดต่าง ๆ เป็นร้อยละได้ดังนี้

$$\text{ปริมาณอนุภาคคินตะกอน (ร้อยละ)} = \frac{(W_3 - W_1) \times 100}{[W_2 - \frac{(W_2 \times WC)}{100}]} \quad (1)$$

โดยที่ W_1 = น้ำหนักแห้งกระดาษกรอง

W_2 = น้ำหนักน้ำหนักเปียกคินตะกอน

W_3 = น้ำหนักแห้งรวมกระดาษกรองและคินตะกอน

WC = ปริมาณน้ำในคินตะกอน

2.2.3 การวิเคราะห์ตัวอย่างหญ้าทะเล

1) ทำการแยกชนิดหญ้าทะเลโดยใช้เอกสารแยกชนิด คือ The sea-grasses of the world (den Hartog, 1970) และอนุกรมวิธานและนิเวศวิทยาของหญ้าทะเลในประเทศไทย (กัญจนภานุน์และคณะ, 2534)

2) นำหญ้าทะเลที่เก็บได้มามาวัดด้วยน้ำหนักตัว เพื่อตั้งคิน ราย วัสดุ แปลงป่าอม และสิ่งมีชีวิตจำพวก Epiphyte ออก จากนั้น วัดลงบนกระดาษหนังสือพิมพ์ให้พอหมด ในระหว่างนี้จะทำการนับจำนวนต้นเพื่อนำไปคำนวณหา Shoot density และสูงใบหญ้าทะเล มาจำนวน 10 ใบต่อตัวอย่าง 1 ช้ำ นำมาวัดขนาดความกว้างและความยาวของใบ

3) เมื่อผ่านแห้งหมดแล้ว จะนำมาทำการซึ่งน้ำหนักเปียก (Wet weight = WW) ด้วยเครื่องซึ่งทนนิยมสองตำแหน่งก่อนที่จะนำไปอบที่ 60 องศาเซลเซียส เป็นเวลา 24 ชั่วโมง หรืออาจนานานกว่านั้น ขึ้นอยู่กับปริมาณหญ้าทะเลและขนาดของต้นหญ้า และหลังจากหญ้าแห้งแล้วจะซึ่งน้ำหนักแห้ง (Dry weight = DW) ทันทีหลังจากที่นำออกจากเตาอบ เพื่อนำมาคำนวณหา มวลชีวภาพของหญ้าทะเล โดยคำนวณได้โดย

$$\text{มวลชีวภาพ (กรัมน้ำหนักเปียกหรือแห้งต่อพื้นที่)} = \frac{\text{น้ำหนักเปียกหรือน้ำหนักแห้งเฉลี่ย}}{\text{พื้นที่}}$$

2.2.4 การวิเคราะห์ผลทางสถิติ

วิเคราะห์หาความสัมพันธ์ระหว่างคุณภาพน้ำและดินตะกอนกับมวลชีวภาพ ของหญ้าทะเลโดยการเทียบค่าสัมประสิทธิ์การตัดสินใจ (R^2) เพื่อพิจารณาความสัมพันธ์ โดยใช้การวิเคราะห์ความสัมพันธ์แบบ 2 มิติ (Two dimension)

สถานที่และระยะเวลาทำการศึกษา

1. สถานที่

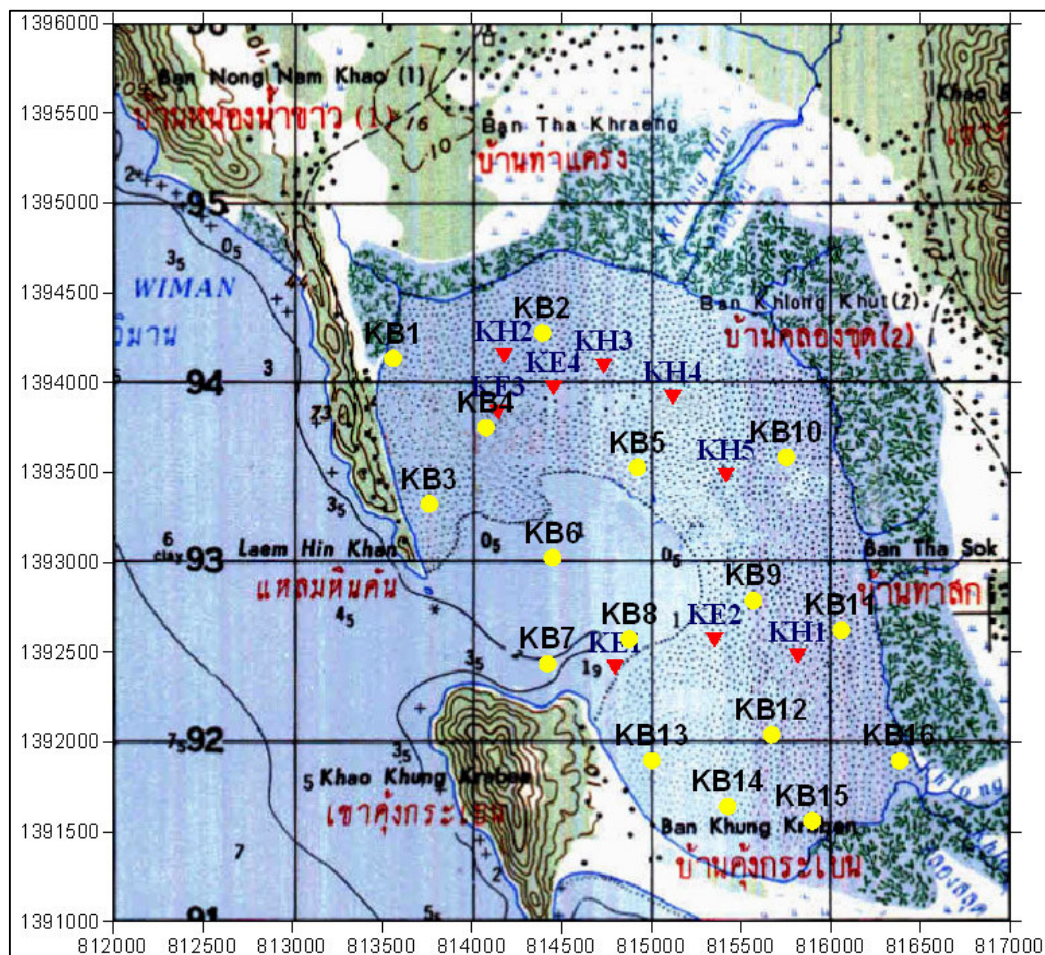
สถานที่ทำการศึกษา ประกอบด้วย แหล่งเรียนรู้ทางเดชชาญฝ่ายอันดับหนึ่งและแหล่งเรียนรู้ทางเดชฝ่ายอิสลาม ดังนี้

1.1 แหล่งเรียนรู้ทางเดชชาญฝ่ายอิสลาม ได้แก่ พื้นที่ที่ 1 อ่าวคุ้งกระเบน จังหวัดจันทบุรี (ภาพที่ 6) และพื้นที่ที่ 2 บริเวณหมู่เกาะช้าง จังหวัดตราด ประกอบด้วย เกาะรัง เกาะไม้ตี่ลึก และเกาะคลุ่ม (ภาพที่ 7)

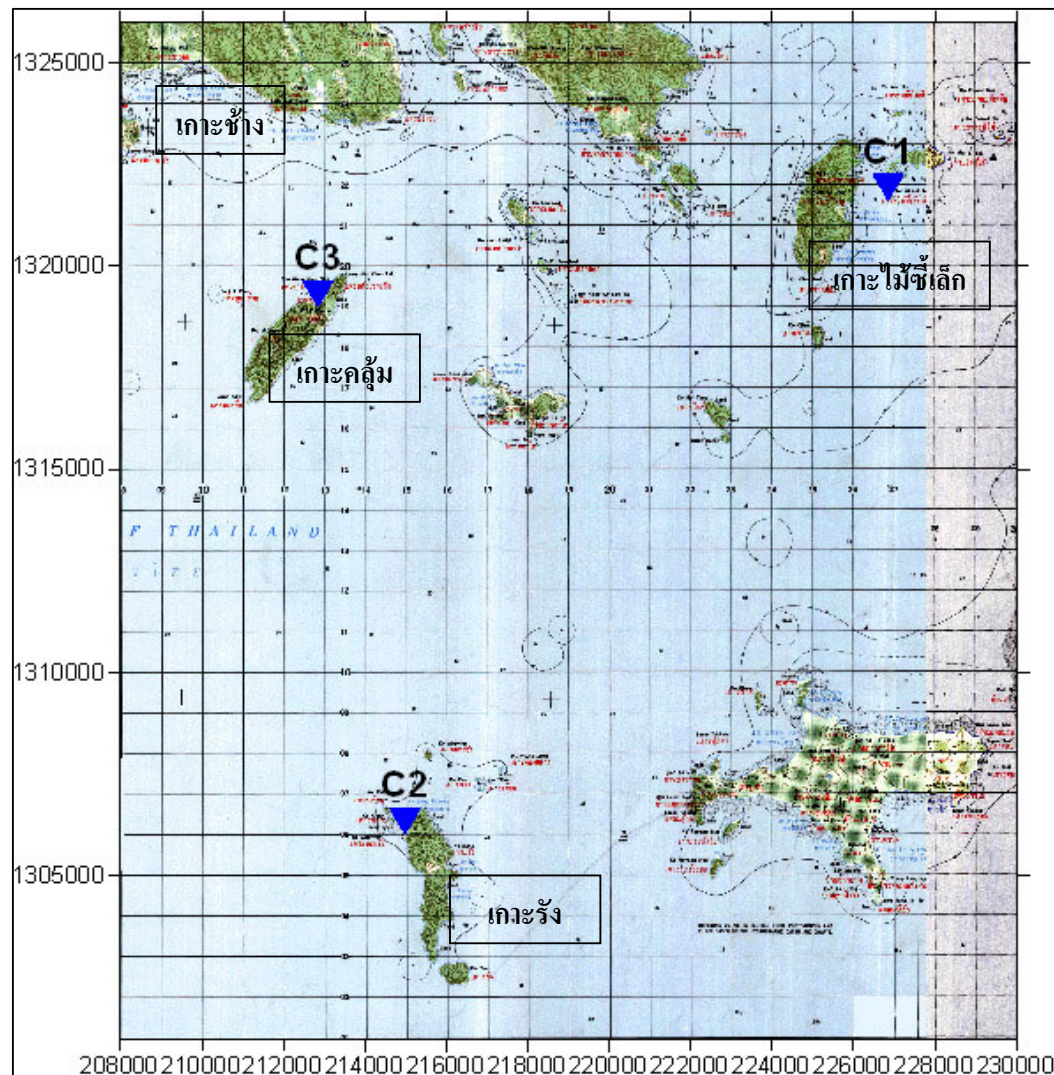
1.2 แหล่งเรียนรู้ทางเดชชาญฝ่ายอันดับหนึ่ง ได้แก่ พื้นที่ที่ 3 เกาะจง จังหวัดพังงา (ภาพที่ 8) และพื้นที่ที่ 4 บริเวณเกาะลันตาใหญ่ จังหวัดกระบี่ ประกอบด้วย หาดคลองดาว และหาดเจ้าหลี (ภาพที่ 9)

2. ระยะเวลาทำการศึกษา

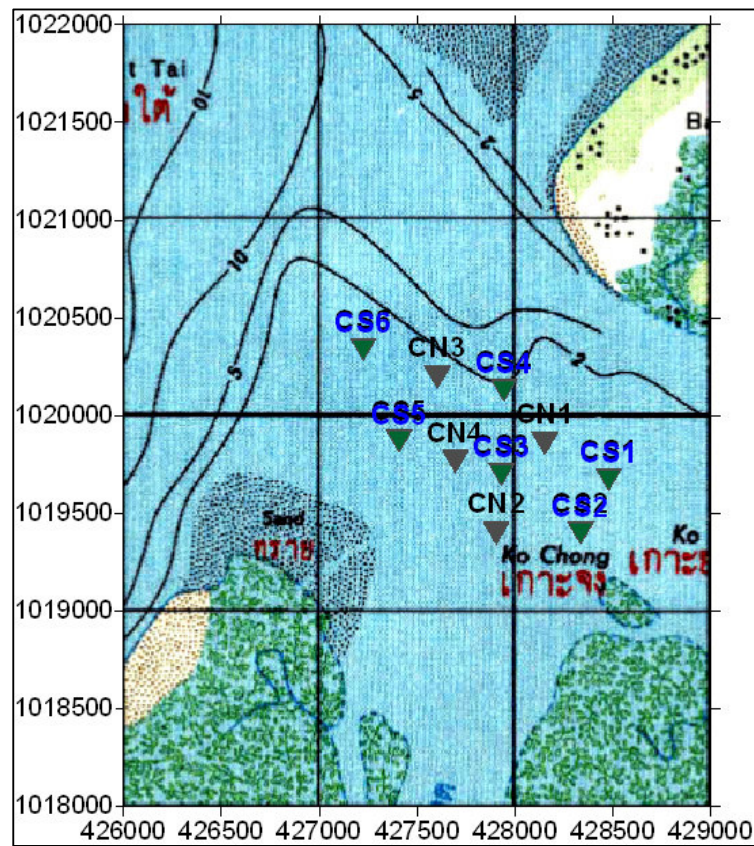
ระยะเวลาทำการศึกษา ดำเนินการเก็บตัวอย่างหลักฐาน ตัวอย่างน้ำและดินตะกอนพร้อมตรวจคุณภาพสิ่งแวดล้อม (เก็บตัวอย่างภาคสนาม) ตั้งแต่เดือนเมษายน พ.ศ. 2548 ถึงเดือนมกราคม พ.ศ. 2549 จำนวน 5 ครั้ง และทำการวิเคราะห์ตัวอย่าง ณ ห้องปฏิบัติการภาควิชาเคมีศาสตร์ทางทะเล คณะประมง ตั้งแต่เดือนพฤษภาคม พ.ศ. 2548 ถึงเดือนธันวาคม พ.ศ. 2549



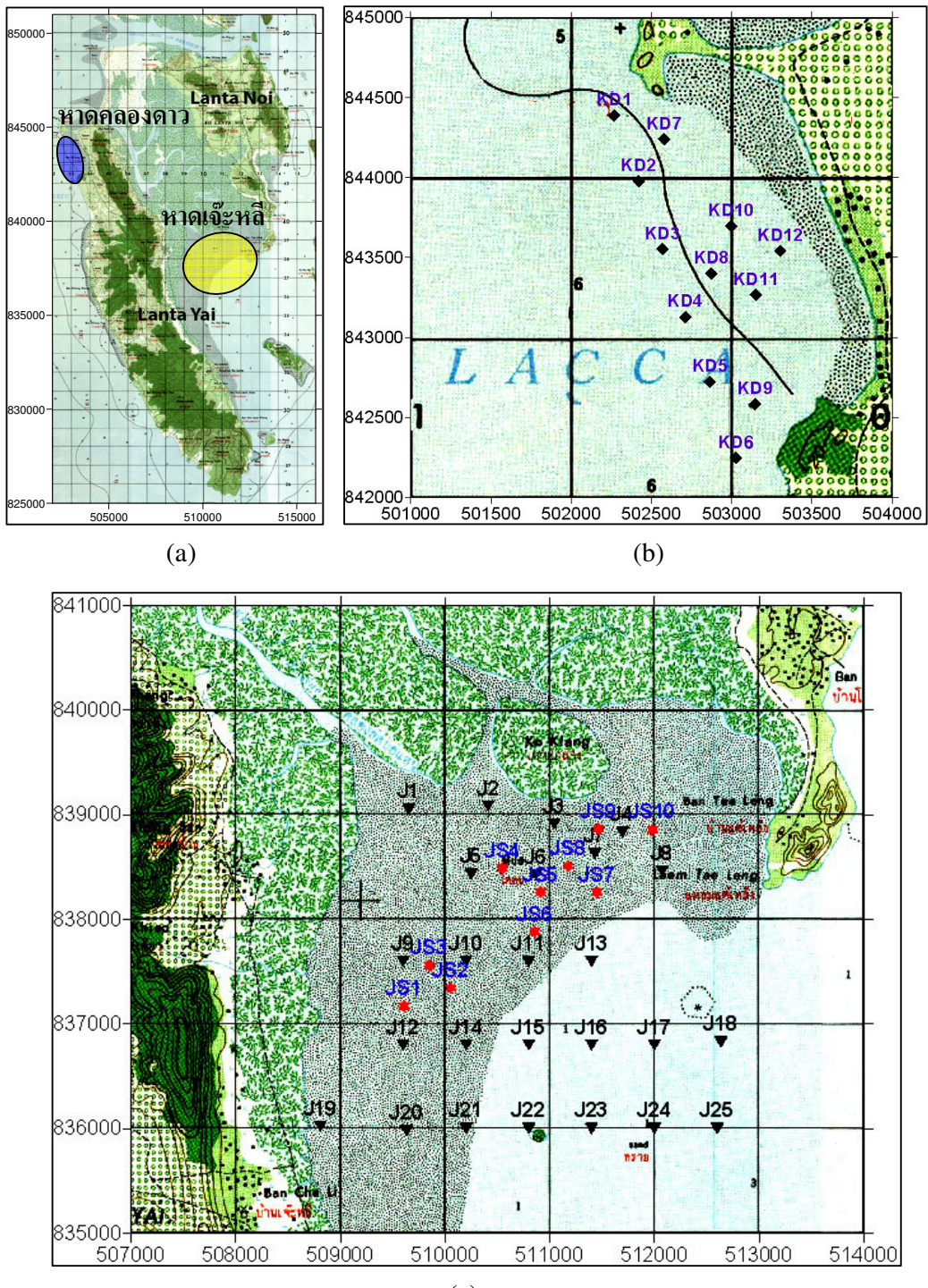
ภาพที่ 6 แผนที่แสดงจุดเก็บด้วยอย่าง พื้นที่ที่ 1 อ่าวคุ้งกระเบน จังหวัดจันทบุรี



ภาพที่ 7 แผนที่แสดงจุดเก็บตัวอย่าง พื้นที่ที่ 2 เกาะช้าง จังหวัดตราด บริเวณเกาะไม้ซีลึก เกาะรัง และเกาะคุ้ม



ภาพที่ 8 แผนที่แสดงจุดเก็บตัวอย่าง พื้นที่ที่ 3 เกาะจง จังหวัดพังงา



ภาพที่ 9 แผนที่แสดงจุดเก็บตัวอย่าง พื้นที่ที่ 4 เกาะลันตาใหญ่ จังหวัดกระบี่ (a) บริเวณหาดคลองดาว (b) และหาดเจ๊ะหลี (c)

ตารางที่ 4 พิกัดจุดสถานีเก็บตัวอย่าง

พื้นที่/สถานี	พิกัด		หมายเหตุ
	E	N	
อ่าวคุ้งกระเบน			จังหวัดจันทบุรี
KB1	813561	1394135	สถานีเก็บตัวอย่างน้ำและดินตะกอน
KB2	814392	1394276	สถานีเก็บตัวอย่างน้ำและดินตะกอน
KB3	813763	1393325	สถานีเก็บตัวอย่างน้ำและดินตะกอน
KB4	814079	1393750	สถานีเก็บตัวอย่างน้ำและดินตะกอน
KB5	814923	1393527	สถานีเก็บตัวอย่างน้ำและดินตะกอน
KB6	814449	1393025	สถานีเก็บตัวอย่างน้ำและดินตะกอน
KB7	814422	1392436	สถานีเก็บตัวอย่างน้ำและดินตะกอน
KB8	814877	1392573	สถานีเก็บตัวอย่างน้ำและดินตะกอน
KB9	815568	1392787	สถานีเก็บตัวอย่างน้ำและดินตะกอน
KB10	815751	1393585	สถานีเก็บตัวอย่างน้ำและดินตะกอน
KB11	816058	1392622	สถานีเก็บตัวอย่างน้ำและดินตะกอน
KB12	815669	1392041	สถานีเก็บตัวอย่างน้ำและดินตะกอน
KB13	815002	1391897	สถานีเก็บตัวอย่างน้ำและดินตะกอน
KB14	815426	1391642	สถานีเก็บตัวอย่างน้ำและดินตะกอน
KB15	815896	1391561	สถานีเก็บตัวอย่างน้ำและดินตะกอน
KB16	816382	1391895	สถานีเก็บตัวอย่างน้ำและดินตะกอน
KE1	814798	1392414	สถานีเก็บตัวอย่างดินตะกอนและหญ้าทะเล
KE2	815352	1392568	สถานีเก็บตัวอย่างดินตะกอนและหญ้าทะเล
KE3	814145	1393837	สถานีเก็บตัวอย่างดินตะกอนและหญ้าทะเล
KE4	814455	1393971	สถานีเก็บตัวอย่างดินตะกอนและหญ้าทะเล
KH1	815815	1392477	สถานีเก็บตัวอย่างดินตะกอนและหญ้าทะเล
KH2	814180	1394149	สถานีเก็บตัวอย่างดินตะกอนและหญ้าทะเล

ตารางที่ 4 (ต่อ)

พื้นที่/สถานี	พิกัด		หมายเหตุ
	E	N	
อ่าวคุ้งกระเบน			จังหวัดจันทบุรี
KH3	814735	1394093	สถานีเก็บตัวอย่างดินตะกอนและหินปูน
KH4	815120	1393919	สถานีเก็บตัวอย่างดินตะกอนและหินปูน
KH5	815416	1393483	สถานีเก็บตัวอย่างดินตะกอนและหินปูน
เกาะไม้ชี้เล็ก			จังหวัดตราด
C1	226848	1321946	สถานีเก็บตัวอย่างน้ำ ดินตะกอนและหินปูน
เกาะรัง			จังหวัดตราด
C2	214982	1306349	สถานีเก็บตัวอย่างน้ำ ดินตะกอนและหินปูน
เกาะคลื่น			จังหวัดตราด
C3	212843	1319326	สถานีเก็บตัวอย่างน้ำ ดินตะกอนและหินปูน
เกาะจง			จังหวัดพัทุมธานี
CS1	428480	1019673	สถานีเก็บตัวอย่างน้ำ ดินตะกอน และหินปูน
CS2	428336	1019398	สถานีเก็บตัวอย่างดินตะกอนและหินปูน
CS3	427931	1019699	สถานีเก็บตัวอย่างดินตะกอนและหินปูน
CS4	427944	1020130	สถานีเก็บตัวอย่างดินตะกอนและหินปูน
CS5	427408	1019869	สถานีเก็บตัวอย่างดินตะกอนและหินปูน
CS6	427225	1020339	สถานีเก็บตัวอย่างดินตะกอนและหินปูน
CN1	428153	1019856	สถานีเก็บตัวอย่างดินตะกอน
CN2	427905	1019398	สถานีเก็บตัวอย่างดินตะกอน
CN3	427604	1020196	สถานีเก็บตัวอย่างดินตะกอน
CN4	427696	1019764	สถานีเก็บตัวอย่างน้ำและดินตะกอน

ตารางที่ 4 (ต่อ)

พื้นที่/สถานี	พิกัด		หมายเหตุ
	E	N	
หาดคลองดาว	จังหวัดกระนี่		
KD1	502267	844387	สถานีเก็บตัวอย่างดินตะกอนและหญ้าทะเล
KD2	502420	843977	สถานีเก็บตัวอย่างดินตะกอนและหญ้าทะเล
KD3	502568	843552	สถานีเก็บตัวอย่างน้ำดินตะกอน และหญ้าทะเล
KD4	502711	843127	สถานีเก็บตัวอย่างดินตะกอนและหญ้าทะเล
KD5	502864	842723	สถานีเก็บตัวอย่างดินตะกอนและหญ้าทะเล
KD6	503026	842248	สถานีเก็บตัวอย่างดินตะกอนและหญ้าทะเล
KD7	502578	844239	สถานีเก็บตัวอย่างดินตะกอนและหญ้าทะเล
KD8	502873	843399	สถานีเก็บตัวอย่างดินตะกอนและหญ้าทะเล
KD9	503145	842584	สถานีเก็บตัวอย่างดินตะกอนและหญ้าทะเล
KD10	502997	843695	สถานีเก็บตัวอย่างดินตะกอนและหญ้าทะเล
KD11	503150	843266	สถานีเก็บตัวอย่างดินตะกอนและหญ้าทะเล
KD12	503302	843542	สถานีเก็บตัวอย่างน้ำดินตะกอน และหญ้าทะเล
หาดเจ้าหลี	จังหวัดกระนี่		
J1	509655	839048	สถานีเก็บตัวอย่างน้ำและดินตะกอน
J2	510411	839083	สถานีเก็บตัวอย่างน้ำและดินตะกอน
J3	511041	838911	สถานีเก็บตัวอย่างน้ำและดินตะกอน
J4	511694	838831	สถานีเก็บตัวอย่างน้ำและดินตะกอน
J5	510250	838430	สถานีเก็บตัวอย่างน้ำและดินตะกอน
J6	510869	838425	สถานีเก็บตัวอย่างน้ำและดินตะกอน
J7	511430	838630	สถานีเก็บตัวอย่างน้ำและดินตะกอน
J8	512074	838460	สถานีเก็บตัวอย่างน้ำและดินตะกอน
J9	509600	837600	สถานีเก็บตัวอย่างน้ำและดินตะกอน

ตารางที่ 4 (ต่อ)

พื้นที่/สถานี	พิกัด		หมายเหตุ
	E	N	
หาดเจ้าหลี	จังหวัดกรุงปี		
J10	510200	837600	สถานีเก็บตัวอย่างน้ำและดินตะกอน
J11	510800	837595	สถานีเก็บตัวอย่างน้ำและดินตะกอน
J12	509600	836800	สถานีเก็บตัวอย่างน้ำและดินตะกอน
J13	511400	837600	สถานีเก็บตัวอย่างน้ำและดินตะกอน
J14	510200	836800	สถานีเก็บตัวอย่างน้ำและดินตะกอน
J15	510800	836800	สถานีเก็บตัวอย่างน้ำและดินตะกอน
J16	511400	836800	สถานีเก็บตัวอย่างน้ำและดินตะกอน
J17	512000	836800	สถานีเก็บตัวอย่างน้ำและดินตะกอน
J18	512636	836826	สถานีเก็บตัวอย่างน้ำและดินตะกอน
J19	508809	836022	สถานีเก็บตัวอย่างดินตะกอน
J20	509634	835978	สถานีเก็บตัวอย่างดินตะกอน
J21	510200	836000	สถานีเก็บตัวอย่างดินตะกอน
J22	510800	836000	สถานีเก็บตัวอย่างดินตะกอน
J23	511400	836000	สถานีเก็บตัวอย่างดินตะกอน
J24	512000	836000	สถานีเก็บตัวอย่างดินตะกอน
J25	512600	836000	สถานีเก็บตัวอย่างดินตะกอน
JS1	509609	837171	สถานีเก็บตัวอย่างดินตะกอนและหญ้าทะเล
JS2	510055	837343	สถานีเก็บตัวอย่างดินตะกอนและหญ้าทะเล
JS3	509849	837560	สถานีเก็บตัวอย่างดินตะกอนและหญ้าทะเล
JS4	510548	838487	สถานีเก็บตัวอย่างดินตะกอนและหญ้าทะเล
JS5	510915	838258	สถานีเก็บตัวอย่างดินตะกอนและหญ้าทะเล
JS6	510857	837881	สถานีเก็บตัวอย่างดินตะกอนและหญ้าทะเล

ตารางที่ 4 (ต่อ)

พื้นที่/สถานี	พิกัด		หมายเหตุ
	E	N	
หาดเจ้าหลี	จังหวัดกระบี่		
JS7	511453	838258	สถานีเก็บตัวอย่างดินตะกอนและหญ้าทะเล
JS8	511178	838510	สถานีเก็บตัวอย่างดินตะกอนและหญ้าทะเล
JS9	511464	838865	สถานีเก็บตัวอย่างดินตะกอนและหญ้าทะเล
JS10	511980	838854	สถานีเก็บตัวอย่างดินตะกอนและหญ้าทะเล

ผลและวิจารณ์

ผลการศึกษา

1. สักษณะทั่วไปของพื้นที่ ชนิดและการกระจายตัวของหญ้าทะเลในพื้นที่ศึกษา

แหล่งหญ้าทะเลที่ทำการศึกษาคุณภาพน้ำและดินตะกอนครั้งนี้ หันในบริเวณชายฝั่งทะเล อ่าวไทยและชายฝั่งทะเลอันดามันมีอยู่ด้วยกัน 4 พื้นที่ กือ พื้นที่ที่ 1 อ่าวคุ้งกระเบน จังหวัดจันทบุรี พื้นที่ที่ 2 บริเวณหมู่เกาะช้าง จังหวัดตราด พื้นที่ที่ 3 เกาะจง จังหวัดพังงา และ พื้นที่ที่ 4 บริเวณเกาะลันตาใหญ่ จังหวัดกระบี่ พบหญ้าทะเลทั้งสิ้น 4 สกุล 6 ชนิด ได้แก่ *Enhalus acoroides* *Halodule pinifolia* *Halodule uninervis* *Halophila ovalis* *Halophila decipiens* และ *Cymodocea serrulata* ซึ่งแต่ละพื้นที่มีลักษณะแตกต่างกันออกไว้ (ภาพที่ 10 และ 11) อธิบายได้ดังนี้

1.1 พื้นที่ที่ 1 อ่าวคุ้งกระเบน จังหวัดจันทบุรี

อ่าวคุ้งกระเบน เป็นพื้นที่ที่อยู่ในตำแหน่งลํากองบุก อำเภอท่าใหม่ จังหวัดจันทบุรี เป็นอ่าวที่มีรูปร่างคล้ายไถ มีทางเข้าออกของน้ำทะเลขางเดียว ปากอ่าวกว้างประมาณ 600 เมตร มีพื้นที่ 15 ตารางกิโลเมตร โดยประมาณ มีป่าชายเลนขึ้นโดยรอบ ลักษณะของดินตะกอนมีความแตกต่างกันไปตามแต่ละบริเวณ ซึ่งพบได้ทั้งดินตะกอนที่มีลักษณะเป็นโคลนและโคลนปนทราย และบางบริเวณพบเปลือกหอยปะปนด้วย

หญ้าทะเลที่พบในบริเวณอ่าวคุ้งกระเบน จากการสำรวจในเดือนกันยายน พ.ศ. 2548 มีด้วยกัน 2 ชนิด กือ *Halodule pinifolia* และ *Enhalus acoroides* ซึ่งหญ้าทะเลทั้ง 2 ชนิดนี้มีการกระจายตัวอยู่ทั่วไปในบริเวณอ่าว โดย *Halodule pinifolia* จะพบหนาแน่นตั้งแต่ด้านทิศเหนือจรดทิศตะวันออกของอ่าว ส่วนด้านทิศใต้ของอ่าวพบประปราย ทางตรงข้าม หญ้าทะเลชนิด *Enhalus acoroides* จะพบหนาแน่นในบริเวณด้านทิศใต้ของอ่าว ส่วนด้านทิศตะวันออกและทิศเหนือของอ่าวพบขึ้นประปรายกระจายตัวอยู่ตามพื้นที่มีลักษณะเป็นแอ่งน้ำขัง

อย่างไรก็ตาม ลักษณะการกระจายตัวของหญ้าทะเลที่ขึ้นปกคลุมในพื้นที่ ณ ช่วงเวลาที่สำรวจ จะพบรูปแบบการกระจายตัวเป็นหย่อม (patch) ขนาดตั้งแต่ 2x5 ตารางเมตร จนถึง 10x25 ตารางเมตร โดยประมาณ ในหญ้าทะเลชนิด *Enhalus acoroides* ขณะที่หญ้าทะเลชนิด *Halodule pinifolia* ในบริเวณด้านทิศเหนือจุดที่ติดตามน้ำออกของอ่าวที่มีลักษณะการกระจายตัวเป็นพื้นค่อนข้างชัดเจน

1.2 พื้นที่ที่ 2 บริเวณหมู่เกาะช้าง จังหวัดตราด

จากการสำรวจในพื้นที่ที่ 2 บริเวณหมู่เกาะช้าง จังหวัดตราด ในเดือนมกราคม พ.ศ. 2549 จำนวน 3 เกาะ คือ เกาะไม้ซีลึก เกาะรัง และเกาะคลุ่ม พบรหัสษาเหลืองอยู่ 4 ชนิด เรียงลำดับจากปริมาณที่พบได้มากไปหาน้อย คือ *Cymodocea serrulata* *Halodule pinifolia* *Halophila decipiens* และ *Halodule uninervis* ตามลำดับ โดยจะพบหญ้าทะเลชนิด *Cymodocea serrulata* เป็นชนิดเด่นการกระจายตัวอยู่ท่าทางด้านทิศตะวันตกเฉียงใต้ของเกาะไม้ซีลึกและมีหญ้าทะเลชนิด *Halodule uninervis* ขึ้นปะปนอยู่เล็กน้อย หญ้าทะเลชนิด *Halodule pinifolia* พบระยะตัวอยู่ท่าทางด้านทิศเหนือของเกาะรัง ส่วนหญ้าทะเลชนิด *Halophila decipiens* พบระยะตัวอยู่ท่าทางด้านทิศเหนือของเกาะคลุ่ม โดยมี *Halodule pinifolia* ขึ้นปะปนอยู่เล็กน้อย

ลักษณะการกระจายตัวในพื้นที่พบว่าหญ้าทะเลชนิด *Cymodocea serrulata* และ *Halodule uninervis* จะขึ้นปะปนกันในพื้นที่เดียวกัน แต่จะพบหญ้าทะเลชนิด *Cymodocea serrulata* (มวลชีวภาพเท่ากับ 90.52 กรัม/น้ำหนักแห้งต่อตารางเมตร) มากกว่า *Halodule uninervis* (มวลชีวภาพเท่ากับ 1.56 กรัม/น้ำหนักแห้งต่อตารางเมตร) ซึ่งมีปริมาณที่พบคิดเป็นร้อยละ 98.31 และ 1.69 ของพื้นที่ ตามลำดับ มีพื้นที่ปกคลุมห่างจากชายฝั่งของเกาะไม้ซีลึกด้านทิศตะวันตกเฉียงใต้ออกมาประมาณ 100-200 เมตร ขึ้นปกคลุมพื้นที่ขนาด 150x400 ตารางเมตร โดยประมาณ ลักษณะดินตะกอนเป็นตะกอนทรายค่อนข้างหยาบปนเลน สีน้ำตาล ส่วนหญ้าทะเลชนิด *Halodule pinifolia* ที่พบทางด้านทิศเหนือของเกาะรัง มีพื้นที่ปกคลุมประมาณ 100x200 ตารางเมตร ลักษณะ ตะกอนเป็นทรายละเอียดสีขาวเทา และ *Halophila decipiens* ที่พบทางด้านทิศเหนือของเกาะคลุ่ม มีพื้นที่ปกคลุมประมาณ 100x200 ตารางเมตร มีลักษณะการกระจายตัวเป็นหย่อมขนาดประมาณ 50x50 ตารางเมตร แต่ระยะห่างกันประมาณ 10-20 เมตร ลักษณะดินเป็นตะกอนเลนปนทรายหยาบสีน้ำตาลเทา

1.3 พื้นที่ที่ 3 เกาะจง จังหวัดพังงา

จากการสำรวจในเดือนพฤษภาคม พ.ศ. 2548 แหล่งหญ้าทะเลบริเวณเกาะจง จังหวัดพังงา ซึ่งพื้นที่มีลักษณะเป็นสันดอนทรัพย์ป่าเลน มีเนื้อที่ประมาณ 1.5 ตารางกิโลเมตร ครอบคลุมบริเวณตั้งแต่ด้านหน้าเกาะยาวด้านทิศตะวันตกเฉียงเหนือจนถึงด้านทิศเหนือของเกาะจง พืชหญ้าทะเลทั้งสิ้น 2 ชนิด โดยพืชหญ้าทะเลชนิด *Halophila ovalis* ขึ้นอยู่อย่างหนาแน่นบริเวณฝั่งทิศตะวันตกเฉียงเหนือของดอนทรายและขึ้นอยู่อย่างประปรายทางฝั่งทิศตะวันออกเฉียงใต้ของสันดอนทราย และพืชหญ้าทะเลชนิด *Enhalus acoroides* ขึ้นปะปนอยู่กับ *H. ovalis* ในปริมาณประปรายเฉพาะบริเวณชายน้ำด้านทิศเหนือของสันดอนทราย

1.4 พื้นที่ที่ 4 บริเวณเกาะลันตาใหญ่ จังหวัดกระบี่

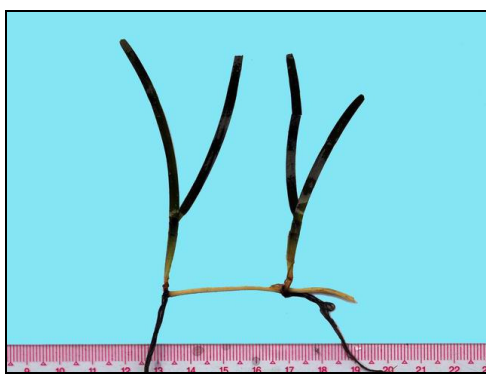
หมู่เกาะลันตา ตั้งอยู่ในอำเภอเกาะลันตา จังหวัดกระบี่ ประกอบด้วยเกาะลันตาน้อยและเกาะลันตาใหญ่ อยู่ห่างฝั่งประมาณ 1 กิโลเมตร พืบแหล่งหญ้าทะเลอยู่ 2 บริเวณใหญ่ ๆ คือบริเวณฝั่งตะวันออกและฝั่งตะวันตกเฉียงเหนือของเกาะลันตาใหญ่ เป็นบริเวณที่เรียกว่า “หาดคลองดาว” และ “หาดเจี้ยหดี” ตามลำดับ

เกาะลันตาใหญ่มีการแพร่กระจายของหญ้าทะเล 4 ชนิด เรียงตามปริมาณที่พบ คือ *Enhalus acoroides* *Halophila decipiens* *Halodule pinifolia* และ *Halophila ovalis* ตามลำดับ โดยจะพบ *Halophila decipiens* และ *Halodule pinifolia* บริเวณหาดคลองดาว และพบ *Enhalus acoroides* และ *Halophila ovalis* อยู่บริเวณหาดเจี้ยหดี

บริเวณหาดคลองดาว พื้นที่มีลักษณะเป็นทรัพย์ป่าเลน ครอบคลุมพืชหญ้าทะเลชนิด *Halophila decipiens* เป็นชนิดเด่น นอกจากนั้นยังพบหญ้าทะเลชนิด *Halodule pinifolia* ขึ้นปะปนอยู่บริเวณฝั่งทิศเหนือของหาด ครอบคลุมพื้นที่ 2 ตารางกิโลเมตร โดยประมาณ ความลึกของน้ำภายในพื้นที่จะมีความลึกอยู่ระหว่าง 2.45-11.15 เมตร ซึ่งเป็นแนวสำรวจด้านในและด้านนอกของหาดตามลำดับ

ส่วนหญ้าทะเลบริเวณหาดเจี้ยหดี จะพบหญ้าทะเลชนิด *Enhalus acoroides* เป็นชนิดเด่น และพบหญ้าทะเลชนิด *Halophila ovalis* ขึ้นปะปนอยู่เพียงเล็กน้อยที่สถานี JS5 ซึ่ง

แหล่งที่มาของวิเวณหาดเจ้าหลาวมีพื้นที่ครอบคลุม 3 ตารางกิโลเมตร โดยประมาณ พื้นที่ลักษณะเป็นตะกอนเลนปนทรายสีเทาดำ จนกระทั่งเป็นเลนเหลวสีเทาดำ ซึ่งบางบริเวณอาจพบเปลือกหอยปะปนอยู่ ส่วนความลึกของน้ำภายในพื้นที่จะมีความลึกอยู่ระหว่าง 0.6-5.1 เมตร

*Enhalus acoroides**Halodule pinifolia**Halodule uninervis**Halophila ovalis**Halophila ovalis**Cymodocea serrulata*

ภาพที่ 10 ชนิดของหญ้าทะเลที่พนธะหว่างการสำรวจเดือนเมษายน พ.ศ. 2548 ถึงเดือนมกราคม

พ.ศ. 2549



อ่าวคุ้งกระเบน



เกาะไม้ตูมเล็ก



เกาะจง

ภาพที่ 11 ลักษณะของแหล่งอนุพันธ์ทางเดินหายใจและพื้นที่ศึกษาระหว่างการสำรวจในเดือนเมษายน

พ.ศ. 2548 ถึงเดือนมกราคม พ.ศ. 2549



หาดคลองดาว



หาดเจี๊ยะหลี

ภาพที่ 11 (ต่อ)

2. มวลชีวภาพของหญ้าทะเล

มวลชีวภาพของหญ้าทะเลที่พบตามพื้นที่ศึกษาแต่ละแห่ง แสดงในตารางที่ 5 สามารถอธิบายได้ดังนี้

2.1 พื้นที่ที่ 1 อ่าวคุกกระเบน จังหวัดจันทบุรี

จากการศึกษามวลชีวภาพของหญ้าทะเลทั้ง 2 ชนิดที่ขึ้นอยู่บริเวณอ่าวคุกกระเบนในเดือนกันยายน พ.ศ. 2548 พบว่า ค่ามวลชีวภาพส่วนหนึ่งอุดินของหญ้าทะเลชนิด *Enhalus acoroides* มีค่าอยู่ระหว่าง 28.01-86.47 กรัมน้ำหนักแห้งต่อตารางเมตร ส่วนค่ามวลชีวภาพรวมส่วนหนึ่งอุดิน และส่วนใต้ดินของหญ้าทะเลชนิด *Halodule pinifolia* มีค่าอยู่ระหว่าง 17.37-81.61 กรัมน้ำหนักแห้งต่อตารางเมตร

2.2 พื้นที่ที่ 2 บริเวณหมู่เกาะช้าง จังหวัดตราด

การศึกษามวลชีวภาพของหญ้าทะเล ในเดือนมกราคม พ.ศ. 2549 จำนวน 3 แห่ง ซึ่งได้จากเกาะไม่มีชื่อเล็ก โดยสถานี C1 หญ้าทะเลชนิด *Cymodocea serrulata* มีค่ามวลชีวภาพรวมทั้งส่วนหนึ่งอุดินและส่วนใต้ดินเท่ากับ 222.84 กรัมน้ำหนักแห้งต่อตารางเมตร เกาะรังในสถานี C2 หญ้าทะเลชนิด *Halodule pinifolia* มีค่ามวลชีวภาพรวมทั้งส่วนหนึ่งอุดินและส่วนใต้ดินเท่ากับ 3.34 กรัมน้ำหนักแห้งต่อตารางเมตร และเกาะคลุ่มในสถานี C3 หญ้าทะเลชนิด *Halophila decipiens* มีค่ามวลชีวภาพเท่ากับ 4.84 กรัมน้ำหนักแห้งต่อตารางเมตร

2.3 พื้นที่ที่ 3 เกาะจง จังหวัดพังงา

จากการประเมินมวลชีวภาพของหญ้าทะเลที่ขึ้นอยู่บริเวณเกาะจง ในเดือนพฤษภาคม พ.ศ. 2548 พบว่า ค่ามวลชีวภาพส่วนหนึ่งอุดินและส่วนใต้ดินของหญ้าทะเลชนิด *Halophila ovalis* มีค่าอยู่ระหว่าง 27.69-40.15 กรัมน้ำหนักแห้งต่อตารางเมตร

2.4 พื้นที่ที่ 4 บริเวณเกาะลันตาใหญ่ จังหวัดกระบี่

พื้นที่ชายฝั่งของเกาะลันตาใหญ่ จังหวัดกระบี่ พบหญ้าทะเลชนิดหลัก 2 ชนิด คือ *Halophila decipiens* และ *Enhalus acoroides* ในบริเวณหาดคลองดาวและหาดเจี้ยหดี ตามลำดับ ซึ่ง หญ้าทะเลชนิด *Halophila decipiens* มีค่ามวลชีวภาพรวมของส่วนเหนือดินและส่วนใต้ดินอยู่ ระหว่าง 0.15-1.60 กรัมน้ำหนักแห้งต่อตารางเมตร ส่วนหญ้าทะเลชนิด *Enhalus acoroides* มีค่า มวลชีวภาพรวมของส่วนเหนือดินอยู่ระหว่าง 30.83-81.72 กรัมน้ำหนักแห้งต่อตารางเมตร

ผลการศึกษามวลชีวภาพของหญ้าทะเลชนิด *Enhalus acoroides* *Halodule pinifolia* *Halophila ovalis* *Halophila decipiens* และ *Cymodocea serrulata* จากพื้นที่ศึกษาทั้ง 4 พื้นที่ พบว่า มวลชีวภาพส่วนเหนือดินของหญ้าทะเลชนิด *Enhalus acoroides* มีค่าอยู่ระหว่าง 28.01-86.47 กรัมน้ำหนักแห้งต่อตารางเมตร มวลชีวภาพส่วนเหนือดินและส่วนใต้ดินของหญ้าทะเลชนิด *Halodule pinifolia* *Halophila ovalis* และ *Halophila decipiens* มีค่าอยู่ระหว่าง 3.34-81.61 27.69-40.15 และ 0.15-4.84 กรัมน้ำหนักแห้งต่อตารางเมตร ตามลำดับ ส่วนหญ้าทะเลชนิด *Cymodocea serrulata* มีค่ามวลชีวภาพส่วนเหนือดินและส่วนใต้ดินมากที่สุด โดยมีค่าเท่ากับ 222.84 กรัม น้ำหนักแห้งต่อตารางเมตร

ตารางที่ 5 มวลชีวภาพส่วนหนึ่งอดินและส่วนใต้ดินของหญ้าทะเลตามพื้นที่ศึกษา ในช่วงเดือน
เมษายน พ.ศ. 2548 ถึงเดือนกรกฎาคม พ.ศ. 2549

ชนิดของหญ้าทะเล /พื้นที่ศึกษา	มวลชีวภาพส่วนหนึ่งอดิน		มวลชีวภาพส่วนหนึ่งอดินและส่วนใต้ดิน	
	(กรัมน้ำหนักแห้งต่อตารางเมตร)		(กรัมน้ำหนักแห้งต่อตารางเมตร)	
	ต่ำสุด	สูงสุด	ต่ำสุด	สูงสุด

อ่าวคุ้งกระเบน

<i>Enhalus acoroides</i>	28.01	86.47	-	-
<i>Halodule pinifolia</i>	-	-	17.37	81.61

เกาะจง

<i>Halophila ovalis</i>	-	-	27.69	40.15
-------------------------	---	---	-------	-------

หาดคลองดาว

<i>Halophila decipiens</i>	-	-	0.15	1.60
----------------------------	---	---	------	------

หาดเจ้าหลี

<i>Enhalus acoroides</i>	30.83	81.72	-	-
--------------------------	-------	-------	---	---

เกาะไม้ขี้เล็ก

<i>Cymodocea serrulata</i>	-	-	222.84 *
----------------------------	---	---	----------

เกาะรัง

<i>Halodule pinifolia</i>	-	-	3.34 *
---------------------------	---	---	--------

เกาะคลื่น

<i>Halophila decipiens</i>	-	-	4.84 *
----------------------------	---	---	--------

* มวลชีวภาพใน 1 จุดเก็บตัวอย่าง

3. คุณภาพน้ำ

3.1 ปริมาณชาต้อาหารในน้ำ

แสดงคุณภาพน้ำในแต่ละพื้นที่ศึกษา (ตารางที่ 6) ได้แก่ อ่าวคุ้งกระเบน เกาะไม้ชีลีก เกาะรัง เกาะคลุ่ม เกาะจง หาดคลองดาว และหาดเจี้ยห์หลี สามารถอธิบายได้ดังนี้

3.1.1 แอมโมเนียม-ในไตรเจน

จากการเก็บตัวอย่างน้ำหนึ่งหน้าผิดนิตะกอนบริเวณอ่าวคุ้งกระเบน พบร่วมกับความเข้มข้นของแอมโมเนียม-ในไตรเจนมีค่าอยู่ระหว่าง $9.87-26.74 \mu\text{M}$ บริเวณเกาะไม้ชีลีก เกาะรัง และเกาะคลุ่มในหมู่เกาะช้างมีความเข้มข้นเท่ากัน 21.25 21.67 และ $20.59 \mu\text{M}$ ตามลำดับ บริเวณเกาะจงมีความเข้มข้นเท่ากัน $8.00-8.25 \mu\text{M}$ ส่วนความเข้มข้นของแอมโมเนียม-ในไตรเจนบริเวณหาดคลองดาวและหาดเจี้ยห์หลีในเกาะลันตาใหญ่ พบร่วมกับค่าอยู่ระหว่าง $15.84-18.05 \mu\text{M}$ และ $15.35-27.15 \mu\text{M}$ ตามลำดับ

3.1.2 ในไตรท์และในเตրท์-ในไตรเจน

จากการเก็บตัวอย่างน้ำหนึ่งหน้าผิดนิตะกอนบริเวณอ่าวคุ้งกระเบน พบร่วมกับความเข้มข้นของในไตรท์และในเตรท์-ในไตรเจนมีค่าอยู่ระหว่าง $0.14-7.04 \mu\text{M}$ บริเวณเกาะไม้ชีลีก เกาะรัง และเกาะคลุ่มในหมู่เกาะช้างมีความเข้มข้นเท่ากัน 0.05 0.08 และ $0.04 \mu\text{M}$ ตามลำดับ บริเวณเกาะจงมีความเข้มข้นเท่ากัน $0.72-0.98 \mu\text{M}$ ส่วนความเข้มข้นของในไตรท์และในเตรท์-ในไตรเจนบริเวณหาดคลองดาวและหาดเจี้ยห์หลีในเกาะลันตาใหญ่ พบร่วมกับค่าอยู่ระหว่าง $0.10-0.63 \mu\text{M}$ และ $1.07-16.79 \mu\text{M}$ ตามลำดับ

3.1.3 ซิลิกอก-ซิลิคอน

จากการเก็บตัวอย่างน้ำหนึ่งหน้าผิดนิตะกอนบริเวณอ่าวคุ้งกระเบน พบร่วมกับความเข้มข้นของซิลิกอก-ซิลิคอนมีค่าอยู่ระหว่าง $24.39-83.32 \mu\text{M}$ บริเวณเกาะไม้ชีลีก เกาะรัง และเกาะคลุ่มในหมู่เกาะช้างมีความเข้มข้นเท่ากัน 9.42 7.03 และ $7.45 \mu\text{M}$ ตามลำดับ บริเวณเกาะจงมีความ

เข้มข้นเท่ากับ $28.90-29.31 \mu\text{M}$ ส่วนความเข้มข้นของซิลิกอต-ซิลิกอนบริเวณหาดคลองดาวและหาดเจี้ยหลีในเกาะลันตาใหญ่ พบว่ามีค่าอยู่ระหว่าง $8.49-9.89 \mu\text{M}$ และ $1.80-2.23 \mu\text{M}$ ตามลำดับ

3.1.4 ออร์โธฟอสเฟต-ฟอสฟอรัส

น้ำหนึ่งพิศดินตะกอนบริเวณอ่าวคุ้งกระเบน มีค่าสำหรับความเข้มข้นของออร์โธฟอสเฟต-ฟอสฟอรัสอยู่ระหว่าง $0.10-0.27 \mu\text{M}$ บริเวณเกาะไม้ชี้เล็ก เกาะรัง และเกาะคลุ่มในหมู่เกาะช้างมีความเข้มข้นเท่ากับ $0.59-0.63$ และ $0.61 \mu\text{M}$ ตามลำดับ บริเวณเกาะจงมีความเข้มข้นเท่ากับ $1.75-1.94 \mu\text{M}$ ส่วนความเข้มข้นของออร์โธฟอสเฟต-ฟอสฟอรัสบริเวณหาดคลองดาวและหาดเจี้ยหลีในเกาะลันตาใหญ่ พบว่ามีค่าอยู่ระหว่าง $0.42-0.44 \mu\text{M}$ และ $0.52-0.61 \mu\text{M}$ ตามลำดับ

3.2 คุณสมบัติทางกายภาพและเคมีอื่น ๆ ของน้ำ

3.2.1 ความเค็ม

จากการตรวจความเค็มบริเวณอ่าวคุ้งกระเบนจำนวน 16 สถานี พบว่า ความเค็มของน้ำมีค่าอยู่ระหว่าง $14.86-31.75 \text{ psu}$ บริเวณหมู่เกาะช้าง จำนวน 3 บริเวณ คือ เกาะไม้ชี้เล็ก เกาะรัง และเกาะคลุ่ม มีค่าเท่ากับ $30.25-31.60$ และ 29.90 psu ตามลำดับ ในบริเวณเกาะจง จำนวน 2 บริเวณ พนค่าความเค็มของน้ำเท่ากับ $29.70-30.03 \text{ psu}$ ส่วนบริเวณหาดคลองดาว ได้ทำการตรวจความเค็มใน 2 บริเวณ คือ บริเวณด้านในชิดชายฝั่ง (สถานี KD12) ที่ระดับน้ำมีความลึก 2.5 เมตร และบริเวณแนวด้านนอกห่างฝั่ง (สถานี KD3) ที่ระดับน้ำความลึก 8.0 เมตร มีค่าเท่ากับ 32.86 และ 32.89 psu ตามลำดับ ขณะที่บริเวณหาดเจี้ยหลี ทำการตรวจความเค็มของน้ำจำนวน 18 สถานี พบว่า ความเค็มของน้ำมีค่าอยู่ระหว่าง $31.41-33.94 \text{ psu}$

3.2.2 อุณหภูมิ

จากการตรวจอุณหภูมน้ำบริเวณอ่าวคุ้งกระเบน จากการตรวจรวมทั้งสิ้นจำนวน 16 สถานี พบว่า อุณหภูมน้ำมีค่าอยู่ระหว่าง $29.7-34.4$ องศาเซลเซียส หมู่เกาะช้าง บริเวณเกาะไม้ชี้เล็ก เกาะรัง และเกาะคลุ่ม มีค่าเท่ากับ $29.1-29.4$ และ 29.8 องศาเซลเซียส ในบริเวณเกาะจง จำนวน 2 บริเวณ พบว่าอุณหภูมน้ำมีค่าเท่ากับ $29.3-30.6$ องศาเซลเซียส ตามลำดับ ส่วนอุณหภูมิ

น้ำที่ได้ทำการตรวจวัดค่าในบริเวณหาดคลองดาว จำนวน 2 บริเวณ กือ บริเวณด้านในชิดชายฝั่ง (สถานี KD12) ที่ระดับน้ำมีความลึก 2.5 เมตร และบริเวณแนวด้านนอกห่างฝั่ง (สถานี KD3) ที่ระดับน้ำความลึก 8.0 เมตร มีค่าเท่ากัน 31.8 และ 31.7 ตามลำดับ ขณะที่อุณหภูมน้ำบริเวณหาดเจ้าหลีที่ได้จากการตรวจวัดจำนวน 18 สถานี พบว่ามีค่าอยู่ระหว่าง 29.0-30.0 องศาเซลเซียส

3.2.3 ออกซิเจนละลายน้ำ

จากการตรวจปริมาณออกซิเจนละลายน้ำบริเวณอ่าวคุ้งกระเบน จากการตรวจทั้งสิ้นจำนวน 16 สถานี พบว่ามีค่าอยู่ระหว่าง 8.46-11.33 มิลลิกรัมต่อลิตร บริเวณหมู่เกาะช้าง จำนวน 3 บริเวณ กือ เกาะไม้ชี้เล็ก เกาะรัง และเกาะคลุ่ม มีค่าเท่ากัน 6.85 6.65 และ 6.80 มิลลิกรัมต่อลิตร ตามลำดับ บริเวณเกาะจง จำนวน 2 บริเวณ มีค่าเท่ากัน 6.10-7.96 มิลลิกรัมต่อลิตร ส่วนปริมาณออกซิเจนละลายน้ำที่ได้ทำการตรวจวัดค่าในบริเวณหาดคลองดาว จำนวน 2 บริเวณ กือ บริเวณด้านในชิดชายฝั่ง (สถานี KD12) ที่ระดับน้ำมีความลึก 2.5 เมตร และบริเวณแนวด้านนอกห่างฝั่ง (สถานี KD3) ที่ระดับน้ำมีความลึก 8.0 เมตร มีค่าเท่ากัน 5.26 และ 5.14 มิลลิกรัมต่อลิตร ตามลำดับ และจากการตรวจปริมาณออกซิเจนละลายน้ำบริเวณหาดเจ้าหลี จำนวน 18 สถานี พบว่า ออกซิเจนละลายน้ำมีค่าอยู่ระหว่าง 6.93-8.21 มิลลิกรัมต่อลิตร

3.2.4 ความเป็นกรดเป็นด่าง

ความเป็นกรดเป็นด่างในน้ำบริเวณอ่าวคุ้งกระเบนมีค่าอยู่ระหว่าง 8.38-8.64 บริเวณเกาะไม้ชี้เล็ก เกาะรัง และเกาะคลุ่มของหมู่เกาะช้าง มีค่าเท่ากัน 8.12 8.09 และ 8.11 ตามลำดับ ในบริเวณเกาะจง พบว่าค่าความเป็นกรดเป็นด่างมีค่าเท่ากัน 7.56-8.16 ส่วนหาดคลองดาว บริเวณด้านในชิดชายฝั่ง (สถานี KD12) ที่ระดับน้ำมีความลึก 2.5 เมตร และบริเวณแนวด้านนอกห่างฝั่ง (สถานี KD3) ที่ระดับน้ำมีความลึก 8.0 เมตร มีค่าเท่ากัน 8.43 และ 8.44 ตามลำดับ และจากการตรวจปริมาณความเป็นกรดเป็นด่างในน้ำบริเวณหาดเจ้าหลี จำนวนทั้งสิ้น 18 สถานี พบว่า ความเป็นกรดเป็นด่างมีค่าอยู่ระหว่าง 7.87-8.49

ตารางที่ 6 คุณภาพน้ำบริเวณพื้นที่ศึกษา

พื้นที่ศึกษา	NH_4^+ -N	$\text{NO}_2^- + \text{NO}_3^-$ -N	$\text{Si(OH)}_4\text{-Si}$	$\text{PO}_4^{3-}\text{-P}$	Salinity	Temp.	DO	pH
	(μM)	(μM)	(μM)	(μM)	(psu)	($^{\circ}\text{C}$)	(mg.L^{-1})	
อ่าวคุ้งกระเบน	9.87-26.74	0.14-7.04	24.39-83.32	0.10-0.27	14.86-31.75	29.7-34.4	8.46-11.33	8.38-8.64
เกาะไม้ซีล็อก	21.25	0.05	9.42	0.59	30.25	29.1	6.85	8.12
เกาะรัง	21.67	0.08	7.03	0.63	31.60	29.4	6.65	8.09
เกาะคลื่น	29.59	0.04	7.45	0.61	29.90	29.8	6.80	8.11
เกาะจง	8.00-8.25	0.72-0.98	28.90-29.31	1.75-1.94	29.70-30.03	29.3-30.6	6.10-7.96	7.56-8.16
หาดคลองดาว	15.84-18.05	0.10-0.63	8.49-9.89	0.42-0.44	32.86-32.89	31.7-31.8	5.14-5.26	8.43-8.44
หาดเจ๊หลี	15.35-27.15	1.07-16.79	1.80-2.23	0.52-0.61	31.41-33.94	28.98-29.97	6.92-8.21	7.87-8.49

4. คุณภาพดินตะกอน

การศึกษาคุณภาพดินตะกอนบริเวณแหล่งหญ้าทะเลในแต่ละพื้นที่ จะประกอบด้วย การศึกษาช่วงของคุณภาพดินตะกอนที่เหมาะสมซึ่งหญ้าทะเลสามารถอาศัยอยู่ได้ และ ความสัมพันธ์ระหว่างคุณภาพดินตะกอนกับมวลชีวภาพของหญ้าทะเลของแต่ละชนิดตามความลึก แต่ละชั้นดินตะกอน ตั้งแต่ 0-10 เซนติเมตร ทุก ๆ 1 เซนติเมตร จำนวน 10 ชั้นดิน ในแหล่งหญ้า ทะเลแต่ละชนิดที่พบ และ 0-25 เซนติเมตร ทุก ๆ 5 เซนติเมตร จำนวน 5 ชั้นดิน เจาะแหล่งหญ้า ทะเลชนิด *Enhalus acoroides*

4.1 ปริมาณธาตุอาหารในน้ำระหว่างอนุภาคดินตะกอน

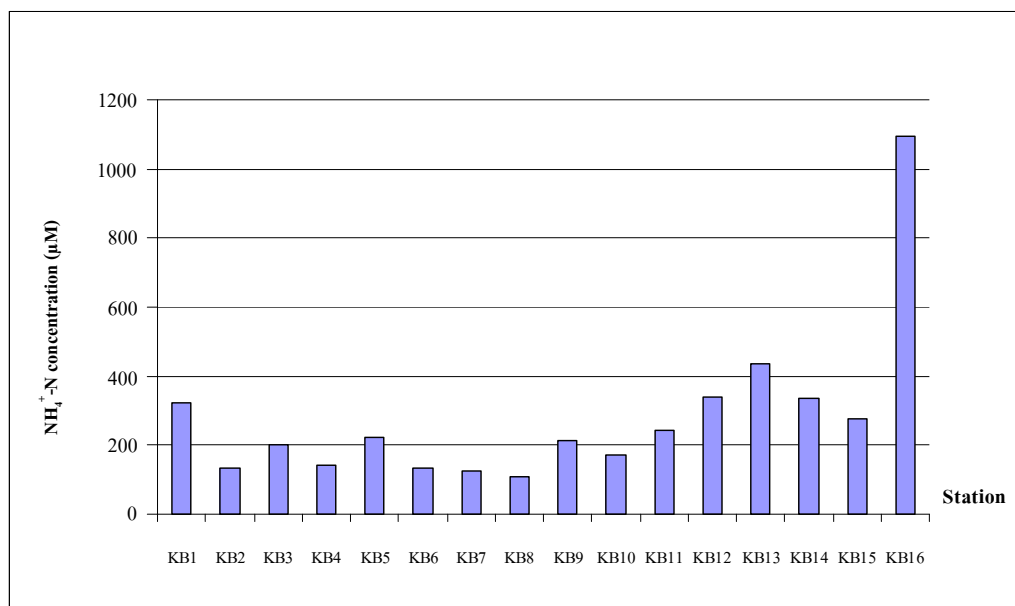
4.1.1 แอมโมเนียม-ไนโตรเจน

พื้นที่ที่ 1 อ่าวคุ้งกระเบน จังหวัดจันทบุรี ซึ่งพบทั้งหญ้าทะเลชนิด *Enhalus acoroides* และ *Halodule pinifolia* พบรากความเข้มข้นของแอมโมเนียมในน้ำระหว่างอนุภาคดิน ตะกอนที่ระดับความลึก 0-1 เซนติเมตร ซึ่งได้ทำการเก็บตัวอย่างทั้งลึก 16 สถานี มีค่าอยู่ระหว่าง 107.85-1094.49 μM (ภาพที่ 12) ส่วนความเข้มข้นของแอมโมเนียม-ไนโตรเจนในน้ำระหว่าง อนุภาคดินตะกอนที่ระดับความลึกเดียวกัน ในบริเวณที่เป็นแนวหญ้าทะเลชนิด *Enhalus acoroides* เพียงชนิดเดียว จากสถานีเก็บตัวอย่างจำนวน 4 สถานี มีค่าอยู่ระหว่าง 77.98-371.26 μM ส่วนค่า ความเข้มข้นของแอมโมเนียม-ไนโตรเจนในน้ำระหว่างอนุภาคดินตะกอนที่ระดับความลึก 0-5 เซนติเมตร มีค่าอยู่ระหว่าง 6.04-35.04 μM ขณะที่บริเวณที่เป็นแนวหญ้าทะเลชนิด *Halodule pinifolia* เพียงชนิดเดียวในสถานีเก็บตัวอย่างจำนวน 5 สถานี มีค่าอยู่ระหว่าง 8.09-53.03 μM (ภาพ ที่ 13)

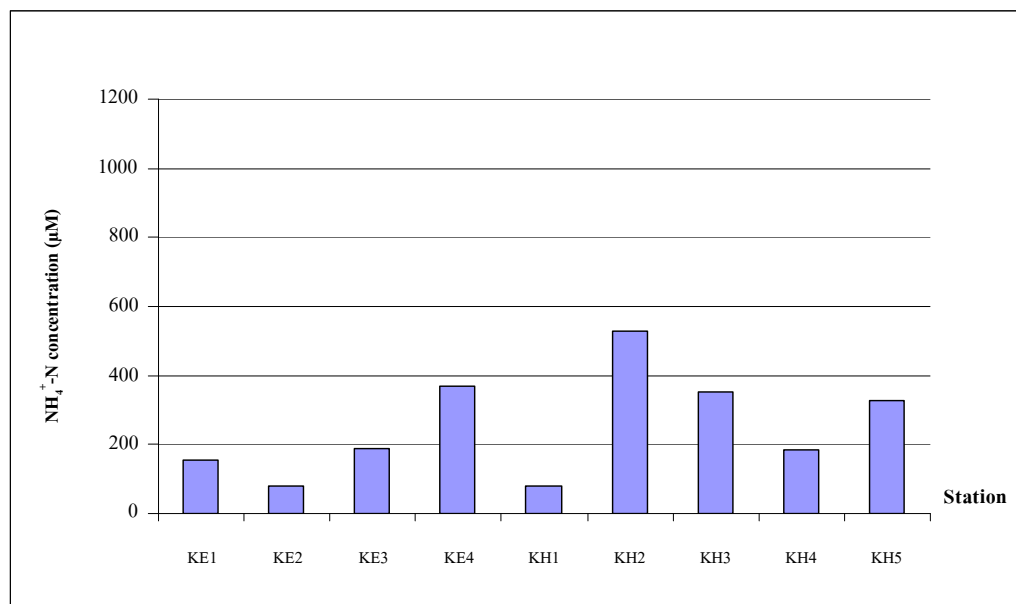
พื้นที่ที่ 2 บริเวณหมู่เกาะช้าง จังหวัดตราด จากการศึกษาความเข้มข้นของ แอมโมเนียม-ไนโตรเจนในน้ำระหว่างอนุภาคดินตะกอน ที่ระดับความลึก 0-1 เซนติเมตร ใน 3 บริเวณ ได้แก่ เกาะไม้ซี้เล็ก (สถานี C1 พบรากหญ้าทะเลชนิด *Cymodocea serrulata*) เกาะรัง (สถานี C2 พบรากหญ้าทะเลชนิด *Halodule pinifolia*) และเกาะคลุ่ม (สถานี C3 พบรากหญ้าทะเลชนิด *Halophila decipiens*) พบราก ความเข้มข้นของแอมโมเนียม-ไนโตรเจนในน้ำระหว่างอนุภาคดินตะกอนเท่ากับ 8.70-2.93 และ 39.76 μM ตามลำดับ (ภาพที่ 14)

พื้นที่ที่ 3 เกาะจง จังหวัดพังงา จากการศึกษาปริมาณแอมโมเนียม-ในโตรเจน ในน้ำระหว่างอนุภาคดินตะกอนบริเวณเกาะจง จำนวน 10 สถานี พบร่วม ความเข้มข้นของ แอมโมเนียม-ในโตรเจนมีค่าอยู่ระหว่าง $50.98 - 101.25 \mu\text{M}$ ในจำนวนนี้ บริเวณแนวหษ้าทะเลชนิด *Halophila ovalis* จากสถานีเก็บตัวอย่างจำนวน 6 สถานี (สถานี CS1-CS6) มีค่าความเข้มข้นของ แอมโมเนียม-ในโตรเจนในน้ำระหว่างอนุภาคดินตะกอนที่ระดับความลึก 0-1 เซนติเมตร มีค่าอยู่ ระหว่าง $558.15 - 916.28 \mu\text{M}$ (ภาพที่ 15)

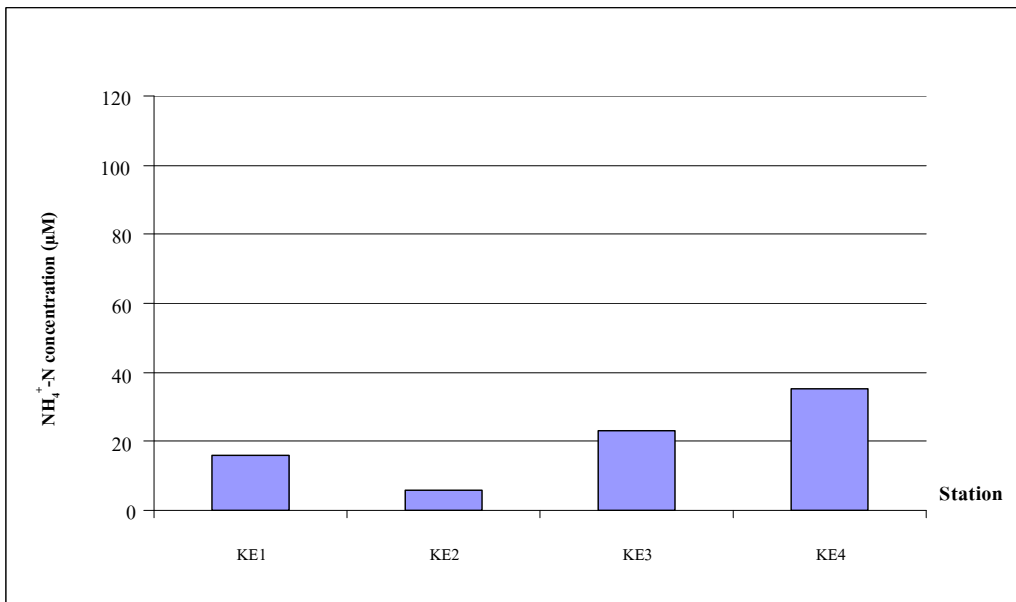
พื้นที่ที่ 4 บริเวณเกาะลันตาใหญ่ จังหวัดกระบี่ จากการศึกษาปริมาณ แอมโมเนียม-ในโตรเจนในน้ำระหว่างอนุภาคดินตะกอนจากระดับความลึก 0-1 เซนติเมตร บริเวณ หาดคลองดาวซึ่งเป็นบริเวณที่พบหษ้าทะเลชนิด *Halophila decipiens* จำนวน 12 สถานี พบร่วมมีค่า ความเข้มข้นของ แอมโมเนียม-ในโตรเจนในน้ำระหว่างอนุภาคดินตะกอนอยู่ระหว่าง $101.55 - 693.33 \mu\text{M}$ (ภาพที่ 16) ส่วนบริเวณหาดจี๊ดหลี จากสถานีเก็บตัวอย่าง 25 สถานี มีค่าความเข้มข้น ของ แอมโมเนียม-ในโตรเจนในน้ำระหว่างอนุภาคดินตะกอนที่ระดับความลึก 0-1 และ 0-5 เซนติเมตร อยู่ระหว่าง $63.37 - 297.62 \mu\text{M}$ และ $42.65 - 443.80 \mu\text{M}$ ตามลำดับ (ภาพที่ 17) นอกจากนี้ ในบริเวณที่เป็นแนวหษ้าทะเลชนิด *Enhalus acoroides* มีสถานีเก็บตัวอย่างจำนวน 10 สถานี พบร่วม ความเข้มข้นของ แอมโมเนียม-ในโตรเจนในน้ำระหว่างอนุภาคดินตะกอนที่ระดับความลึก 0-1 เซนติเมตร และ 0-5 เซนติเมตร มีค่าอยู่ระหว่าง $64.91 - 249.82 \mu\text{M}$ และ $56.98 - 275.58 \mu\text{M}$ ตามลำดับ (ภาพที่ 18)



ภาพที่ 12 ความเข้มข้นของแอมโมเนียม-ไนโตรเจนในน้ำระหว่างอนุภาคดินตะกอน (μM) ที่ระดับความลึก 0-1 เมตรติเมตร บริเวณอ่าวคุ้งกระเบน จังหวัดจันทบุรี

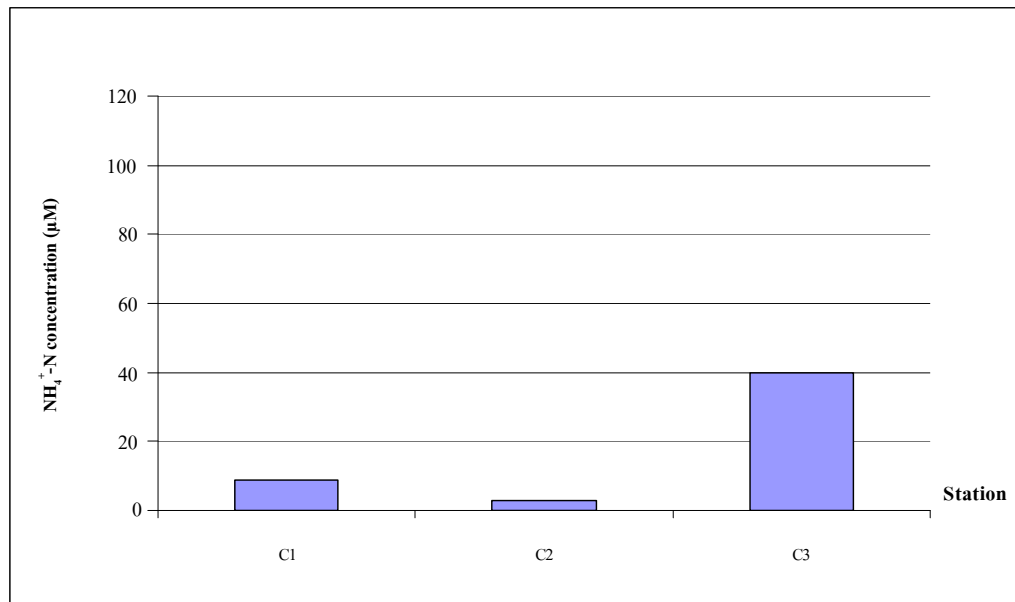


(a)

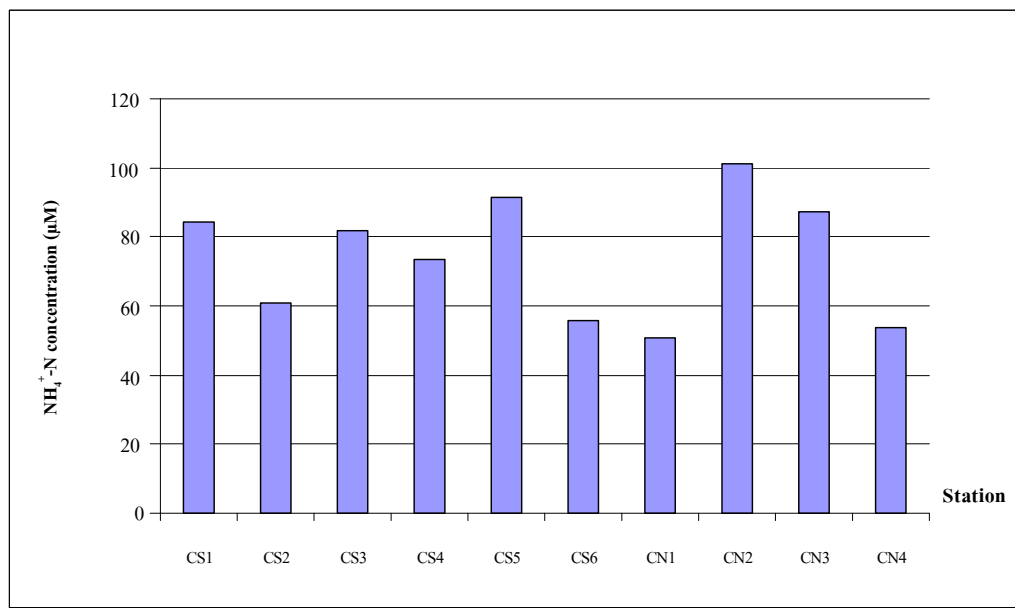


(b)

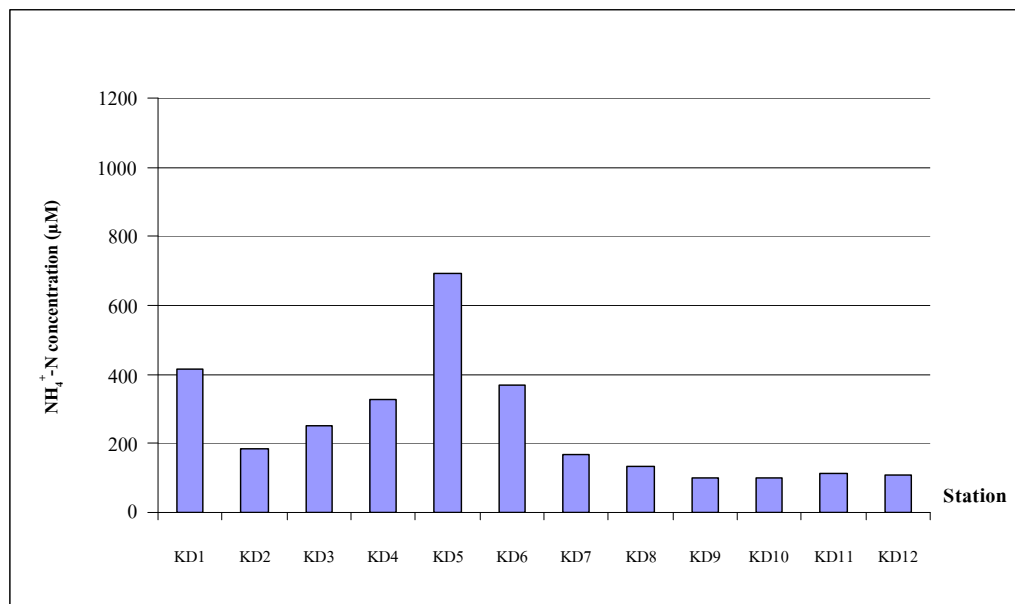
ภาพที่ 13 ความเข้มข้นของแอมโมเนียม-ไนโตรเจนในน้ำระหว่างอนุภาคดินตะกอน (μM) ที่ระดับความลึก 0-1 เมตร (a) และ 0-5 เมตร (b) ในแนวผู้ทางเลนริเวนอ่าวคุ้งกระเบน จังหวัดจันทบุรี



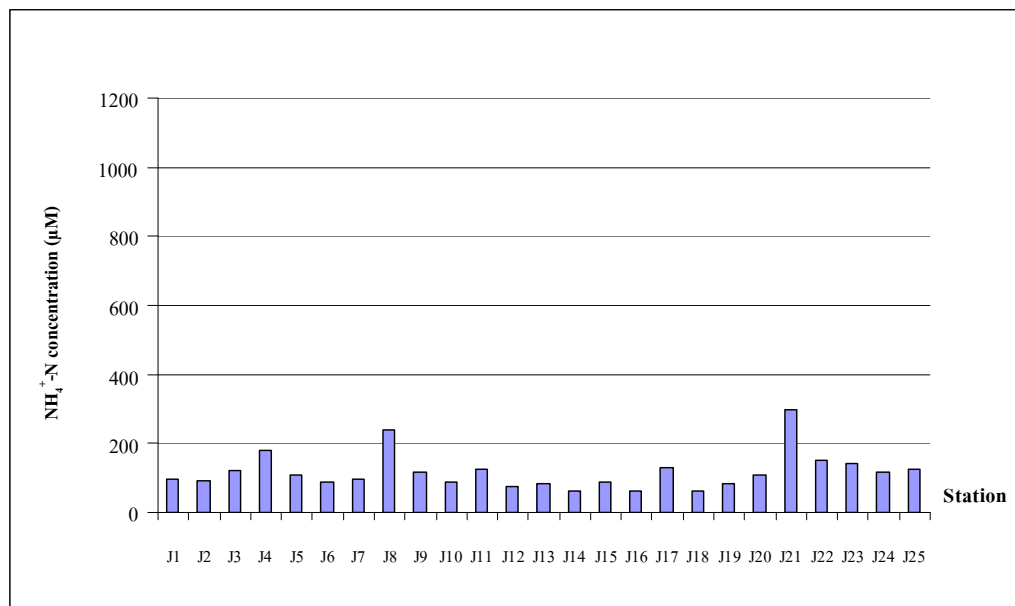
ภาพที่ 14 ความเข้มข้นของแอมโมเนียม-ไนโตรเจนในน้ำระหว่างอนุภาคดินตะกอน (μM) ที่ระดับความลึก 0-1 เซนติเมตร ในแนวทิวทัศน์เลบาริเวนหมู่เกาะช้าง จังหวัดตราด



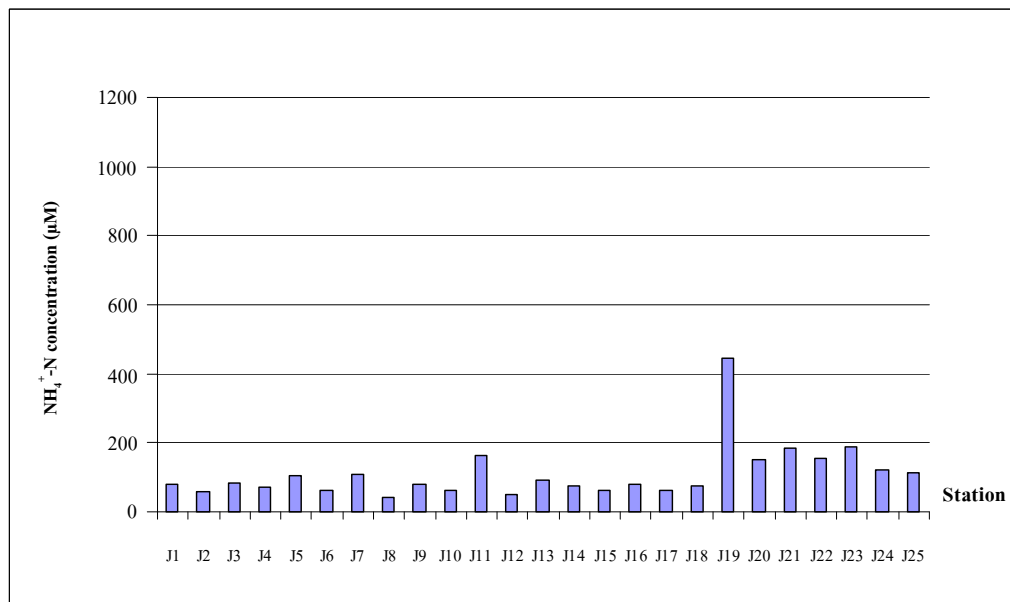
ภาพที่ 15 ความเข้มข้นของแอมโมเนียม-ไนโตรเจนในน้ำระหว่างอนุภาคดินตะกอน (μM) ที่ระดับความลึก 0-1 เซนติเมตร บริเวณเกาะช้าง จังหวัดพังงา



ภาพที่ 16 ความเข้มข้นของแอมโมเนียม-ไนโตรเจนในน้ำระหว่างอนุภาคดินตะกอน (μM) ที่ระดับความลึก 0-1 เซนติเมตร บริเวณหาดคลองดาว บริเวณเกาะลันตาใหญ่ จังหวัดกระบี่

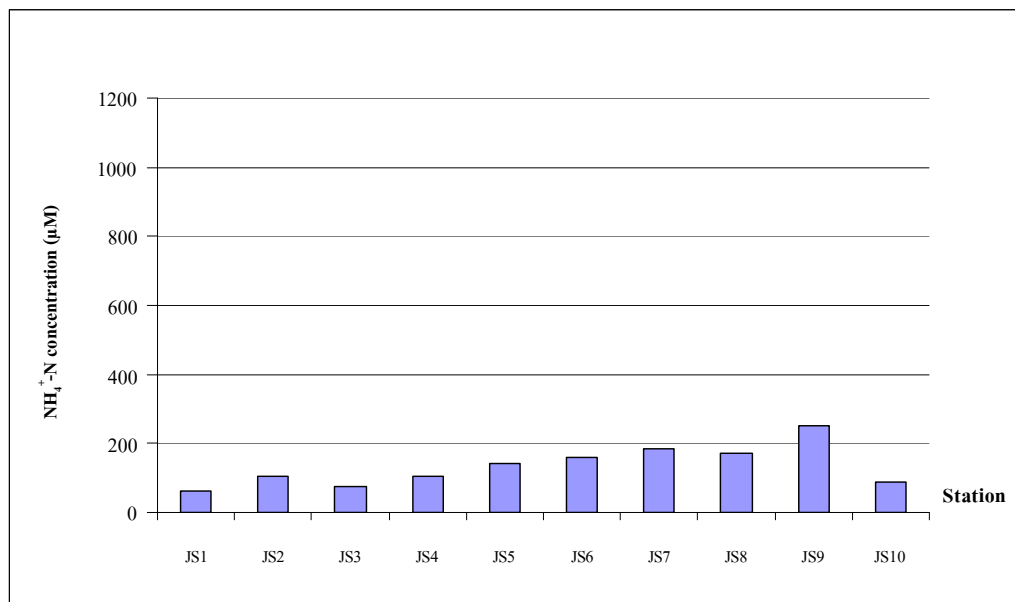


(a)

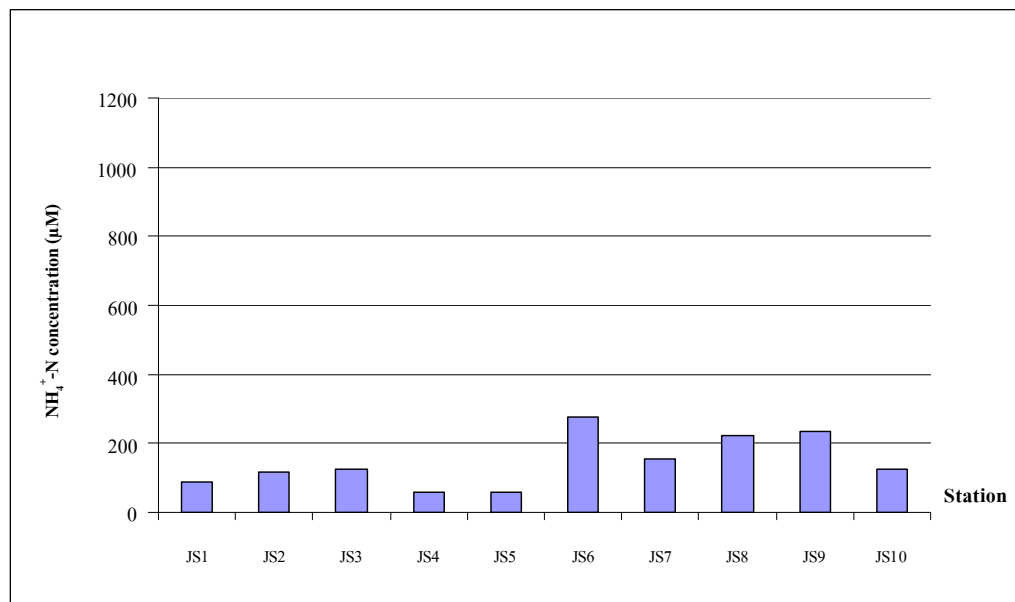


(b)

ภาพที่ 17 ความเข้มข้นของแอมโมเนียม-ไนโตรเจนในน้ำระหว่างอนุภาคดินตะกอน (μM) ที่ระดับความลึก 0-1 เซนติเมตร (a) และ 0-5 เซนติเมตร (b) บริเวณหาดเจ้าหลี เกาะลันตา ใหญ่ จังหวัดกระบี่



(a)



(b)

ภาพที่ 18 ความเข้มข้นของแอมโมเนียม-ไนโตรเจนในน้ำระหว่างอนุภาคคินตะกอน (μM) ที่ระดับความลึก 0-1 เมตร (a) และ 0-5 เมตร (b) บริเวณหาดเจ้าหลี ในแนวหillya ทะเล เกาะลันตาใหญ่ จังหวัดกระบี่

4.1.2 ชิลิกอต-ชิลิกอน

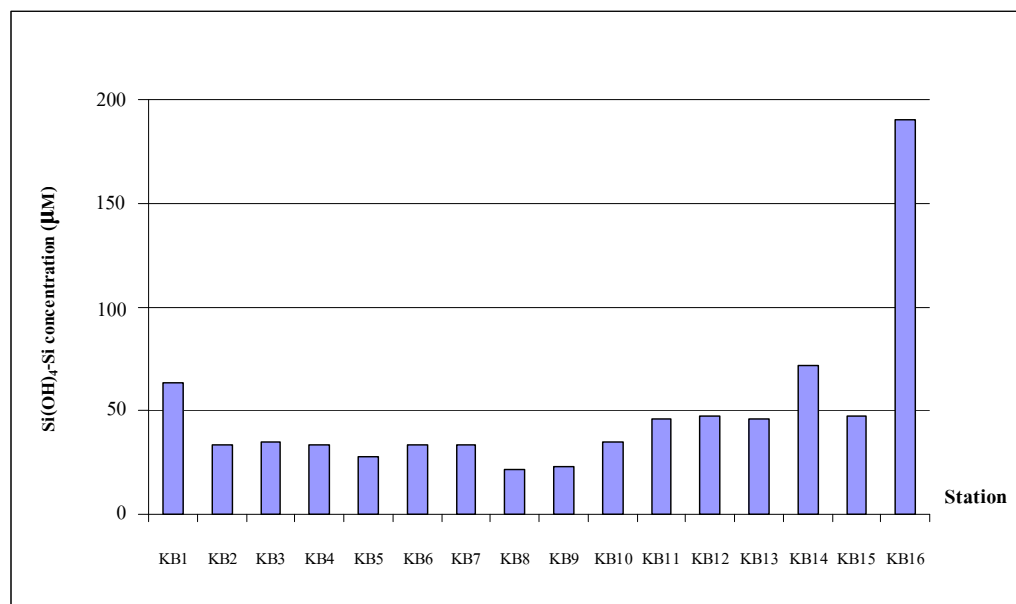
พื้นที่ที่ 1 จ่าวคุ้งกระเบน จังหวัดจันทบุรี จากการศึกษาความเข้มข้นของชิลิกอต-ชิลิกอนในน้ำระหว่างอนุภาคดินตะกอนที่ระดับความลึก 0-1 เซนติเมตร จำนวน 16 สถานี มีค่าอยู่ระหว่าง 21.92-190.25 μM (ภาพที่ 19) สำหรับความเข้มข้นของชิลิกอต-ชิลิกอนในน้ำระหว่างอนุภาคดินตะกอนที่ระดับความลึก 0-1 เซนติเมตร ในบริเวณที่เป็นแนวหญ้าทะเลชนิด *Enhalus acoroides* เพียงชนิดเดียวจากสถานีเก็บตัวอย่างจำนวน 4 สถานี มีค่าอยู่ระหว่าง 22.51-46.71 μM ส่วนค่าความเข้มข้นของชิลิกอต-ชิลิกอนในน้ำระหว่างอนุภาคดินตะกอนที่ระดับความลึก 0-5 เซนติเมตร มีค่าอยู่ระหว่าง 23.53-60.91 μM ขณะที่ความเข้มข้นของชิลิกอต-ชิลิกอนในน้ำระหว่างอนุภาคดินตะกอนที่ระดับความลึก 0-1 เซนติเมตรในบริเวณที่เป็นแนวหญ้าทะเลชนิด *Halodule pinifolia* เพียงชนิดเดียวจากสถานีเก็บตัวอย่างจำนวน 5 สถานี มีค่าอยู่ระหว่าง 22.52-73.75 μM (ภาพที่ 20)

พื้นที่ที่ 2 บริเวณหมู่เกาะช้าง จังหวัดตราด จากการศึกษาปริมาณความเข้มข้นของชิลิกอต-ชิลิกอนในน้ำระหว่างอนุภาคดินตะกอนที่ระดับความลึก 0-1 เซนติเมตร จำนวน 3 บริเวณ ได้แก่ เกาะไม้ชี้เล็ก (สถานี C1 หญ้าทะเลชนิด *Cymodocea serrulata*) เกาะรัง (สถานี C2 หญ้าทะเลเดชนิด *Halodule pinifolia*) และเกาะคลื่น (สถานี C3 หญ้าทะเลชนิด *Halophila decipiens*) พบว่ามีค่าความเข้มข้นของชิลิกอต-ชิลิกอนในน้ำระหว่างอนุภาคดินตะกอนเท่ากับ 27.36 11.07 และ 11.42 μM ตามลำดับ (ภาพที่ 21)

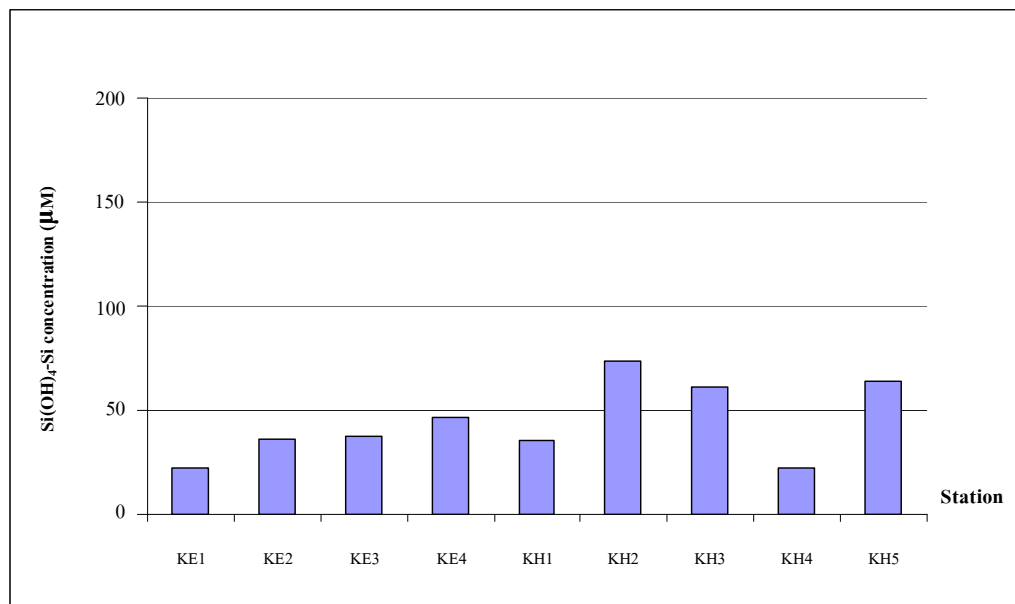
พื้นที่ที่ 3 เกาะจง จังหวัดพังงา จากการศึกษาปริมาณความเข้มข้นของชิลิกอต-ชิลิกอนในน้ำระหว่างอนุภาคดินตะกอนที่ระดับความลึก 0-1 เซนติเมตร จำนวน 10 สถานี มีค่าความเข้มข้นอยู่ระหว่าง 5.48-168.08 μM ในจำนวนนี้ ความเข้มข้นของชิลิกอต-ชิลิกอนในน้ำระหว่างอนุภาคดินตะกอนที่ระดับความลึก 0-1 เซนติเมตร ในแนวหญ้าทะเลชนิด *Halophila ovalis* จากสถานีเก็บตัวอย่างจำนวน 6 สถานี (สถานี CS1-CS6) มีค่าอยู่ระหว่าง 24.32-86.16 μM (ภาพที่ 22)

พื้นที่ที่ 4 บริเวณเกาะลันตาใหญ่ จังหวัดกระบี่ จากการศึกษาความเข้มข้นของชิลิกอต-ชิลิกอนในน้ำระหว่างอนุภาคดินตะกอนที่ระดับความลึก 0-1 เซนติเมตร บริเวณหาดคลองดาว จำนวน 12 สถานี พบว่ามีค่าอยู่ระหว่าง 11.58-66.00 μM (ภาพที่ 23) ส่วนบริเวณหาดเจ้าหลี

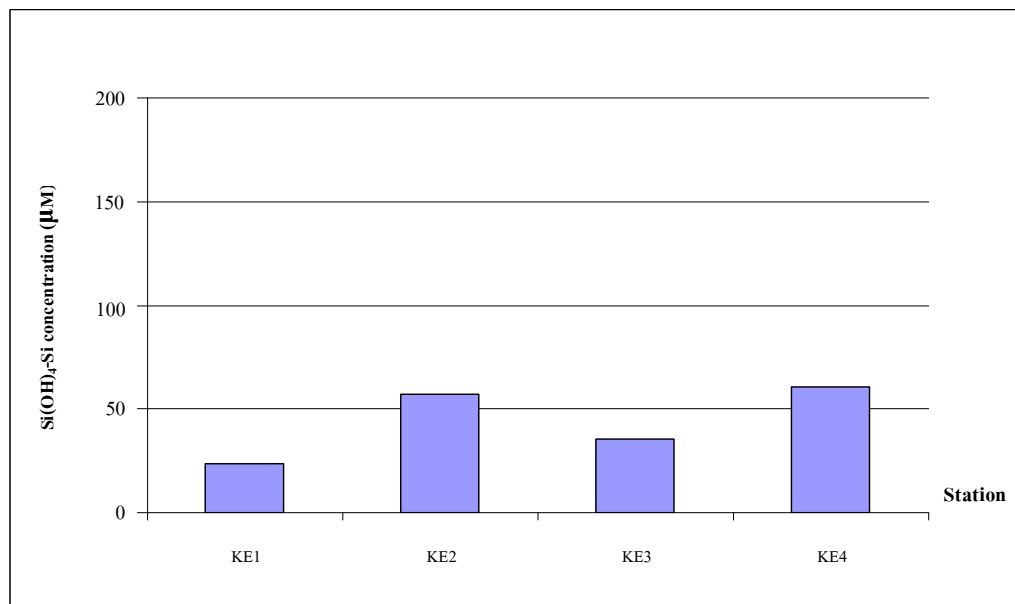
พบว่า ความเข้มข้นของซิลิกะ-ซิลิคอนในน้ำทะเลห่างอนุภาคดินตะกอนที่ระดับความลึก 0-1 เซนติเมตร และ 0-5 เซนติเมตร จากสถานีเก็บตัวอย่าง 25 สถานี มีค่าอยู่ระหว่าง $24.31-66.22 \mu\text{M}$ และ $20.74-119.87 \mu\text{M}$ ตามลำดับ (ภาพที่ 24) ขณะเดียวกัน ความเข้มข้นของซิลิกะ-ซิลิคอนในน้ำทะเลห่างอนุภาคดินตะกอนที่ระดับความลึก 0-1 และ 0-5 เซนติเมตร ในบริเวณแนวหาดผู้ทางเลชนิด *Enhalus acoroides* จากสถานีเก็บตัวอย่างจำนวน 10 สถานี มีค่าอยู่ระหว่าง $17.93-42.20 \mu\text{M}$ และ $10.60-38.27 \mu\text{M}$ ตามลำดับ (ภาพที่ 25)



ภาพที่ 19 ความเข้มข้นของซิลิกะ-ซิลิคอนในน้ำทะเลห่างอนุภาคดินตะกอน (μM) ที่ระดับความลึก 0-1 เซนติเมตร บริเวณอ่าวคุ้งกระเบน จังหวัดจันทบุรี

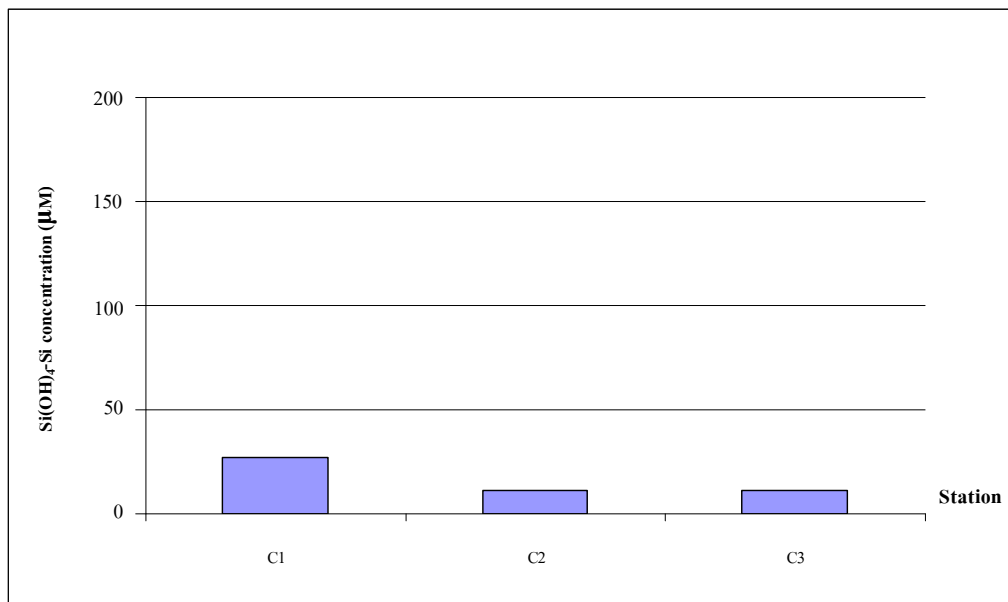


(a)

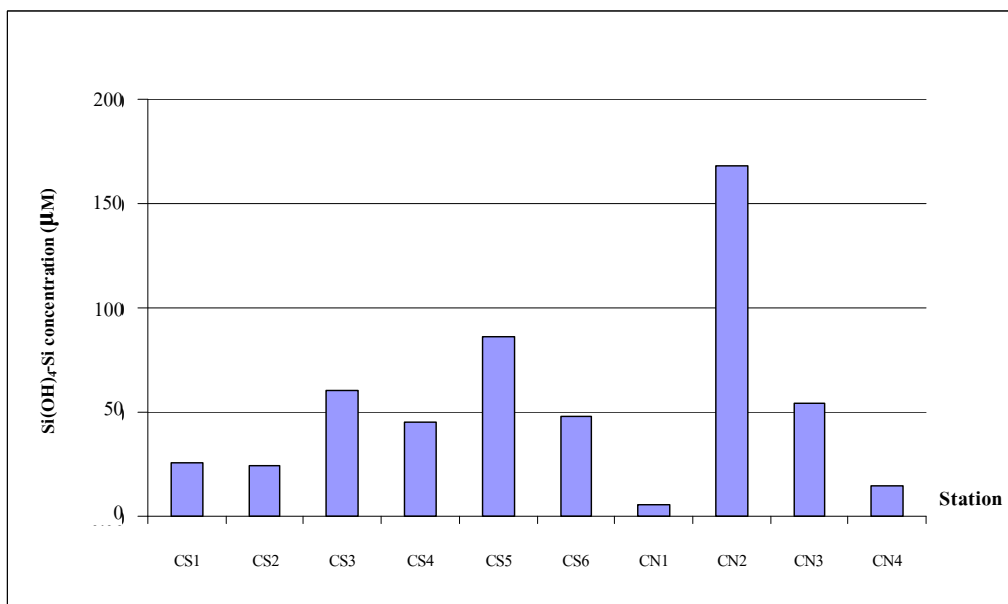


(b)

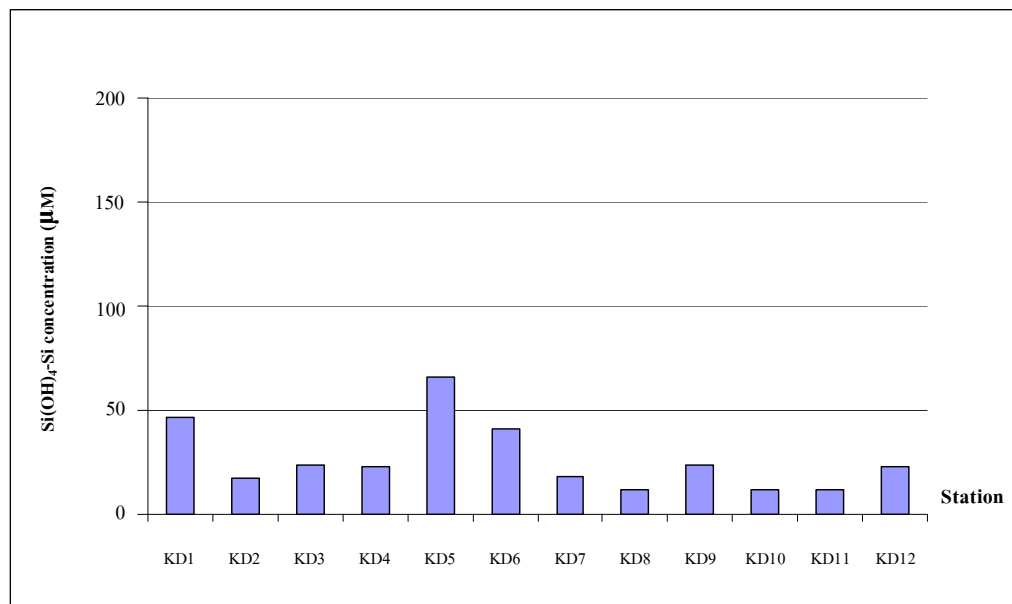
ภาพที่ 20 ความเข้มข้นของซิลิกะ-ซิลิคอนในน้ำระหว่างอนุภาคดินตะกอน (μM) ที่ระดับความลึก 0-1 เมตร (a) และ 0-5 เมตร (b) ในแนวหาดทรายเลบารีเวนอ่าวคุ้งกระเบนจังหวัดจันทบุรี



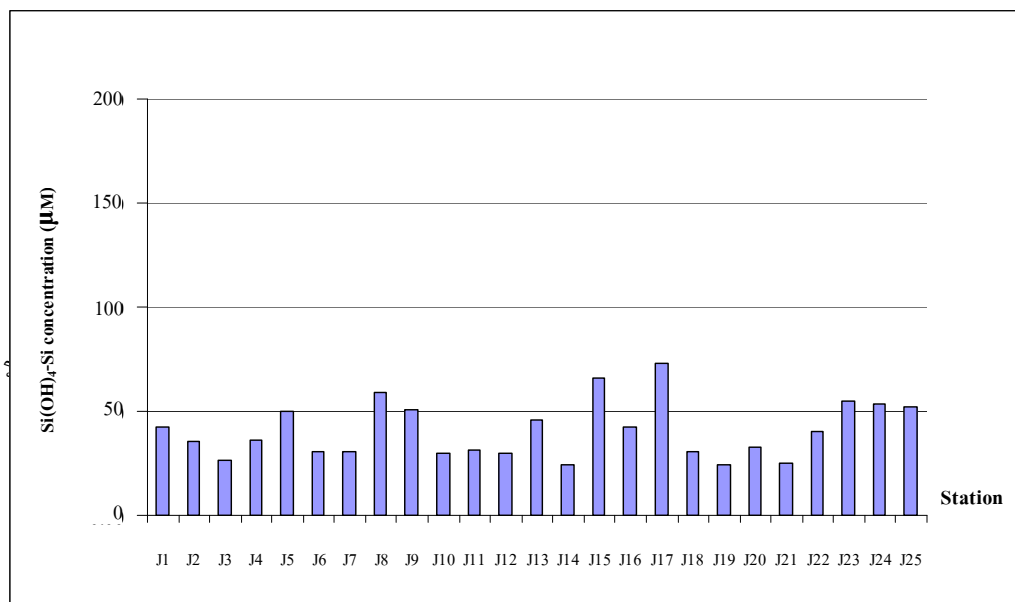
ภาพที่ 21 ความเข้มข้นของซิลิกेट-ซิลิคอนในน้ำระหว่างอนุภาคดินตะกอน (μM) ที่ระดับความลึก 0-1 เซนติเมตร ในแนวทิศทางเดินเรียบหมู่เกาะช้าง จังหวัดตราด



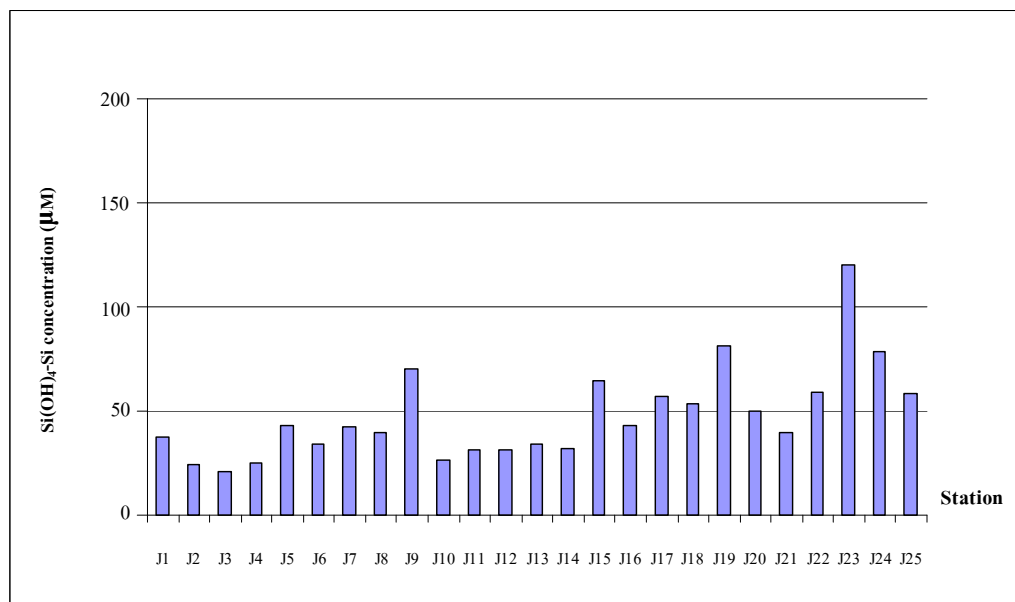
ภาพที่ 22 ความเข้มข้นของซิลิกेट-ซิลิคอนในน้ำระหว่างอนุภาคดินตะกอน (μM) ที่ระดับความลึก 0-1 เซนติเมตร บริเวณเกาะช้าง จังหวัดพังงา



ภาพที่ 23 ความเข้มข้นของซิลิกา-ซิลิคอนในน้ำระหัวงอนุภาคดินตะกอน (μM) ที่ระดับความลึก 0-1 เมตร บริเวณหาดคลองดาว เกาะลันตาใหญ่ จังหวัดกระบี่

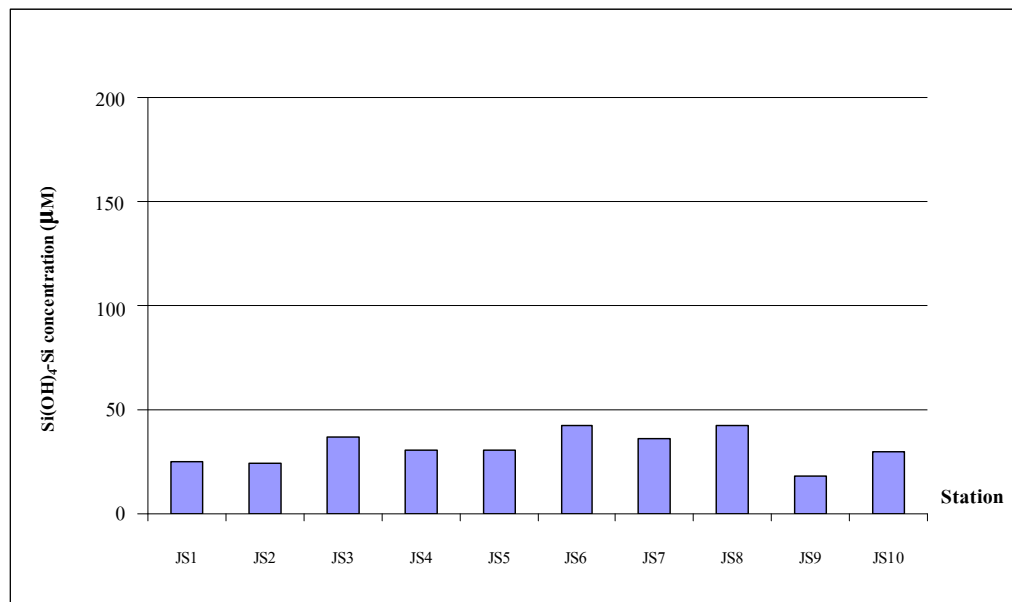


(a)

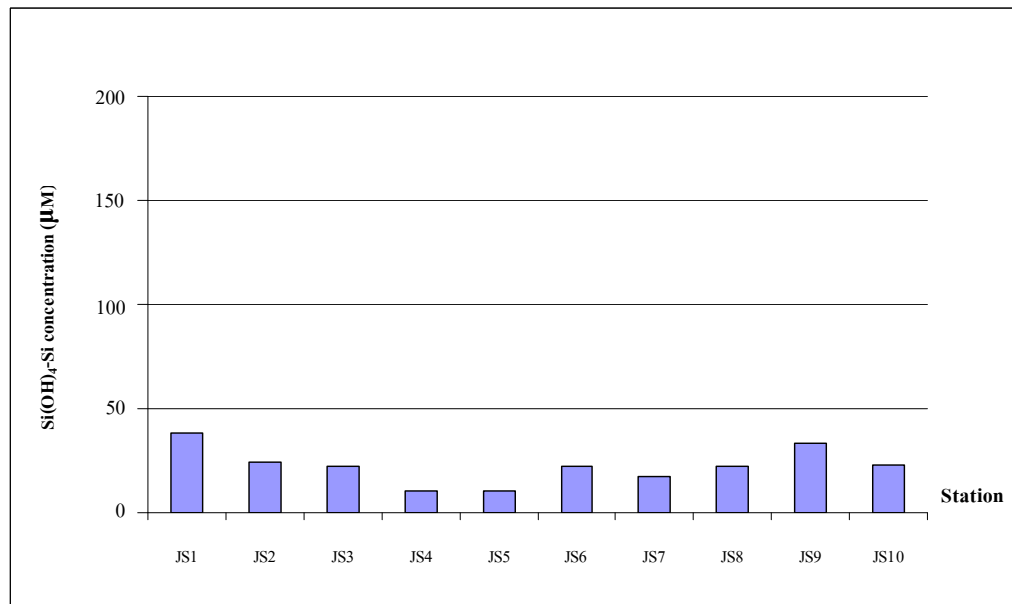


(b)

ภาพที่ 24 ความเข้มข้นของซิลิกอต-ซิลิคอนในน้ำระหว่างอนุภาคดินตะกอน (μM) ที่ระดับความลึก 0-1 เมตร (a) และ 0-5 เมตร (b) บริเวณหาดเจ้าหลี เกาะลันตาใหญ่ จังหวัดกระบี่



(a)



(b)

ภาพที่ 25 ความเข้มข้นของซิลิกา-ซิลิคอนในน้ำทะเลว่างอนุภาคดินตะกอน (μM) ที่ระดับความลึก 0-1 เมตร (a) และ 0-5 เมตร (b) ในแนวหญ้าทะเลบริเวณหาดเจี้ยหดี เกาะลันตาใหญ่ จังหวัดกระบี่

4.1.3 ออร์โธฟอสเฟต-ฟอสฟอรัส

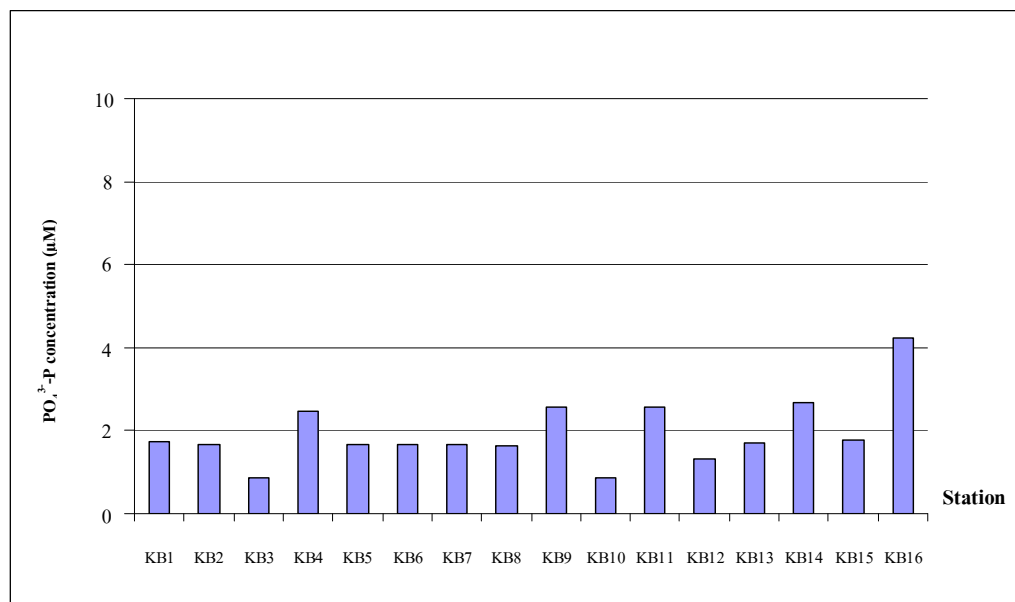
พื้นที่ที่ 1 จ่าวคุ้งกระเบน จังหวัดจันทบุรี จากการศึกษาปริมาณความเข้มข้นของ ออร์โธฟอสเฟต-ฟอสฟอรัสในน้ำทะเลว่างอนุภาคดินตะกอนที่ระดับความลึก 0-1 เซนติเมตร จำนวน 16 สถานี มีค่าความเข้มข้นของออร์โธฟอสเฟต-ฟอสฟอรัสในน้ำทะเลว่างอนุภาคดินตะกอน อุ่رระหว่าง $0.86\text{-}4.25 \mu\text{M}$ (ภาพที่ 26) ส่วนบริเวณแนวหญ้าทะเลชนิด *Enhalus acoroides* จาก สถานีเก็บตัวอย่างจำนวน 4 สถานี มีค่าความเข้มข้นของออร์โธฟอสเฟต-ฟอสฟอรัสในน้ำทะเลว่างอนุภาคดินตะกอนที่ระดับความลึก 0-1 และ 0-5 เซนติเมตร อุ่รระหว่าง $1.39\text{-}2.09 \mu\text{M}$ และ $0.85\text{-}1.81 \mu\text{M}$ ตามลำดับ ขณะที่บริเวณแนวหญ้าทะเลชนิด *Halodule pinifolia* จากสถานีเก็บตัวอย่างจำนวน 5 สถานี มีค่าความเข้มข้นของออร์โธฟอสเฟต-ฟอสฟอรัสในน้ำทะเลว่างอนุภาคดินตะกอนที่ระดับความลึก 0-1 เซนติเมตร อุ่รระหว่าง $0.44\text{-}2.86 \mu\text{M}$ (ภาพที่ 27)

พื้นที่ที่ 2 บริเวณหมู่เกาะช้าง จังหวัดตราด จากการศึกษาปริมาณความเข้มข้นของออร์โธฟอสเฟต-ฟอสฟอรัสในน้ำทะเลว่างอนุภาคดินตะกอนที่ระดับความลึก 0-1 เซนติเมตร จำนวน 3 บริเวณ ได้แก่ เกาะไมซึ่ลีก (สถานี C1 หญ้าทะเลชนิด *Cymodocea serrulata*) เกาะรัง (สถานี C2 หญ้าทะเลชนิด *Halodule pinifolia*) และเกาะคลื่ม (สถานี C3 หญ้าทะเลชนิด *Halophila decipiens*) มีค่าความเข้มข้นของออร์โธฟอสเฟต-ฟอสฟอรัสในน้ำทะเลว่างอนุภาคดินตะกอนเท่ากับ $2.44\text{-}0.82$ และ $6.80 \mu\text{M}$ ตามลำดับ (ภาพที่ 28)

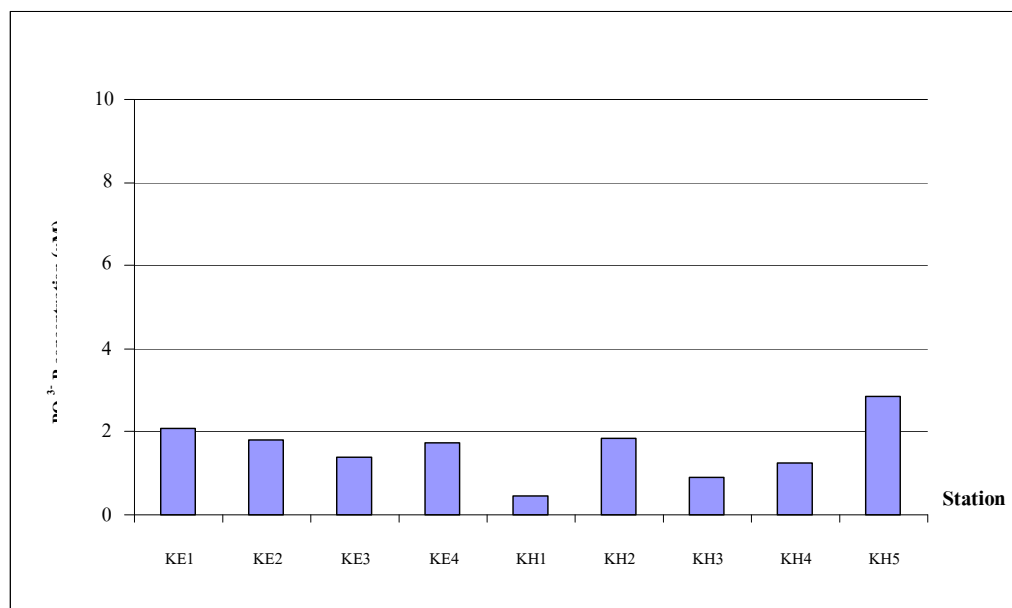
พื้นที่ที่ 3 เกาะจง จังหวัดพังงา จากการศึกษาปริมาณความเข้มข้นของออร์โธฟอสเฟต-ฟอสฟอรัสในน้ำทะเลว่างอนุภาคดินตะกอนที่ระดับความลึก 0-1 เซนติเมตร จำนวน 10 สถานี มีค่าอยู่ระหว่าง $0.74\text{-}9.94 \mu\text{M}$ ในจำนวนนี้ บริเวณแนวหญ้าทะเลชนิด *Halophila ovalis* มี สถานีเก็บตัวอย่างจำนวน 6 สถานี (สถานี CS1-CS6) มีค่าอยู่ระหว่าง $0.91\text{-}9.94 \mu\text{M}$ (ภาพที่ 29)

พื้นที่ที่ 4 บริเวณเกาะลันตาใหญ่ จังหวัดกระบี่ จากการศึกษาปริมาณความเข้มข้นของออร์โธฟอสเฟต-ฟอสฟอรัสในน้ำทะเลว่างอนุภาคดินตะกอนที่ระดับความลึก 0-1 เซนติเมตร บริเวณหาดคลองดาว จำนวน 12 สถานี มีค่าอยู่ระหว่าง $0.54\text{-}8.32 \mu\text{M}$ (ภาพที่ 30) ส่วน บริเวณหาดเจี้ยหลี จากสถานีเก็บตัวอย่าง 25 สถานี พบว่า ปริมาณความเข้มข้นของออร์โธฟอสเฟต-ฟอสฟอรัสในน้ำทะเลว่างอนุภาคดินตะกอนที่ระดับความลึก 0-1 เซนติเมตร และ 0-5 เซนติเมตร มี ค่าอยู่ระหว่าง $\text{nd-}3.20 \mu\text{M}$ และ $\text{nd-}4.30 \mu\text{M}$ ตามลำดับ (ภาพที่ 31) ซึ่งในบริเวณแนวหญ้าทะเลเด

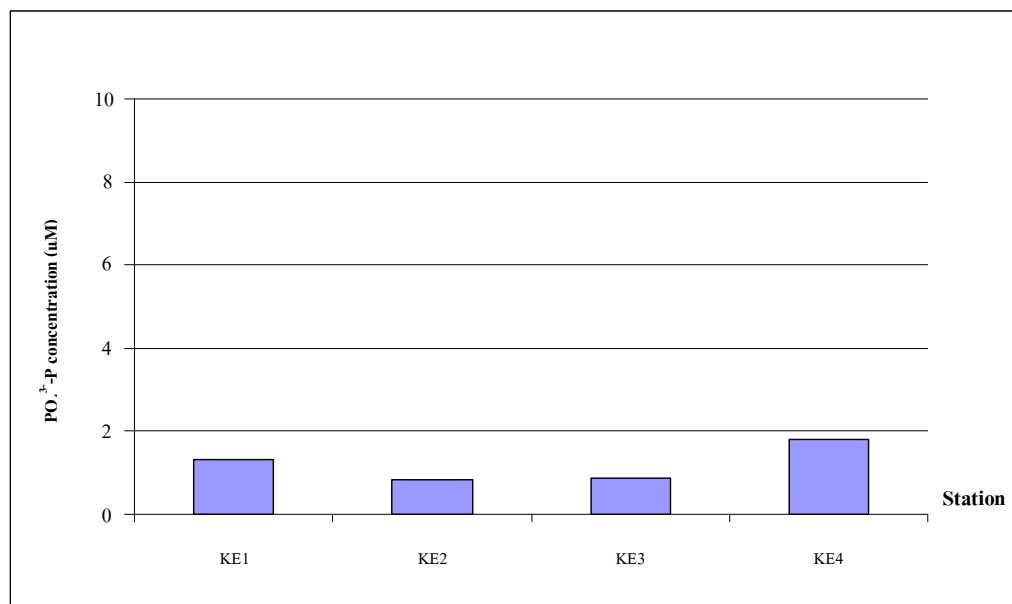
ชนิด *Enhalus acoroides* มีสถานีเก็บตัวอย่างจำนวน 10 สถานี พบปริมาณความเข้มข้นของออร์โธฟอสเฟต-ฟอสฟอรัสในน้ำระหว่างอนุภาคดินตะกอนที่ระดับความลึก 0-1 และ 0-5 เซนติเมตร มีค่าอยู่ระหว่าง 0.80-2.38 และ 0.80-2.21 μM ตามลำดับ (ภาพที่ 32)



ภาพที่ 26 ความเข้มข้นของออร์โธฟอสเฟต-ฟอสฟอรัสในน้ำระหว่างอนุภาคดินตะกอน (μM) ที่ระดับความลึก 0-1 เซนติเมตร บริเวณอ่าวคุ้งกระเบน จังหวัดจันทบุรี

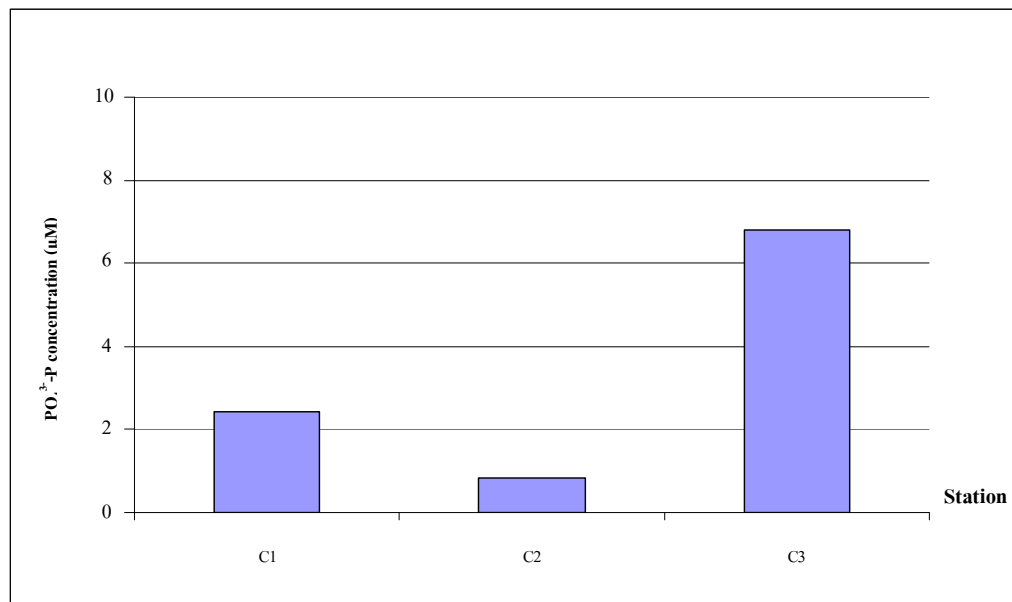


(a)

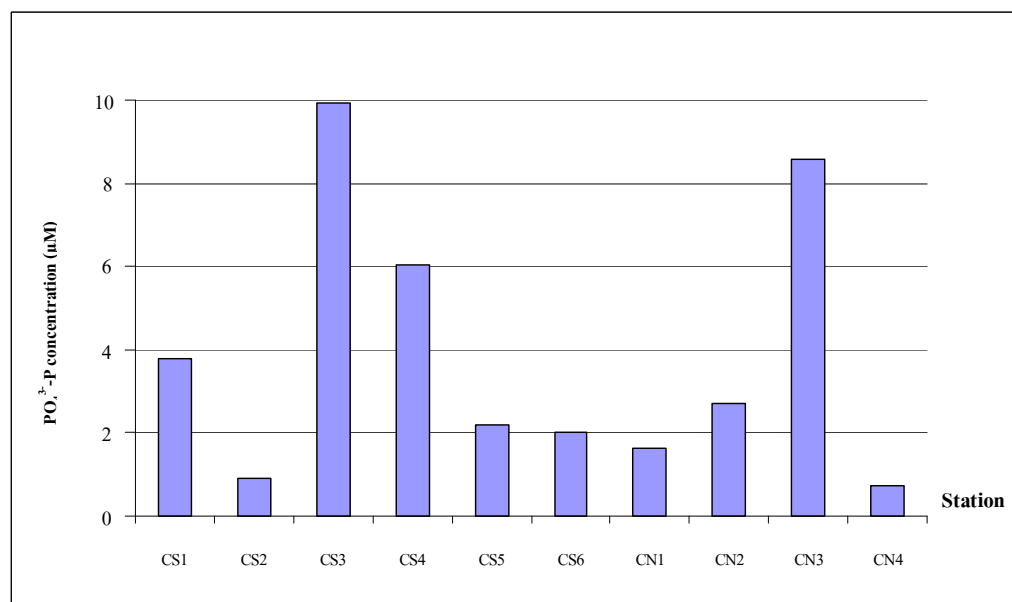


(b)

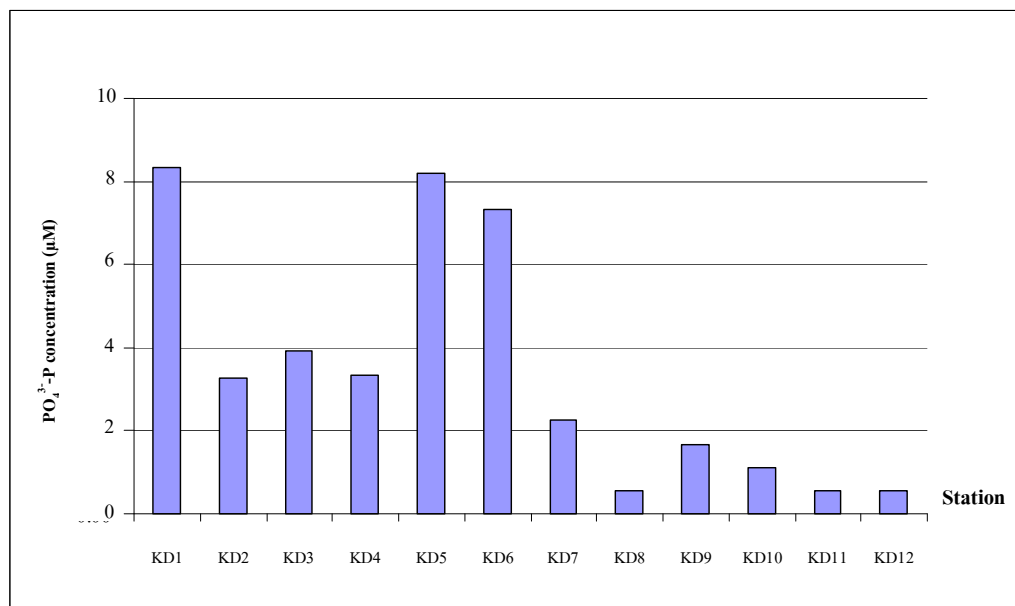
ภาพที่ 27 ความเข้มข้นของออร์โธฟอสเฟต-ฟอสฟอรัสในน้ำระหว่างอนุภาคดินตะกอน (μM) ที่ระดับความลึก 0-1 เมตร (a) และ 0-5 เมตร (b) ในแนวปั้นทางเลบาริเวนอ่าวคุ้งกระเบน จังหวัดจันทบุรี



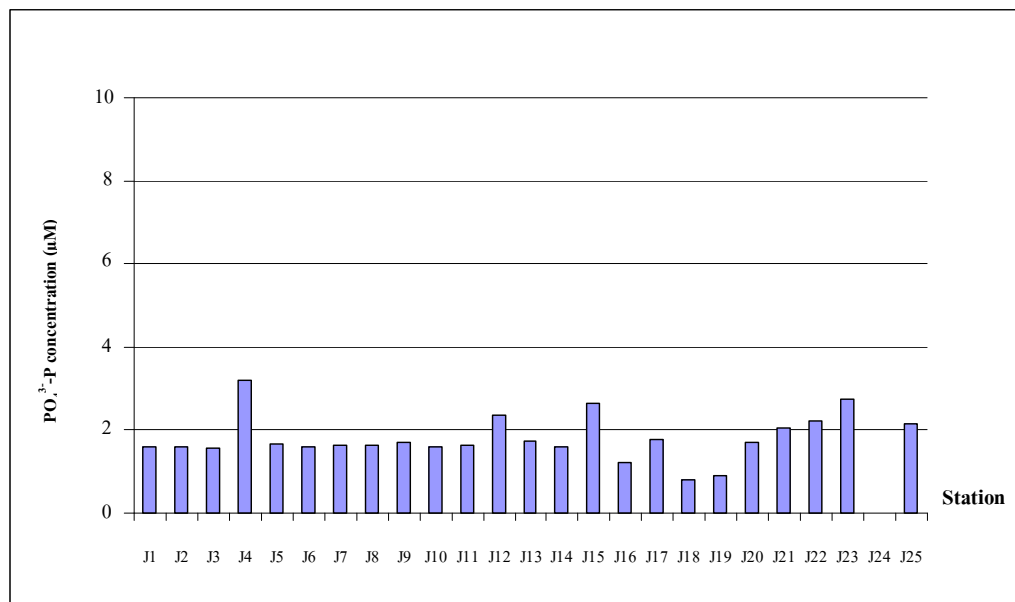
ภาพที่ 28 ความเข้มข้นของออร์โธฟอสเฟต-ฟอสฟอรัสในน้ำระหว่างอนุภาคดินตะกอน (μM) ที่ระดับความลึก 0-1 เซนติเมตร ในแนวทรายเลมริเวนหมู่เกาะช้าง จังหวัดตราด



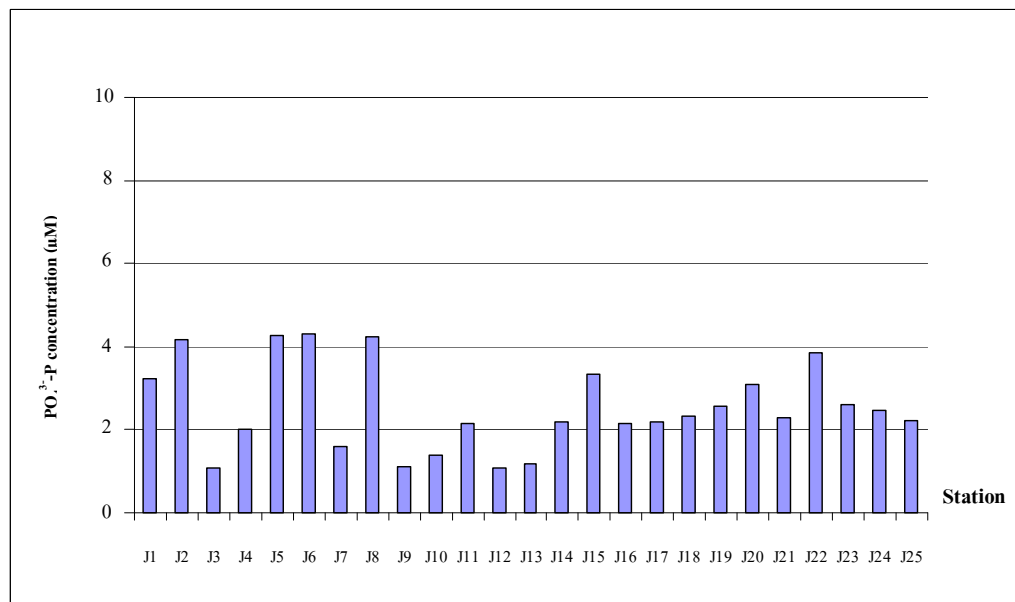
ภาพที่ 29 ความเข้มข้นของออร์โธฟอสเฟต-ฟอสฟอรัสในน้ำระหว่างอนุภาคดินตะกอน (μM) ที่ระดับความลึก 0-1 เซนติเมตร บริเวณเกาะช้าง จังหวัดพัทุมธานี



ภาพที่ 30 ความเข้มข้นของออร์โธฟอสเฟต-ฟอสฟอรัสในน้ำระหว่างอนุภาคดินตะกอน (μM) ที่ระดับความลึก 0-1 เมตร บริเวณหาดคลองดาว เกาะลันตาใหญ่ จังหวัดกระบี่

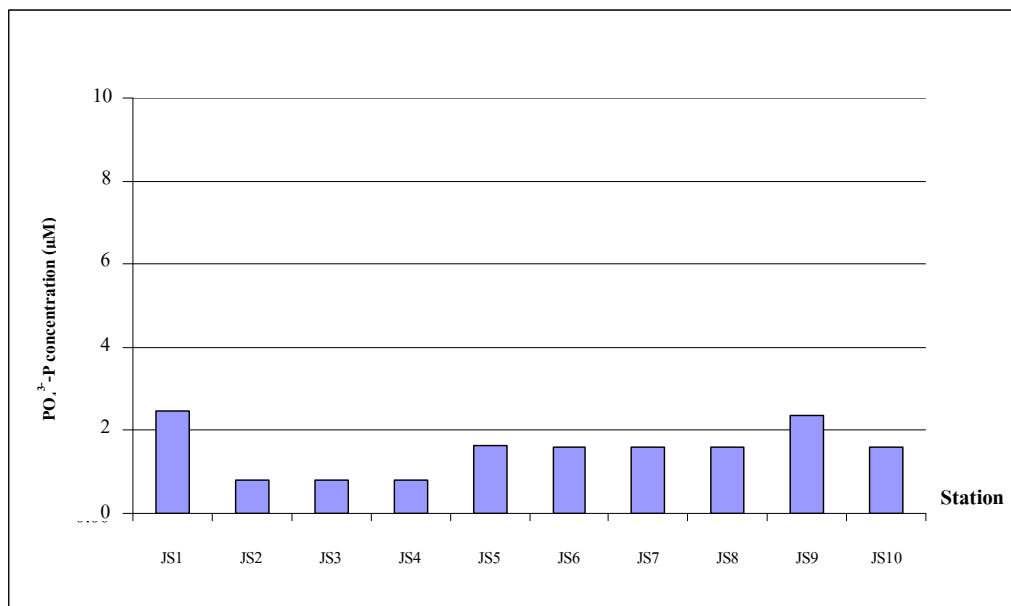


(a)

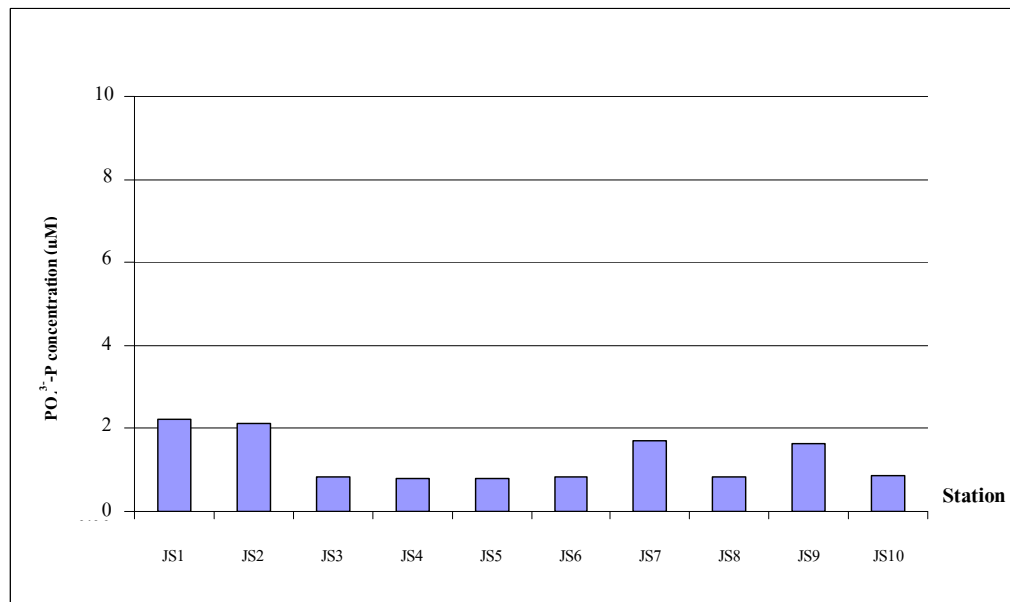


(b)

ภาพที่ 31 ความเข้มข้นของออร์โธฟอสเฟต-ฟอสฟอรัสในน้ำระหว่างอนุภาคดินตะกอน (μM) ที่ระดับความลึก 0-1 เซนติเมตร (a) และ 0-5 เซนติเมตร (b) บริเวณหาดเจี๊ยะหลี เกาะลันตา ใหญ่ จังหวัดกระบี่



(a)



(b)

ภาพที่ 32 ความเข้มข้นของออร์โธฟอสเฟต-ฟอสฟอรัสในน้ำระหว่างอนุภาคดินตะกอน (μM) ที่ระดับความลึก 0-1 เมตร (a) และ 0-5 เมตร (b) ในแนวผู้ท่าเบรเวณหาดเจ้าหลี เกาะลันตาใหญ่ จังหวัดกระบี่

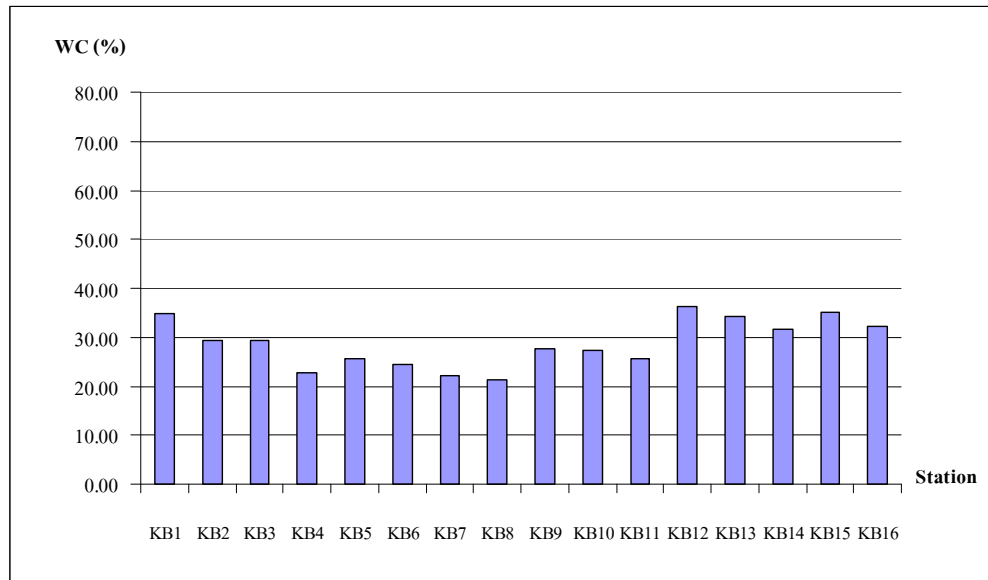
4.2 ปริมาณน้ำในดินตะกอน

พื้นที่ที่ 1 อ่าวคุ้งกระเบน จังหวัดจันทบุรี จากการศึกษาปริมาณน้ำในดินตะกอนที่ระดับความลึก 0-1 เซนติเมตร จำนวน 16 สถานี พบร่วมปริมาณน้ำในดินตะกอนอยู่ระหว่างร้อยละ 21.21-36.23 (ภาพที่ 33) ส่วนบริเวณแนวหญ้าทะเลชนิด *Enhalus acoroides* ขึ้นอยู่เพียงชนิดเดียว ซึ่งมีสถานีเก็บตัวอย่างจำนวน 4 สถานี มีค่าปริมาณน้ำในดินตะกอนที่ระดับความลึก 0-1 และ 0-5 เซนติเมตร อยู่ระหว่างร้อยละ 21.80-29.37 และ 21.63-23.95 ตามลำดับ ขณะที่บริเวณแนวหญ้าทะเลชนิด *Halodule pinifolia* ขึ้นอยู่เพียงชนิดเดียว ซึ่งมีสถานีเก็บตัวอย่างจำนวน 5 สถานี พบริมาณน้ำในดินตะกอนที่ระดับความลึก 0-1 เซนติเมตร อยู่ระหว่างร้อยละ 19.77-42.45 (ภาพที่ 34)

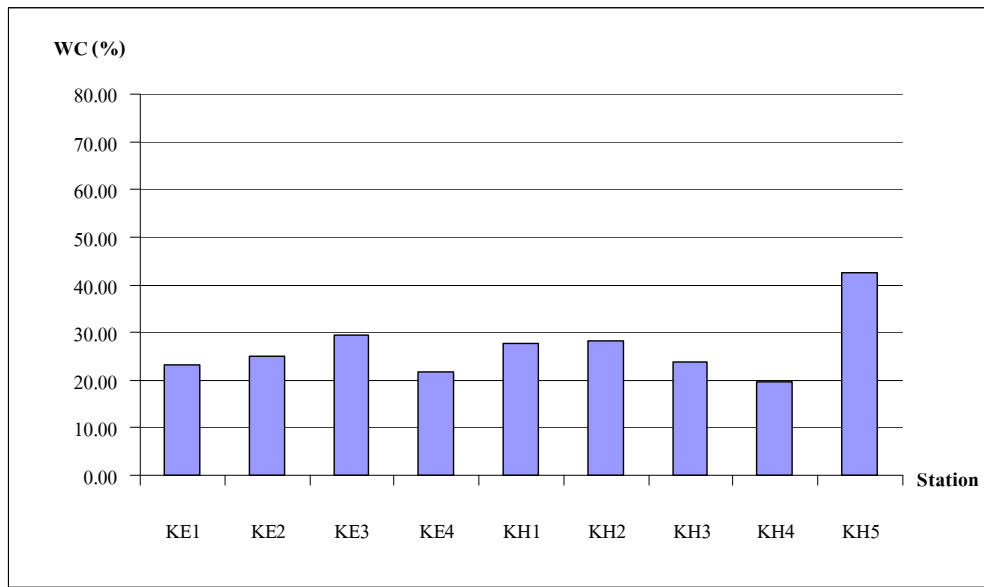
พื้นที่ที่ 2 บริเวณหมู่เกาะช้าง จังหวัดตราด จากการศึกษาปริมาณน้ำในดินตะกอนที่ระดับความลึก 0-1 เซนติเมตร เกาะไนซ์ลีก (สถานี C1 หญ้าทะเลชนิด *Cymodocea serrulata*) เกาะรัง (สถานี C2 หญ้าทะเลชนิด *Halodule pinifolia*) และเกาะคลุ่ม (สถานี C3 หญ้าทะเลชนิด *Halophila decipiens*) พบร่วมปริมาณน้ำในดินตะกอนเท่ากับร้อยละ 37.18 27.35 และ 23.30 ตามลำดับ (ภาพที่ 35)

พื้นที่ที่ 3 เกาะจง จังหวัดพังงา จากการศึกษาปริมาณน้ำในดินตะกอนที่ระดับความลึก 0-1 เซนติเมตร จำนวนทั้งสิ้น 10 สถานี พบร่วมปริมาณน้ำในดินตะกอนอยู่ระหว่างร้อยละ 14.34 - 33.33 ในจำนวนนี้ บริเวณแนวหญ้าทะเลชนิด *Halophila ovalis* ซึ่งมีสถานีเก็บตัวอย่างจำนวน 6 สถานี (สถานี CS1-CS6) มีปริมาณน้ำในดินตะกอนที่ระดับความลึก 0-1 เซนติเมตร อยู่ระหว่างร้อยละ 18.34-33.33 (ภาพที่ 36)

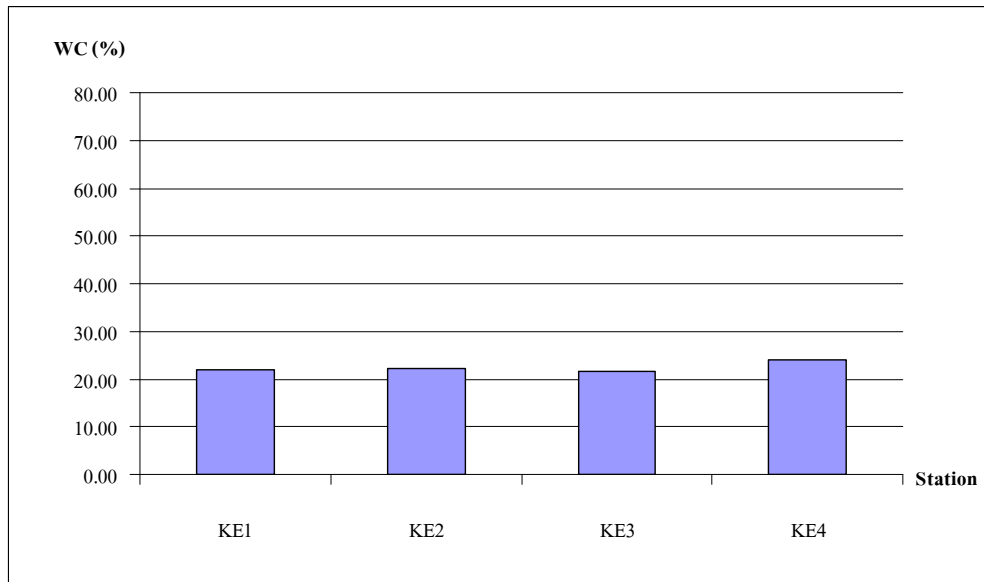
พื้นที่ที่ 4 บริเวณเกาะลันตาใหญ่ จังหวัดกระบี่ จากการศึกษาปริมาณน้ำในดินตะกอนที่ระดับความลึก 0-1 เซนติเมตร บริเวณหาดคลองดาว จำนวน 12 สถานี มีค่าอยู่ระหว่างร้อยละ 22.61 -35.76 (ภาพที่ 37) ส่วนบริเวณหาดเจี้ยหลี พบร่วมปริมาณน้ำในดินตะกอนที่ระดับความ 0-1 เซนติเมตร และ 0-5 เซนติเมตร จากสถานีเก็บตัวอย่างจำนวน 25 สถานี อยู่ระหว่างร้อยละ 24.11-70.46 และ 22.10-63.20 ตามลำดับ (ภาพที่ 38) ขณะที่บริเวณแนวหญ้าทะเลชนิด *Enhalus acoroides* ซึ่งมีสถานีเก็บตัวอย่าง 10 สถานี พบร่วมปริมาณน้ำในดินตะกอนที่ระดับความลึก 0-1 และ 0-5 เซนติเมตร มีค่าอยู่ระหว่างร้อยละ 26.74-47.89 และ 23.89-38.87 ตามลำดับ (ภาพที่ 39)



ภาพที่ 33 ปริมาณน้ำในดินตะกอน (ร้อยละ) ที่ระดับความลึก 0-1 เซนติเมตร บริเวณอ่าวคุ้ง
กระเบน จังหวัดจันทบุรี

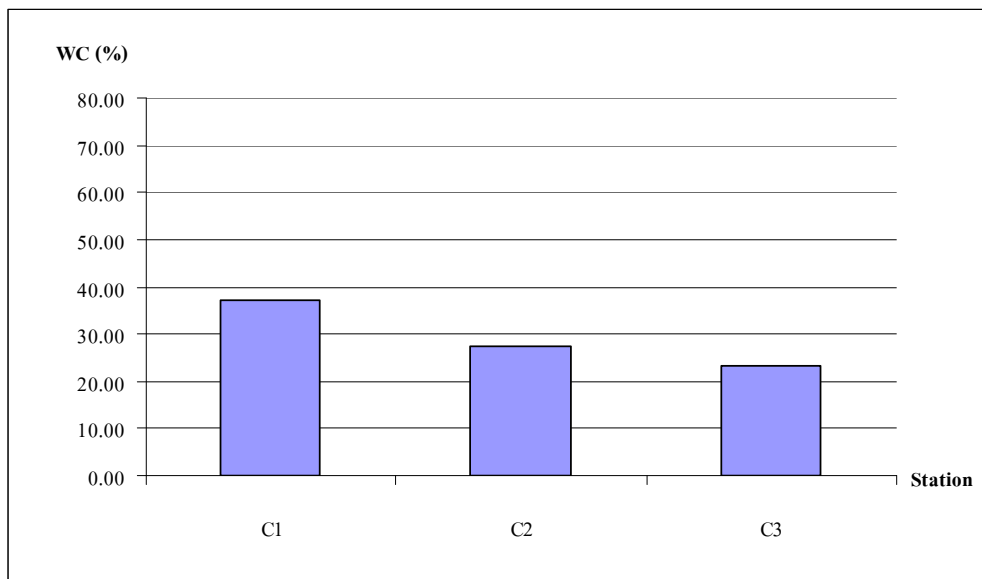


(a)

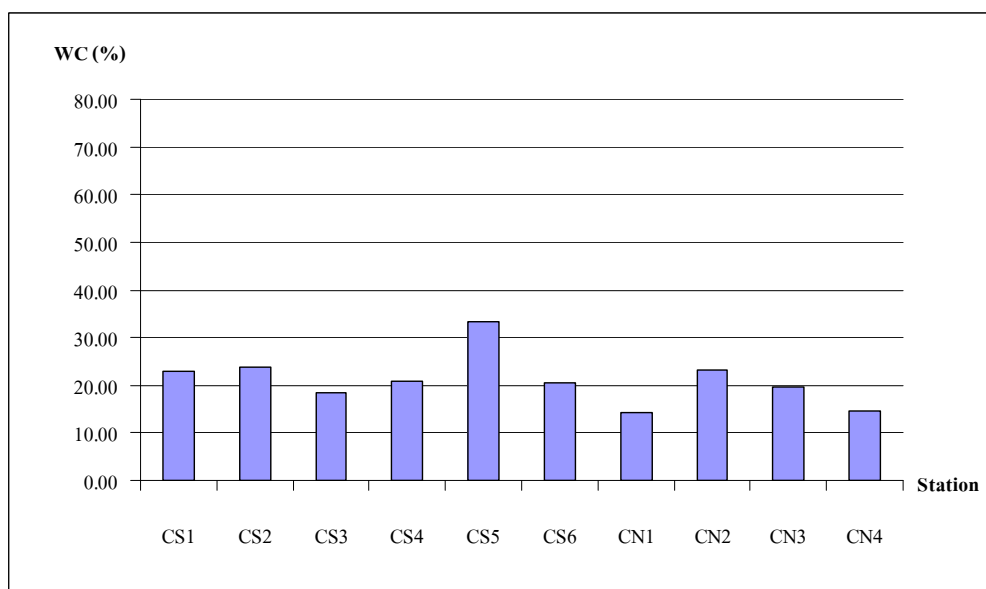


(b)

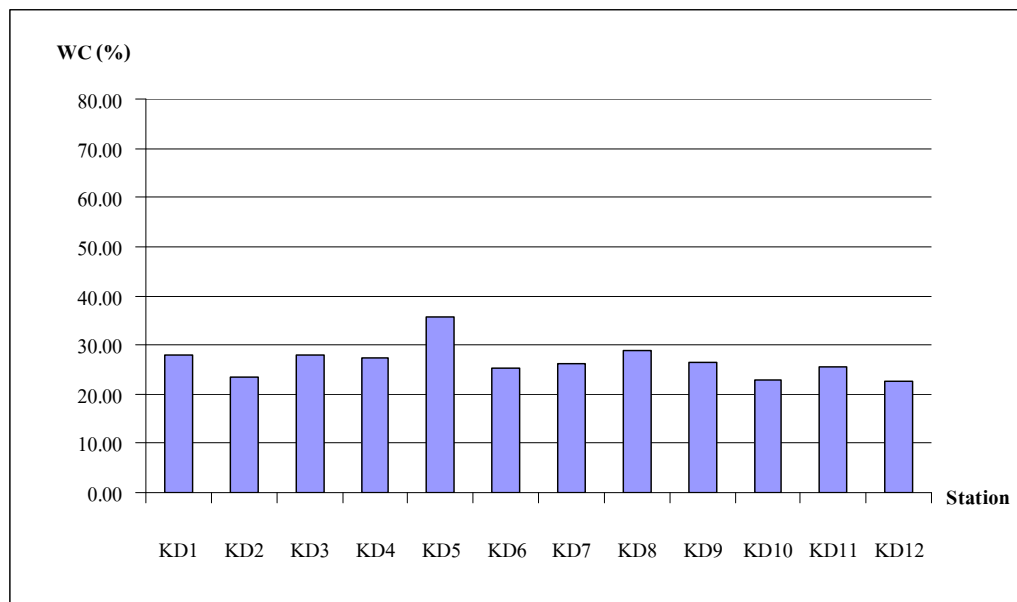
ภาพที่ 34 ปริมาณน้ำในดินตະกอน (ร้อยละ) ที่ระดับความลึก 0-1 เซนติเมตร (a) และ 0-5 เซนติเมตร (b) ในแนวหญ้าทะเลบวีเวนอ่าวคุ้งกระเบน จังหวัดจันทบุรี



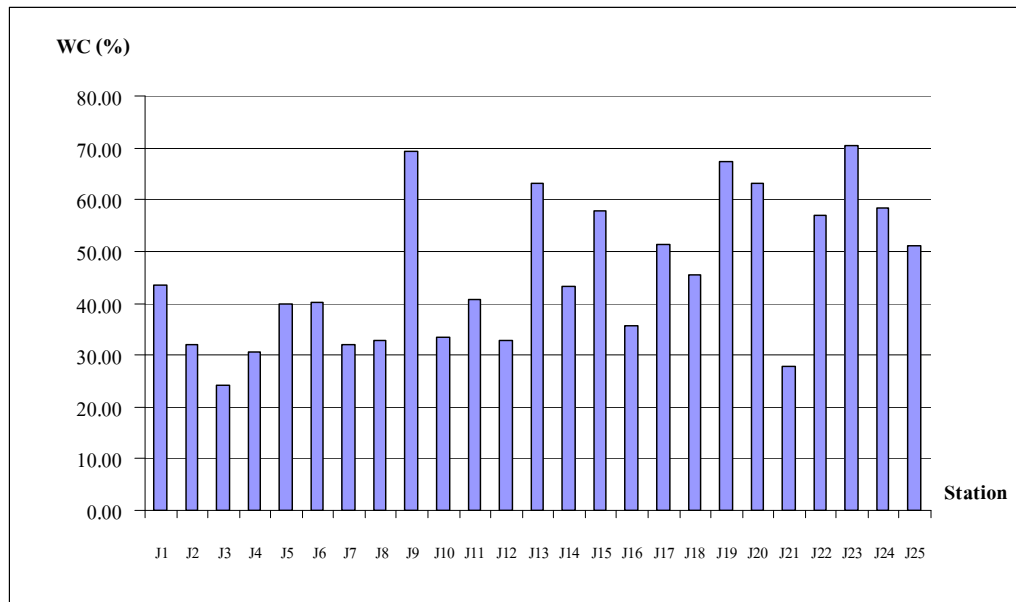
ภาพที่ 35 ปริมาณน้ำในดินตะกอน (ร้อยละ) ที่ระดับความลึก 0-1 เซนติเมตร ในแนวัญญาทะเล
บริเวณหมู่เกาะช้าง จังหวัดตราด



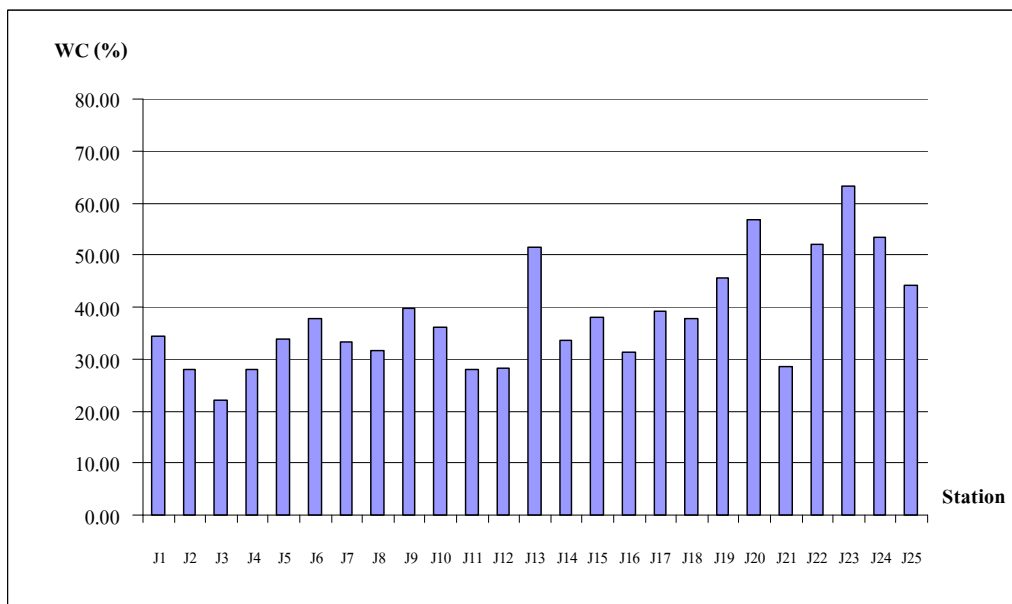
ภาพที่ 36 ปริมาณน้ำในดินตะกอน (ร้อยละ) ที่ระดับความลึก 0-1 เซนติเมตร บริเวณเกาะช้าง
จังหวัดพัทุมธานี



ภาพที่ 37 ปริมาณน้ำในดินตะกอน (ร้อยละ) ที่ระดับความลึก 0-1 เมตรติเมตร บริเวณหาดคลองดาว
เกาะลันตา! หมู่ จังหวัดกระบี่

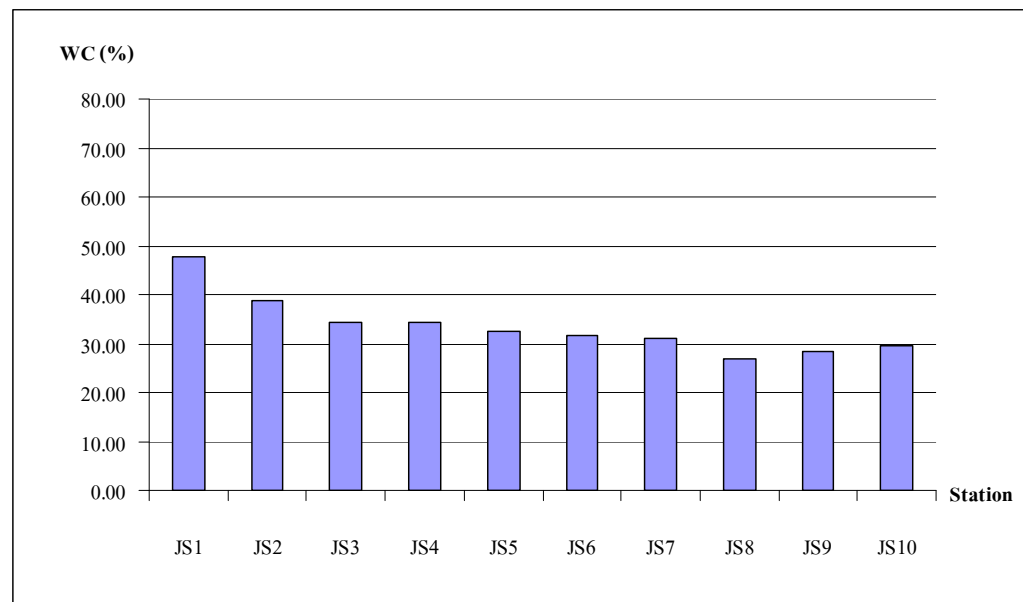


(a)

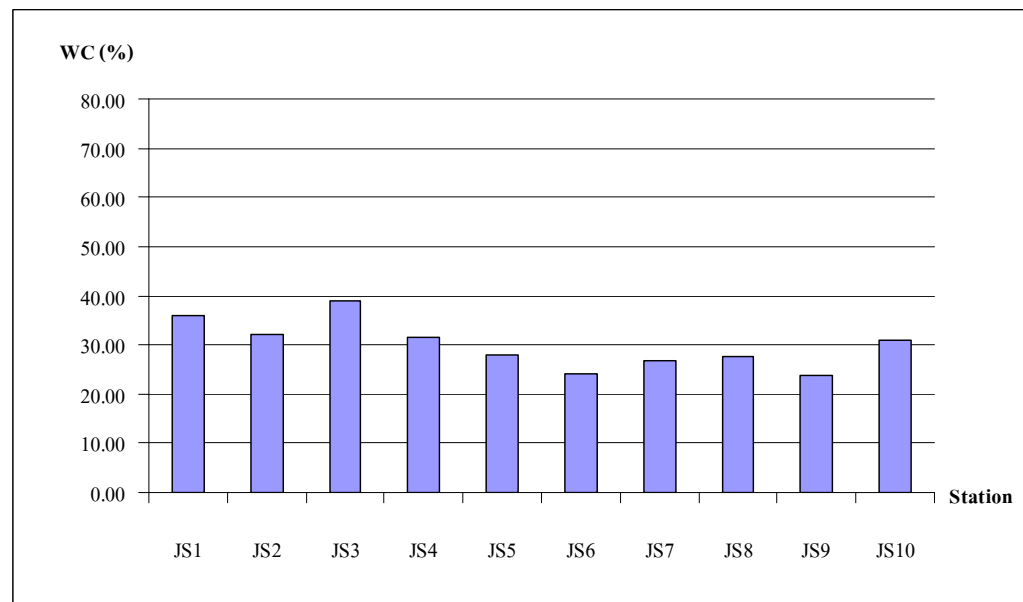


(b)

ภาพที่ 38 ปริมาณน้ำในดินตะกอน (ร้อยละ) ที่ระดับความลึก 0-1 เมตร (a) และ 0-5 เมตร (b) บริเวณหาดเจี้ยห์ ภาคลันตาใหญ่ จังหวัดกระบี่



(a)



(b)

ภาพที่ 39 ปริมาณน้ำในดินตะกอน (ร้อยละ) ที่ระดับความลึก 0-1 เซนติเมตร (a) และ 0-5 เซนติเมตร (b) ในแนวหillyทางเลบวีเวนหาดเจี้ยหดี เกาะลันตาใหญ่ จังหวัดกระบี่

4.3 ปริมาณสารอินทรีย์รวมในดินตะกอน

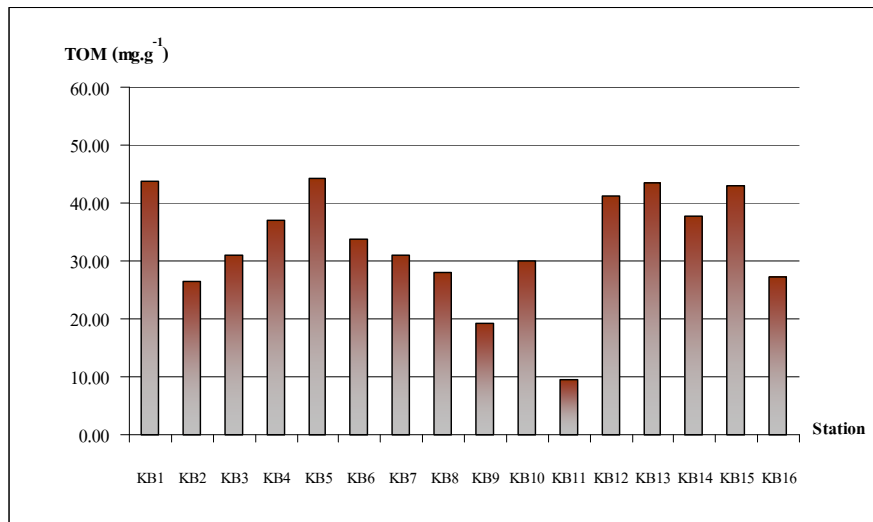
พื้นที่ที่ 1 อ่าวคุ้งกระเบน จังหวัดจันทบุรี จากการศึกษาปริมาณสารอินทรีย์รวมในดินตะกอนที่ระดับความลึก 0-1 เซนติเมตร จำนวน 16 สถานี พบร่วมมิค่าอยู่ระหว่าง 9.57-44.15 มิลลิกรัมต่อกิโลกรัมน้ำหนักดินแห้ง (ภาพที่ 40) ส่วนบริเวณแนวหงส์ทะเลชนิด *Enhalus acoroides* จากสถานีเก็บตัวอย่าง 4 สถานี มีปริมาณสารอินทรีย์รวมในดินตะกอนที่ระดับความลึก 0-1 และ 0-5 เซนติเมตร อยู่ระหว่าง 22.86-39.46 และ 19.70-27.64 มิลลิกรัมต่อกิโลกรัมน้ำหนักดินแห้ง ตามลำดับ ขณะที่บริเวณแนวหงส์ทะเลชนิด *Halodule pinifolia* ในการเก็บตัวอย่างจำนวน 5 สถานี พบร่วมมิปริมาณสารอินทรีย์รวมในดินตะกอนที่ระดับความลึก 0-1 เซนติเมตร อยู่ระหว่าง 12.31-51.51 มิลลิกรัมต่อกิโลกรัมน้ำหนักดินแห้ง (ภาพที่ 41)

พื้นที่ที่ 2 บริเวณหมู่เกาะช้าง จังหวัดตราด จากการศึกษาปริมาณสารอินทรีย์รวมในดินตะกอนที่ระดับความลึก 0-1 เซนติเมตร บริเวณเกาะไม้ซีล็อก (สถานี C1 หญ้าทะเลชนิด *Cymodocea serrulata*) เกาะรัง (สถานี C2 หญ้าทะเลชนิด *Halodule pinifolia*) และเกาะคลื่น (สถานี C3 หญ้าทะเลชนิด *Halophila decipiens*) พบร่วมมิปริมาณสารอินทรีย์รวมในดินตะกอนเท่ากัน 49.82 37.51 และ 46.26 มิลลิกรัมต่อกิโลกรัมน้ำหนักดินแห้ง ตามลำดับ (ภาพที่ 42)

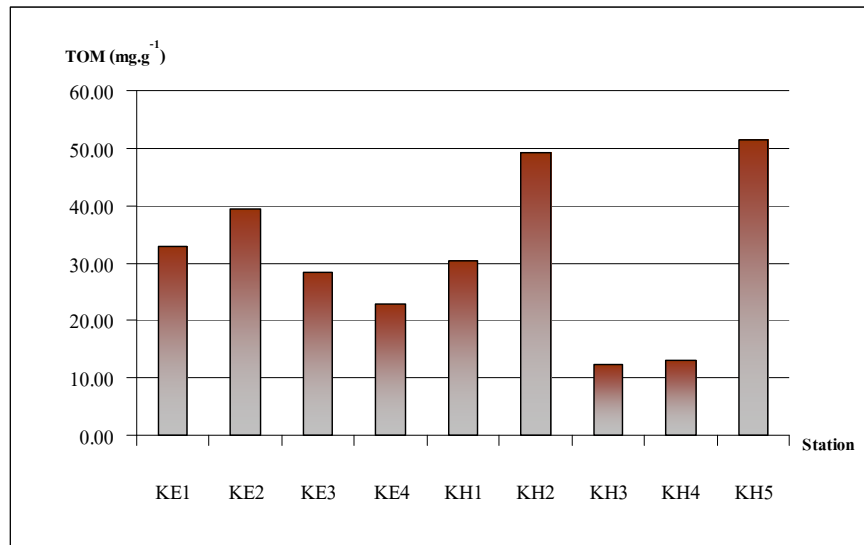
พื้นที่ที่ 3 เกาะจง จังหวัดพังงา จากการศึกษาปริมาณสารอินทรีย์รวมในดินตะกอนที่ระดับความลึก 0-1 เซนติเมตร จำนวน 10 สถานี มีค่าอยู่ระหว่าง 12.48-34.41 มิลลิกรัมต่อกิโลกรัมน้ำหนักดินแห้ง ในจำนวนนี้ บริเวณแนวหงส์ทะเลชนิด *Halophila ovalis* ที่ได้จากการเก็บตัวอย่างจำนวน 6 สถานี (สถานี CS1-CS6) พบร่วมมิปริมาณสารอินทรีย์รวมในดินตะกอนที่ระดับความลึก 0-1 เซนติเมตร มีค่าอยู่ระหว่าง 15.49-29.58 มิลลิกรัมต่อกิโลกรัมน้ำหนักดินแห้ง (ภาพที่ 43)

พื้นที่ที่ 4 บริเวณเกาะลันตาใหญ่ จังหวัดกระบี่ จากการศึกษาปริมาณสารอินทรีย์รวมในดินตะกอนที่ระดับความลึก 0-1 เซนติเมตร บริเวณหาดคลองดาว จำนวน 12 สถานี มีค่าอยู่ระหว่าง 20.18-50.55 มิลลิกรัมต่อกิโลกรัมน้ำหนักดินแห้ง (ภาพที่ 44) ส่วนบริเวณหาดเจี้ยหด พบร่วมมิปริมาณสารอินทรีย์รวมในดินตะกอนที่ระดับความลึก 0-1 เซนติเมตร และ 0-5 เซนติเมตร จากสถานีเก็บตัวอย่างจำนวน 25 สถานี มีค่าอยู่ระหว่าง 17.44-95.24 และ 17.17-88.17 มิลลิกรัมต่อกิโลกรัมน้ำหนักดินแห้ง ตามลำดับ (ภาพที่ 45) ขณะที่บริเวณแนวหงส์ทะเลชนิด *Enhalus acoroides* จากการเก็บตัวอย่างจำนวน 10 สถานี พบร่วมมิปริมาณสารอินทรีย์รวมในดินตะกอนที่ระดับความลึก 0-1

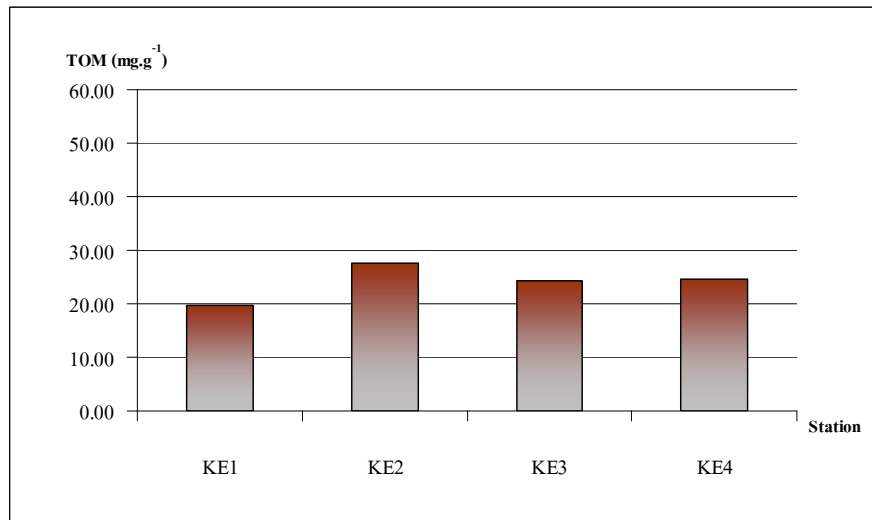
และ 0-5 เซนติเมตร มีค่าอยู่ระหว่าง 15.59-42.73 และ 16.77-29.05 มิลลิกรัมต่อกิโลกรัมหน้าดินแห้ง ตามลำดับ (ภาพที่ 46)



ภาพที่ 40 ปริมาณสารอินทรีย์รวมในดินตะกอน (มิลลิกรัมต่อกิโลกรัมหน้าดินแห้ง) ที่ระดับความลึก 0-1 เซนติเมตร บริเวณอ่าวคุ้งกระเบน จังหวัดจันทบุรี

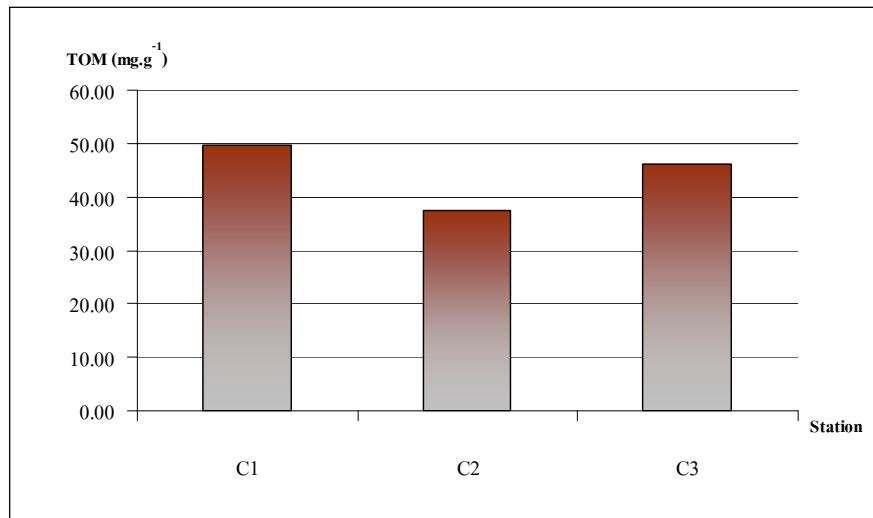


(a)

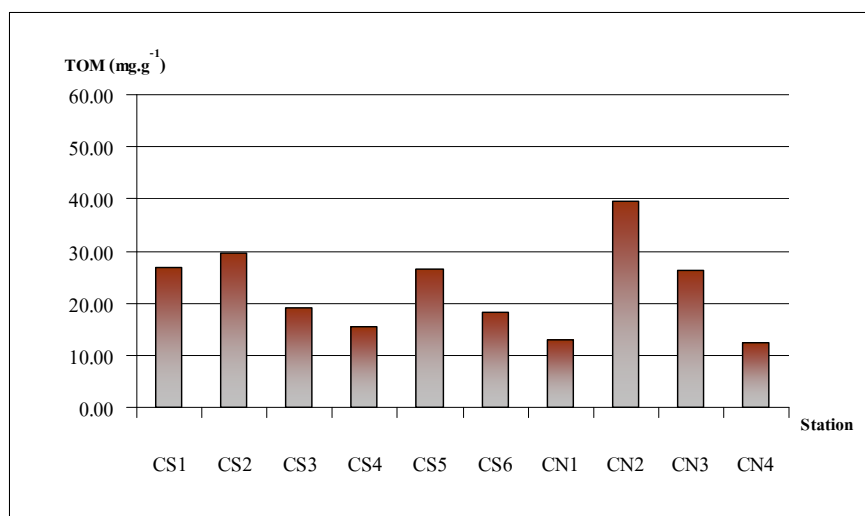


(b)

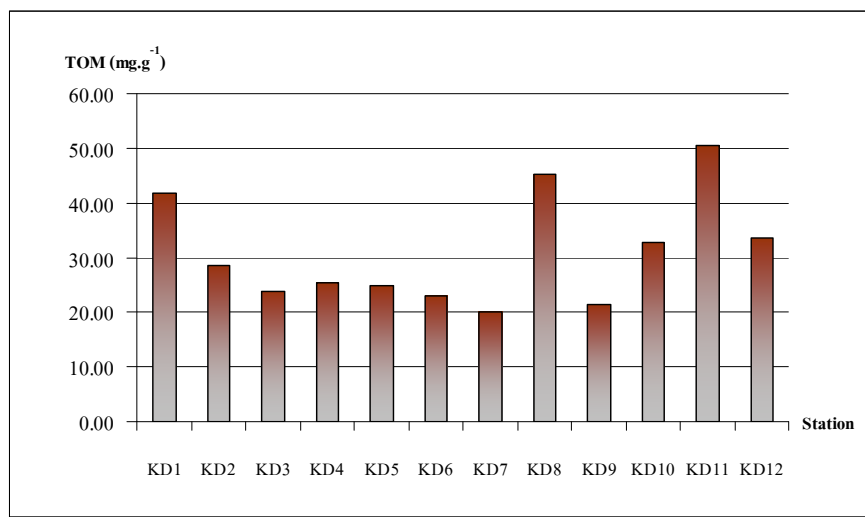
ภาพที่ 41 ปริมาณสารอินทรีย์รวมในดินตะกอน (มิลลิกรัมต่อกิโลกรัมน้ำหนักดินแห้ง) ที่ระดับความลึก 0-1 เซนติเมตร (a) และ 0-5 เซนติเมตร (b) ในแนวหญ้าทะเลขริเวณอ่าวคุ้งกระเบน จังหวัดจันทบุรี



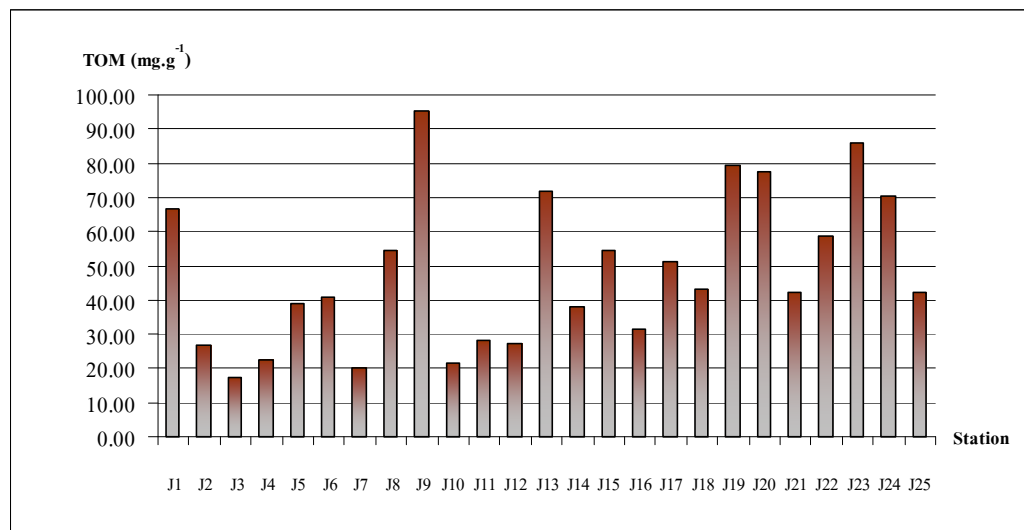
ภาพที่ 42 ปริมาณสารอินทรีย์รวมในดินตะกอน (มิลลิกรัมต่อกิโลกรัมหนักดินแห้ง) ที่ระดับความลึก 0-1 เซนติเมตร ในแนวหลักทางบริเวณหมู่เกาะช้าง จังหวัดตราด



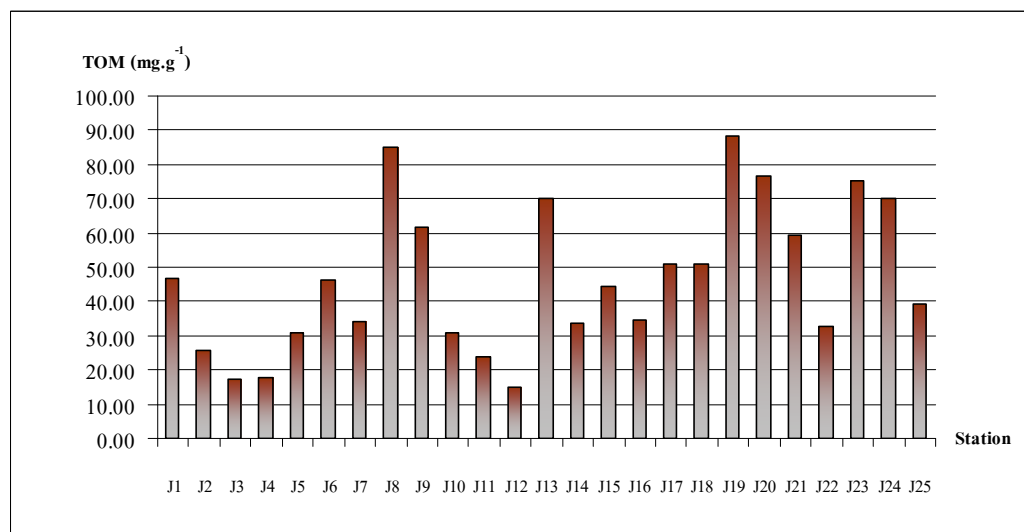
ภาพที่ 43 ปริมาณสารอินทรีย์รวมในดินตะกอน (มิลลิกรัมต่อกิโลกรัมหนักดินแห้ง) ที่ระดับความลึก 0-1 เซนติเมตร บริเวณเกาะจง จังหวัดพังงา



ภาพที่ 44 ปริมาณสารอินทรีย์รวมในคินตะกอน (มิลลิกรัมต่อกิรัมน้ำหนักดินแห้ง) ที่ระดับความลึก 0-1 เซนติเมตร บริเวณหาดคลองดาว เกาะลันตาใหญ่ จังหวัดกระบี่

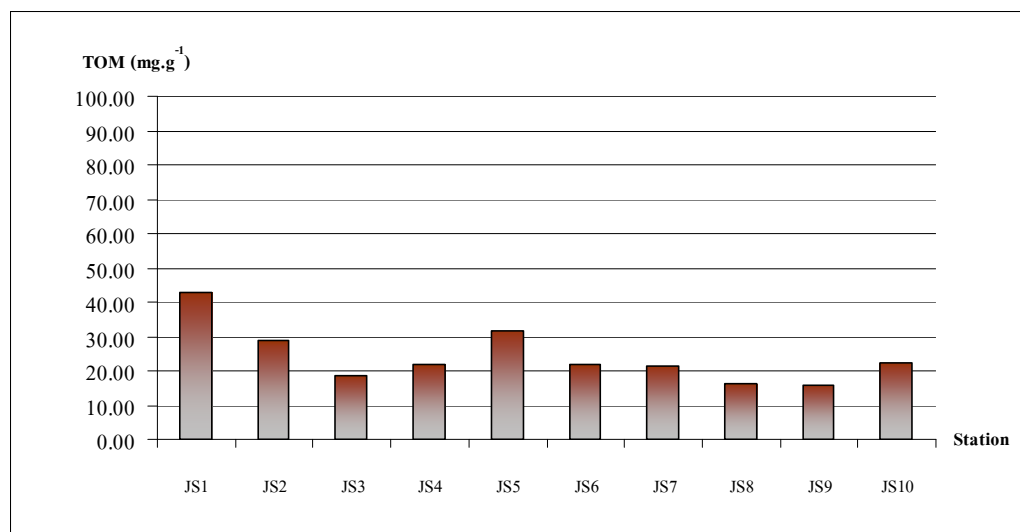


(a)

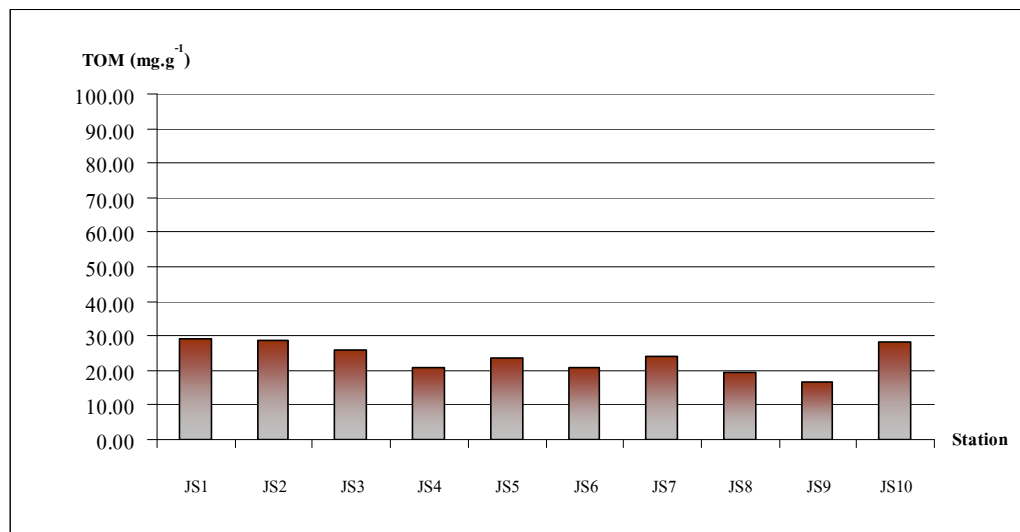


(b)

ภาพที่ 45 สารอินทรีย์รวมในดินตะกอน (มิลลิกรัมต่อกิโลกรัม) ที่ระดับความลึก 0-1 เซนติเมตร (a) และ 0-5 เซนติเมตร (b) บริเวณหาดเจี้ยหลี เกาะลันตาใหญ่ จังหวัดกระบี่



(a)



(b)

ภาพที่ 46 สารอินทรีย์รวมในดินตะกอน (มิลลิกรัมต่อกิโลกรัม) ที่ระดับความลึก 0-1 เซนติเมตร (a) และ 0-5 เซนติเมตร (b) ในแนวทิวทัศน์เดบริเวณหาดเจี้ยห์ เกาะลันตาใหญ่ จังหวัดกระบี่

4.4 ความเป็นกรดเป็นด่างของดินตะกอน

ค่าความเป็นกรดเป็นด่างของดินตะกอนระดับความลึก 0-1 เซนติเมตร ในภาพรวมของพื้นที่ พบว่า บริเวณอ่าวคุ้งกระเบน จังหวัดจันทบุรี มีค่าความเป็นกรดเป็นด่างของดินตะกอนอยู่ระหว่าง 8.02-8.83 บริเวณเกาะจง จังหวัดพังงา มีค่าความเป็นกรดเป็นด่างของดินตะกอนอยู่ระหว่าง 7.55-8.24 และสำหรับพื้นที่ที่ 4 บริเวณเกาะลันตาใหญ่ จังหวัดกระบี่ หาดคลองดาว มีค่าความเป็นกรดเป็นด่างของดินตะกอนอยู่ระหว่าง 6.57-8.46 ส่วนบริเวณหาดเจ้าหลี มีค่าความเป็นกรดเป็นด่างของดินตะกอนอยู่ระหว่าง 7.43-8.59

ส่วนบริเวณที่เป็นแนวหญ้าทะเล ค่าความเป็นกรดเป็นด่างของดินตะกอนที่ระดับความลึก 0-1 เซนติเมตร บริเวณอ่าวคุ้งกระเบน จังหวัดจันทบุรี ซึ่งเป็นบริเวณที่มีหญ้าทะเลชนิด *Enhalus acoroides* ขึ้นอยู่ มีค่าความเป็นกรดเป็นด่างของดินตะกอนอยู่ระหว่าง 8.37-8.83 ส่วนบริเวณที่มีหญ้าทะเลชนิด *Halodule pinifolia* ขึ้นอยู่ มีค่าความเป็นกรดเป็นด่างของดินตะกอนอยู่ระหว่าง 8.02-8.26 สำหรับบริเวณเกาะจง จังหวัดพังงานั้น บริเวณผืนหญ้าทะเลชนิด *Halophila ovalis* มีค่าความเป็นกรดเป็นด่างของดินตะกอนอยู่ระหว่าง 7.55-7.99 ส่วนบริเวณที่ไม่มีหญ้าทะเลขึ้นอยู่ มีค่าความเป็นกรดเป็นด่างของดินตะกอนอยู่ระหว่าง 8.00-8.34 สำหรับบริเวณเกาะลันตาใหญ่ จังหวัดกระบี่ หาดคลองดาว บริเวณผืนหญ้าทะเลชนิด *Halophila decipiens* มีค่าความเป็นกรดเป็นด่างของดินตะกอนอยู่ระหว่าง 7.67-8.46 ส่วนบริเวณที่ไม่มีหญ้าทะเลขึ้นอยู่ มีค่าความเป็นกรดเป็นด่างของดินตะกอนอยู่ระหว่าง 6.57-7.93 ขณะที่บริเวณหาดเจ้าหลีในดินตะกอนซึ่งมีหญ้าทะเลชนิด *Enhalus acoroides* ขึ้นอยู่ มีค่าความเป็นกรดเป็นด่างของดินตะกอนอยู่ระหว่าง 7.35-7.92

4.5 ขนาดอนุภาคดินตะกอน

การวิเคราะห์ขนาดอนุภาคดินตะกอนที่ระดับความลึก 0-5 เซนติเมตร บริเวณแหล่งหญ้าทะเลในแต่ละพื้นที่ศึกษา และในผืนหญ้าทะเลแต่ละชนิด (ภาพที่ 47 และ 48 ตามลำดับ) สามารถอธิบายได้ดังนี้

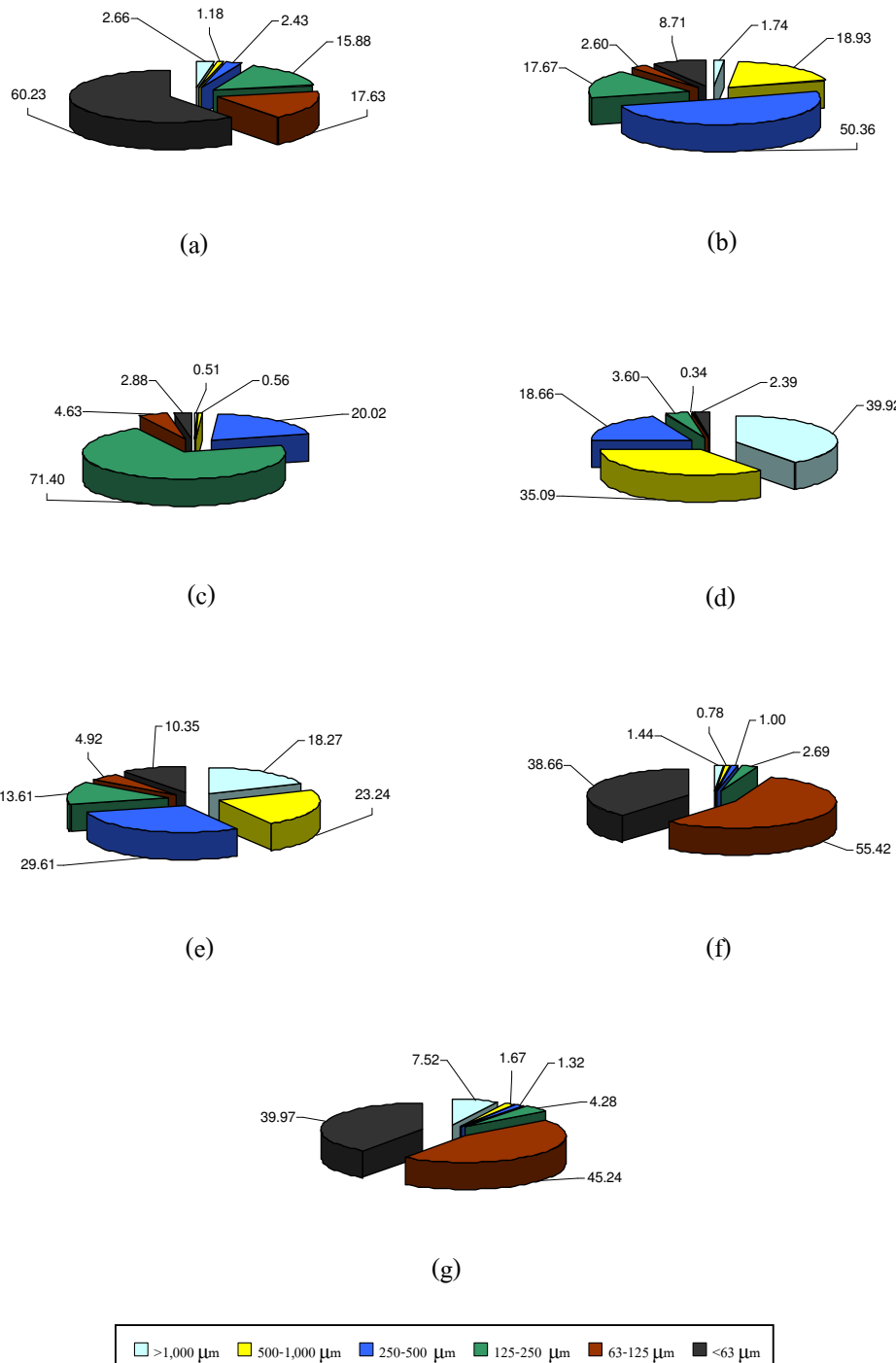
พื้นที่ที่ 1 อ่าวคุ้งกระเบน จังหวัดจันทบุรี จากการศึกษานาดอนุภาคดินตะกอนที่ระดับความลึก 0-5 เซนติเมตร จำนวน 16 สถานี พบว่า ดินตะกอนมีองค์ประกอบของอนุภาคดินตะกอนที่มีขนาดใหญ่กว่า 1,000 ไมโครเมตร ระหว่าง 500-1,000 250-500 125-250 63-125

ไม้โกรเมตร และเล็กกว่า 63 ไม้โกรเมตร มีค่าเฉลี่ยเท่ากับร้อยละ 2.66 1.18 2.43 15.88 17.63 และ 60.23 ตามลำดับ ส่วนบริเวณแนวหญ้าทะเลชนิด *Enhalus acoroides* มีสถานีเก็บตัวอย่างจำนวน 4 สถานี พบว่า อนุภาคคินตะกอนที่มีขนาดใหญ่กว่า 1,000 ไม้โกรเมตร ระหว่าง 500-1,000 250-500 125-250 63-125 ไม้โกรเมตร และเล็กกว่า 63 ไม้โกรเมตร ของคินตะกอนที่ระดับความลึก 0-5 เซนติเมตร มีค่าเฉลี่ยเท่ากับร้อยละ 2.71 1.00 2.47 26.46 21.53 และ 45.83 ตามลำดับ ขณะที่ บริเวณแนวหญ้าทะเลชนิด *Halodule pinifolia* มีสถานีเก็บตัวอย่างจำนวน 5 สถานี พบว่า อนุภาคคินตะกอนที่มีขนาดใหญ่กว่า 1,000 ไม้โกรเมตร ระหว่าง 500-1,000 250-500 125-250 63-125 ไม้โกรเมตร และเล็กกว่า 63 ไม้โกรเมตร มีค่าเฉลี่ยเท่ากับร้อยละ 4.45 1.84 2.97 3.78 29.48 และ 57.48 ตามลำดับ

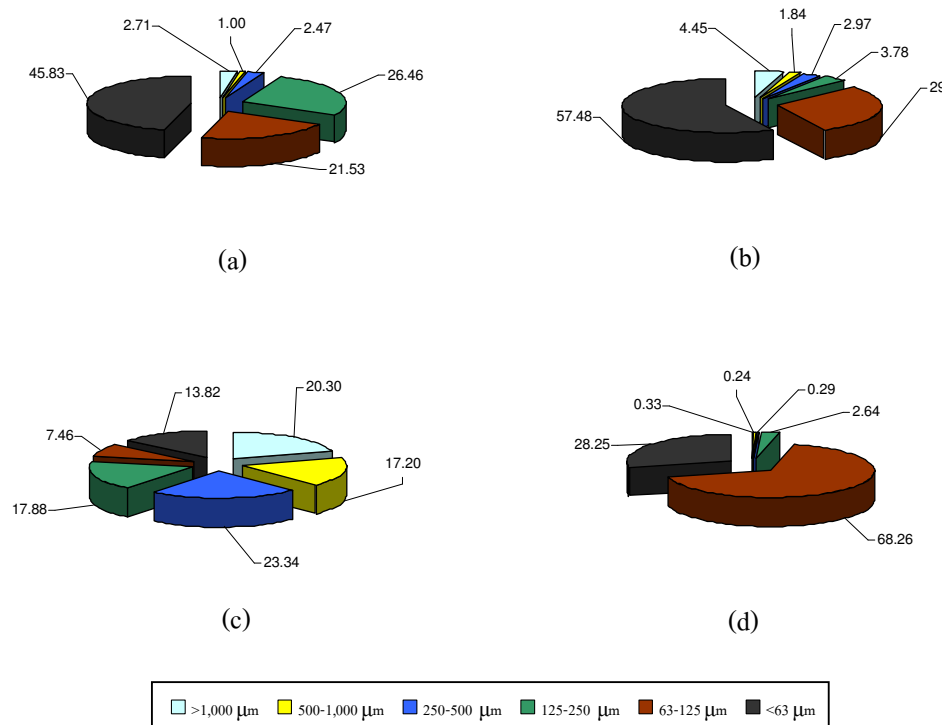
พื้นที่ที่ 2 บริเวณหมู่เกาะช้าง จังหวัดตราด จากการศึกษานาดอนุภาคคินตะกอนที่ ระดับความลึก 0-5 เซนติเมตร จำนวน 3 บริเวณ กือ เกาะไม้ชี้เล็ก (สถานี C1 หญ้าทะเลชนิด *Cymodocea serrulata*) พบว่า อนุภาคคินตะกอนที่มีขนาดใหญ่กว่า 1,000 ไม้โกรเมตร ระหว่าง 500-1,000 250-500 125-250 63-125 ไม้โกรเมตร และเล็กกว่า 63 ไม้โกรเมตร มีค่าเท่ากับร้อยละ 1.74 18.93 50.36 17.67 2.60 และ 8.71 ตามลำดับ บริเวณเกาะรัง (สถานี C2 หญ้าทะเลชนิด *Halodule pinifolia*) พบว่า อนุภาคคินตะกอนที่มีขนาดใหญ่กว่า 1,000 ไม้โกรเมตร ระหว่าง 500-1,000 250-500 125-250 63-125 ไม้โกรเมตร และเล็กกว่า 63 ไม้โกรเมตร มีค่าเท่ากับร้อยละ 0.51 0.56 20.02 71.40 4.63 และ 2.88 ตามลำดับ ส่วนเกาะคลื่น (สถานี C3 หญ้าทะเลชนิด *Halophila decipiens*) พบว่า อนุภาคคินตะกอนที่มีขนาดใหญ่กว่า 1,000 ไม้โกรเมตร ระหว่าง 500-1,000 250-500 125-250 63-125 ไม้โกรเมตร และเล็กกว่า 63 ไม้โกรเมตร มีค่าเท่ากับร้อยละ 39.92 35.09 18.66 3.60 0.34 และ 2.39 ตามลำดับ

พื้นที่ที่ 3 เกาะจง จังหวัดพังงา จากการศึกษานาดอนุภาคคินตะกอนที่ระดับความลึก 0-5 เซนติเมตร จำนวน 10 สถานี พบว่า อนุภาคคินตะกอนที่มีขนาดใหญ่กว่า 1,000 ไม้โกรเมตร ระหว่าง 500-1,000 250-500 125-250 63-125 ไม้โกรเมตร และเล็กกว่า 63 ไม้โกรเมตร มีค่าเฉลี่ยเท่ากับร้อยละ 18.27 23.24 29.61 13.61 4.92 และ 10.35 ตามลำดับ ในจำนวนนี้ บริเวณแนวหญ้าทะเลชนิด *Halophila ovalis* มีสถานีเก็บตัวอย่างจำนวน 6 สถานี (สถานี CS1-CS6) พบว่า อนุภาคคินตะกอนที่มีขนาดใหญ่กว่า 1,000 ไม้โกรเมตร ระหว่าง 500-1,000 250-500 125-250 63-125 ไม้โกรเมตร และเล็กกว่า 63 ไม้โกรเมตร มีค่าเฉลี่ยเท่ากับร้อยละ 20.30 17.20 23.34 17.88 7.46 และ 13.82 ตามลำดับ

พื้นที่ที่ 4 บริเวณเกาะลันตาใหญ่ จังหวัดกระบี่ จากการศึกษาขนาดอนุภาคคินตะกอนที่ระดับความลึก 0-5 เซนติเมตร บริเวณหาดคลองดาว จำนวน 12 สถานี พบว่า อนุภาคคินตะกอนที่มีขนาดใหญ่กว่า 1,000 ไมโครเมตร ระหว่าง 500-1,000 250-500 125-250 63-125 ไมโครเมตร และเล็กกว่า 63 ไมโครเมตร มีค่าเฉลี่ยเท่ากับร้อยละ 1.44 0.78 1.00 2.69 55.42 และ 38.66 ตามลำดับ ส่วนบริเวณหาดเจี้ยหดี สถานีเก็บตัวอย่างจำนวน 25 สถานี พบว่า อนุภาคคินตะกอนที่มีขนาดใหญ่กว่า 1,000 ไมโครเมตร ระหว่าง 500-1,000 250-500 125-250 63-125 ไมโครเมตร และเล็กกว่า 63 ไมโครเมตร มีค่าเฉลี่ยเท่ากับร้อยละ 7.52 1.67 1.32 4.28 45.24 และ 39.97 ตามลำดับ ขณะที่บริเวณแนวหญ้าทะเลชนิด *Enhalus acoroides* มีสถานีเก็บตัวอย่าง 10 สถานี พบว่า อนุภาคคินตะกอนที่มีขนาดใหญ่กว่า 1,000 ไมโครเมตร ระหว่าง 500-1,000 250-500 125-250 63-125 ไมโครเมตร และเล็กกว่า 63 ไมโครเมตร มีค่าเฉลี่ยเท่ากับร้อยละ 0.33 0.24 0.29 2.64 68.26 และ 28.25 ตามลำดับ



ภาพที่ 47 องค์ประกอบของอนุภาคคินตะกอน (ร้อยละ) ในบริเวณอ่าวคุ้งกระเบน (a) เกาะไม้ซี่เลือก (b) เกาะรัง (c) เกาะคลุ่ม (d) เกาะจง (e) หาดคลองดาว (f) และหาดเจี๊ยะหลี (g)



ภาพที่ 48 องค์ประกอบของอนุภาคคินตะกอน (รื้อขลุก) บนผืนหญ้าทะเลบริเวณอ่าวทุ่งกระเบน หญ้าทะเลชนิด *Enhalus acoroides* (a) *Halodule pinifolia* (b) เกาะจง หญ้าทะเลชนิด *Halophila ovalis* (c) และหาดเจี๊ยะหลังหญ้าทะเลชนิด *E. acoroides* (d)

5. การวิเคราะห์ระดับความเหมาะสมของคุณภาพน้ำทะเลและดินตะกอนต่อความอุดมสมบูรณ์ของหญ้าทะเล

5.1 คุณภาพน้ำ

การวิเคราะห์ช่วงและระดับความเหมาะสมของคุณภาพน้ำต่อช่วงความอุดมสมบูรณ์ของหญ้าทะเลแต่ละชนิด สามารถอธิบายได้ดังนี้

5.1.1 แอมโมเนียม-ไนโตรเจน

เมื่อพิจารณาค่าความเข้มข้นของแอมโมเนียม-ไนโตรเจนบริเวณน้ำหนึ่งอัตราดินตะกอนตามชนิดของหญ้าทะเล พบว่า หญ้าทะเลชนิด *Enhalus acoroides* *Halodule pinifolia* และ *Halophila decipiens* จะอาศัยอยู่ในน้ำทะเลที่มีความเข้มข้นของแอมโมเนียม-ไนโตรเจนบริเวณน้ำหนึ่งอัตราดินตะกอนมีค่าอยู่ระหว่าง $9.87-27.15 \mu\text{M}$ $9.87-26.32 \mu\text{M}$ และ $15.84-20.59 \mu\text{M}$ ตามลำดับ (ภาพที่ 49) ส่วนความเข้มข้นของแอมโมเนียม-ไนโตรเจนบริเวณน้ำหนึ่งอัตราดินตะกอนบริเวณที่พบหญ้าทะเลชนิด *Halophila ovalis* มีค่าระหว่าง $8.00-8.25 \mu\text{M}$ ขณะที่น้ำหนึ่งอัตราดินตะกอนในแหล่งหญ้าทะเลชนิด *Halodule uninervis* และ *Cymodocea serrulata* จะมีค่าความเข้มข้นของแอมโมเนียม-ไนโตรเจนเท่ากับ $21.25 \mu\text{M}$

5.1.2 ไนโตรท์และไนเตรท-ไนโตรเจน

ค่าความเข้มข้นของไนโตรท์และไนเตรท-ไนโตรเจนบริเวณน้ำหนึ่งอัตราดินตะกอนบริเวณแหล่งหญ้าทะเลชนิด *Enhalus acoroides* *Halodule pinifolia* และ *Halophila decipiens* พนความเข้มข้นของไนโตรท์และไนเตรท-ไนโตรเจนบริเวณน้ำหนึ่งอัตราดินตะกอนมีค่าอยู่ระหว่าง $0.14 - 16.79 \mu\text{M}$ $0.08-7.04 \mu\text{M}$ และ $0.04-0.63 \mu\text{M}$ ตามลำดับ (ภาพที่ 50) ส่วนความเข้มข้นของไนโตรท์และไนเตรท-ไนโตรเจนบริเวณน้ำหนึ่งอัตราดินตะกอนบริเวณที่พบหญ้าทะเลชนิด *Halophila ovalis* มีค่าระหว่าง $0.72-0.98 \mu\text{M}$ ขณะที่น้ำหนึ่งอัตราดินตะกอนในแหล่งหญ้าทะเลชนิด *Halodule uninervis* และ *Cymodocea serrulata* จะมีค่าความเข้มข้นของไนโตรท์และไนเตรท-ไนโตรเจนเท่ากับ $0.05 \mu\text{M}$

5.1.3 ชิลิกेट-ชิลิค่อน

เมื่อพิจารณาค่าความเข้มข้นของชิลิกेट-ชิลิค่อนบริเวณน้ำหนึ่งอีกิตินตะกอนตามชนิดของหญ้าทะเล พบว่า หญ้าทะเลชนิด *Enhalus acoroides* *Halodule pinifolia* และ *Halophila decipiens* จะอาศัยอยู่ในน้ำทะเลที่มีความเข้มข้นของชิลิกेट-ชิลิค่อนบริเวณน้ำหนึ่งอีกิตินตะกอนมีค่าอยู่ระหว่าง $1.80-83.32 \mu\text{M}$ $7.03-83.32 \mu\text{M}$ และ $7.45-9.89 \mu\text{M}$ ตามลำดับ (ภาพที่ 51) ส่วนความเข้มข้นของชิลิกेट-ชิลิค่อนบริเวณน้ำหนึ่งอีกิตินตะกอนบริเวณที่พบหญ้าทะเลชนิด *Halophila ovalis* มีค่าระหว่าง $28.90-29.31 \mu\text{M}$ ขณะที่น้ำหนึ่งอีกิตินตะกอนในแหล่งหญ้าทะเลชนิด *Halodule uninervis* และ *Cymodocea serrulata* จะมีค่าความเข้มข้นของชิลิกेट-ชิลิค่อนเท่ากับ $9.42 \mu\text{M}$

5.1.4 ออร์โธฟอสเฟต-ฟอสฟอรัส

ค่าความเข้มข้นของออร์โธฟอสเฟต-ฟอสฟอรัสบริเวณน้ำหนึ่งอีกิตินตะกอนบริเวณแหล่งหญ้าทะเลชนิด *Enhalus acoroides* *Halodule pinifolia* และ *Halophila decipiens* พบความเข้มข้นของออร์โธฟอสเฟต-ฟอสฟอรัสบริเวณน้ำหนึ่งอีกิตินตะกอนมีค่าอยู่ระหว่าง $0.10-0.61 \mu\text{M}$ $0.10-0.63 \mu\text{M}$ และ $0.42-0.61 \mu\text{M}$ ตามลำดับ (ภาพที่ 52) ส่วนบริเวณน้ำหนึ่งอีกิตินตะกอนบริเวณที่พบหญ้าทะเลชนิด *Halophila ovalis* มีค่าระหว่าง $1.75-1.94 \mu\text{M}$ ขณะที่น้ำหนึ่งอีกิตินตะกอนในแหล่งหญ้าทะเลชนิด *Halodule uninervis* และ *Cymodocea serrulata* จะมีค่าความเข้มข้นของ ออร์โธฟอสเฟต-ฟอสฟอรัสเท่ากับ $0.59 \mu\text{M}$

5.1.5 ความเค็ม

เมื่อพิจารณาถึงค่าความเค็มของน้ำกับชนิดหญ้าทะเล พบว่า หญ้าทะเลชนิด *Enhalus acoroides* *Halodule pinifolia* และ *Halophila decipiens* จะอาศัยอยู่ในน้ำทะเลที่มีค่าความเค็มอยู่ระหว่าง $14.86-33.94 \text{ psu}$ $14.86-31.75 \text{ psu}$ และ $29.90-32.89 \text{ psu}$ ตามลำดับ (ภาพที่ 53) ส่วนบริเวณที่พบหญ้าทะเลชนิด *Halophila ovalis* มีค่าระหว่าง $29.67-30.30 \text{ psu}$ ขณะที่แหล่งหญ้าทะเลชนิด *Halodule uninervis* และ *Cymodocea serrulata* จะมีค่าความเค็มของน้ำเท่ากับ 30.25 psu

5.1.6 อุณหภูมิ

บริเวณที่หญ้าทะเลนิด *Enhalus acoroides* *Halodule pinifolia* และ *Halophila decipiens* อาศัยอยู่จะเป็นบริเวณที่มีอุณหภูมน้ำต่ำอยู่ระหว่าง 29.0-34.4 องศาเซลเซียส และ 29.8-31.8 องศาเซลเซียส ตามลำดับ (ภาพที่ 54) ส่วนอุณหภูมน้ำบริเวณที่พับหญ้าทะเลนิด *Halophila ovalis* มีค่าระหว่าง 29.7-30.6 องศาเซลเซียส ขณะที่แหล่งหญ้าทะเลนิด *Halodule uninervis* และ *Cymodocea serrulata* จะมีอุณหภูมน้ำเท่ากับ 29.1 องศาเซลเซียส

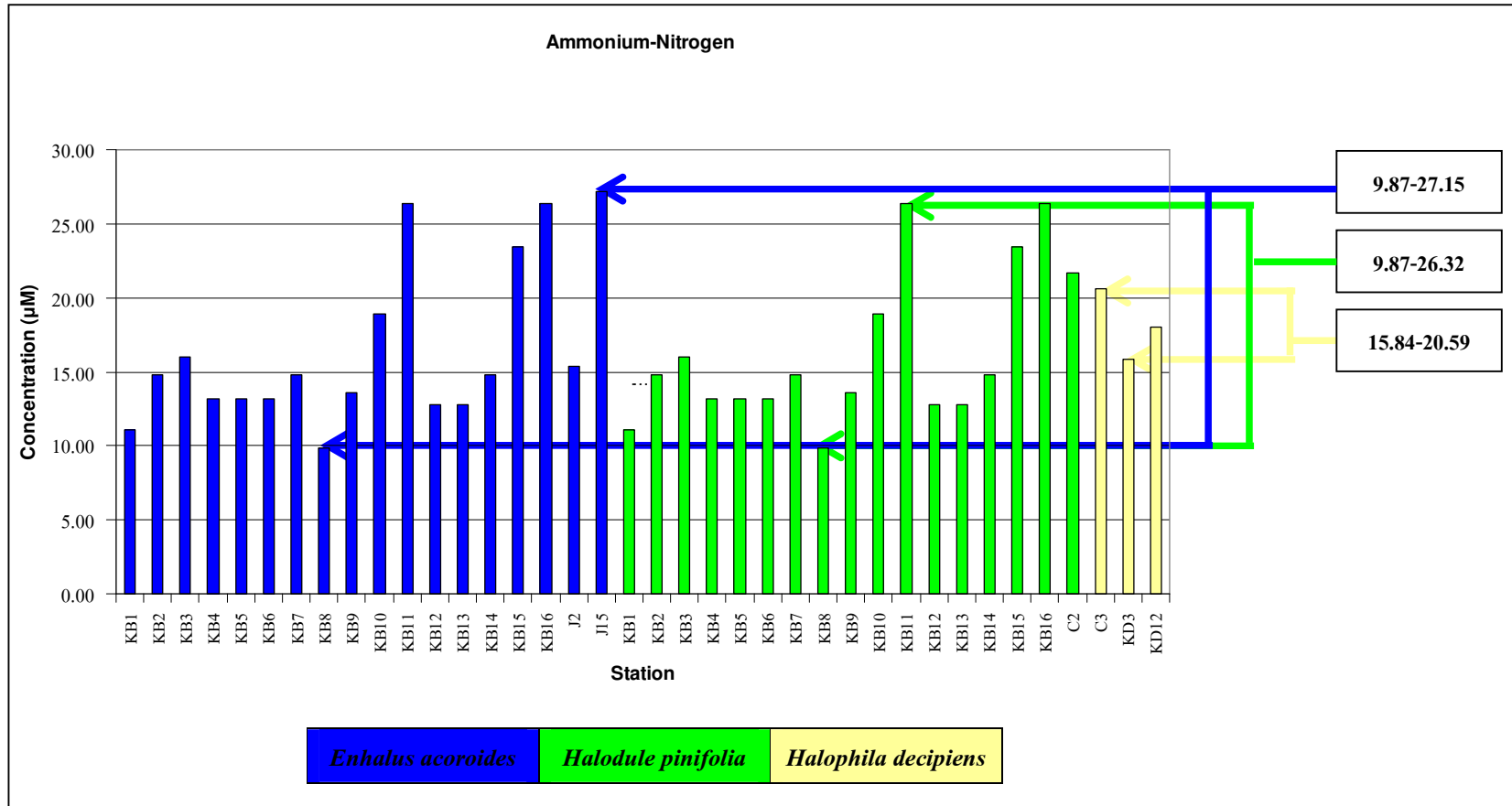
5.1.7 ออกรชิเจนละลายน้ำ

เมื่อพิจารณาถึงปริมาณออกรชิเจนละลายในน้ำกับชนิดหญ้าทะเล พบว่า บริเวณที่หญ้าทะเลนิด *Enhalus acoroides* *Halodule pinifolia* และ *Halophila decipiens* อาศัยอยู่จะมีปริมาณออกรชิเจนละลายในน้ำมีค่าอยู่ระหว่าง 7.33-11.33 มิลลิกรัมต่อลิตร 6.65-11.33 มิลลิกรัมต่อลิตร และ 5.14-6.65 มิลลิกรัมต่อลิตร ตามลำดับ ส่วนปริมาณออกรชิเจนละลายในน้ำบริเวณที่พับหญ้าทะเลนิด *Halophila ovalis* มีค่าระหว่าง 6.10-7.96 มิลลิกรัมต่อลิตร ขณะที่บริเวณแหล่งหญ้าทะเลนิด *Halodule uninervis* และ *Cymodocea serrulata* จะมีปริมาณออกรชิเจนละลายในน้ำเท่ากับ 6.7 มิลลิกรัมต่อลิตร

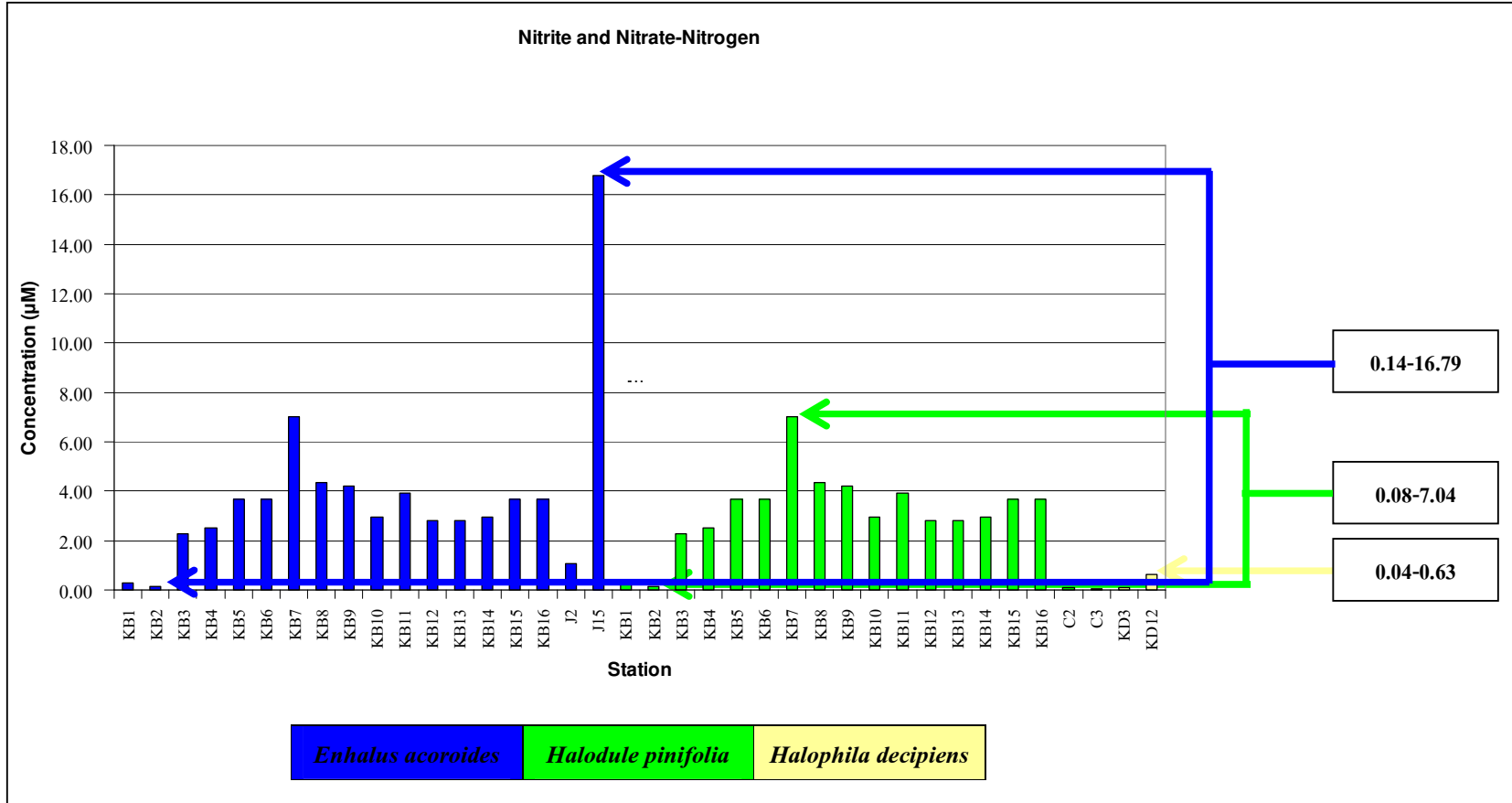
5.1.8 ความเป็นกรดเป็นด่าง

บริเวณที่หญ้าทะเลนิด *Enhalus acoroides* *Halodule pinifolia* และ *Halophila decipiens* อาศัยอยู่จะมีค่าความเป็นกรดเป็นด่างในน้ำอยู่ระหว่าง 7.87-8.64 8.09-8.64 และ 8.11-8.44 ตามลำดับ ส่วนค่าความเป็นกรดเป็นด่างในน้ำบริเวณที่พับหญ้าทะเลนิด *Halophila ovalis* มีค่าระหว่าง 7.56-8.16 ขณะที่บริเวณแหล่งหญ้าทะเลนิด *Halodule uninervis* และ *Cymodocea serrulata* จะมีค่าความเป็นกรดเป็นด่างในน้ำเท่ากับ 8.12

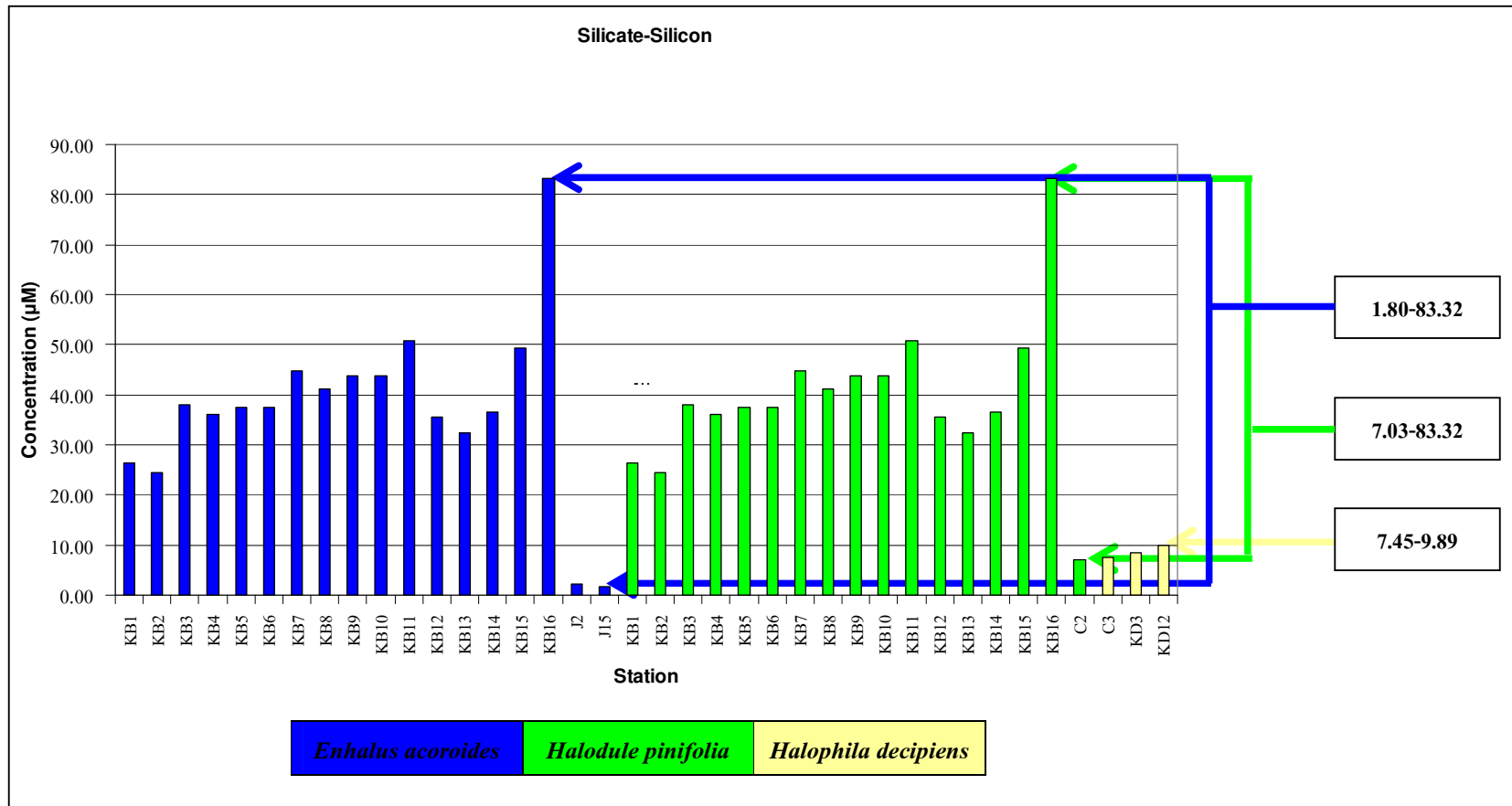
จากการศึกษาช่วงและระดับของคุณภาพน้ำที่ก่อตัวมาข้างต้น พบร่วมกันในสันน้ำที่
หญ้าทะเลเตะละชนิดมีช่วงของความอุดมสมบูรณ์โดยมวลชีวภาพของหญ้าทะเลเมื่อค่าดังนี้ คือ มวล
ชีวภาพส่วนหนึ่งอุดินของหญ้าทะเลชนิด *Enhalus acoroides* มีค่าอยู่ระหว่าง 28.01-86.47 กรัม
น้ำหนักแห้งต่อตารางเมตร มวลชีวภาพส่วนเนื้อคินและส่วนใต้ดินของหญ้าทะเลชนิด *Halodule*
pinifolia *Halophila ovalis* และ *Halophila decipiens* มีค่าอยู่ระหว่าง 3.34-81.61 27.69-40.15 และ
0.15-4.84 กรัมน้ำหนักแห้งต่อตารางเมตร ตามลำดับ ส่วนหญ้าทะเลชนิด *Halodule uninervis* และ
Cymodocea serrulata มีมวลชีวภาพส่วนเนื้อคินและส่วนใต้ดินเท่ากับ 1.56 และ 222.84 กรัม
น้ำหนักแห้งต่อตารางเมตร ตามลำดับ



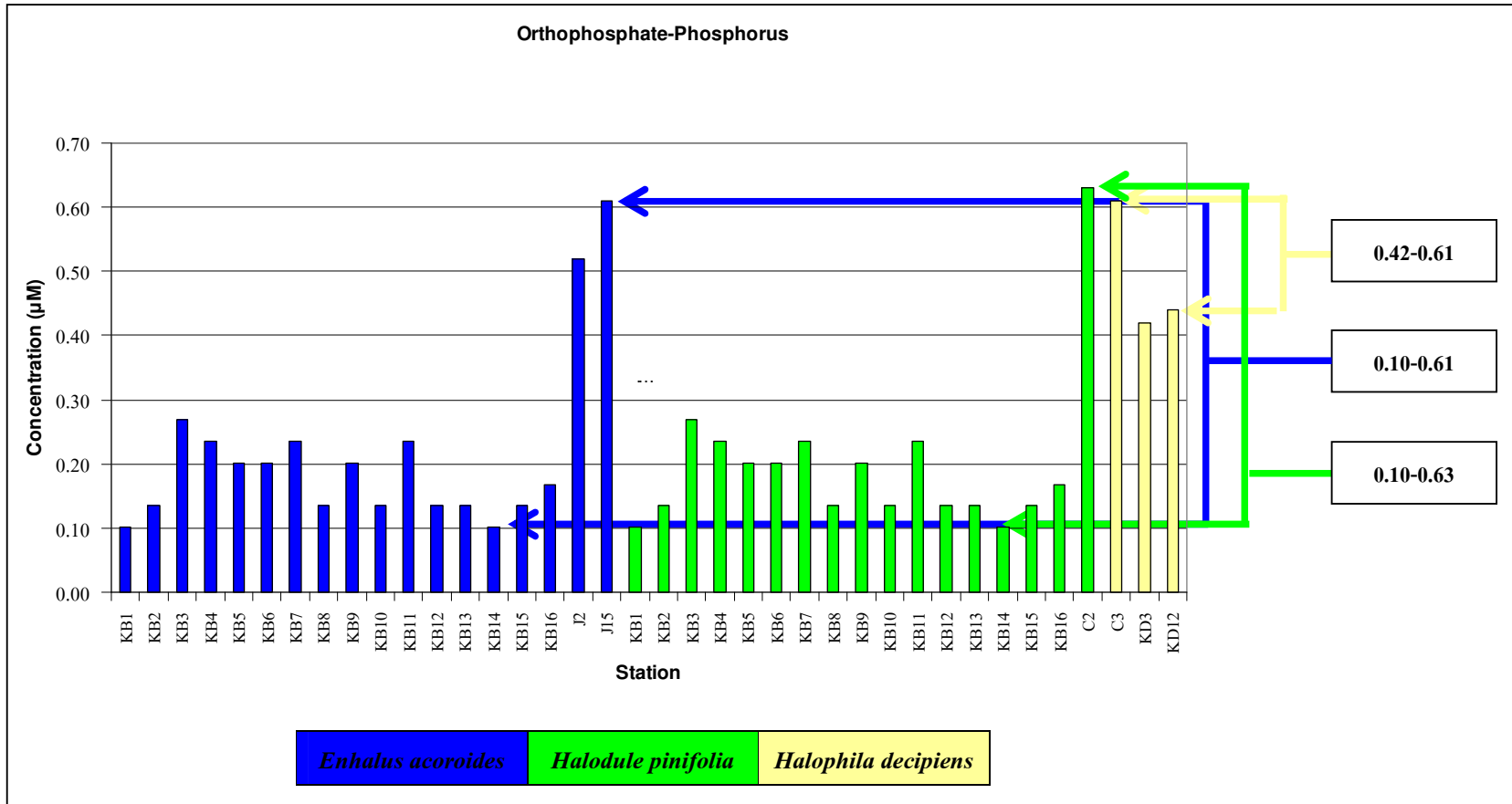
ภาพที่ 49 ช่วงความเข้มข้นของแอมโมเนียม-ไนโตรเจน (μM) ในน้ำหนึ่งผิวดินตะกอนที่เหมาะสมต่อการอยู่อาศัยตามชนิดของหญ้าทะเล



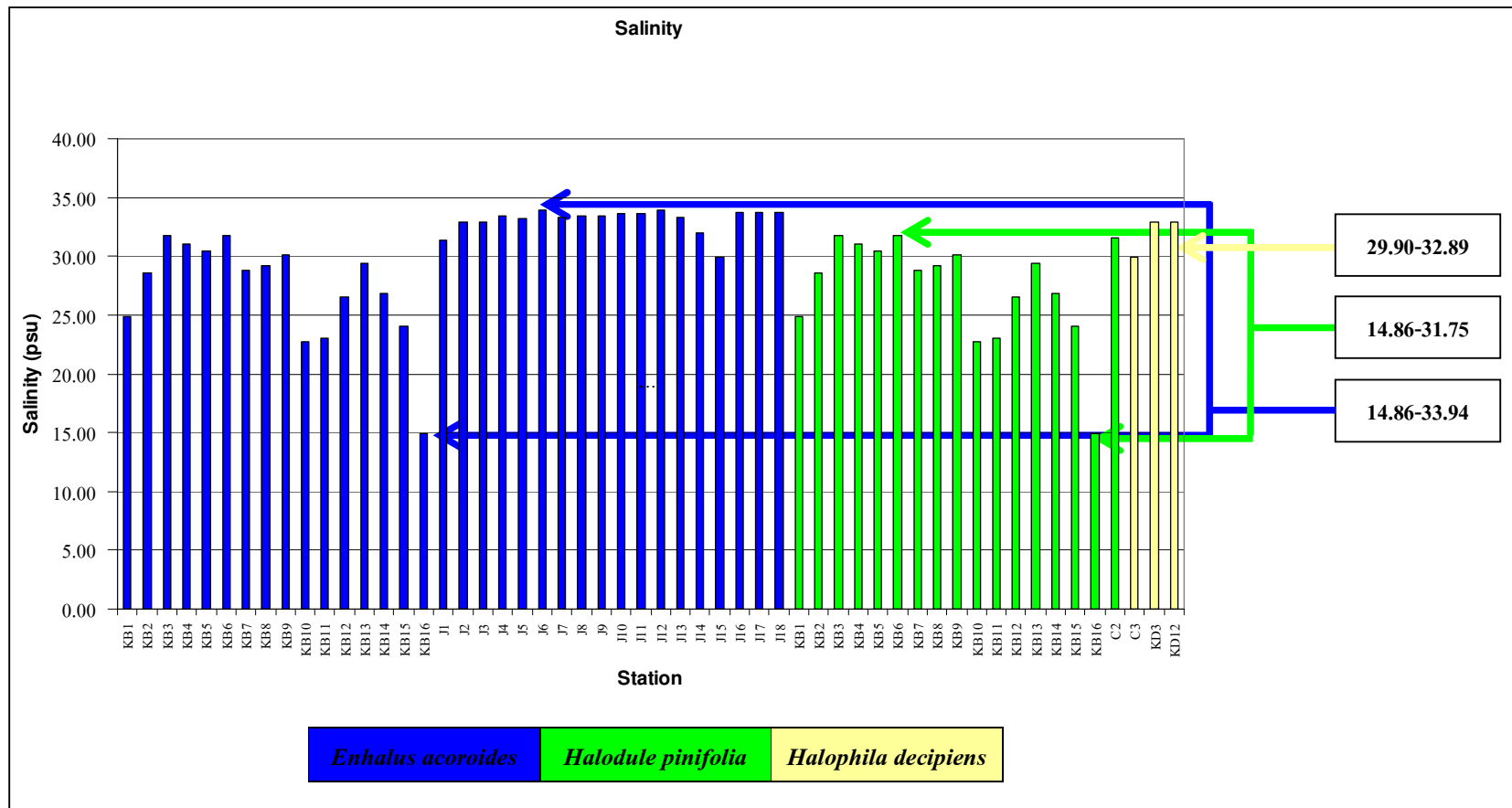
ภาพที่ 50 ช่วงความขั้นขั้นของไนโตรท์และไนเตรต-ไนโตรเจน (μM) ในน้ำหนึ่งอิฐวัดินตะกอนที่เหมาะสมสมต่อการอยู่อาศัยตามชนิดของหญ้าทะเล



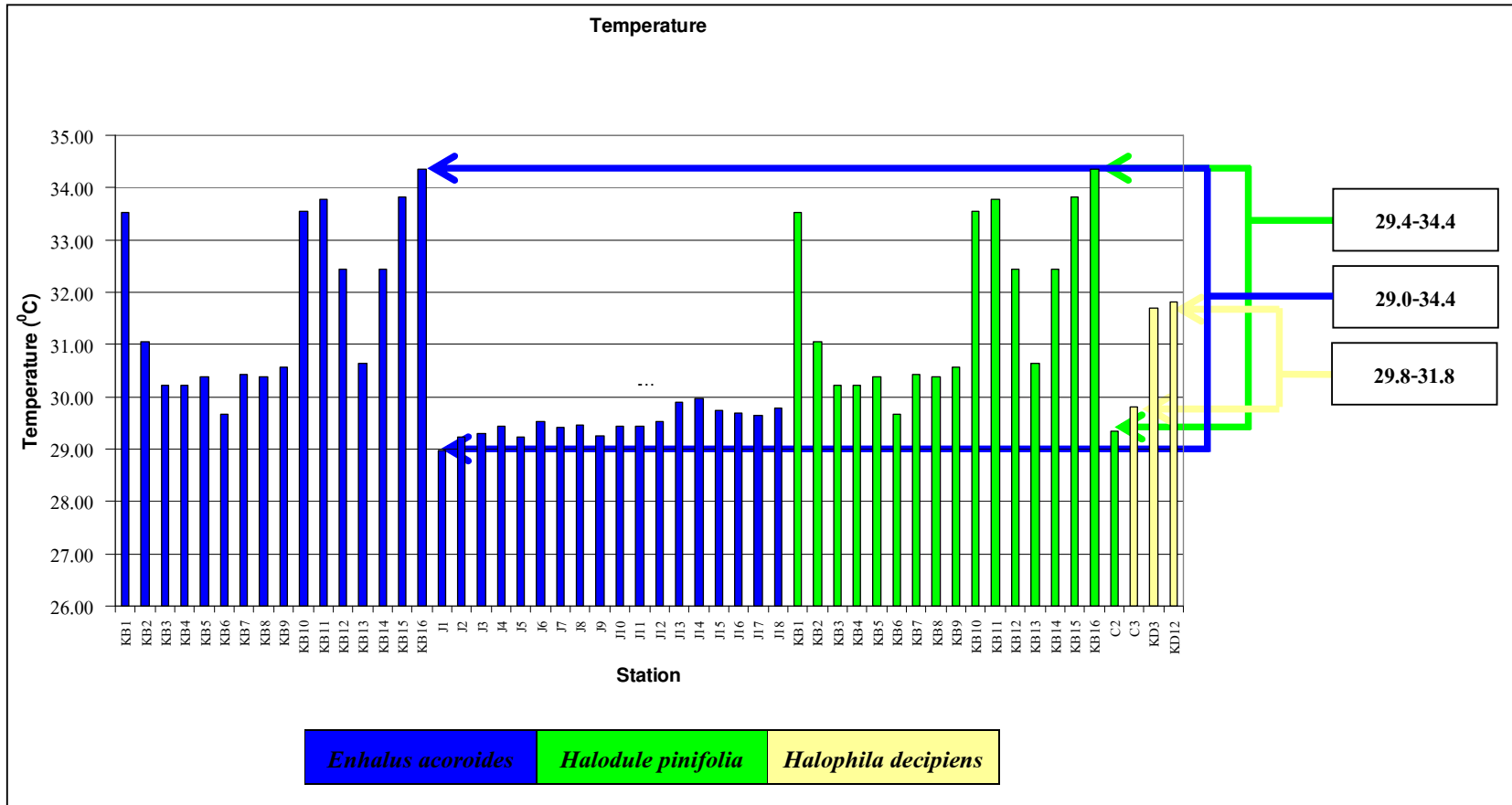
ภาพที่ 51 ช่วงความเข้มข้นของซิลิกะ-ซิลิคอน (μM) ในน้ำหนึ่งผิวดินตะกอนที่เหมาะสมต่อการอยู่อาศัยตามชนิดของพืชทางเล



ภาพที่ 52 ช่วงความเข้มข้นของออร์โธฟอสเฟต-ฟอสฟอรัส (μM) ในน้ำหนึ่งอิฐวัดในตะกอนที่เหมาะสมสมต่อการอยู่อาศัยตามชนิดของหญ้าทะเล



ภาพที่ 53 ช่วงความเค็มของน้ำทะเล (psu) ที่เหมาะสมต่อการอยู่อาศัยตามชนิดของหญ้าทะเล



ภาพที่ 54 ช่วงอุณหภูมิของน้ำทะเล (องศาเซลเซียส) ที่เหมาะสมต่อการอยู่อาศัยตามชนิดของหญ้าทะเล

5.2 คุณภาพดินตะกอน

การวิเคราะห์ช่วงและระดับความเหมาะสมของคุณภาพดินตะกอนที่ระดับความลึก 0-1 เซนติเมตร และขนาดอนุภาคดินตะกอนที่ระดับความลึก 0-5 เซนติเมตร ซึ่งมีผลต่อระดับความอุดมสมบูรณ์ของหญ้าทะเลแต่ละชนิด ประกอบด้วย (1) ช่วงและระดับความเหมาะสมสมต่อการอยู่อาศัย เป็นการวิเคราะห์ช่วงและระดับของคุณภาพดินตะกอนที่หญ้าทะเลแต่ละชนิดสามารถอยู่อาศัยได้ (2) ระดับความเหมาะสมสูงสุด เป็นระดับของคุณภาพดินตะกอน ณ ระดับที่มวลชีวภาพของหญ้าทะเลแต่ละชนิดมีค่าสูงสุด และ (3) การศึกษาความสัมพันธ์ระหว่างปัจจัยถิ่นแวดล้อมและความอุดมสมบูรณ์ของหญ้าทะเล โดยการวิเคราะห์ความสัมพันธ์ระหว่างมวลชีวภาพของหญ้าทะเลกับคุณภาพดินตะกอน ด้วยการวิเคราะห์ความสัมพันธ์แบบ 2 มิติ (Two dimension) เพื่อหาช่วงความเหมาะสมของปัจจัยถิ่นแวดล้อมที่สามารถทำให้มวลชีวภาพอยู่ในระดับสูง หรือสูงที่สุดภายในพื้นที่ศึกษา ซึ่งสามารถอธิบายได้ดังนี้

5.2.1 ช่วงและระดับความเหมาะสมสมต่อการอยู่อาศัย

ช่วงและระดับความเหมาะสมสมต่อการอยู่อาศัย คือ ช่วงและระดับของคุณภาพดินตะกอน ซึ่งสามารถสนับสนุนให้หญ้าทะเลแต่ละชนิดมีช่วงความอุดมสมบูรณ์ตั้งแต่ระดับต่ำสุดจนถึงความอุดมสมบูรณ์ระดับสูงสุด โดยพิจารณาจากมวลชีวภาพของหญ้าทะเลได้ดังนี้ คือ มวลชีวภาพส่วนหนึ่งอุดินของหญ้าทะเลชนิด *Enhalus acoroides* มีค่าอยู่ระหว่าง 28.01-86.47 กรัม น้ำหนักแห้งต่ำต่ำกว่า 10 เมตร มวลชีวภาพส่วนหนึ่งเนื้ออุดินและส่วนใต้ดินของหญ้าทะเลชนิด *Halodule pinifolia* *Halophila ovalis* และ *Halophila decipiens* มีค่าอยู่ระหว่าง 3.34-81.61 27.69-40.15 และ 0.15-4.84 กรัม น้ำหนักแห้งต่ำต่ำกว่า 10 เมตร ตามลำดับ ส่วนหญ้าทะเลชนิด *Halodule uninervis* และ *Cymodocea serrulata* มีมวลชีวภาพส่วนหนึ่งเนื้ออุดินและส่วนใต้ดินเท่ากับ 1.56 และ 222.84 กรัม น้ำหนักแห้งต่ำต่ำกว่า 10 เมตร ตามลำดับ ทั้งนี้ ช่วงและระดับของคุณภาพของดินตะกอนที่สนับสนุนช่วงความอุดมสมบูรณ์ของหญ้าทะเลแต่ละชนิด สามารถกล่าวได้ดังต่อไปนี้

1) แอมโมเนียม-ในโตรเจน ช่วงความเหมาะสมของปริมาณแอมโมเนียม-ในโตรเจนในน้ำระหว่างอนุภาคดินตะกอนบริเวณที่มีหญ้าทะเลชนิด *Enhalus acoroides* *Halodule pinifolia* *Halophila ovalis* และ *Halophila decipiens* อาศัยอยู่ พบร่วมปริมาณความเข้มข้นของแอมโมเนียม-ในโตรเจนในน้ำระหว่างอนุภาคดินตะกอนมีค่าอยู่ระหว่าง 64.91-371.26

29.33-530.34 558.15-916.28 และ 101.55-693.33 μM ตามลำดับ (ภาพที่ 55) ส่วนระดับความหมายสมของปริมาณความเข้มข้นของแอมโมเนียม-ไนโตรเจนในน้ำระหว่างอนุภาคคิดเห็นบนบริเวณแหล่งหญ้าทะเลชนิด *Halodule uninervis* และ *Cymodocea serrulata* มีค่าเท่ากับ 86.99 μM

2) ชิลิกेट-ชิลิกอน ช่วงที่มีความหมายสมของปริมาณชิลิกेट-ชิลิกอนในน้ำระหว่างอนุภาคคิดเห็นบนบริเวณที่มีหญ้าทะเลชนิด *Enhalus acoroides* *Halodule pinifolia* *Halophila ovalis* และ *Halophila decipiens* อาศัยอยู่ พบว่า ปริมาณความเข้มข้นของชิลิกेट-ชิลิกอนในน้ำระหว่างอนุภาคคิดเห็นบนบริเวณมีค่าอยู่ระหว่าง 17.73-46.71 11.07-73.75 0.91-9.94 และ 11.42-66.00 μM ตามลำดับ (ภาพที่ 56) ส่วนระดับความหมายสมของปริมาณความเข้มข้นของชิลิกेट-ชิลิกอนในน้ำระหว่างอนุภาคคิดเห็นบนบริเวณแหล่งหญ้าทะเลชนิด *Halodule uninervis* และ *Cymodocea serrulata* มีค่าเท่ากับ 27.36 μM

3) ออร์โซฟอสเฟต-ฟอสฟอรัส สำหรับช่วงความหมายสมของปริมาณออร์โซฟอสเฟต-ฟอสฟอรัสในน้ำระหว่างอนุภาคคิดเห็นบนบริเวณที่มีหญ้าทะเลชนิด *Enhalus acoroides* *Halodule pinifolia* *Halophila ovalis* และ *Halophila decipiens* อาศัยอยู่ พบว่า ปริมาณความเข้มข้นของออร์โซฟอสเฟต-ฟอสฟอรัสในน้ำระหว่างอนุภาคคิดเห็นบนบริเวณมีค่าอยู่ระหว่าง 0.80-2.47 0.44-2.86 0.91-9.94 และ 0.56-8.32 μM ตามลำดับ (ภาพที่ 57) ส่วนระดับความหมายสมของปริมาณความเข้มข้นของออร์โซฟอสเฟต-ฟอสฟอรัสในน้ำระหว่างอนุภาคคิดเห็นบนบริเวณแหล่งหญ้าทะเลชนิด *Halodule uninervis* และ *Cymodocea serrulata* มีค่าเท่ากับ 2.44 μM

4) ปริมาณน้ำในดินตะกอน ช่วงความหมายสมของปริมาณน้ำในดินตะกอนบริเวณที่มีหญ้าทะเลชนิด *Enhalus acoroides* *Halodule pinifolia* *Halophila ovalis* และ *Halophila decipiens* อาศัยอยู่ พบว่า ปริมาณน้ำในดินตะกอนมีค่าอยู่ระหว่างร้อยละ 21.80-47.89 19.77-42.45 18.34-33.33 และ 22.92-35.76 ตามลำดับ (ภาพที่ 58) ส่วนระดับความหมายสมของปริมาณน้ำในดินตะกอนบริเวณแหล่งหญ้าทะเลชนิด *Halodule uninervis* และ *Cymodocea serrulata* มีค่าเท่ากับร้อยละ 37.18

5) ปริมาณสารอินทรีย์รวมในดินตะกอน ช่วงที่มีความหมายสมของปริมาณสารอินทรีย์รวมในดินตะกอนบริเวณที่มีหญ้าทะเลชนิด *Enhalus acoroides* *Halodule pinifolia* *Halophila ovalis* และ *Halophila decipiens* อาศัยอยู่ พบว่า ปริมาณสารอินทรีย์รวมในดินตะกอนมี

ค่าอยู่ระหว่าง 15.59-42.73 12.31-51.51 15.49-29.58 และ 20.18-46.26 มิลลิกรัมต่อกิโลกรัมน้ำหนักแห้ง ตามลำดับ (ภาพที่ 59) ส่วนระดับความเหมาะสมของปริมาณสารอินทรีย์รวมในดินตะกอนบริเวณแหล่งหญ้าทะเลชนิด *Halodule uninervis* และ *Cymodocea serrulata* มีค่าเท่ากับ 49.82 มิลลิกรัมต่อกิโลกรัมน้ำหนักแห้ง

6) ความเป็นกรดเป็นด่างในดินตะกอน ช่วงความเหมาะสมของความเป็นกรดเป็นด่างในดินตะกอนบริเวณที่มีหญ้าทะเลชนิด *Enhalus acoroides* *Halodule pinifolia* *Halophila ovalis* และ *Halophila decipiens* อาหร่ายอยู่ พบว่า ความเป็นกรดเป็นด่างในดินตะกอนมีค่าอยู่ระหว่าง 7.42-8.83 8.02-8.61 7.55-7.99 และ 7.67-8.46 ตามลำดับ (ภาพที่ 60)

7) ขนาดอนุภาคดินตะกอน ช่วงความเหมาะสมของขนาดอนุภาคดินตะกอนบนผืนหญ้าทะเลแต่ละชนิด ซึ่งแสดงได้ดังตารางที่ 7 สามารถอธิบายได้ดังนี้

ดินตะกอนบนผืนหญ้าทะเลชนิด *Enhalus acoroides* เป็นดินตะกอนที่ประกอบด้วยอนุภาคที่มีขนาดใหญ่กว่า 1,000 ไมโครเมตร ระหว่าง 500-1,000 250-500 125-250 63-125 ไมโครเมตร และเล็กกว่า 63 ไมโครเมตร มีปริมาณอยู่ระหว่างร้อยละ 0.61-4.53 0.04-1.27 0.07-4.91 0.42-65.64 9.67-77.70 และ 10.08-72.75 ตามลำดับ

ดินตะกอนบนผืนหญ้าทะเลชนิด *Halodule pinifolia* เป็นดินตะกอนที่ประกอบด้วยอนุภาคที่มีขนาดใหญ่กว่า 1,000 ไมโครเมตร ระหว่าง 500-1,000 250-500 125-250 63-125 ไมโครเมตร และเล็กกว่า 63 ไมโครเมตร มีปริมาณอยู่ระหว่างร้อยละ 0.04-9.92 0.28-3.86 0.28-20.02 0.25-71.40 2.81-67.09 และ 2.88-96.32 ตามลำดับ

ดินตะกอนบนผืนหญ้าทะเลชนิด *Halophila ovalis* เป็นดินตะกอนที่ประกอบด้วยอนุภาคที่มีขนาดใหญ่กว่า 1,000 ไมโครเมตร ระหว่าง 500-1,000 250-500 125-250 63-125 ไมโครเมตร และเล็กกว่า 63 ไมโครเมตร มีปริมาณอยู่ระหว่างร้อยละ 9.24-30.39 8.66-21.69 15.81-31.24 8.32-31.06 2.74-15.29 และ 5.61-31.51 ตามลำดับ

ดินตะกอนบนผืนหญ้าทะเลชนิด *Halophila decipiens* เป็นดินตะกอนที่ประกอบด้วยอนุภาคที่มีขนาดใหญ่กว่า 1,000 ไมโครเมตร ระหว่าง 500-1,000 250-500 125-250

63-125 ไมโครเมตร และเล็กกว่า 63 ไมโครเมตร มีปริมาณอย่างร้อยละ 0.19-39.92 0.24-35.09 0.32-18.66 0.87-4.63 0.34-63.13 และ 2.39-55.34 ตามลำดับ

ส่วนระดับความเหมาะสมของขนาดอนุภาคคินตะกอนบนผืนหญ้าทะเล
ชนิด *Halodule uninervis* และ *Cymodocea serrulata* เป็นคินตะกอนที่ประกอบด้วยอนุภาคที่มี
ขนาดใหญ่กว่า 1,000 ไมโครเมตร ระหว่าง 500-1,000 250-500 125-250 63-125 ไมโครเมตร และ
เล็กกว่า 63 ไมโครเมตร มีปริมาณเท่ากับร้อยละ 1.74 18.93 50.36 17.67 2.60 และ 8.71
ตามลำดับ

5.2.2 ระดับความเหมาะสมสูงสุด

ระดับความเหมาะสมสูงสุดในการศึกษาครั้งนี้ หมายถึง ระดับคุณภาพดิน
ตะกอนที่ทำให้หญ้าทะเลแต่ละชนิดมีความอุดมสมบูรณ์สูงสุดในบริเวณที่ศึกษาทั้งหมด โดย
พิจารณาจากมวลชีวภาพสูงสุดของหญ้าทะเลแต่ละชนิดที่ปรากฏ จากตารางที่ 8 แสดงให้เห็นถึง
ระดับความเหมาะสมของคุณภาพของคินตะกอนที่สนับสนุนให้หญ้าทะเลแต่ละชนิดมีมวลชีวภาพ
สูดซึ่งส่งผลให้หญ้าทะเลชนิด *Enhalus acoroides* มีมวลชีวภาพส่วนหนึ่งอดินสูงสุดเท่ากับ 86.47
กรัมน้ำหนักแห้งต่อตารางเมตร สำหรับหญ้าทะเลชนิด *Halodule pinifolia* *Halophila ovalis* และ
Halophila decipiens มีมวลชีวภาพส่วนหนึ่งอดินและส่วนใหญ่คินสูงสุดเท่ากับ 81.61 40.15 และ
4.84 กรัมน้ำหนักแห้งต่อตารางเมตร ตามลำดับนั้น สามารถกล่าวได้ว่าได้ดังต่อไปนี้

1) แอมโมเนียม-ในโตรเจน ระดับความเหมาะสมของปริมาณแอมโมเนียม-
ในโตรเจนในน้ำระหว่างอนุภาคคินตะกอนซึ่งส่งผลให้หญ้าทะเลชนิด *Enhalus acoroides*
Halodule pinifolia *Halophila ovalis* และ *Halophila decipiens* มีมวลชีวภาพสูงสุด มีค่าเท่ากับ
188.02 351.01 558.15 และ 397.56 μM ตามลำดับ

2) ซิลิกेट-ซิลิคอน ระดับความเหมาะสมของปริมาณซิลิกेट-ซิลิคอนในน้ำ
ระหว่างอนุภาคคินตะกอนซึ่งส่งผลให้หญ้าทะเลชนิด *Enhalus acoroides* *Halodule pinifolia*
Halophila ovalis และ *Halophila decipiens* มีมวลชีวภาพสูงสุด มีค่าเท่ากับ 37.26 61.02 47.60
และ 11.42 μM ตามลำดับ

3) ออร์โซฟอสเฟต-ฟอสฟอรัส ระดับความเหมาะสมของปริมาณออร์โซฟอสเฟต-ฟอสฟอรัสในน้ำระหว่างอนุภาคคืนตะกอน ซึ่งส่งผลให้หญ้าทะเลชนิด *Enhalus acoroides* *Halodule pinifolia* *Halophila ovalis* และ *Halophila decipiens* มีมวลชีวภาพสูงสุด มีค่าเท่ากับ 1.39 0.91 2.01 และ 6.80 μM ตามลำดับ

4) ปริมาณน้ำในคืนตะกอน ระดับความเหมาะสมของปริมาณน้ำในคืนตะกอน ซึ่งส่งผลให้หญ้าทะเลชนิด *Enhalus acoroides* *Halodule pinifolia* *Halophila ovalis* และ *Halophila decipiens* มีมวลชีวภาพสูงสุด มีค่าเท่ากับร้อยละ 29.37 23.74 20.61 และ 23.30 ตามลำดับ

5) ปริมาณสารอินทรีย์รวมในคืนตะกอน ระดับความเหมาะสมของปริมาณสารอินทรีย์รวมในคืนตะกอนซึ่งส่งผลให้หญ้าทะเลชนิด *Enhalus acoroides* *Halodule pinifolia* *Halophila ovalis* และ *Halophila decipiens* มีมวลชีวภาพสูงสุด มีค่าเท่ากับ 28.43 12.31 18.29 และ 46.26 มิลลิกรัมต่อกรัมน้ำหนักดินแห้ง ตามลำดับ

6) ความเป็นกรดเป็นด่างในคืนตะกอน ระดับความเหมาะสมของค่าความเป็นกรดเป็นด่างในคืนตะกอนซึ่งส่งผลให้หญ้าทะเลชนิด *Enhalus acoroides* *Halodule pinifolia* และ *Halophila ovalis* มีมวลชีวภาพสูงสุด มีค่าเท่ากับ 8.37 8.07 และ 7.55 ตามลำดับ

7) ขนาดอนุภาคคืนตะกอน ระดับความเหมาะสมสูงสุดของขนาดอนุภาคคืนตะกอนบนผืนหญ้าทะเลแต่ละชนิด ซึ่งแสดงได้ดังตารางที่ 8 อธิบายได้ดังนี้

คืนตะกอนที่ส่งผลให้มวลชีวภาพของหญ้าทะเลชนิด *Enhalus acoroides* มีค่าสูงสุด เป็นคืนตะกอนที่ประกอบด้วยอนุภาคที่มีขนาดใหญ่กว่า 1,000 ไมโครเมตร ระหว่าง 500-1,000 250-500 125-250 63-125 ไมโครเมตร และเล็กกว่า 63 ไมโครเมตร มีปริมาณเท่ากับร้อยละ 4.53 1.27 2.02 11.97 9.67 และ 70.54 ตามลำดับ

คืนตะกอนที่ส่งผลให้มวลชีวภาพของหญ้าทะเลชนิด *Halodule pinifolia* มีค่าสูงสุด เป็นคืนตะกอนที่ประกอบด้วยอนุภาคที่มีขนาดใหญ่กว่า 1,000 ไมโครเมตร ระหว่าง 500-

1,000 250-500 125-250 63-125 ไมโครเมตร และเล็กกว่า 63 ไมโครเมตร มีปริมาณเท่ากับร้อยละ 0.04 0.28 0.28 0.27 2.81 และ 96.32 ตามลำดับ

динตะกอนที่ส่งผลให้มวลชีวภาพของหญ้าทะเลชนิด *Halophila ovalis* มีค่าสูงสุด เป็นдинตะกอนที่ประกอบด้วยอนุภาคที่มีขนาดใหญ่กว่า 1,000 ไมโครเมตร ระหว่าง 500-1,000 250-500 125-250 63-125 ไมโครเมตร และเล็กกว่า 63 ไมโครเมตร มีปริมาณเท่ากับร้อยละ 21.05 16.94 20.68 19.49 11.49 และ 10.35 ตามลำดับ

динตะกอนที่ส่งผลให้มวลชีวภาพของหญ้าทะเลชนิด *Halophila decipiens* มีค่าสูงสุด เป็นдинตะกอนที่ประกอบด้วยอนุภาคที่มีขนาดใหญ่กว่า 1,000 ไมโครเมตร ระหว่าง 500-1,000 250-500 125-250 63-125 ไมโครเมตร และเล็กกว่า 63 ไมโครเมตร มีปริมาณเท่ากับร้อยละ 39.92 35.09 18.66 3.60 0.34 และ 2.39 ตามลำดับ

5.2.3 การศึกษาความสัมพันธ์ระหว่างปัจจัยสิ่งแวดล้อมและความอุดมสมบูรณ์ของหญ้าทะเล

การวิเคราะห์ความสัมพันธ์ระหว่างมวลชีวภาพของหญ้าทะเลกับคุณภาพดิน ตะกอน โดยใช้วิเคราะห์ความสัมพันธ์แบบ 2 มิติ (Two dimension) เพื่อหาช่วงความเหมาะสม ของปัจจัยสิ่งแวดล้อมที่สามารถทำให้มวลชีวภาพอยู่ในระดับสูง หรือสูงที่สุดภายในพื้นที่ศึกษา ซึ่งสามารถอธิบายได้ดังนี้

1) แอมโมเนียม-ไนโตรเจน จากการทดสอบหาความสัมพันธ์ระหว่างมวลชีวภาพของหญ้าทะเลกับปริมาณแอมโมเนียม-ไนโตรเจนในน้ำระหว่างอนุภาคдинตะกอนที่ระดับความลึก 0-1 เซนติเมตร พบว่า มวลชีวภาพของหญ้าทะเลชนิด *Enhalus acoroides* *Halodule pinifolia* และ *Halophila decipiens* มีความสัมพันธ์ในทิศทางเดียวกันกับปริมาณแอมโมเนียม-ไนโตรเจน โดยปริมาณแอมโมเนียม-ไนโตรเจนในน้ำระหว่างอนุภาคдинตะกอนในช่วง 300.00-371.26 424.39-530.34 และ 329.46-400.00 μM สามารถส่งผลให้หญ้าทะเลชนิด *Enhalus acoroides* *Halodule pinifolia* และ *Halophila decipiens* มีมวลชีวภาพอยู่ในช่วงสูงระหว่าง 80.00-100.00 80.00-133.00 และ 3.00-4.84 กรัมน้ำหนักแห้งต่อตารางเมตร ตามลำดับ ในทางตรงข้าม มวลชีวภาพของหญ้าทะเลชนิด *Halophila ovalis* จะมีความสัมพันธ์ในทิศทางตรงข้ามกับปริมาณ

แอมโมเนียม-ในโตรเจนในน้ำระหว่างอนุภาคคินตะกอน ซึ่งพบว่า เมื่อความเข้มข้นของ แอมโมเนียม-ในโตรเจนในน้ำระหว่างอนุภาคคินตะกอนเพิ่มขึ้นจาก $558.15 \mu\text{M}$ จนถึง $841.60 \mu\text{M}$ จะทำให้มวลชีวภาพลดลงจาก 40.15 กรัมน้ำหนักแห้งต่อตารางเมตร เหลือ 27.97 กรัมน้ำหนัก แห้งต่อตารางเมตร (ภาพที่ 61)

2) ชิลิกेट-ชิลิคอน จากภาพที่ 62 แสดงความสัมพันธ์ระหว่างมวลชีวภาพของ หญ้าทะเลกับปริมาณชิลิกेट-ชิลิคอนในน้ำระหว่างอนุภาคคินตะกอน ที่ระดับความลึก 0-1 เซนติเมตร พบว่า มวลชีวภาพของหญ้าทะเลชนิด *Enhalus acoroides* *Halodule pinifolia* และ *Halophila ovalis* มีความสัมพันธ์ในทิศทางเดียวกันกับปริมาณชิลิกेट-ชิลิคอน โดยปริมาณชิลิกेट-ชิลิคอนในน้ำระหว่างอนุภาคคินตะกอนในช่วง $37.26-46.71$ $61.29-73.75$ และ $40.00-54.97 \mu\text{M}$ สามารถส่งผลให้หญ้าทะเลชนิด *Enhalus acoroides* *Halodule pinifolia* และ *Halophila ovalis* มี มวลชีวภาพอยู่ในช่วงสูงระหว่าง $71.61-81.72$ $60.00-92.41$ และ $36.00-40.00$ กรัมน้ำหนักแห้งต่อ ตารางเมตร ตามลำดับ ในทางตรงข้าม มวลชีวภาพของหญ้าทะเลชนิด *Halophila decipiens* จะมี ความสัมพันธ์ในทิศทางตรงข้ามกับปริมาณชิลิกेट-ชิลิคอนในน้ำระหว่างอนุภาคคินตะกอน ซึ่ง พ布ว่า เมื่อความเข้มข้นของชิลิกेट-ชิลิคอนในน้ำระหว่างอนุภาคคินตะกอนเพิ่มขึ้นจาก $10.85 \mu\text{M}$ จนถึง $66.00 \mu\text{M}$ จะทำให้มวลชีวภาพลดลงจาก 1.60 กรัมน้ำหนักแห้งต่อตารางเมตร เหลือ 0.22 กรัมน้ำหนักแห้งต่อตารางเมตร

3) ออร์โซฟอสเฟต-ฟอสฟอรัส จากการทดสอบหาความสัมพันธ์ระหว่างมวล ชีวภาพของหญ้าทะเลกับปริมาณออร์โซฟอสเฟต-ฟอสฟอรัสในน้ำระหว่างอนุภาคคินตะกอนที่ ระดับความลึก 0-1 เซนติเมตร พบว่า มวลชีวภาพของหญ้าทะเลชนิด *Halodule pinifolia* และ *Halophila decipiens* มีความสัมพันธ์ในทิศทางเดียวกันกับปริมาณออร์โซฟอสเฟต-ฟอสฟอรัส โดย ปริมาณออร์โซฟอสเฟต-ฟอสฟอรัสในน้ำระหว่างอนุภาคคินตะกอนในช่วง $2.41-2.86$ และ $5.54-6.77 \mu\text{M}$ สามารถส่งผลให้มวลชีวภาพมีค่าอยู่ในช่วงสูงระหว่าง $60.00-86.25$ และ $2.78-4.38$ กรัม น้ำหนักแห้งต่อตารางเมตร ตามลำดับ ในทางตรงข้าม มวลชีวภาพของหญ้าทะเลชนิด *Enhalus acoroides* และ *Halophila ovalis* จะมีความสัมพันธ์ในทิศทางตรงข้ามกับปริมาณออร์โซฟอสเฟต- ฟอสฟอรัสในน้ำระหว่างอนุภาคคินตะกอน ซึ่งพบว่า เมื่อความเข้มข้นของออร์โซฟอสเฟต- ฟอสฟอรัสในน้ำระหว่างอนุภาคคินตะกอนเพิ่มขึ้นจาก $0.81 \mu\text{M}$ ถึง $2.47 \mu\text{M}$ และ $0.91 \mu\text{M}$ ถึง $10.00 \mu\text{M}$ จะทำให้มวลชีวภาพทึบส่องชนิดดังกล่าวลดลงจาก 86.47 กรัมน้ำหนักแห้งต่อตาราง

เมตร เหลือ 40.00 กรัมน้ำหนักแห้งต่อตารางเมตร และ 37.50 กรัมน้ำหนักแห้งต่อตารางเมตร เหลือ 29.25 กรัมน้ำหนักแห้งต่อตารางเมตร ตามลำดับ (ภาพที่ 63)

4) ปริมาณน้ำในดินตะกอน จากภาพที่ 64 แสดงความสัมพันธ์ระหว่างมวลชีวภาพของหญ้าทะเลกับปริมาณน้ำในดินตะกอนที่ระดับความลึก 0-1 เซนติเมตร พบว่า มวลชีวภาพของหญ้าทะเลชนิด *Halophila ovalis* มีความสัมพันธ์ในทิศทางเดียวกันกับปริมาณน้ำในดินตะกอน โดยปริมาณน้ำในดินตะกอนในช่วงร้อยละ 26.52-33.33 สามารถส่งผลมวลชีวภาพมีค่าอยู่ในช่วงสูงระหว่าง 34.23-37.76 กรัมน้ำหนักแห้งต่อตารางเมตร ในทางตรงข้าม มวลชีวภาพของหญ้าทะเลชนิด *Enhalus acoroides* *Halodule pinifolia* และ *Halophila decipiens* จะมีความสัมพันธ์ในทิศทางตรงข้ามกับปริมาณน้ำในดินตะกอน ซึ่งพบว่า เมื่อปริมาณน้ำในดินตะกอนเพิ่มขึ้นตั้งแต่ร้อยละ 21.80-47.89 19.77-42.45 และร้อยละ 23.21-30.00 จะทำให้มวลชีวภาพของหญ้าทะเลทั้งสามชนิดดังกล่าวลดลงจาก 75.00 76.25 และ 1.69 กรัมน้ำหนักแห้งต่อตารางเมตรเหลือ 28.01 52.84 และ 0.62 กรัมน้ำหนักแห้งต่อตารางเมตร ตามลำดับ

5) ปริมาณสารอินทรีย์รวมในดินตะกอน จากภาพที่ 65 แสดงความสัมพันธ์ระหว่างมวลชีวภาพของหญ้าทะเลกับปริมาณสารอินทรีย์รวมในดินตะกอนที่ระดับความลึก 0-1 เซนติเมตร พบว่า มวลชีวภาพของหญ้าทะเลชนิด *Halophila decipiens* มีความสัมพันธ์ในทิศทางเดียวกันกับปริมาณสารอินทรีย์รวมในดินตะกอน โดยปริมาณสารอินทรีย์รวมในดินตะกอนในช่วง 37.89-46.48 มิลลิกรัมต่อกิโลกรัมน้ำหนักดินแห้ง สามารถส่งผลให้มวลชีวภาพมีค่าอยู่ในช่วงสูงระหว่าง 1.25-1.87 กรัมน้ำหนักแห้งต่อตารางเมตร ในทางตรงข้าม มวลชีวภาพของหญ้าทะเลชนิด *Enhalus acoroides* *Halodule pinifolia* และ *Halophila ovalis* จะมีความสัมพันธ์ในทิศทางตรงข้ามกับปริมาณสารอินทรีย์รวมในดินตะกอน ซึ่งพบว่า เมื่อปริมาณสารอินทรีย์รวมในดินตะกอนเพิ่มขึ้นตั้งแต่ 16.05-42.73 12.31-37.51 และ 15.49-29.58 มิลลิกรัมต่อกิโลกรัมน้ำหนักดินแห้ง จะทำให้มวลชีวภาพของหญ้าทะเลทั้งสามชนิดดังกล่าวลดลงจาก 87.73 85.00 และ 38.89 กรัมน้ำหนักแห้งต่อตารางเมตร เหลือ 37.42 3.34 และ 33.33 กรัมน้ำหนักแห้งต่อตารางเมตร ตามลำดับ

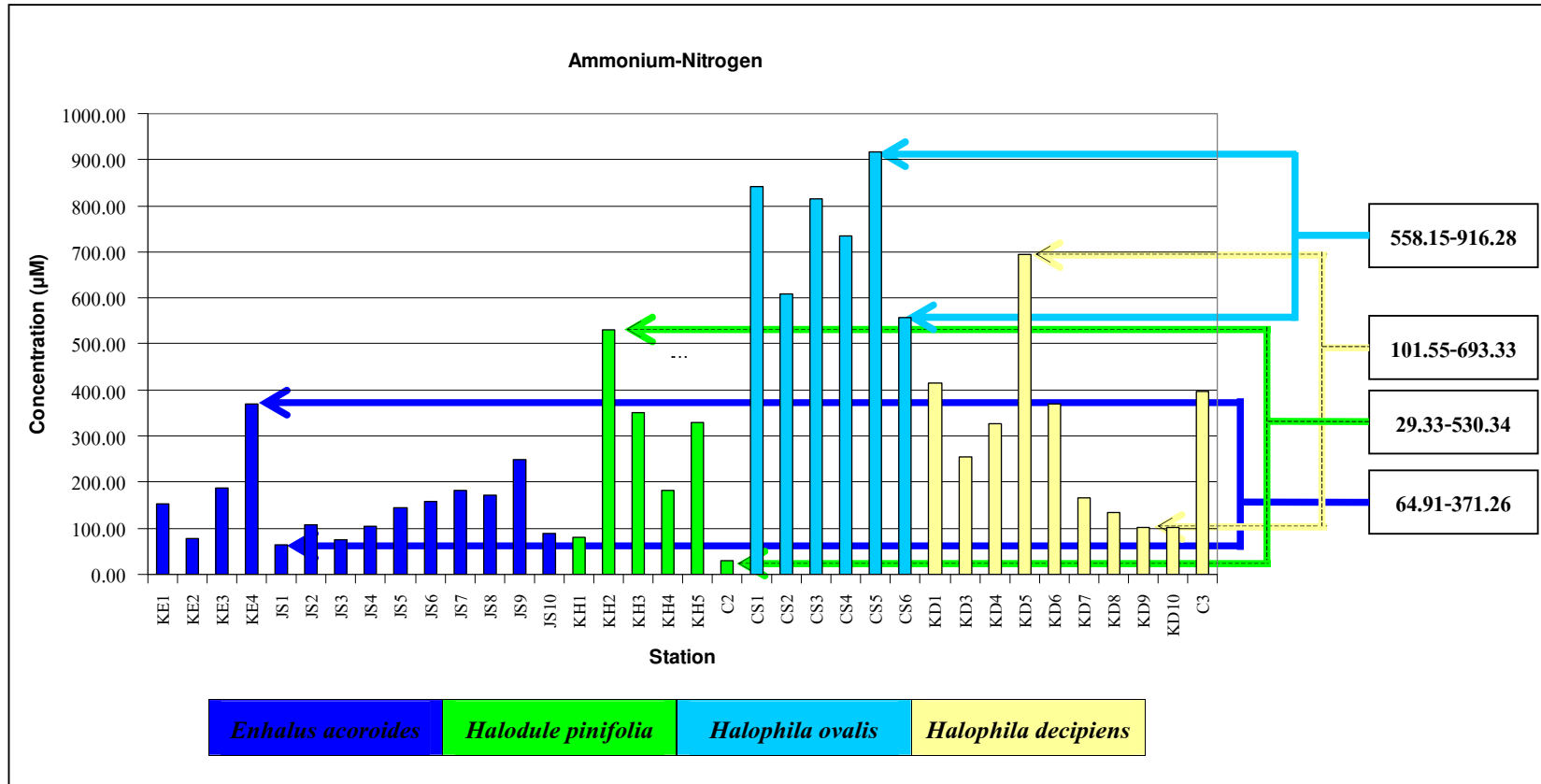
6) ขนาดอนุภาคดินตะกอน จากภาพที่ 66 และ 67 แสดงความสัมพันธ์ระหว่างมวลชีวภาพของหญ้าทะเลกับปริมาณดินตะกอนขนาดอนุภาคต่าง ๆ ที่ระดับความลึก 0-5 เซนติเมตร พบว่า

มวลชีวภาพของหญ้าทะเลชนิด *Enhalus acoroides* มีความสัมพันธ์ในทิศทางเดียวกันกับดินตะกอนที่มีขนาดเล็กกว่า 63 ไมโครเมตร ซึ่งส่งผลให้หญ้าทะเลชนิด *Enhalus acoroides* มีความอุดมสมบูรณ์ โดยที่ปริมาณดินตะกอนที่มีขนาดเล็กกว่า 63 ไมโครเมตร ตั้งแต่ร้อยละ 60.00-72.75 จะสามารถทำให้มวลชีวภาพส่วนหนึ่งของดินมีค่าสูง คือ 82.50-100.00 กรัมน้ำหนักแห้งต่อตารางเมตร (ภาพที่ 66-a)

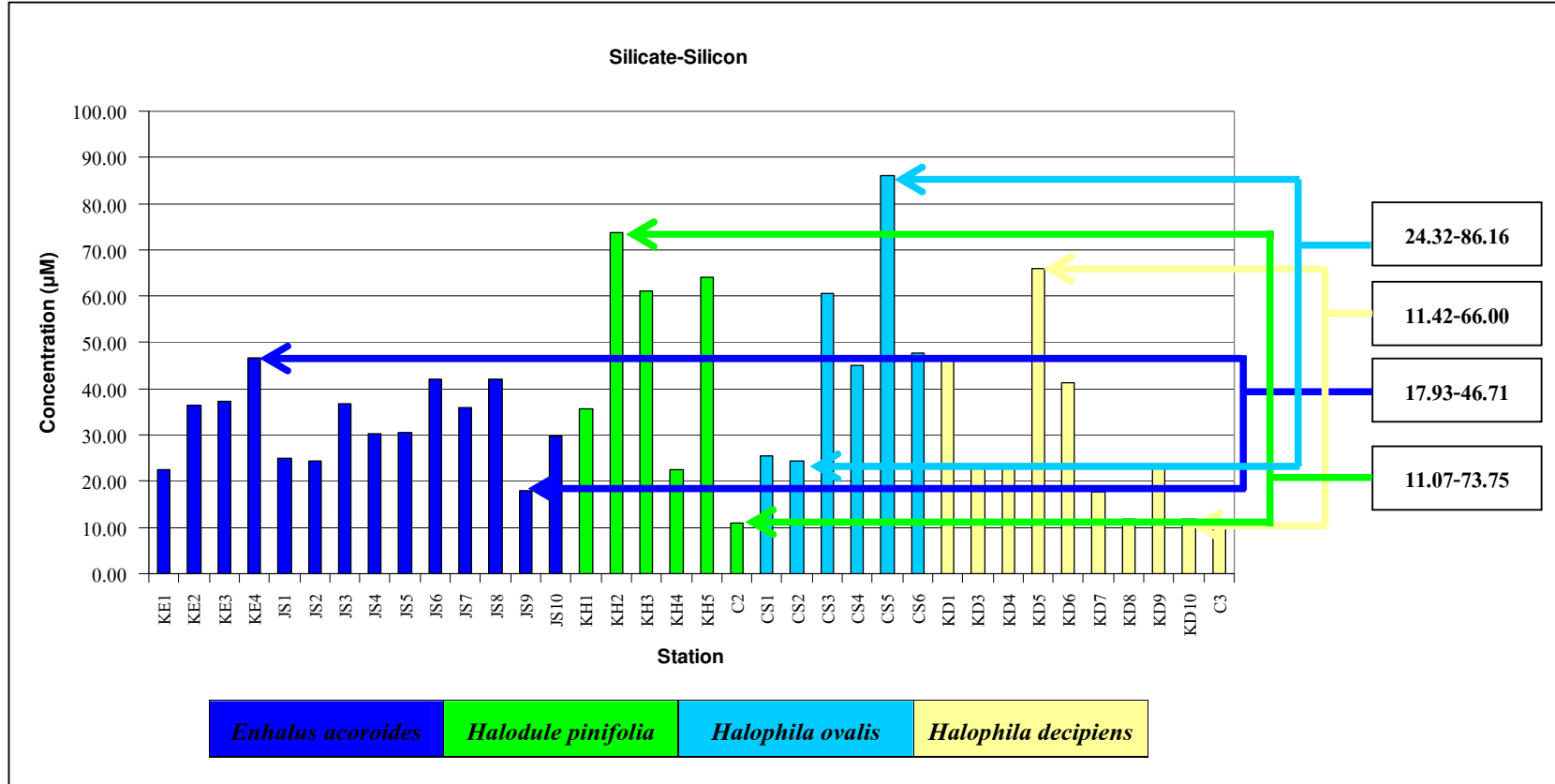
มวลชีวภาพของหญ้าทะเลชนิด *Halodule pinifolia* มีความสัมพันธ์ในทิศทางเดียวกันกับดินตะกอนที่มีขนาดเล็กกว่า 63 ไมโครเมตร (ภาพที่ 66-d) ซึ่งส่งผลให้หญ้าทะเลชนิด *Halodule pinifolia* มีความอุดมสมบูรณ์ โดยที่ปริมาณดินตะกอนที่มีขนาดเล็กกว่า 63 ไมโครเมตร ตั้งแต่ร้อยละ 80.00-96.32 จะสามารถทำให้มวลชีวภาพมีค่าสูง คือ 72.50-90.00 กรัมน้ำหนักแห้งต่อตารางเมตร ในขณะเดียวกัน ยังพบว่ามีความสัมพันธ์ในทิศทางเดียวกันกับอนุภาคดินตะกอนขนาดดังกล่าวมีปริมาณอยู่ระหว่างร้อยละ 6.92-9.93 และ 3.00-3.82 จะสามารถทำให้มวลชีวภาพมีค่าสูง คือ 55.00-68.71 และ 60.80-80.00 กรัมน้ำหนักแห้งต่อตารางเมตร ตามลำดับ

มวลชีวภาพของหญ้าทะเลชนิด *Halophila ovalis* มีความสัมพันธ์ในทิศทางเดียวกันกับอนุภาคดินตะกอนที่มีขนาดตั้งแต่ 125-250 และ 63-125 ไมโครเมตร (ภาพที่ 67-a และ 67-b) ซึ่งเมื่อขนาดอนุภาคดินตะกอนมีปริมาณอยู่ระหว่างร้อยละ 20.00-30.77 และ 10.00-15.29 จะสามารถทำให้มวลชีวภาพส่วนหนึ่งของดินมีค่าสูง คือ 34.50-40.00 และ 36.73-40.15 กรัมน้ำหนักแห้งต่อตารางเมตร ตามลำดับ

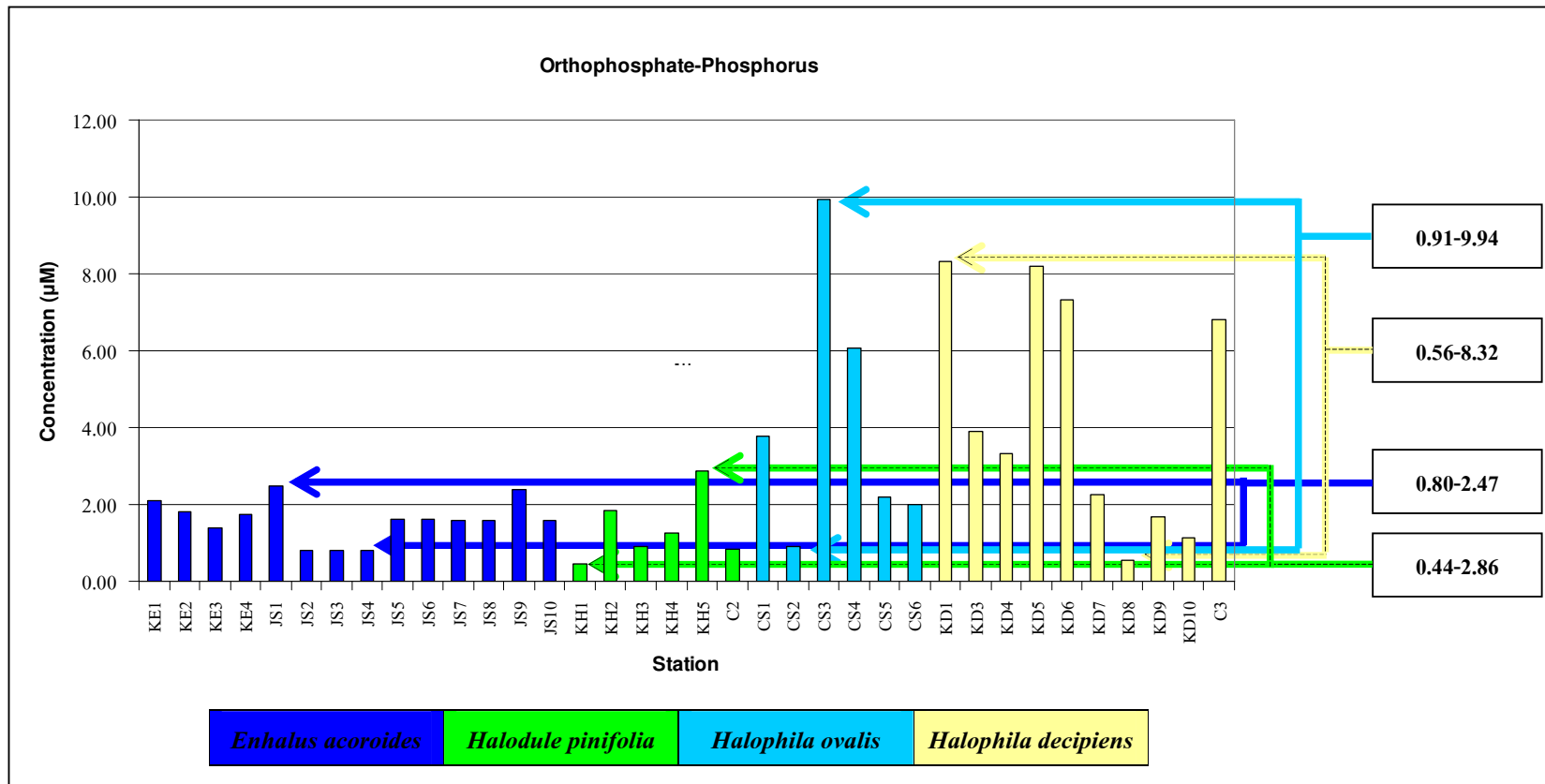
มวลชีวภาพของหญ้าทะเลชนิด *Halophila decipiens* มีความสัมพันธ์ในทิศทางเดียวกันกับอนุภาคดินตะกอนที่มีขนาดใหญ่กว่า 1,000 ไมโครเมตร ขนาดระหว่าง 500-1000 และ 250-500 ไมโครเมตร (ภาพที่ 67-d และ 67-e) ซึ่งเมื่อขนาดอนุภาคดินตะกอนมีปริมาณอยู่ระหว่างร้อยละ 35.93-40.00 30.00-35.00 และ 15.41-18.66 จะสามารถทำให้มวลชีวภาพค่าสูง คือ 4.00-4.88 3.38-4.50 และ 3.00-4.31 กรัมน้ำหนักแห้งต่อตารางเมตร ตามลำดับ



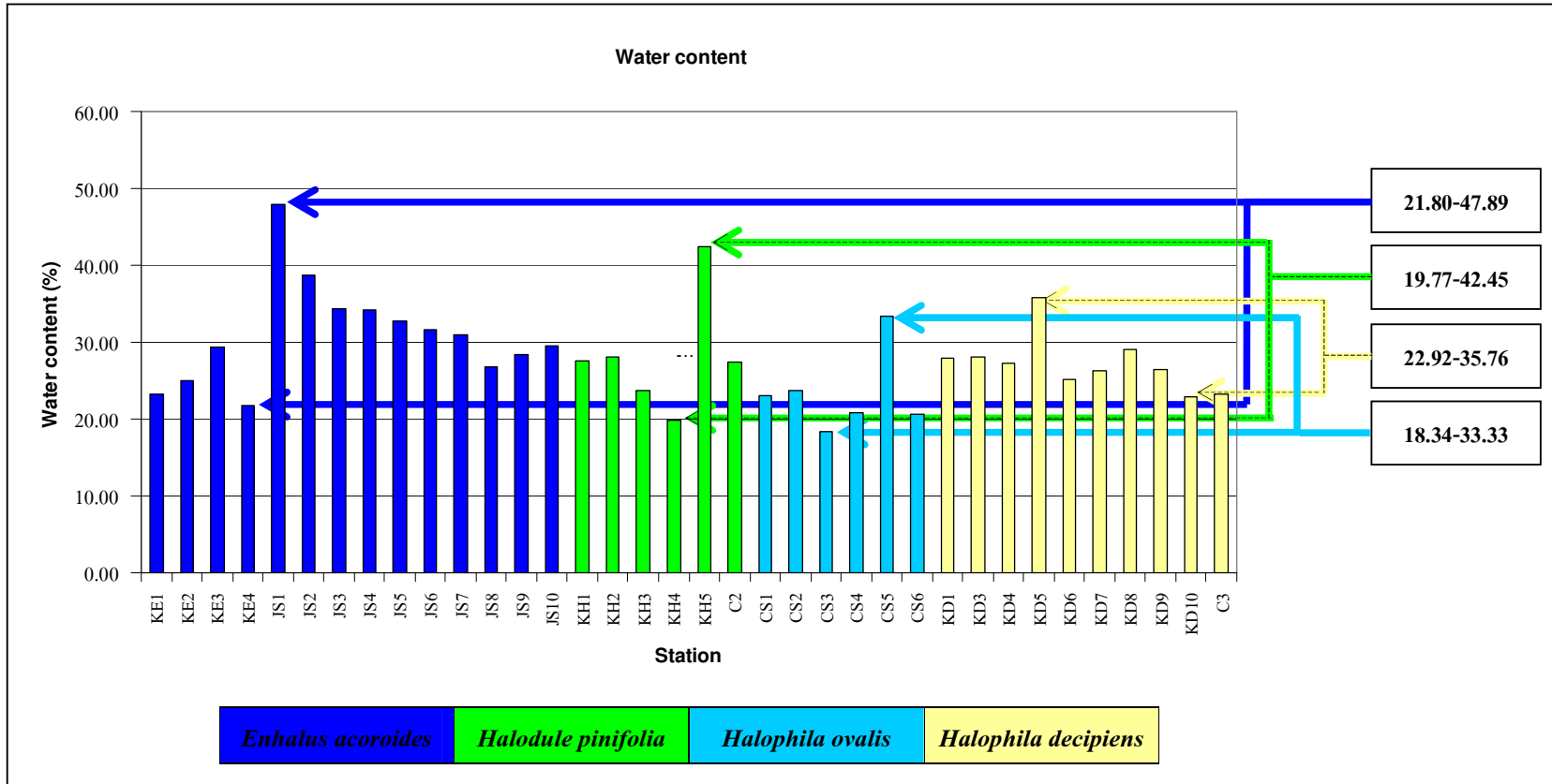
ภาพที่ 55 ช่วงความเข้มข้นของแอมโมเนียม-ไนโตรเจนในน้ำระหว่างอนุภาคดินตะกอน (μM) ระดับความลึก 0-1 เซนติเมตร ที่เหมาะสมต่อการอยู่อาศัยตามชนิดของพืชทางเดล



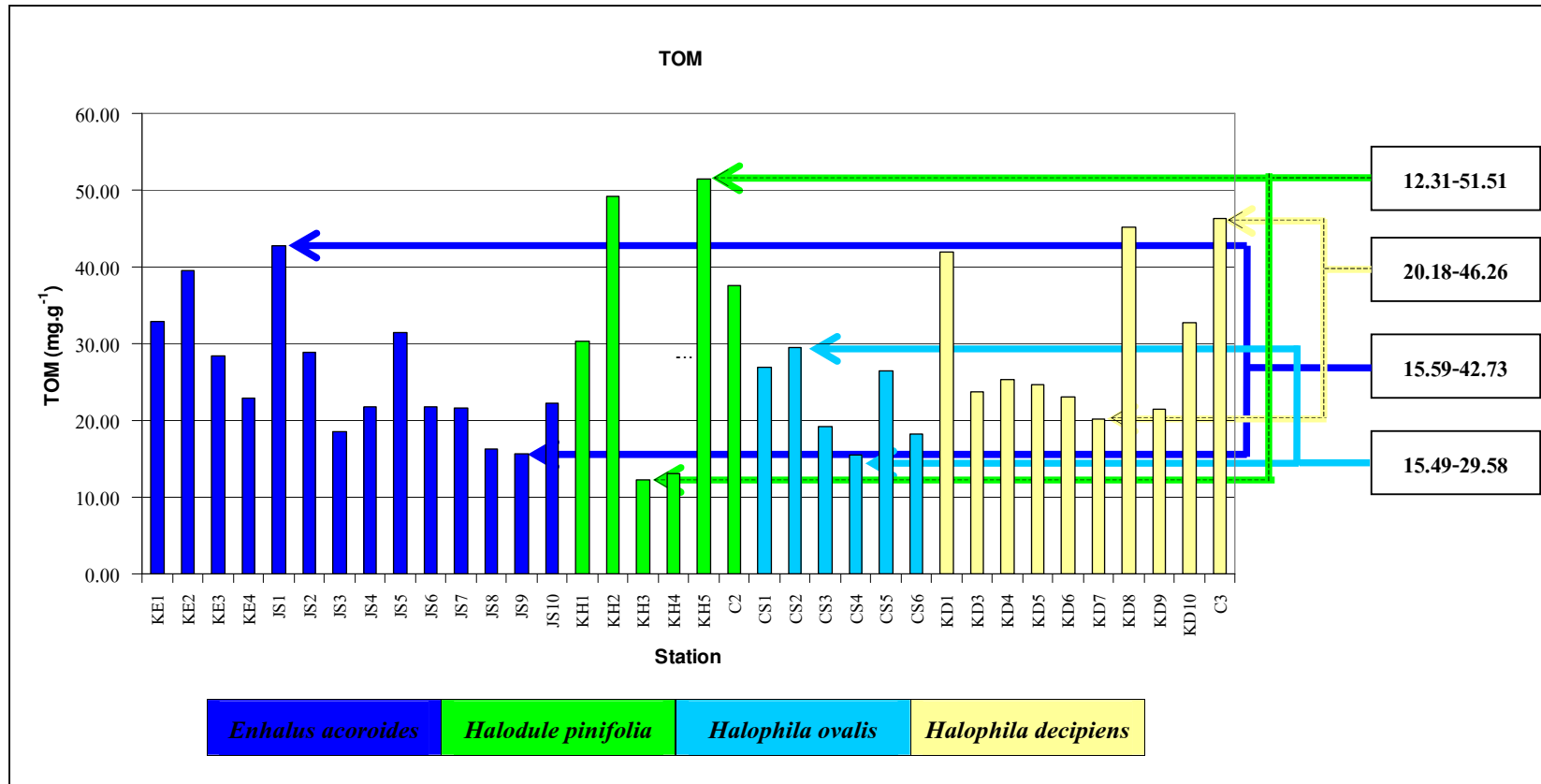
ภาพที่ 56 ช่วงความเข้มข้นของซิลิกेट-ซิลิคอนในน้ำทะเลที่ว่างอนุภาคดินตะกอน (μM) ระดับความลึก 0-1 เมตร ที่เหมาะสมต่อการอยู่อาศัยตามชนิดของ
หญ้าทะเล



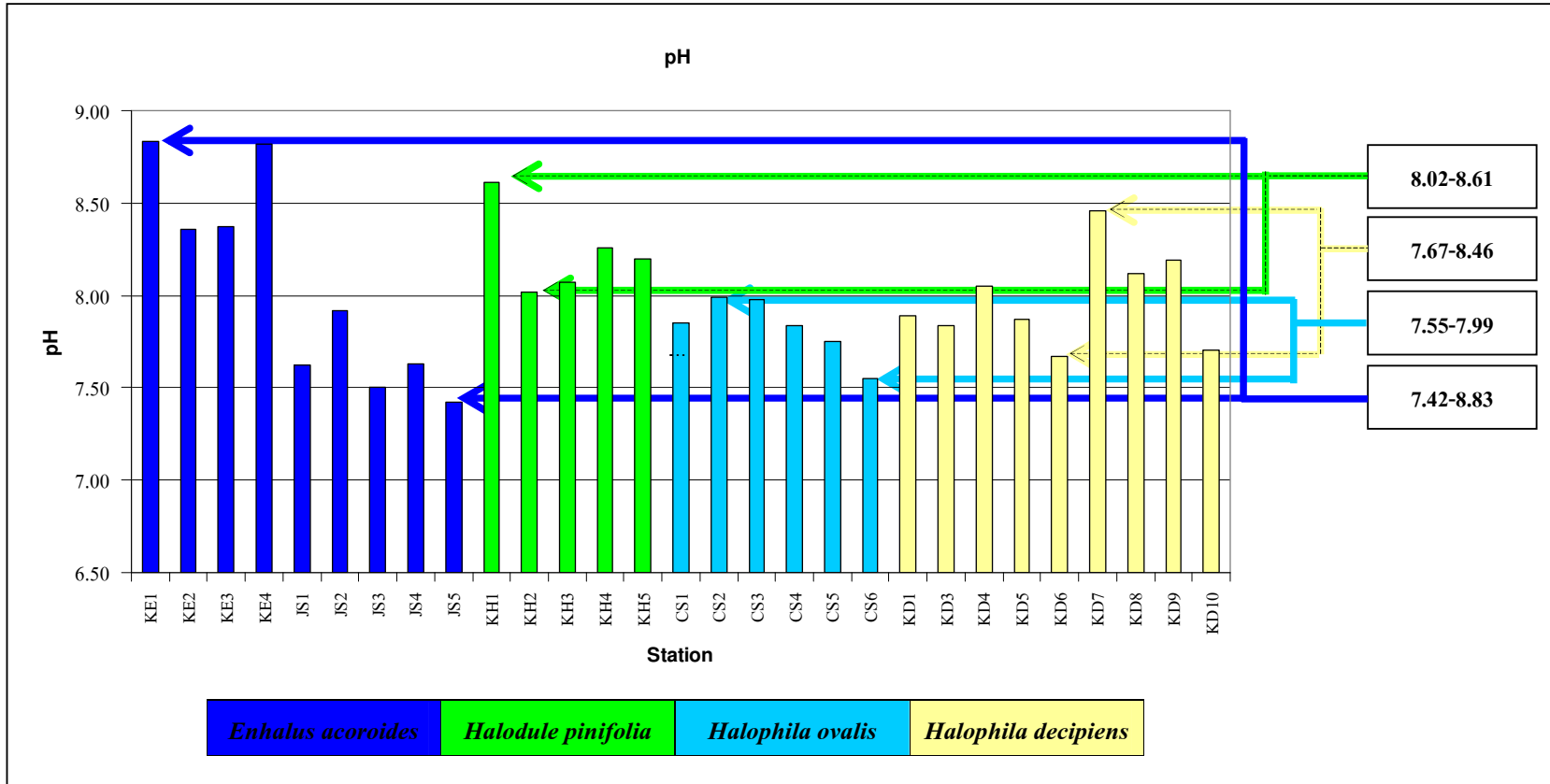
ภาพที่ 57 ช่วงปริมาณความเข้มข้นของออร์ฟอสเฟต-ฟอสฟอรัสในน้ำทะเลระหว่างอนุภาคคินตะกอน (μM) ระดับความลึก 0-1 เมตร ที่เหมาะสมต่อการอยู่อาศัยตามชนิดของหญ้าทะเล



ภาพที่ 58 ช่วงปริมาณน้ำในคินตะกอน (ร้อยละ) ระดับความลึก 0-1 เมตร ที่เหมาะสมต่อการอยู่อาศัยตามชนิดของหญ้าทะเล



ภาพที่ 59 ช่วงของปริมาณสารอินทรีย์รวมในดินตะกอน (มิลลิกรัมต่อกิริมัน๊หันกดินแห้ง) ระดับความลึก 0-1 เมตร ที่เหมาะสมต่อการอยู่อาศัยตามชนิดของพืชทางเดล



ภาพที่ 60 ช่วงของค่าความเป็นกรดเป็นด่างในดินตะกอน (รื้อยลະ) ระดับความลึก 0-1 เซนติเมตร ที่เหมาะสมต่อการอุดมด้วยออกไซต์ตามชนิดของหญ้าทะเล

ตารางที่ 7 ช่วงของปริมาณอนุภาคคินตะกอน (ร้อยละ) ระดับความลึก 0-5 เมตร ที่เหมาะสมต่อการอยู่อาศัยตามชนิดของหญ้าทะเล

ชนิดหญ้าทะเล	มวลชีวภาพ (กรัมน้ำหนักแห้งต่อตารางเมตร)	ปริมาณอนุภาคคินตะกอน (ร้อยละ)					
		>1,000 μm	500-1,000 μm	250-500 μm	125-250 μm	63-125 μm	<63 μm
<i>Enhalus acoroides</i>	28.01-86.47*	0.61-4.53	0.04-1.27	0.07-4.91	0.42-65.64	9.67-77.70	10.08-72.75
<i>Halodule pinifolia</i>	3.34-81.61**	0.04-9.92	0.28-3.86	0.28-20.02	0.25-71.40	2.81-67.09	2.88-96.32
<i>Halophila ovalis</i>	27.69-40.15**	9.24-30.39	8.66-21.69	15.81-31.24	8.32-31.06	2.74-15.29	5.61-31.51
<i>Halophila decipiens</i>	0.15-4.84**	0.19-39.92	0.24-35.09	0.32-18.66	0.87-4.63	0.34-63.13	2.39-55.34
<i>Halodule uninervis</i>	1.56**	1.74	18.93	50.36	17.67	2.60	8.71
<i>Cymodocea serrulata</i>	222.84**	1.74	18.93	50.36	17.67	2.60	8.71

* มวลชีวภาพส่วนเหนือดิน

**มวลชีวภาพส่วนเหนือดินและส่วนใต้ดิน

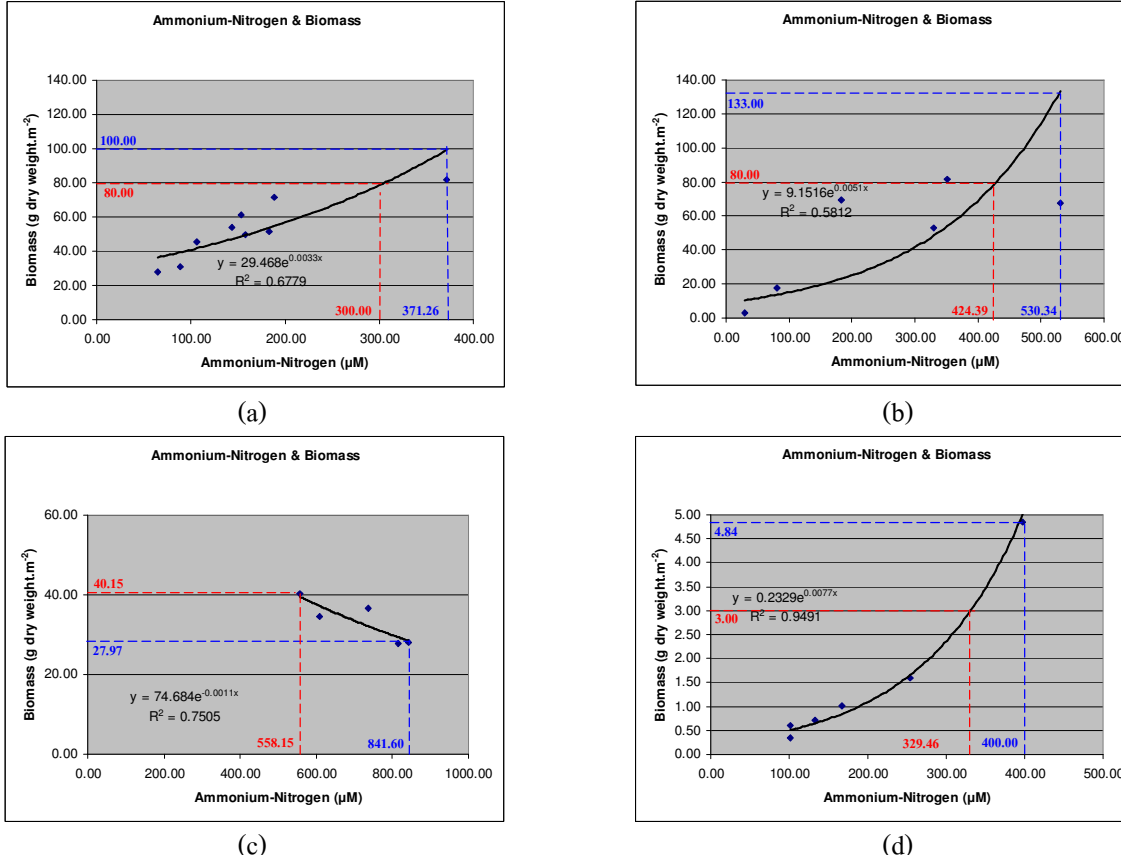
ตารางที่ 8 มวลชีวภาพสูงสุดและคุณภาพดินตะกอนที่ระดับความลึก 0-1 เซนติเมตร และปริมาณอนุภาคดินตะกอนขนาดต่าง ๆ ที่ระดับความลึก 0-5 เซนติเมตร

ชนิดหญ้าทะเล	มวลชีวภาพสูงสุด	$\text{NH}_4^+ \text{-N}$	$\text{Si}(\text{OH})_4$	$\text{PO}_4^{3-} \text{-P}$	น้ำในดินตะกอน	สารอินทรีย์รวม	ความเป็นกรดเป็นด่าง
	(กรัมน้ำหนักแห้งต่อตารางเมตร)	(μM)	(μM)	(μM)	(ร้อยละ)	(มิลลิกรัมต่อกิโลกรัม)	
<i>Enhalus acoroides</i>	86.47 *	188.02	37.26	1.39	29.37	28.43	8.37
<i>Halodule pinifolia</i>	81.61 **	351.01	61.02	0.91	23.74	12.31	8.07
<i>Halophila ovalis</i>	40.15 **	558.15	47.6	2.01	20.61	18.29	7.55
<i>Halophila decipiens</i>	4.84 **	397.56	11.42	6.80	23.30	46.26	-

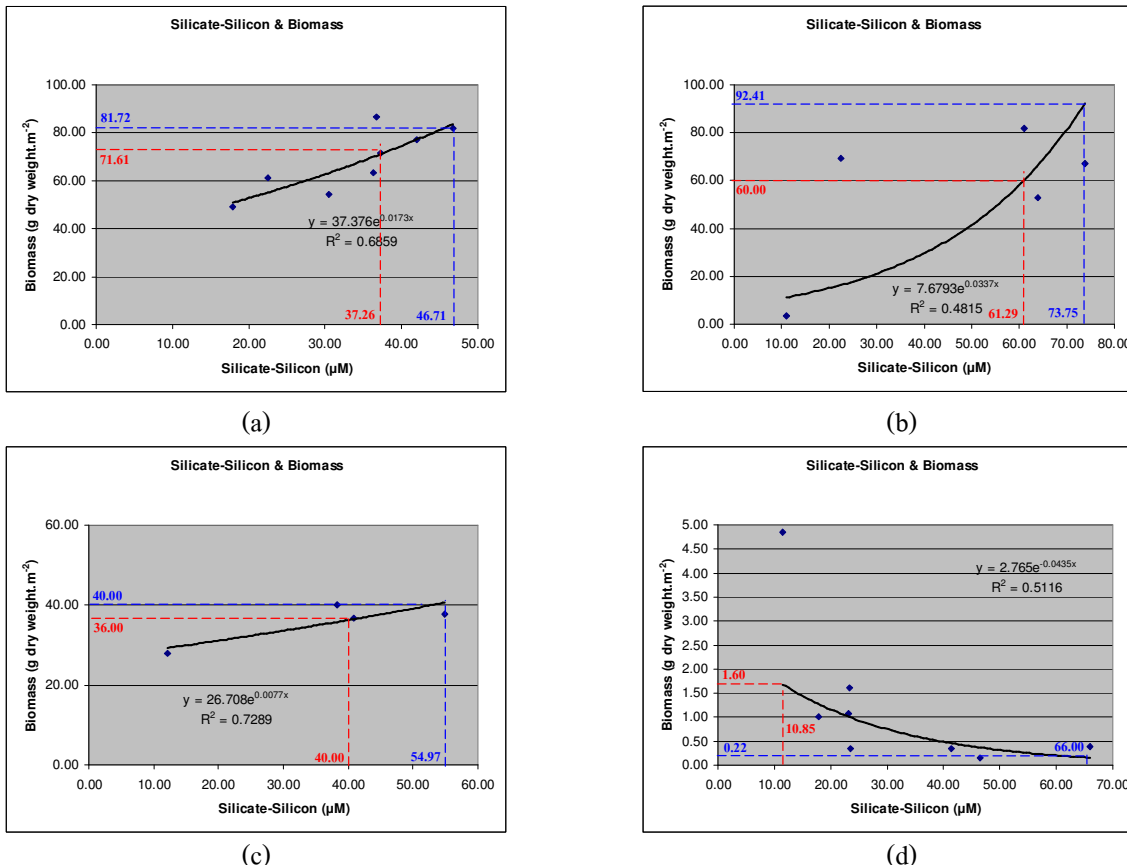
ชนิดหญ้าทะเล	มวลชีวภาพสูงสุด	ปริมาณของอนุภาคดินตะกอน (ร้อยละ)					
	(กรัมน้ำหนักแห้งต่อตารางเมตร)	>1,000 μm	500-1,000 μm	250-500 μm	125-250 μm	63-125 μm	<63 μm
<i>Enhalus acoroides</i>	86.47 *	4.53	1.27	2.02	11.97	9.67	70.54
<i>Halodule pinifolia</i>	81.61 **	0.04	0.28	0.28	0.27	2.81	96.32
<i>Halophila ovalis</i>	40.15 **	21.05	16.94	20.68	19.49	11.49	10.35
<i>Halophila decipiens</i>	4.84 **	39.92	35.09	18.66	3.60	0.34	2.39

* มวลชีวภาพส่วนเหนือดิน

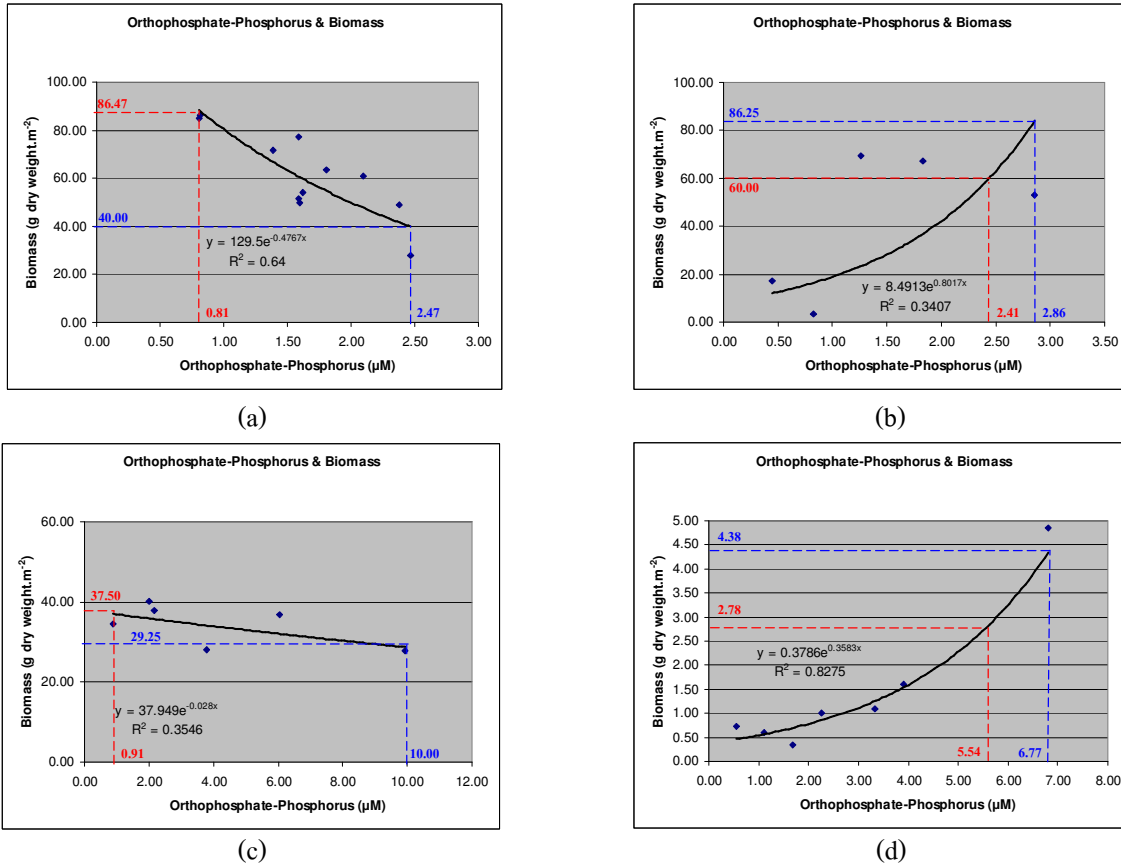
**มวลชีวภาพส่วนเหนือดินและส่วนใต้ดิน



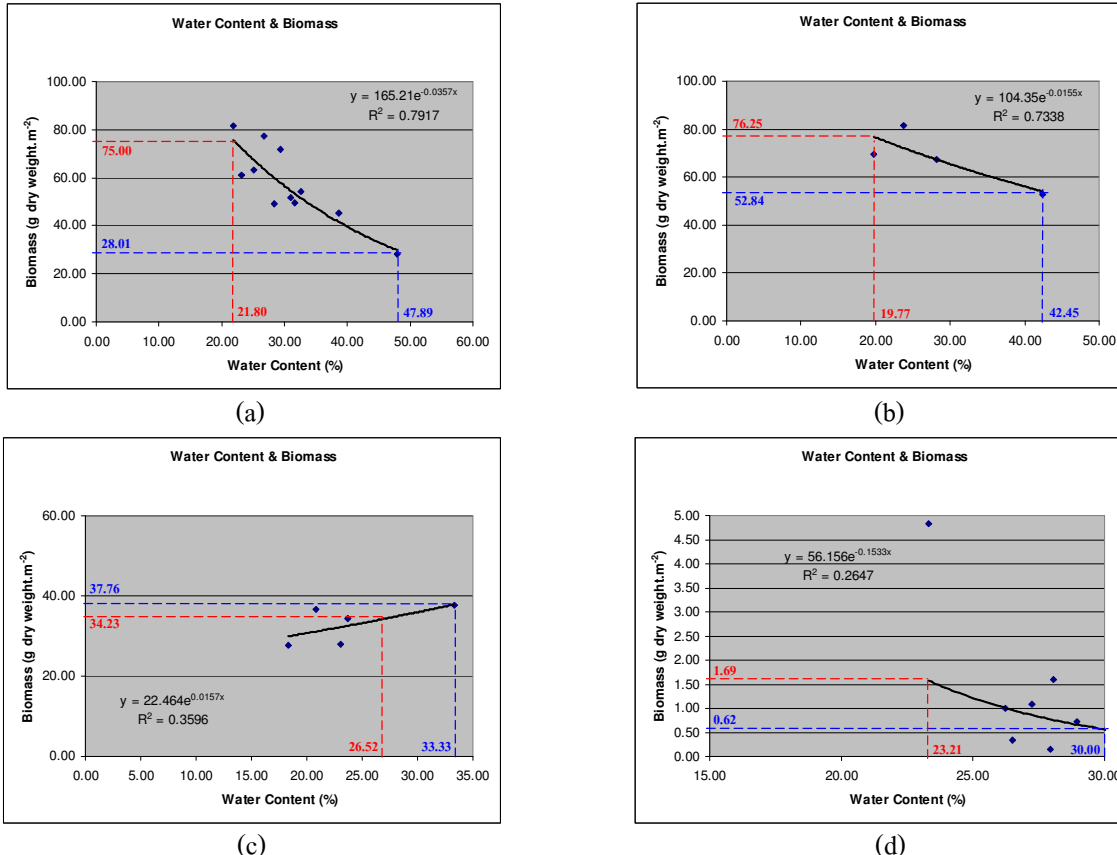
ภาพที่ 61 ความสัมพันธ์ระหว่างปริมาณแอมโมเนียม-ไนโตรเจนในน้ำทะเลที่ระดับความลึก 0-1 เมตร กับมวลชีวภาพของหญ้าทะเลชนิด *Enhalus acoroides* (a) *Halodule pinifolia* (b) *Halophila ovalis* (c) และ *Halophila decipiens* (d)



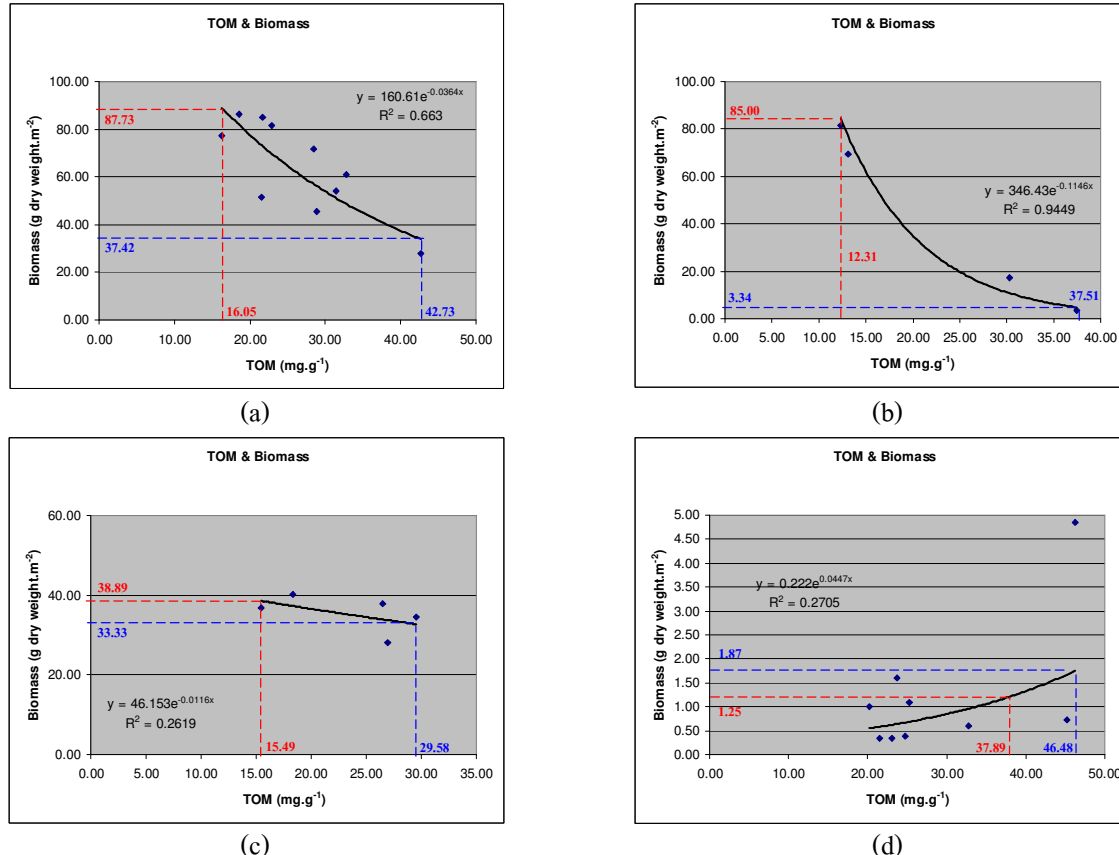
ภาพที่ 62 ความสัมพันธ์ระหว่างปริมาณซิลิกะ-ซิลิคอนในน้ำทะเลกับค่าดินตะกอน ที่ระดับความลึก 0-1 เมตร กับมวลชีวภาพของหญ้าทะเลชนิด *Enhalus acoroides* (a) *Halodule pinifolia* (b) *Halophila ovalis* (c) และ *Halophila decipiens* (d)



ภาพที่ 63 ความสัมพันธ์ระหว่างปริมาณออร์โธฟอสเฟต-ฟอสฟอรัสในน้ำทะเลกับ biomass ของ 4 สายพันธุ์ Halophila acoroides (a) *Halodule pinifolia* (b) *Halophila ovalis* (c) และ *Halophila decipiens* (d)

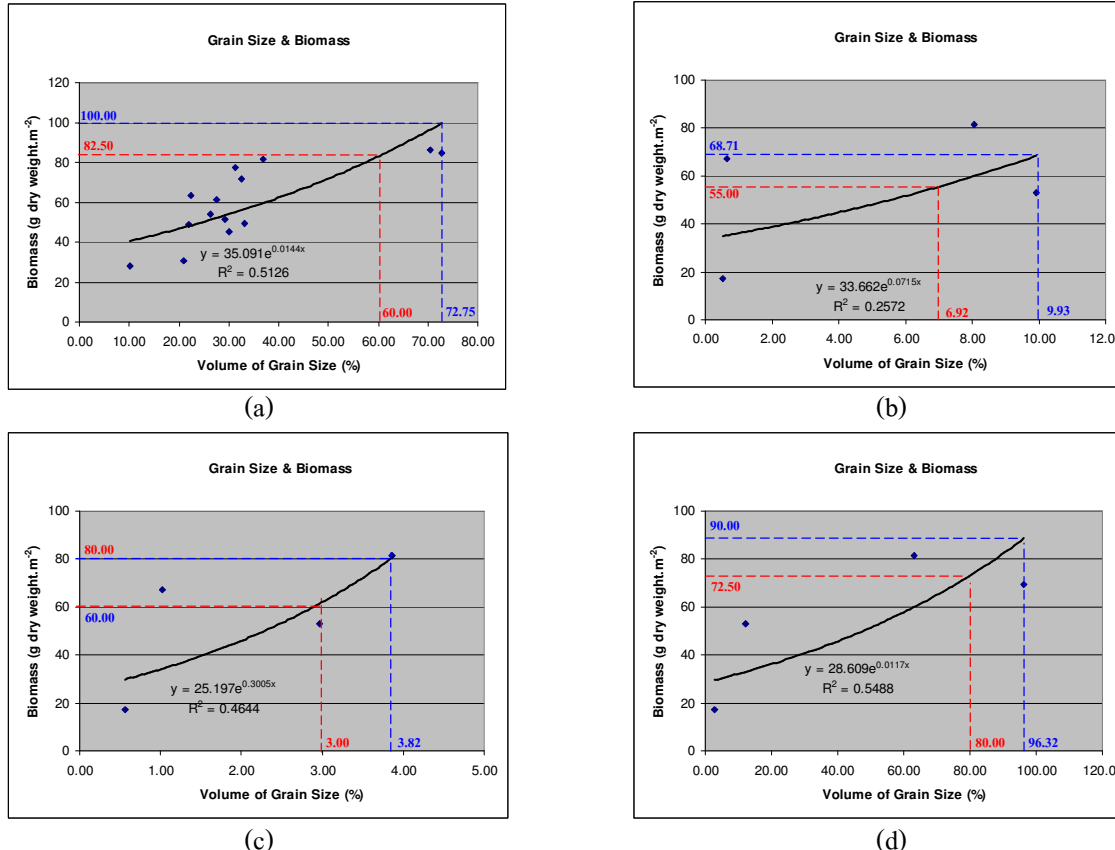


ภาพที่ 64 ความสัมพันธ์ระหว่างปริมาณน้ำในดินต่อกันที่ระดับความลึก 0-1 เมตรต่อกับมวลชีวภาพของหญ้าทะเลชนิด *Enhalus acoroides* (a) *Halodule pinifolia* (b) *Halophila ovalis* (c) และ *Halophila decipiens* (d)

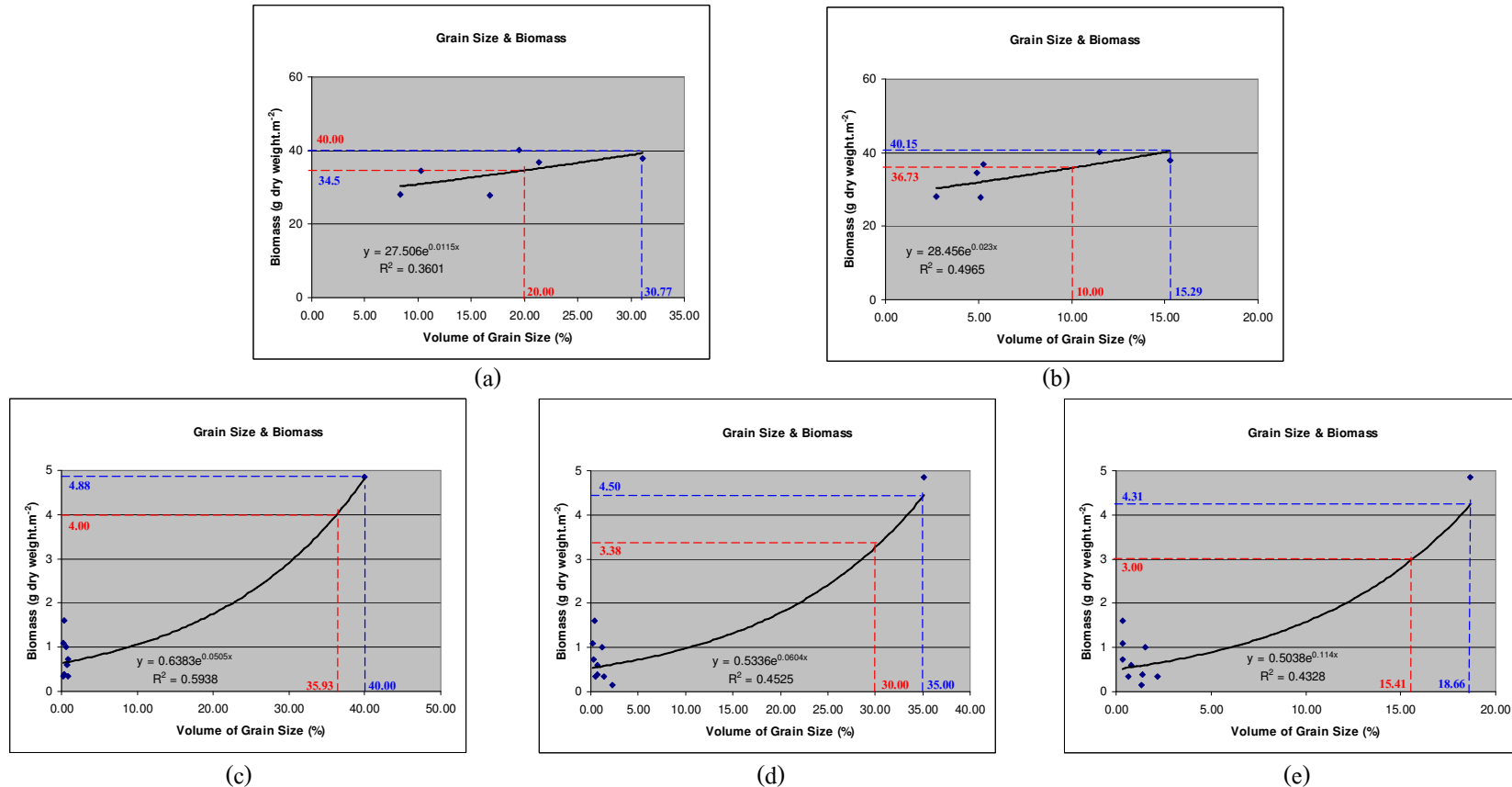


ภาพที่ 65 ความสัมพันธ์ระหว่างปริมาณสารอินทรีย์รวมในคินตะกอนที่ระดับความลึก 0-1 เมตร กับมวลชีวภาพของหญ้าทะเลชนิด *Enhalus acoroides*

(a) *Halodule pinifolia* (b) *Halophila ovalis* (c) และ *Halophila decipiens* (d)



ภาพที่ 66 ความสัมพันธ์ระหว่างปริมาณอนุภาคคิดต่อกันขนาดเล็กกว่า 63 ไมโครเมตร กับมวลชีวภาพของหญ้าทะเลชนิด *Enhalus acoroides* (a) หญ้าทะเลชนิด *Halodule pinifolia* ที่อนุภาคคิดต่อกันขนาดใหญ่กว่า 1,000 ไมโครเมตร (b) 500-1,000 ไมโครเมตร (c) และเล็กกว่า 63 ไมโครเมตร (d) ณ ระดับความลึก 0-5 เซนติเมตร



ภาพที่ 67 ความสัมพันธ์ระหว่างปริมาณอนุภาคคิดต่อกรองขนาด 125-250 ไมโครเมตร (a) และ 63-125 ไมโครเมตร (b) กับมวลชีวภาพของหญ้าทะเลชนิด *Halophila ovalis* และอนุภาคคิดต่อกรองขนาดใหญ่กว่า 1,000 ไมโครเมตร (c) 500-1,000 ไมโครเมตร (d) และ 250-500 ไมโครเมตร (e) กับมวลชีวภาพของหญ้าทะเลชนิด *Halophila decipiens* ณ ระดับความลึก 0-5 เมตร

6. การศึกษาข้อมูลทุติยภูมิต้านคุณภาพน้ำและดินตะกอน และมวลชีวภาพของหญ้าทะเล ในประเทศไทย

การศึกษาข้อมูลทุติยภูมิของแหล่งหญ้าทะเลในประเทศไทย ซึ่งเป็นชุดข้อมูลตั้งแต่ปี พ.ศ. 2531 ถึง 2548 จากการศึกษาในแหล่งหญ้าทะเลทั้งฝั่งอ่าวไทยและฝั่งทะเลอันดามันรวมทั้งสิ้น 8 บริเวณ ได้แก่ (1) บริเวณอ่าวบางพระ จังหวัดชลบุรี (จำลอง, 2546) (2) อ่าวคุ้งกระเบน จังหวัดชลบุรี (จิตติมา, 2535; บำรุงศักดิ์, 2544; ศุนย์ศึกษาระบบทดลอง, 2545; สุริย์พร, 2548) (3) ชายฝั่งจังหวัดสุราษฎร์ธานี (อัมรรัตน์, 2548) (4) หาดทุ่งนางคำ จังหวัดพังงา (Meksumpun and Meksumpun, 2003; Umezawa *et al.*, 2003) (5) อ่าวทับละมุ จังหวัดพังงา (กาญจนภานุรัตน์และคณะ, 2534; อัจฉริย์, 2536) (6) อ่าวพังงา จังหวัดพังงา (สมบัติ, 2531) (7) อ่าวท่าเลน จังหวัดยะลา (Monthum, 2006) (8) เกาะตะลิบง จังหวัดตรัง (Umezawa *et al.*, 2003) ซึ่งผลการศึกษาข้อมูลทุติยภูมิของแหล่งหญ้าทะเลในบริเวณที่กล่าวมาข้างต้น สามารถนำมาใช้ในการอธิบายช่วงความหนาแน่นของคุณภาพน้ำและดินตะกอนสำหรับการอยู่อาศัยของหญ้าทะเลในประเทศไทย ได้ดังนี้

6.1 ช่วงความหนาแน่นของคุณภาพน้ำต่อชนิดของหญ้าทะเล

6.1.1 ปริมาณธาตุอาหารในน้ำ ได้แก่ ความเข้มข้นของแอมโมเนียม-ในไตรเจน ในไตรท์-ในไตรเจน ในไตรท์-ในไตรเจน และօอร์โธฟอสเฟต-ฟอสฟอรัส ในน้ำตามแหล่งหญ้าทะเลชนิดต่าง ๆ (ตารางที่ 9) อธิบายได้ดังนี้

(1) แอมโมเนียม-ในไตรเจน ในบริเวณแหล่งหญ้าทะเลชนิด *Enhalus acoroides* และ *Halodule pinifolia* พบว่ามีความเข้มข้นอยู่ระหว่าง $nd\text{-}3.079 \mu\text{M}$ สำหรับแหล่งหญ้าทะเลชนิด *Halodule uninervis* *Halophila decipiens* และ *Halophila ovalis* มีความเข้มข้นอยู่ระหว่าง $0.400\text{-}1.000 \mu\text{M}$

(2) ในไตรท์-ในไตรเจน ในบริเวณแหล่งหญ้าทะเลชนิด *Enhalus acoroides* พบร่วมกับความเข้มข้นอยู่ระหว่าง $0.050\text{-}0.186 \mu\text{M}$ สำหรับแหล่งหญ้าทะเลชนิด *Halodule pinifolia* *Halodule uninervis* *Halophila decipiens* และ *Halophila ovalis* มีความเข้มข้นอยู่ระหว่าง $0.050\text{-}0.100 \mu\text{M}$

(3) ในเตรอ-ในโตรเจน ในบริเวณแหล่งหญ้าทะเลชนิด *Cymodocea serrulata* พบว่ามีความเข้มข้นอยู่ระหว่าง 0.001-0.670 μM และหญ้าทะเลชนิด *Enhalus acoroides* และ *Halodule pinifolia* มีความเข้มข้นอยู่ระหว่าง 0.001-8.286 μM และหญ้าทะเลชนิด *Halodule uninervis* และ *Halophila ovalis* มีความเข้มข้นอยู่ระหว่าง 0.001-5.400 μM ส่วนแหล่งหญ้าทะเลชนิด *Halophila decipiens* มีความเข้มข้นอยู่ระหว่าง 1.800-5.400 μM

(4) ออร์โซฟอสเฟต-ฟอสฟอรัส ในบริเวณแหล่งหญ้าทะเลชนิด *Cymodocea serrulata* *Enhalus acoroides* *Halodule pinifolia* และ *Halophila decipiens* พบว่ามีความเข้มข้นอยู่ระหว่าง 0.015-0.024 0.015-0.179 0.015-0.107 และ 0.020-0.070 ตามลำดับ μM ส่วนแหล่งหญ้าทะเลชนิด *Halodule uninervis* และ *Halophila valis* มีความเข้มข้นอยู่ระหว่าง 0.015-0.070 μM

6.1.2 คุณภาพน้ำอื่น ๆ ได้แก่ ความเค็ม อุณหภูมิ และความเป็นกรดเป็นด่างของน้ำทะเล (ตารางที่ 10) ในน้ำตามแหล่งหญ้าทะเลชนิดต่าง ๆ ซึ่งรายได้ดังนี้

(1) ความเค็ม ในบริเวณแหล่งหญ้าทะเลชนิด *Enhalus acoroides* และ *Halodule uninervis* พบว่า เป็นบริเวณที่มีความเค็มน้ำอยู่ระหว่าง 10.0-33.4 psu ส่วนบริเวณที่มีความเค็มน้ำอยู่ระหว่าง 15.0-33.0 10.0-35.0 26.2-33.4 และ 10.0-34.0 เป็นบริเวณแหล่งหญ้าทะเลชนิด *Cymodocea serrulata* *Halodule pinifolia* *Halophila decipiens* และ *Halophila ovalis* ตามลำดับ

(2) อุณหภูมิ ในบริเวณแหล่งหญ้าทะเลชนิด *Cymodocea serrulata* และ *Halophila decipiens* พบว่า มีอุณหภูมน้ำอยู่ระหว่าง 28.0-31.0 องศาเซลเซียส บริเวณแหล่งหญ้าทะเลชนิด *Enhalus acoroides* และ *Halodule pinifolia* มีอุณหภูมน้ำอยู่ระหว่าง 27.0-32.0 องศาเซลเซียส ส่วนแหล่งหญ้าทะเลชนิด *Halodule uninervis* และ *Halophila ovalis* มีอุณหภูมน้ำอยู่ระหว่าง 28.0-34.6 องศาเซลเซียส

6.2 ช่วงความเหมาะสมของคุณภาพดินตะกอนต่อชนิดของหญ้าทะเล

จากการศึกษาข้อมูลคุณภาพดินตะกอนที่เป็นแหล่งที่อยู่อาศัยของหญ้าทะเล ได้แก่ ปริมาณสารอินทรีย์รวมในดินตะกอน และขนาดอนุภาคดินตะกอน พนว่าปริมาณสารอินทรีย์รวม ในดินตะกอนบริเวณหญ้าทะเลชนิด *Cymodocea serrulata* *Enhalus acoroides* *Halodule pinifolia* และ *Halophila decipiens* จะมีค่าอยู่ระหว่าง 10.90-92.60 5.00-92.60 5.00-45.00 และ 5.00-51.20 มิลลิกรัมต่อกิโลกรัมน้ำหนักดินแห้งตามลำดับ (ตารางที่ 11) ในขณะที่บริเวณแหล่งหญ้าทะเลชนิด *Halodule uninervis* และ *Halophila ovalis* จะมีปริมาณสารอินทรีย์รวมในดินตะกอนเท่ากันคือ 2.60-92.60 มิลลิกรัมต่อกิโลกรัมน้ำหนักดินแห้ง ขณะที่ดินตะกอนส่วนใหญ่ในแหล่งหญ้าทะเลชนิด *Cymodocea serrulata* *Halodule pinifolia* และ *Halophila ovalis* จะมีขนาดอนุภาคอยู่ระหว่าง 63-250 ไมโครเมตร อยู่ประมาณร้อยละ 50-85 ส่วนแหล่งหญ้าทะเลชนิด *Enhalus acoroides* และ *Halophila decipiens* พนว่าจะมีอยู่ในดินตะกอนที่มีขนาดอนุภาคคละเอียดกว่า โดยดินตะกอนที่มีขนาดอนุภาคเล็กกว่า 63 ไมโครเมตร จะมีค่ามากกว่าร้อยละ 50 โดยประมาณ และสำหรับหญ้าทะเลชนิด *Halodule uninervis* จะมีอยู่ในบริเวณที่ดินตะกอนค่อนข้างหยาบกว่าชนิดอื่น ๆ คือมีขนาดตั้งแต่ 63-250 อยู่ระหว่างร้อยละ 47.57-59.13 (Monthum, 2006) ซึ่งค่อนข้างแตกต่างไปจากผลการวิเคราะห์ของ อัจฉริ์ (2536) ที่ดินตะกอนส่วนใหญ่จะมีอนุภาคคละเอียดกว่า คือมีขนาดตั้งแต่ 63-125 ไมโครเมตรอยู่ร้อยละ 50 โดยประมาณ (ตารางที่ 12)

นอกจากนี้ ข้อมูลในส่วนของปริมาณน้ำในดินตะกอนซึ่งพบรายงานโดย Meksumpun and Meksumpun (2003) บริเวณแหล่งหญ้าทะเลชนิด *Cymodocea serrulata* *Enhalus acoroides* *Halodule uninervis* และ *Halophila ovalis* จากหาดทุ่งนางคำ จังหวัดพังงา พนว่ามีค่าอยู่ระหว่างร้อยละ 21.34-32.07

6.3 มวลชีวภาพของหญ้าทะเล

มวลชีวภาพของหญ้าทะเล (ตารางที่ 13) ซึ่งมีความอุดมสมบูรณ์อยู่ภายใต้คุณภาพดินที่ดินตะกอนดังที่ได้กล่าวมาข้างต้น พนว่า หญ้าทะเลชนิด *Cymodocea serrulata* *Enhalus acoroides* *Halodule pinifolia* *Halodule uninervis* และ *Halophila ovalis* จากข้อมูลจำนวน 24 59 52 24 และ 27 ข้อมูล แสดงมวลชีวภาพอยู่ระหว่าง 0.73-384.28 65.86-868.88 3.80-337.96 1.68-375.56 และ 0.28-181.24 กรัมน้ำหนักแห้งต่อตารางเมตร ตามลำดับ

ตารางที่ 9 ช่วงของความเข้มข้นของชาตออาหาร ในน้ำที่หญ้าทะเลแต่ละชนิดอาศัยอยู่ได้

ชนิดหญ้าทะเล	$\text{NH}_4^+ \text{-N}$	จำนวนซ้อมูล	$\text{NO}_2^- \text{-N}$	จำนวนซ้อมูล	$\text{NO}_3^- \text{-N}$	จำนวนซ้อมูล	$\text{PO}_4^{3-} \text{-P}$	จำนวนซ้อมูล	สถานที่	ปีที่ทำการศึกษา	ที่มา
	(μM)	(μM)	(μM)	(μM)							
<i>Cymodocea serrulata</i>	-	-	-	-	0.001-0.067	9	0.015-0.024	9	อ่าวทับกระมุ จ.พังงา	2532-2534	กาญจนกากานน์และคณะ (2534)
	-	-	-	-	0.001-0.670	9	0.015-0.024	9	อ่าวทับกระมุ จ.พังงา	2533-2534	อัจฉริย์ (2536)
ช่วงการอุดอตทึบ	-	-	-	-	0.001-0.670	18	0.015-0.024	18			
<i>Enhalus acoroides</i>	0.400-1.000	2	0.050-0.100	2	1.800-5.400	2	0.020-0.070	2	เกาะตะลิบง จ.ตรัง	2544	Umezawa <i>et al.</i> (2003)
	-	-	-	-	0.001-0.670	9	0.015-0.024	9	อ่าวทับกระมุ จ.พังงา	2532-2534	กาญจนกากานน์และคณะ (2534)
	2.200	1	0.186	1	8.286	1	0.179	1	อ่าวคุ้งกระเบน จ.จันทบุรี	2544	ศูนย์ศึกษาการพัฒนาอ่าวคุ้งกระเบน (2545)
ช่วงการอุดอตทึบ	nd-3.079	10	-	-	0.071-4.007	12	nd-0.107	12	อ่าวคุ้งกระเบน จ.จันทบุรี	2545-2546	สุริชพ (2548)
	-	-	-	-	0.001-0.670	9	0.015-0.024	9	อ่าวทับกระมุ จ.พังงา	2533-2534	อัจฉริย์ (2536)
	nd-3.079	13	0.050-0.186	3	0.001-8.286	33	0.015-0.179	33			
<i>Halodule pinifolia</i>	0.400-1.000	2	0.050-0.100	2	1.800-5.400	2	0.020-0.070	2	เกาะตะลิบง จ.ตรัง	2544	Umezawa <i>et al.</i> (2003)
	-	-	-	-	0.001-0.670	9	0.015-0.024	9	อ่าวทับกระมุ จ.พังงา	2532-2534	กาญจนกากานน์และคณะ (2534)
	nd-3.079	12	-	-	0.071-4.007	12	nd-0.107	12	อ่าวคุ้งกระเบน จ.จันทบุรี	2545-2546	สุริชพ (2548)
	-	-	-	-	0.001-0.670	9	0.015-0.024	9	อ่าวทับกระมุ จ.พังงา	2533-2534	อัจฉริย์ (2536)
ช่วงการอุดอตทึบ	nd-3.079	14	0.050-0.100	2	0.001-8.286	32	0.015-0.107	32			

ตารางที่ 9 (ต่อ)

ชนิดหญ้าทะเล	$\text{NO}_4^+ \text{-N}$	จำนวนชื่อเมล	$\text{NO}_2^- \text{-N}$	จำนวนชื่อเมล	$\text{NO}_3^- \text{-N}$	จำนวนชื่อเมล	$\text{PO}_4^{3-} \text{-P}$	จำนวนชื่อเมล	สถานที่	ปีที่ทำการศึกษา	ที่มา
	(μM)		(μM)		(μM)		(μM)				
	0.400-1.000	2	0.050-0.100	2	1.800-5.400	2	0.020-0.070	2	เกาะตะคิบง จ.ตรัง	2544	Umezawa <i>et al.</i> (2003)
<i>Halodule uninervis</i>	-	-	-	-	0.001-0.670	9	0.015-0.024	9	อ่าวทับกระนุ จ.พังงา	2532-2534	กานูญนภาชน์และกมธ (2534)
	-	-	-	-	0.001-0.670	9	0.015-0.024	9	อ่าวทับกระนุ จ.พังงา	2533-2534	อัจฉริย์ (2536)
ช่วงการอุดอทรัพย์	0.400-1.000	2	0.050-0.100	2	0.001-5.400	20	0.015-0.070	20			
<i>Halophila decipiens</i>	0.400-1.000	2	0.050-0.100	2	1.800-5.400	2	0.020-0.070	2	เกาะตะคิบง จ.ตรัง	2544	Umezawa <i>et al.</i> (2003)
ช่วงความเหมาะสม	0.400-1.000	2	0.050-0.100	2	1.800-5.400	2	0.020-0.070	2			
	0.400-1.000	2	0.050-0.100	2	1.800-5.400	2	0.020-0.070	2	เกาะตะคิบง จ.ตรัง	2544	Umezawa <i>et al.</i> (2003)
<i>Halophila ovalis</i>	-	-	-	-	0.001-0.670	9	0.015-0.024	9	อ่าวทับกระนุ จ.พังงา	2532-2534	กานูญนภาชน์และกมธ (2534)
	-	-	-	-	0.001-0.670	9	0.015-0.024	9	อ่าวทับกระนุ จ.พังงา	2533-2534	อัจฉริย์ (2536)
ช่วงการอุดอทรัพย์	0.400-1.000	2	0.050-0.100	2	0.001-5.400	20	0.015-0.070	20			

ตารางที่ 10 ช่วงของความเค็มและอุณหภูมิที่หญ้าทะเลแต่ละชนิดอาศัยอยู่ได้

ชนิดหญ้าทะเล	ความเค็ม	จำนวนข้อมูล	อุณหภูมิ	จำนวนข้อมูล	สถานที่	ปีที่ทำการศึกษา	ที่มา
	(psu)		(°C)				
<i>Cymodocea serrulata</i>	15.0-30.0	9	28.0-31.0	9	อ่าวทับกระนุ จ.พัท蹬ฯ	2533-2534	อัจฉริ์ (2536)
	15.0-30.0	9	28.0-31.0	9	อ่าวทับกระนุ จ.พัท蹬ฯ	2532-2534	ภาณุจันกากานน์และคณะ (2534)
	28.0-32.0	6	-	-	หาดทุ่งนางคำ จ.พัท蹬ฯ	2544	Umezawa et al. (2003)
	32.0-33.0	2	29.7-31.0	2	หาดทุ่งนางคำ จ.พัท蹬ฯ	2544-2545	Meksumpun and Meksumpun (2003)
ช่วงการอุดอั้น	15.0-33.0	26	28.0-31.0	20			
<i>Enhalus acoroides</i>	32.9-33.4	2	28.0-31.0	2	อ่าวกุ้งกระเบน จ.จันทบุรี	2535	จิตติมา (2535)
	15.0-30.0	9	28.0-31.0	9	อ่าวทับกระนุ จ.พัท蹬ฯ	2533-2534	อัจฉริ์ (2536)
	15.0-30.0	9	28.0-31.0	9	อ่าวทับกระนุ จ.พัท蹬ฯ	2532-2534	ภาณุจันกากานน์และคณะ (2534)
	26.2-32.9	8	29.1-30.3	10	อ่าวกุ้งกระเบน จ.จันทบุรี	2537-2541	น้ำรุ่งศักดิ์ (2544)
	28.0-32.0	2	29.0-32.0	2	จังหวัดสุราษฎร์ธานี	2547-2548	พัชรา (2548)
	29.4	1	27.9	1	อ่าวกุ้งกระเบน จ.จันทบุรี	2544	ศูนย์ศึกษาการพัฒนาอ่าวกุ้งกระเบน (2545)
	28.0-32.0	6	-	-	หาดทุ่งนางคำ จ.พัท蹬ฯ	2544	Umezawa et al. (2003)
	32.0-33.0	2	29.7-31.0	2	หาดทุ่งนางคำ จ.พัท蹬ฯ	2544-2545	Meksumpun and Meksumpun (2003)
	10.0-30.0	3	-	-	เกาะตะคิบง จ.ศรีสะเกษ	2544	Umezawa et al. (2003)

ตารางที่ 10 (ต่อ)

ชนิดหญ้าทะเล	ความดัน	จำนวนข้อมูล	อุณหภูมิ	จำนวนข้อมูล	สถานที่	ปีที่ทำการศึกษา	ที่มา
	(psu)		(°C)				
<i>Enhalus acoroides</i>	-	-	27.0-31.0	12	อ่าวคุ้งกระเบน จ.จันทบุรี	2545-2546	ศรีชัยพร (2548)
ช่วงการอุ่น możli	10.0-33.4	42	27.0-32.0	47			
	32.9-33.4	2	28.0-31.0	2	อ่าวคุ้งกระเบน จ.จันทบุรี	2535	จิตติมา (2535)
	30.0-35.0	12	27.0-31.0	12	อ่าวคุ้งกระเบน จ.จันทบุรี	2545-2546	ศรีชัยพร (2548)
	15.0-30.0	9	28.0-31.0	9	อ่าวทับกระນ จ.พังงา	2533-2534	อัจฉริ์ (2536)
<i>Halodule pinifolia</i>	15.0-30.0	9	28.0-31.0	9	อ่าวทับกระນ จ.พังงา	2532-2534	กานุจันภากานน์และคณะ (2534)
	28.0-32.0	2	29.0-32.0	2	จังหวัดสุราษฎร์ธานี	2547-2548	ณัฐาดี (2548)
	29.4	1	27.9	1	อ่าวคุ้งกระเบน จ.จันทบุรี	2544	ศูนย์ศึกษาการพัฒนาอ่าวคุ้งกระเบน (2545)
	10.0-30.0	3	-	-	เกาะตะคิบง จ.ตรัง	2544	Umezawa <i>et al.</i> (2003)
ช่วงการอุ่น możli	10.0-35.0	38	27.0-32.0	35			
	15.0-30.0	9	28.0-31.0	9	อ่าวทับกระນ จ.พังงา	2533-2534	อัจฉริ์ (2536)
	15.0-30.0	9	28.0-31.0	9	อ่าวทับกระນ จ.พังงา	2532-2534	กานุจันภากานน์และคณะ (2534)
<i>Halodule uninervis</i>	28.0-32.0	2	29.0-32.0	2	จังหวัดสุราษฎร์ธานี	2547-2548	ณัฐาดี (2548)
	31.5-32.7	8	32.2-34.6	8	อ่าวท่าเคน จ.กรุงเทพฯ	2545	Monthum (2006)

ตารางที่ 10 (ต่อ)

ชนิดหญ้าทะเล	ความเรื้น	จำนวนข้อมูล	อุณหภูมิ	จำนวนข้อมูล	สถานที่	ปีที่ทำการศึกษา	ที่มา
	(psu)		(°C)				
	28.0-32.0	6	-	-	หาดทุ่งนางค์ จ.พังงา	2544	Umezawa <i>et al.</i> (2003)
<i>Halodule uninervis</i>	32.0-33.0	2	29.7-31.0	2	หาดทุ่งนางค์ จ.พังงา	2544-2545	Meksumpun and Meksumpun (2003)
	10.0-30.0	3	-	-	เกาะตะลิบง จ.ตรัง	2544	Umezawa <i>et al.</i> (2003)
ช่วงการอื้อชาเขียว	10.0-33.0	39	28.0-34.6	30			
	32.9-33.4	2	28.0-31.0	2	อ่าวคุ้งกระเบน จ.จันทบุรี	2535	จิตติมา (2535)
<i>Halophila decipiens</i>	26.2-32.9	4	29.1-30.3	5	อ่าวคุ้งกระเบน จ.จันทบุรี	2537-2541	นำรุ่งศักดิ์ (2544)
	28.0-32.0	2	29.0-32.0	2	จังหวัดสุราษฎร์ธานี	2547-2548	ณัฐวัต (2548)
	29.4	1	27.9	1	อ่าวคุ้งกระเบน จ.จันทบุรี	2544	ศูนย์ศึกษาการพัฒนาอ่าวคุ้งกระเบน (2545)
ช่วงการอื้อชาเขียว	26.2-33.4	11	27.9-32.0	10			
	33.0-34.0	3	30.0-34.0	4	อ่าวบางพระ จ.ชลบุรี	2546	จ้าดอง (2546)
	15.0-30.0	9	28.0-31.0	9	อ่าวทับละมุ จ.พังงา	2533-2534	อัจฉริย์ (2536)
<i>Halophila ovalis</i>	15.0-30.0	9	28.0-31.0	9	อ่าวทับละมุ จ.พังงา	2532-2534	ศูนย์งานภาชนะและคอมพะ (2534)
	28.0-32.0	2	29.0-32.0	2	จังหวัดสุราษฎร์ธานี	2547-2548	ณัฐวัต (2548)
	31.5-32.7	8	32.2-34.6	8	อ่าวท่าเด่น จ.กรุงเทพฯ	2545	Monthum (2006)

ตารางที่ 10 (ต่อ)

ชนิดหญ้าทะเล	ความเค็ม	จำนวนข้อมูล	อุณหภูมิ	จำนวนข้อมูล	สถานที่	ปีที่ทำการศึกษา	ที่มา
	(psu)		(°C)				
	28.0-32.0	6	-	-	หาดทุ่งนางค์ จ.พัทฯ	2544	Umezawa <i>et al.</i> (2003)
<i>Halophila ovalis</i>	32.0-33.0	2	29.7-31.0	2	หาดทุ่งนางค์ จ.พัทฯ	2544-2545	Meksumpun and Meksumpun (2003)
	10.0-30.0	3	-	-	เกาะตะลิบง จ.ครรช.	2544	Umezawa <i>et al.</i> (2003)
ช่วงการอุด/oak	10.0-34.0	42	28.0-34.6	34			

ตารางที่ 11 ช่วงปริมาณสารอินทรีย์รวมในดินตะกอนที่หญ้าทะเลแต่ละชนิดอาศัยอยู่ได้

ชนิดหญ้าทะเล	สารอินทรีย์ในดินตะกอน	จำนวนข้อมูล	สถานที่	ปีที่ทำการศึกษา	ที่มา
	(mg.g ⁻¹)				
<i>Cymodocea serrulata</i>	10.90-92.60	30	อ่าวพังงา จ.พังงา	2531	สมบัติ (2531)
	17.20	1	อ่าวทับลະมุ จ.พังงา	2533-2534	อัจฉริย์ (2536)
ช่วงการอุดอ่าตื้ย	10.90-92.60	31			
<i>Enhalus acoroides</i>	8.00-42.00	109	อ่าวคุ้งกระเบน จ.จันทบุรี	2535	จิตติมา (2535)
	10.90-92.60	30	อ่าวพังงา จ.พังงา	2531	สมบัติ (2531)
	10.30-51.20	34	อ่าวคุ้งกระเบน จ.จันทบุรี	2537-2541	บำรุงศักดิ์ (2544)
	5.00-45.00	5	อ่าวคุ้งกระเบน จ.จันทบุรี	2544	ศูนย์ศึกษาการพัฒนาอ่าวคุ้งกระเบน (2545)
ช่วงการอุดอ่าตื้ย	5.00-92.60	178			
<i>Halodule pinifolia</i>	8.00-32.00	113	อ่าวคุ้งกระเบน จ.จันทบุรี	2535	จิตติมา (2535)
	18.40	1	อ่าวทับลະมุ จ.พังงา	2533-2534	อัจฉริย์ (2536)
	5.00-45.00	5	อ่าวคุ้งกระเบน จ.จันทบุรี	2544	ศูนย์ศึกษาการพัฒนาอ่าวคุ้งกระเบน (2545)
	5.00-45.00	119			
<i>Halodule uninervis</i>	10.90-92.60	30	อ่าวพังงา จ.พังงา	2531	สมบัติ (2531)
	14.40	1	อ่าวทับลະมุ จ.พังงา	2533-2534	อัจฉริย์ (2536)
	2.60-6.20	8	อ่าวท่าเลน จ.กระน้ำ	2545	Monthum (2006)
	2.60-92.60	39			
<i>Halophila decipiens</i>	8.00-32.00	113	อ่าวคุ้งกระเบน จ.จันทบุรี	2535	จิตติมา (2535)
	10.30-51.20	34	อ่าวคุ้งกระเบน จ.จันทบุรี	2537-2541	บำรุงศักดิ์ (2544)
	5.00-45.00	5	อ่าวคุ้งกระเบน จ.จันทบุรี	2544	ศูนย์ศึกษาการพัฒนาอ่าวคุ้งกระเบน (2545)
	5.00-51.20	152			
<i>Halophila ovalis</i>	10.90-92.60	30	อ่าวพังงา จ.พังงา	2531	สมบัติ (2531)
	19.70	1	อ่าวทับลະมุ จ.พังงา	2533-2534	อัจฉริย์ (2536)
	2.60-6.20	8	อ่าวท่าเลน จ.กระน้ำ	2545	Monthum (2006)
	2.60-92.60	39			

ตารางที่ 12 องค์ประกอบดินตะกอนบริเวณแหล่งหญ้าทะเลแต่ละชนิด

ชนิดหญ้าทะเล	ปริมาณดินตะกอน (ร้อยละ) ตามขนาด (ไมโครเมตร)						สถานที่	ปีที่ทำการศึกษา	ที่มา
	>1000	500-1000	250-500	125-250	63-125	<63			
<i>Cymodocea serrulata</i>	1.00	3.00	7.00	41.00	43.00	4.00	อ่าวทับกระมุ จ.พัชรฯ	2533-2534	อัจฉริย์ (2536)
<i>Enhalus acoroides</i>	1.00	7.00	13.0	39.00	40.00	1.00	อ่าวทับกระมุ จ.พัชรฯ	2533-2534	อัจฉริย์ (2536)
	1.84-11.67	2.26-5.18	3.44-9.53	8.63-36.85	23.63-47.09	19.19-55.46	อ่าวคุ้งกระเบน จ.จันทบุรี	2537-2541	นำรุ่งศักดิ์ (2544)
<i>Halodule wrightii</i>	1.00	4.00	9.00	39.00	46.00	1.00	อ่าวทับกระมุ จ.พัชรฯ	2533-2534	อัจฉริย์ (2536)
<i>Halodule uninervis</i>	1.00	6.00	7.00	35.00	50.00	1.00	อ่าวทับกระมุ จ.พัชรฯ	2533-2534	อัจฉริย์ (2536)
	1.50-4.40	6.07-6.80	18.60-24.30	47.57-59.13	3.57-6.23	4.03-7.87	อ่าวท่าเลน จ.กรุงเทพฯ	2545	Monthum (2006)
<i>Halophila decipiens</i>	1.84-11.67	2.26-5.18	3.44-9.53	8.63-36.85	23.63-47.09	19.19-55.46	อ่าวคุ้งกระเบน จ.จันทบุรี	2537-2541	นำรุ่งศักดิ์ (2544)
<i>Halophila ovalis</i>	1.00	3.00	5.00	40.00	49.00	2.00	อ่าวทับกระมุ จ.พัชรฯ	2533-2534	อัจฉริย์ (2536)
	4.90-18.17	4.47-5.63	9.37-10.53	42.27-47.07	14.53-16.33	4.33-8.83	อ่าวท่าเลน จ.กรุงเทพฯ	2545	Monthum (2006)

ตารางที่ 13 มูลค่าข้าวของหญ้าทะเลที่พบในประเทศไทยตั้งแต่ปี พ.ศ. 2531-2546

ชนิดหญ้าทะเล	มวลข้าวภาพ (g.m ⁻²)	จำนวนตัวอย่าง	สถานที่	ปีที่ทำการศึกษา	ที่มา
<i>Cymodocea serrulata</i>	6.00-384.28	13	อ่าวทับกระมุ จ.พังงา	2532-2534	กากูจันภาชันและคอมม (2534)
	0.73	1	อ่าวพังงา จ.พังงา	2531	สมบัติ (2531)
	6.00-384.28	10	อ่าวทับกระมุ จ.พังงา	2533-2534	อัจฉริย์ (2536)
ช่วงมวลข้าวภาพ	0.73-384.28	24			
<i>Enhalus acoroides</i>	65.86-223.40	2	อ่าวพังงา จ.พังงา	2531	สมบัติ (2531)
	146.16-810.16	12	อ่าวทับกระมุ จ.พังงา	2532-2534	กากูจันภาชันและคอมม (2534)
	146.16-810.16	10	อ่าวทับกระมุ จ.พังงา	2533-2534	อัจฉริย์ (2536)
	105.10-144.00	3	อ่าวกุ้งกระเบน จ.จันทบุรี	2535	จิตคิม (2535)
	827.00	1	อ่าวกุ้งกระเบน จ.จันทบุรี	2538-2539	Vichkovitten (1998)
	121.22-868.88	31	อ่าวกุ้งกระเบน จ.จันทบุรี	2545-2546	สุรีชพ (2548)
ช่วงมวลข้าวภาพ	65.86-868.88	59			
<i>Halodule pinifolia</i>	4.84-327.96	13	อ่าวทับกระมุ จ.พังงา	2532-2534	กากูจันภาชันและคอมม (2534)
	3.80-42.00	8	อ่าวกุ้งกระเบน จ.จันทบุรี	2535	จิตคิม (2535)
	4.98-337.76	31	อ่าวกุ้งกระเบน จ.จันทบุรี	2545-2546	สุรีชพ (2548)
ช่วงมวลข้าวภาพ	3.80-327.96	52			

ตารางที่ 13 (ต่อ)

ชนิดพืชทั่วไป	มวลชีวภาพ (g.m^{-2})	จำนวนตัวอย่าง	สถานที่	ปีที่ทำการศึกษา	ที่มา
<i>Halodule uninervis</i>	1.68-375.56	13	อ่าวทับกระมุ จ.พังงา	2532-2534	ภาณุชนกภาชนะและคณะ (2534)
	169.20	1	อ่าวพังงา จ.พังงา	2531	สมบัติ (2531)
	6.40-242.80	10	อ่าวทับกระมุ จ.พังงา	2533-2534	อัจฉริ์ (2536)
ช่วงมวลชีวภาพ	1.68-375.56	24			
<i>Halophila ovalis</i>	0.28-181.24	12	อ่าวทับกระมุ จ.พังงา	2532-2534	ภาณุชนกภาชนะและคณะ (2534)
	1.52-113.60	2	อ่าวบางพระ จ.ชลบุรี	2546	ชาติ (2546)
	14.1-181.24	4	อ่าวพังงา จ.พังงา	2531	สมบัติ (2531)
	3.40-73.24	9	อ่าวทับกระมุ จ.พังงา	2533-2534	อัจฉริ์ (2536)
ช่วงมวลชีวภาพ	0.28-181.24	27			

วิจารณ์ผลการศึกษา

1. ลักษณะทั่วไปของพื้นที่ ชนิดและการกระจายตัวของหญ้าทะเลในพื้นที่ศึกษา

แหล่งหญ้าทะเลที่ทำการศึกษาคุณภาพน้ำและคืนตะกอน ทั้งในบริเวณชายฝั่งทะเลอ่าวไทย และชายฝั่งทะเลอันดามัน ตลอดระยะเวลาทำการศึกษา 10 เดือน ตั้งแต่เดือนเมษายน พ.ศ. 2548 ถึงเดือนกรกฎาคม พ.ศ. 2549 มีอยู่ด้วยกัน 4 พื้นที่ คือ พื้นที่ที่ 1 อ่าวคุ้งกระเบน จังหวัดจันทบุรี พื้นที่ที่ 2 บริเวณหมู่เกาะช้าง จังหวัดตราด พื้นที่ที่ 3 เกาะจง จังหวัดพังงา และ พื้นที่ที่ 4 บริเวณเกาะลันตา ใหญ่ จังหวัดกระบี่ พบหญ้าทะเลทั้งสิ้น 4 สกุล 6 ชนิด ได้แก่ *Enhalus acoroides* *Halodule pinifolia* *Halodule uninervis* *Halophila ovalis* *Halophila decipiens* และ *Cymodocea serrulata* จากทั้งหมดหญ้าทะเลที่พบในประเทศไทยซึ่งกาญจนภานุนและคณะ (2534) รายงานว่า มีทั้งสิ้น 7 สกุล 12 ชนิด ได้แก่ *Halophila ovalis* *Halodule uninervis* *Enhalus acoroides* *Halodule pinifolia* *Halophila beccarii* *Thalassia hemprichii* *Cymodocea rotundata* *Halophila decipiens* *Cymodocea serrulata* *Syringodium isoetifolium* *Ruppia maritima* และ *Halophila minor* ซึ่งนับว่า การศึกษาคุณภาพน้ำและคุณภาพดินตะกอนกับชนิดของหญ้าทะเลในครั้งนี้ สามารถใช้เป็นตัวแทนได้ถึงร้อยละ 50 ของชนิดหญ้าทะเลทั้งหมดที่พบได้ในประเทศไทย

จากการสำรวจแหล่งหญ้าทะเลบริเวณอ่าวคุ้งกระเบนในเดือนกันยายน พ.ศ. 2548 พบหญ้าทะเล 2 ชนิด คือ *Enhalus acoroides* และ *Halodule pinifolia* ซึ่งหญ้าทะเลทั้ง 2 ชนิด พบขึ้นอยู่ทั่วไปในบริเวณอ่าว ยกเว้นบริเวณร่องน้ำและปากคลองไก้แล้วป่าชายเลน ขณะที่จิตติมา (2535) ได้ทำการสำรวจในช่วงเดือนมีนาคมถึงพฤษภาคม พ.ศ. 2535 รายงานว่า พบหญ้าทะเลทั้งสิ้น 4 ชนิด ได้แก่ *Enhalus acoroides* *Halodule pinifolia* *Halophila minor* และ *Halophila decipiens* โดยชนิด *Enhalus acoroides* และ *Halodule pinifolia* เป็นชนิดหลักที่พบทั่วไปในบริเวณอ่าว

หญ้าทะเลชนิด *Enhalus acoroides* ส่วนใหญ่จะขึ้นปกคลุมพื้นที่ทางตอนใต้ของอ่าวคุ้งกระเบนมีลักษณะเป็นพื้นขนาด 10x25 ตารางเมตร โดยประมาณ และมีหญ้าทะเลชนิด *Halodule pinifolia* ขึ้นปะปนอยู่เล็กน้อย ส่วนบริเวณตอนบนของอ่าว พบหญ้าทะเลชนิด *Halodule pinifolia* เป็นชนิดเด่นและขึ้นปกคลุมหนาแน่นทั่วทั้งบริเวณ และพบหญ้าทะเลชนิด *Enhalus acoroides* ขึ้นปะปนในบริเวณที่เป็นแอ่งน้ำข้างหาดประมาณ 2x5 ตารางเมตร นอกจากนี้ ความแตกต่างของ

ลักษณะทางกายภาพของพื้นที่ที่เห็นได้ชัดจากการกระจายตัวของหญ้าทะเล คือ พื้นที่ตอนบนของอ่าวส่วนใหญ่มีลักษณะเป็นแอ่งน้ำข้าง และมีร่องน้ำขนาดเล็กกว้างประมาณ 5-15 เมตร ให้พอด้านออกจากการแหนป่าชายเลน 5 สาย สันดอนบริเวณแหล่งหญ้าทะเลจะมีระดับต่ำกว่าสันดอนทางตอนใต้ ซึ่งสังเกตุได้จากช่วงเวลาหน้าขึ้นและลง ดินตะกอนมีลักษณะละเอียด สีเข้ม มีการ詹ตัวมากกว่าพื้นที่ทางตอนใต้ของอ่าว ส่วนพื้นที่ตอนใต้ของอ่าว ส่วนใหญ่จะเป็นสันดอนทรากขนาดใหญ่ต่อเนื่องกันและอยู่ในระดับสูงกว่าพื้นที่ทางตอนบน มีพื้นที่ร่องน้ำ 2 สาย แต่เป็นร่องน้ำที่มีขนาดใหญ่ (ความกว้างมากกว่า 20 เมตร) พอด้านจากแนวป่าชายเลนฝั่งตะวันออกและตะวันตก เนียงได้

จากจำนวนร่องน้ำที่พอด้านแนวหญ้าทะเลทั้งหมดนั้น เป็นร่องน้ำที่รองรับน้ำจากคลองธรรมชาติ และคลองระบายน้ำจากการเลี้ยงกุ้งกุลาดำ ซึ่งบำรุงศักดิ์ (2544) ได้รายงานจำนวนคลองธรรมชาติ และคลองระบายน้ำจากการเลี้ยงกุ้งกุลาดำ มีจำนวน 8 และ 4 คลองตามลำดับ โดยคลองทั้งหมดที่ให้ลงสู่อ่าวคุ้งกระเบนนี้ นอกจากจะรองรับน้ำทึบจากการเพาะเลี้ยงแล้ว ยังรองรับน้ำทึบจากชุมชนอีกด้วย

จากความแตกต่างของสภาพภูมิประเทศที่แตกต่างกันภายในอ่าวคุ้งกระเบนที่กล่าวมาข้างต้น ส่งผลให้คุณภาพน้ำและดินตะกอนในแต่ละบริเวณมีความแตกต่างกัน เมื่อพิจารณาการแพร่กระจายของปริมาณแอมโมเนียม-ไนโตรเจนและค่าความเค็มในน้ำ (ภาพที่ 68-a และ 68-b) จะเห็นได้ว่า ปริมาณแอมโมเนียม-ไนโตรเจนในน้ำจะมีค่ามากทางตอนใต้ของอ่าวโดยเฉพาะบริเวณปากคลองด้านทิศตะวันตกเฉียงใต้ซึ่งเป็นคลองที่มีขนาดใหญ่สุด ประกอบกับค่าความเค็มในน้ำซึ่งมีค่าต่ำสุดบริเวณเดียวกัน กล่าวได้ว่า แหล่งของชาต้อหารในน้ำมาจากการที่เกิดขึ้นบนแผ่นดิน และระบายน้ำตามลำคลองลงสู่อ่าว จึงทำให้คุณภาพน้ำมีความแตกต่างภายในพื้นที่นอกจากนี้ เมื่อพิจารณาการกระจายตัวของปริมาณแอมโมเนียม-ไนโตรเจนในน้ำระหว่างอนุภาคดินตะกอน (ภาพที่ 68-c และ 68-d) แล้ว สังเกตุได้ว่า บริเวณตอนบนของอ่าวมีปริมาณแอมโมเนียม-ไนโตรเจนในน้ำระหว่างอนุภาคดินตะกอนมากกว่าทางตอนใต้ ซึ่งชี้ให้เห็นว่า คุณภาพของดินตะกอนมีความแตกต่างกันภายในพื้นที่ เมื่อคุณภาพน้ำและดินตะกอนมีความแตกต่างกันแล้ว จึงส่งผลให้การเจริญเติบโตของหญ้าทะเลมีความแตกต่างกันด้วย ซึ่งแสดงให้เห็นได้ดังแสดงในภาพที่ 68-e และ 68-f พบว่ามวลชีวภาพของหญ้าทะเลชนิด *Enhalus acoroides* และ *Halodule pinifolia* มีค่ามากบริเวณตอนบนของอ่าว

อย่างไรก็ตาม จากภาพที่ 68 จะเห็นได้ว่าการแพร่กระจายของปริมาณแอมโมเนียม-ไนโตรเจนในน้ำมีพิศทางตรงข้ามกับปริมาณแอมโมเนียม-ไนโตรเจนในน้ำระหว่างอนุภาคดิน ตะกอน จึงเป็นไปได้ว่า แหล่งของแอมโมเนียม-ไนโตรเจนส่วนใหญ่มิได้มาจากการย่อยสลายสารอินทรีย์จากดินตะกอนบริเวณเดียวกันเพียงแห่งเดียว แต่มาจากการคลองระบายน้ำซึ่งเป็นผลจากกิจกรรมการใช้ประโยชน์ของชุมชนเป็นส่วนใหญ่ ประกอบกับช่วงเวลาที่ทำการเก็บตัวอย่าง คือวันที่ 17 กันยายน พ.ศ. 2548 เป็นช่วงน้ำเกิด (กรมอุตุศาสตร์ กองทัพเรือ, 2548) การถ่ายเทน้ำเข้าออกภายในอ่าวจึงมีปริมาณมาก ประการหนึ่ง การที่มวลชีวภาพที่มีค่าสูงทางตอนเหนือของอ่าวซึ่งเป็นไปในพิศทางเดียวกับปริมาณแอมโมเนียม-ไนโตรเจนในน้ำระหว่างอนุภาคดินตะกอน แต่มิพิศทางตรงข้ามกับปริมาณแอมโมเนียม-ไนโตรเจนในน้ำ เป็นการยืนยันให้เห็นว่า สาตุอาหารในน้ำระหว่างอนุภาคดินตะกอนมีบทบาทสำคัญต่อความอุดมสมบูรณ์ของหญ้าทะเลมากกว่าสาตุอาหารในน้ำทะเลโดยตรง

2. มวลชีวภาพของหญ้าทะเล

จากมวลชีวภาพส่วนเหนือดินของหญ้าทะเลชนิด *Enhalus acoroides* และ *Halodule pinifolia* บริเวณอ่าวคุ้งกระเบนซึ่งจากภาพที่ 68-e และ 67-f จะเห็นได้ว่ามีค่ามากไปทางตอนบนของอ่าว เมื่อพิจารณาข้อมูลของความยาวใบและความหนาแน่นของหญ้าทะเลชนิด *Enhalus acoroides* ประกอบ (ตารางที่ 14) พบว่า ทางตอนบนของอ่าว (สถานี KE 3 และ 4) มีความยาวใบและความหนาแน่นมากกว่าทางตอนล่างของอ่าว (สถานี KE 1 และ 2) จากภาพที่ 69 แสดงให้เห็นลักษณะการกระจายตัวของหญ้าทะเลและลักษณะดินตะกอนซึ่งมีความแตกต่างกันระหว่างตอนบนและตอนล่างของอ่าวคุ้งกระเบน

อัตราส่วนระหว่างมวลชีวภาพส่วนเหนือดินและส่วนใต้ดินของหญ้าทะเลชนิด *Enhalus acoroides* บริเวณหาดสันงาม จังหวัดพังงา มีค่าเท่ากับ 1:1.8 โดยที่มวลชีวภาพส่วนเหนือและส่วนใต้ดินมีค่าเฉลี่ยเท่ากับ 509.47 กรัม/น้ำหนักแห้งต่อตารางเมตร (อัจฉริย์, 2536) เมื่อนำมวลชีวภาพเฉพาะส่วนเหนือดินจากการศึกษาครั้งนี้ที่มีค่าอยู่ระหว่าง 28.01-86.47 กรัม/น้ำหนักแห้งต่อตารางเมตร มาคำนวณกับสัดส่วนดังกล่าวจะพบว่ามีมวลชีวภาพรวมอยู่ระหว่าง 78.43-242.116 กรัม/น้ำหนักแห้งต่อตารางเมตร ในขณะที่กาลุจนภานุ (2534) พบมวลชีวภาพส่วนเหนือดินและส่วนใต้ดินในหญ้าทะเลชนิดเดียวกันมีค่าอยู่ระหว่าง 42.20-669.72 กรัม/น้ำหนักแห้งต่อตารางเมตร

3. บทบาทของคุณภาพน้ำและดินตะกอนต่อความอุดมสมบูรณ์ของหญ้าทะเล

ความเข้มข้นของชาตุอาหารในน้ำหนึ่งอิฐดินตะกอนและในน้ำระหว่างอนุภาคดินตะกอน เช่น ในแหล่งหญ้าทะเลชนิด *Enhalus acoroides* มีปริมาณแอมโมเนียม-ไนโตรเจนในน้ำหนึ่งอิฐดินตะกอนและในน้ำระหว่างอนุภาคดินตะกอนระหว่าง 9.87-27.15 และ 64.91-371.26 μM และ ออร์โฟอสเฟต-ฟอสฟอรัสมีค่าระหว่าง 0.10-0.61 และ 0.80-2.47 μM จะเห็นได้ว่า ในดินตะกอน มีความเข้มข้นของแอมโมเนียม-ไนโตรเจนและออร์โฟอสเฟต-ฟอสฟอรัสมากกว่าในน้ำหนึ่งอิฐดิน 7-14 และ 4-8 เท่า ตามลำดับ ซึ่ง McGlathery *et al.* (2001) พบความเข้มข้นของชาตุอาหารในน้ำระหว่างอนุภาคดินตะกอนบริเวณแหล่งหญ้าทะเลในอ่าว Bemuda สาธารณรัฐอเมริกา มีค่าสูงกว่าในน้ำหนึ่งอิฐดิน 10-100 เท่า แหล่งชาตุอาหารสำหรับหญ้าทะเลจึงมาจากการดูดซึมทาง รากเป็นส่วนใหญ่ แม้ว่า Stapel *et al.* (1996) ที่ได้ทำการศึกษาอัตราการดูดซึมในโตรเจนและ ฟอสฟอรัสระหว่างใบและรากของหญ้าทะเลชนิด *Thalassia hemprichii* แล้วพบว่า อัตราการดูดซึม โดยในจะมีค่าสูงกว่าราก แต่ก็ได้อธิบายว่า ความสามารถในการรองรับชาตุอาหาร (Capacity) ที่เหลืออยู่ในใบนั้นมีความเข้มข้นน้อยกว่าในน้ำระหว่างอนุภาคดินตะกอน ความเข้มข้นของชาตุอาหารในมวลน้ำมีความเข้มข้นน้อยกว่าในน้ำระหว่างอนุภาคดินตะกอน ความเข้มข้นของในโตรเจนและฟอสฟอรัสบริเวณรากมีมากเกินพอด้วยชาตุอาหารอยู่ตลอดเวลา จึงทำให้อัตราการดูดซึมที่แสดงให้เห็นมีค่าน้อย

สภาวะที่ชาตุอาหารในดินตะกอนลดลงสามารถทำให้การเจริญเติบโตและความสมบูรณ์ของใบจะลดลง Alcoverro *et al.* (1997) ศึกษาการจำกัดการเจริญเติบโตด้วยชาตุอาหาร (Nutrients limitation) ในหญ้าทะเลชนิด *Pasidonia oceanica* ถนนตัวตกลงเฉียงได้ของทะเลเมดิเตอร์เรเนียน พบว่า เมื่อปริมาณในโตรเจนและฟอสฟอรัสในน้ำระหว่างอนุภาคดินตะกอนเพิ่มขึ้น ในจะมีการเจริญเติบโตได้ดี ซึ่งพบว่าปริมาณในโตรเจนและฟอสฟอรัสในน้ำระหว่างอนุภาคดินตะกอนมีค่าเท่ากับ 300 และ 9 μM จะเป็นดินตะกอนที่มีความอุดมสมบูรณ์

ความต้องการชาตุอาหาร (ในโตรเจนและฟอสฟอรัส) ในหญ้าทะเล พิจารณาได้จากปริมาณในโตรเจนและฟอสฟอรัสซึ่งเป็นองค์ประกอบภายในเซลล์ Duarte (1990) รายงานสัดส่วนระหว่างในโตรเจนและฟอสฟอรัสภายในเซลล์ ซึ่งเป็นค่ามัธยฐานจากข้อมูลหญ้าทะเล 27 ชนิด มีค่าเท่ากับ 24 ส่วนการศึกษาในใบหญ้าทะเลในประเทศไทย Yamamuro *et al.* (2004) พบสัดส่วนระหว่างในโตรเจนและฟอสฟอรัสในใบหญ้าทะเลชนิด *Enhalus acoroides* บริเวณแหลมไม้แห้ง

และทุ่งนาด้ำ จังหวัดพังงา มีค่าอยู่ระหว่าง 14.0-28.9 จะเห็นว่าสัดส่วนระหว่างไนโตรเจนและฟอสฟอรัสในใบหญ้าทะเลชนิด *Enhalus acoroides* ในประเทศไทยมีค่าใกล้เคียงกับ Duarte (1990) แต่เนื่องจากการศึกษาของ Duarte (1990) กลบອุปคุณชนิดหญ้าทะเลทั้งในเขตตื้นและเขตตื้นอุ่น ดังนั้น การศึกษาครั้งนี้จึงใช้สัดส่วนระหว่างไนโตรเจนและฟอสฟอรัสเท่ากับ 24 เป็นเกณฑ์บ่งชี้ความต้องการในไนโตรเจนและฟอสฟอรัสของหญ้าทะเลในประเทศไทย

จากตารางที่ 15 จะเห็นได้ว่า สัดส่วนระหว่างแอมโมเนียม-ไนโตรเจน ($\mu\text{g-at-N}$) และฟอสเฟต-ฟอสฟอรัส ($\mu\text{g-at-P}$) ในน้ำระหว่างอนุภาคดินตะกอนของหญ้าทะเลชนิด *Enhalus acoroides* *Halodule pinifolia* *Halophila ovalis* และ *Halophila decipiens* จะมีค่าระหว่าง 58.16-1485.73 ส่วนสัดส่วนระหว่างแอมโมเนียม-ไนโตรเจน ($\mu\text{g-at-N}$) และฟอสเฟต-ฟอสฟอรัส ($\mu\text{g-at-P}$) ในน้ำหนึ่งอิฐดินตะกอนของหญ้าทะเลชนิด *Enhalus acoroides* *Halodule pinifolia* และ *Halophila decipiens* จะมีค่าระหว่าง 65.36-346.27 ขณะที่หญ้าทะเลชนิด *Halophila ovalis* มีค่าระหว่าง 9.42-10.12 ดังนี้ สัดส่วนระหว่างแอมโมเนียม-ไนโตรเจนและฟอสเฟต-ฟอสฟอรัสในน้ำระหว่างอนุภาคดินตะกอนของหญ้าทะเลชนิด *Enhalus acoroides* *Halodule pinifolia* *Halophila ovalis* และ *Halophila decipiens* และส่วนสัดส่วนระหว่างแอมโมเนียม-ไนโตรเจนและฟอสเฟต-ฟอสฟอรัสในน้ำหนึ่งอิฐดินตะกอนของแหล่งหญ้าทะเลชนิด *Enhalus acoroides* *Halodule pinifolia* และ *Halophila decipiens* มีค่ามากกว่าระดับที่หญ้าทะเลเดต้องการ ($\text{N:P} = 24$) ส่วนสัดส่วนระหว่างแอมโมเนียม-ไนโตรเจนและฟอสเฟต-ฟอสฟอรัสในน้ำหนึ่งอิฐดินตะกอนของแหล่งหญ้าทะเลเดต้องการ สามารถสรุปได้ว่า ฟอสเฟต-ฟอสฟอรัสในน้ำระหว่างอนุภาคดินตะกอนเป็นปัจจัยจำกัดการเจริญเติบโตของหญ้าทะเลชนิด *Enhalus acoroides* *Halodule pinifolia* *Halophila ovalis* และ *Halophila decipiens* และฟอสเฟต-ฟอสฟอรัสในน้ำหนึ่งอิฐดินตะกอนจะเป็นปัจจัยจำกัดการเจริญเติบโตสำหรับหญ้าทะเลชนิด *Enhalus acoroides* *Halodule pinifolia* และ *Halophila decipiens*

สำหรับการศึกษาความสัมพันธ์ระหว่างคุณภาพดินตะกอนและมวลชีวภาพของหญ้าทะเลเดต่ำชนิดนี้ จากตารางที่ 16 จะเห็นได้ว่า ความสัมพันธ์ของคุณภาพดินตะกอนแต่ละชั้นระดับความลึก จะมีความสัมพันธ์กับมวลชีวภาพของหญ้าทะเลเดบางชนิดทั้งเชิงบวกและเชิงลบ หากพิจารณาความสัมพันธ์ของคุณภาพดินตะกอนเฉลี่ยทุกระดับความลึกของดินกับมวลชีวภาพของหญ้าทะเลจากตารางที่ 17 พบว่ามีความสัมพันธ์กับมวลชีวภาพของหญ้าทะเลในทิศทางที่แน่นอน เนื่องจาก ระดับความลึกของดินตะกอนอาจมีอิทธิพลต่อการเจริญเติบโตของหญ้าทะเล ทั้งนี้

McRoy and Barsdate (1970) กล่าวว่า ส่วนใต้ดินที่มีการแพร่กระจายในแนวตั้ง (Vertical distribution) ของหญ้าทะเลมีบทบาทสำคัญต่อธาตุอาหารในดินตะกอน Duarte *et al.* (1998) ชี้ให้เห็นว่า มวลชีวภาพของรากรหญ้าทะเลตามความลึกจะมีความสัมพันธ์กับปริมาณธาตุอาหารที่ระดับความลึกนั้น ๆ ด้วย ซึ่งหญ้าทะเลแต่ละชนิดสามารถหยั่งรากลึกลงสู่ดินตะกอนได้แตกต่างกัน เช่น หญ้าทะเลชนิด *Enhalus acoroides* และ *Posidonia oceanica* หยั่งรากลึกกว่า 40 เซนติเมตร ส่วนหญ้าทะเลที่มีขนาดเล็กกว่าชนิดอื่น ๆ ได้แก่ *Thalassia testudinum* *Halodule wrightii* *Syringodium filiforme* และ *Cymodocea nodosa* รากจะหยั่งลึกเฉลี่ย 14.1 6.4 7.5 และ 14.1 เซนติเมตร ตามลำดับ สามารถพบมวลชีวภาพของรากรหญ้าทะเลชนิด *Thalassia testudinum* *Halodule wrightii* และ *Syringodium filiforme* ที่ระดับความลึกตั้งแต่ 1.5-31.5 1.5-25.5 และ 1.5-19.5 เซนติเมตร โดยความลึกที่มีมวลชีวภาพค่อนข้างสูงอยู่ระหว่าง 7.5-19.5 1.5-7.5 และที่ระดับ 1.5 เซนติเมตร ตามลำดับ นอกจากนี้ Zieman (1972) พบว่า หญ้าทะเลชนิด *Thalassia testudinum* สามารถหยั่งรากในดินตะกอนได้ลึกสุดประมาณ 5 เมตร

เห็นได้ว่า ความสามารถในการหยั่งรากสู่ดินตะกอนของหญ้าทะเลแต่ละชนิด และความหนาแน่นของรากซึ่งพิจารณาได้จากมวลชีวภาพ rakatแต่ละระดับความลึกจะมีความแตกต่างกันไป ดังนั้น คุณภาพดินตะกอนระดับชั้นที่มีปริมาณรากอยู่น้อยหรือไม่มีเลย ก็อาจมีอิทธิพลเพียงเล็กน้อย หรืออาจไม่มีอิทธิพลต่อกำลังอุบัติสูตรน้ำของหญ้าทะเลของหญ้าทะเลเลยก็ได้ ดังตารางที่ 11 จะเห็นว่า ความสัมพันธ์ระหว่างปริมาณแอมโมเนียม-ในโตรเจนระดับความลึก 0-1 และ 3-4 เซนติเมตร กับมวลชีวภาพของหญ้าทะเลชนิด *Halophila ovalis* และ *H. decipiens* จะมีความสัมพันธ์ในเชิงลบ ในขณะที่ความสัมพันธ์ในระดับความลึกอื่น ๆ จะเป็นไปในทิศทางเดียวกัน นอกจากนี้ ปริมาณแอมโมเนียม-ในโตรเจนระดับความลึก 2-3 เซนติเมตร ในดินตะกอนของหญ้าทะเลชนิด *Halophila ovalis* พบว่าในความสัมพันธ์กับมวลชีวภาพ มีค่าสัมประสิทธิ์การตัดสินใจต่ำ (R^2 เท่ากับ 0.0873) ซึ่งนับว่าอาจไม่มีความสัมพันธ์กันเลย แตกต่างไปจากความสัมพันธ์ในระดับความลึก 1-2 และ 3-4 เซนติเมตร (R^2 เท่ากับ 0.7723 และ 0.3637) ที่มีความสัมพันธ์กันค่อนข้างชัดเจน

เมื่อพิจารณาความสัมพันธ์ระหว่างคุณภาพดินตะกอนและมวลชีวภาพของหญ้าทะเลชนิด *Enhalus acoroides* *Halodule pinifolia* *Halophila ovalis* และ *H. decipiens* จากตารางที่ 17 จะเห็นว่า ปริมาณแอมโมเนียม-ในโตรเจนในน้ำระหว่างอนุภาคดินตะกอน สามารถสนับสนุนความอุดมสมบูรณ์ของหญ้าทะเลทั้ง 4 ชนิด ได้เป็นอย่างดี ส่วนซิลิกेट-ซิลิกอนและออร์โนฟอสเฟต-

ฟอสฟอรัสกลับมีผลในเชิงลบกับมวลชีวภาพของหญ้าทะเลชนิด *H. decipiens* และ *E. acoroides* ตามลำดับ อย่างไรก็ได้ แม้ว่าปริมาณอัตราฟอสเฟต-ฟอสฟอรัสจะมีผลในเชิงลบกับมวลชีวภาพของหญ้าทะเลชนิด *E. acoroides* แต่ก็ไม่เด่นชัดมากนัก เนื่องจากในความสัมพันธ์มีค่าสัมประสิทธิ์การตัดสินใจเพียง 0.0108 และ 0.2527 เท่านั้น ประกอบกับความเข้มข้นของอัตราฟอสเฟต-ฟอสฟอรัสในดินตะกอนที่พบ (ภาพที่ 57) มีค่าต่ำและช่วงความแตกต่างแคนกว่าหญ้าทะเลชนิดอื่น ๆ จึงกล่าวได้ว่า ความเข้มข้นของอัตราฟอสเฟต-ฟอสฟอรัสในดินตะกอนอาจไม่เพียงพอต่อการเจริญเติบโตของหญ้าทะเลชนิด *E. acoroides* ที่มีขนาดใหญ่กว่าหญ้าทะเลชนิดอื่น ๆ

ส่วนความสัมพันธ์ในเชิงบรรหะระหว่างปริมาณซิลิกेट-ซิลิคอนในดินตะกอนกับมวลชีวภาพของหญ้าทะเลชนิด *Halophila decipiens* (ตารางที่ 17) อาจบ่งบอกถึงอิทธิพลของการชะล้างบริเวณชายฝั่งซึ่งทำให้ปริมาณตะกอนไหลลงสู่ริเวณแหล่งหญ้าทะเลมากด้วย โดยตะกอนบางส่วนซึ่งมีองค์ประกอบของ Quartz Feldsper และ Clay mineral ซึ่งเป็นแหล่งของซิลิก่อน (เชยูพงษ์, 2545) จะตกลงสู่ดินตะกอนทำให้ดินตะกอนมีความเข้มข้นของซิลิกेट-ซิลิคอนสูง ในขณะที่ตะกอนบางส่วนซึ่งคงแขวนอยู่ในมวลน้ำ ทำให้ความชุ่มเพิ่มขึ้น เป็นการบดบังแสงทำให้ประสิทธิภาพในการสังเคราะห์แสงลดลง นอกจากนี้ ตะกอนที่ตกลงสู่พื้นท้องน้ำในปริมาณสูงอาจกลับส่วนหนึ่งอัดเป็นสารแห้งให้หญ้าทะเลตาย ซึ่ง Terrados *et al.* (1998) กล่าวว่า หากปริมาณ Silt และ Clay ในองค์ประกอบของดินตะกอนมีมากกว่าร้อยละ 15 จะทำให้มวลชีวภาพส่วนหนึ่งอัดของหญ้าทะเลในเบตร้อนลดลงอย่างเห็นพดัน เนื่องจากดินตะกอนที่มีขนาดอนุภาคละเอียดจะประกอบด้วยอินทรียสารในปริมาณสูง ดินอัดตัวกันแน่นและมักพบภาวะขาดออกซิเจน ทำให้ความเข้มข้นของชัลไฟฟ์ด์ในดินตะกอนซึ่งเป็นพิษต่อหญ้าทะเลเพิ่มขึ้น โดยความเข้มข้นของโซเดียมชัลไฟฟ์ตั้งแต่ 1.0-6.0 μM สามารถทำให้การเจริญเติบโตของหญ้าทะเลลดลงถึงร้อยละ 50 (Halun, 2001) นอกจากนี้ ดินตะกอนที่มีอนุภาคละเอียดจะฟุ้งกระจายได้ง่าย ทำให้ความโปร่งใสของน้ำลดลงได้อีกด้วย ทั้งนี้ จากตารางที่ 18 และ 19 เห็นได้ชัดว่า มวลชีวภาพของหญ้าทะเลชนิด *H. decipiens* จะลดลงเมื่ออนุภาคดินตะกอนที่มีขนาด 63-125 และ เล็กกว่า 63 μm มีปริมาณเพิ่มขึ้น ทั้งนี้ หากพิจารณาถึงความแตกต่างของกิจกรรมการใช้ประโยชน์ในพื้นที่จากแหล่งที่พบหญ้าทะเลชนิด *H. decipiens* เช่นเดียวกัน ระหว่างเกาะคลุ่ม จังหวัดตราดและหาดคลองดาว ในภาคลันตา จังหวัดยะลา จะพบว่า เกาะคลุ่มเป็นเกาะขนาดเล็ก มีพื้นที่เพียง 4 ตารางกิโลเมตร โดยประมาณ (ภาพที่ 7) และมีสิ่งปลูกสร้างซึ่งเป็นบ้านเรือนอยู่น้อย ส่วนหาดคลองดาว ซึ่งอยู่ทางทิศตะวันตกเฉียงเหนือของเกาะลันตา ขนาดของชายหาดแม้จะขวางเพียง 2 ตารางกิโลเมตร โดยประมาณ (ภาพที่ 9) แต่มีการใช้ประโยชน์ของชายฝั่งอยู่ในปริมาณมาก เช่น การปลูกสร้างรีสอร์ฟ และบุคลอกทางระบายน้ำ

ซึ่งระบายน้ำที่น้ำค้างด้านหลังชายหาด นอกจากนี้ ยังมีการสร้างถนนขนาดใหญ่กับชายหาด ซึ่งช่วงทำการศึกษาเป็นระยะกำลังก่อสร้าง กิจกรรมต่าง ๆ เหล่านี้ เป็นสาเหตุให้ปริมาณตะกอนที่ไหลลงสู่หาดคลองดาวเพิ่มขึ้น ทำให้ความอุดมสมบูรณ์ของหญ้าทะเลบริเวณดังกล่าวลดลง

จากการศึกษาอนุภาคดินตะกอนบริเวณแหล่งหญ้าทะเลซึ่งพิจารณาได้จากตารางที่ 6 พบว่า ดินตะกอนบริเวณที่พบหญ้าทะเลชนิด *Enhalus acoroides* และ *Halodule pinifolia* ส่วนใหญ่จะมีขนาดอนุภาคละเอียด (ขนาดเล็กกว่า 63 ไมโครเมตร ถึง 125 ไมโครเมตร) ส่วนดินตะกอนบริเวณที่พบหญ้าทะเล *Halophila ovalis* จะมีขนาดอนุภาคใหญ่กว่า (ตั้งแต่ 125 ไมโครเมตร ถึง ขนาดใหญ่กว่า 1000 ไมโครเมตร) และเมื่อวิเคราะห์ความสัมพันธ์ระหว่างอนุภาคดินตะกอนกับมวลชีวภาพ (ตารางที่ 18) จะพบว่าหญ้าทะเลชนิด *E. acoroides* และ *H. pinifolia* จะมีมวลชีวภาพสูงกว่าเมื่อคินตะกอนที่มีขนาดอนุภาคเล็กกว่า 63 ไมโครเมตร มีปริมาณเพิ่มขึ้น แม้ว่า Terrados *et al.* (1998) จะอ้างว่า หากปริมาณตะกอนที่มีอนุภาคละเอียดในระดับสูง จะทำให้มวลชีวภาพลดลง ดังที่กล่าวไว้ข้างต้นก็ตาม แต่คินตะกอนที่มีอนุภาคละเอียดเมื่อมีปริมาณเพิ่มขึ้น จะทำให้ปริมาณชาตุอาหารที่จำเป็นต่อการเจริญเติบโตของหญ้าทะเลเพิ่มขึ้นได้เป็นอย่างดี (Halun, 2001) เนื่องจากคินที่มีอนุภาคละเอียด อนุภาคค่อนข้างอัดแน่นรวมตัวกันดี จะมีปริมาณน้ำและอินทรียสารสูงในทางตรงข้าม คินตะกอนที่มีอนุภาคหยาบจะมีการไหลผ่านของน้ำได้ดี มักมีน้ำและปริมาณอินทรียสารหลงเหลืออยู่น้อย (จากรูมาศ, 2548) สารอินทรีย์ในคินตะกอน เมื่อผ่านกระบวนการย่อยสลายโดยแบคทีเรียนอยู่ในรูปสารอนินทรีย์ เช่น แอมโมเนียม ในไตรท์ และไนเตรท ที่ละลายอยู่ในน้ำระหว่างอนุภาคดินตะกอนซึ่งเป็นแหล่งชาตุอาหารที่สำคัญสำหรับกลุ่มผู้ผลิตเบื้องต้น (เชยฐ พงษ์, 2545) ดังนั้น หญ้าทะเลชนิด *E. acoroides* และ *H. pinifolia* จะมีมวลชีวภาพสูงกว่าเมื่อคินตะกอนมีขนาดอนุภาคละเอียด เช่นเดียวกับมวลชีวภาพของหญ้าทะเลชนิด *Halophila ovalis* ซึ่งจะลดลงเมื่อขนาดอนุภาคดินตะกอนมีขนาดใหญ่ขึ้น

อย่างไรก็ตาม แม้ว่าคินตะกอนที่มีขนาดอนุภาคละเอียดจะทำให้ปริมาณน้ำและอินทรียสารในคินตะกอนมีค่าสูง แต่ก็อาจเป็นเหตุให้น้ำระหว่างอนุภาคดินตะกอนไหลเวียนได้ไม่ดี ประสิทธิภาพการแลกเปลี่ยนสารระหว่างภายในเซลล์กับสิ่งแวดล้อมของหญ้าทะเลในคินตะกอนก็ลดลงด้วยเช่นกัน ดังนั้น ปริมาณน้ำในคินตะกอนบริเวณแหล่งหญ้าทะเลชนิด *Halodule pinifolia* และ *Halophila decipiens* จึงมีความสัมพันธ์ไปในทิศทางตรงข้ามกับมวลชีวภาพ ขณะที่ในแหล่งหญ้าทะเลชนิด *Halophila ovalis* กลับพบความสัมพันธ์ไปในทิศทางเดียวกัน เนื่องจาก อนุภาคดินตะกอนส่วนใหญ่มีขนาดใหญ่ น้ำจึงไหลเวียนระหว่างอนุภาคดินตะกอนได้ดี ส่วนปริมาณน้ำในคิน

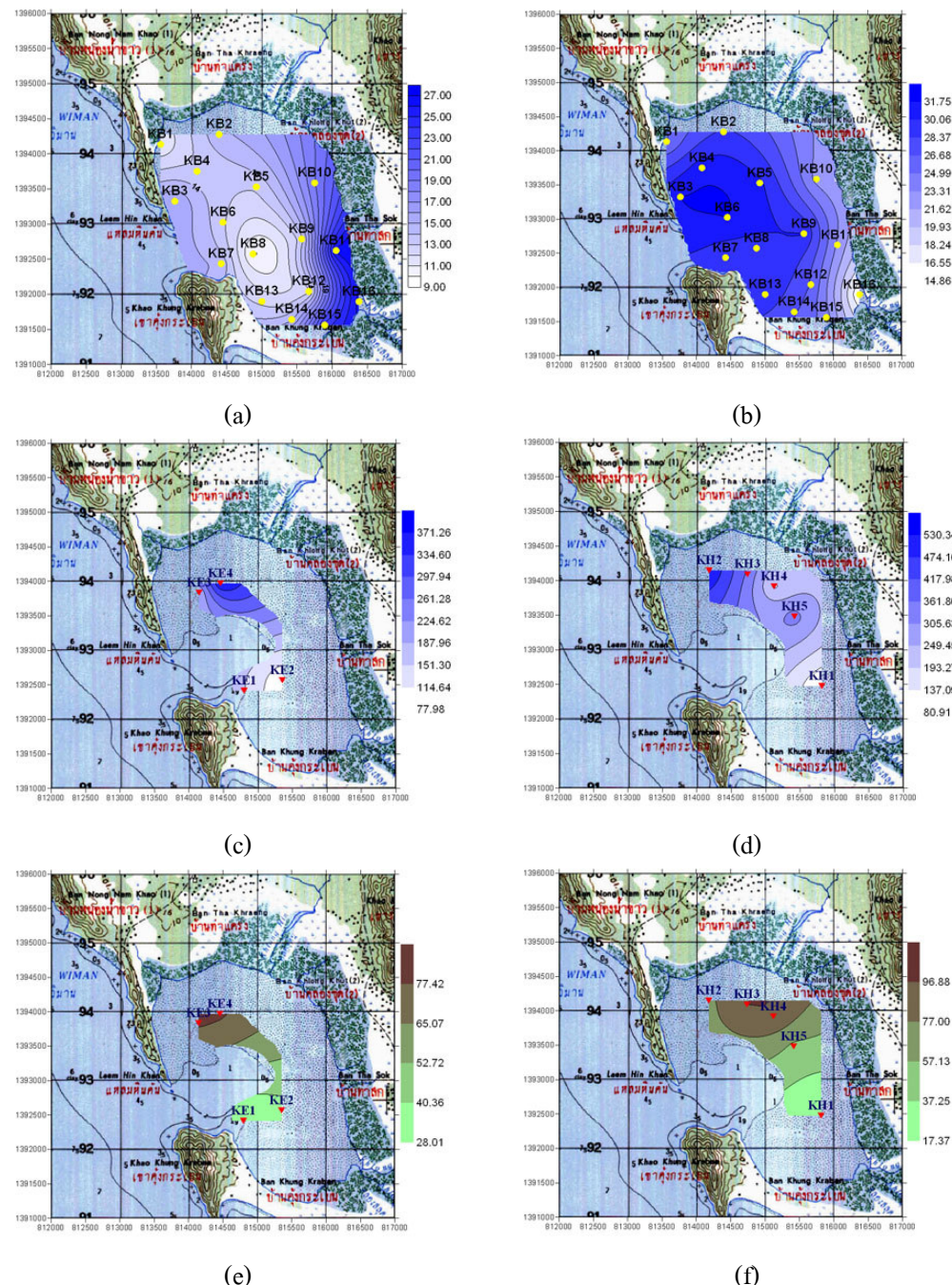
ตะกอนบริเวณแหล่งหญ้าทะเลชนิด *Enhalus acoroides* ที่ระดับความลึก 0-4 และ 0-25 เซนติเมตร จะพบว่ามีอิทธิพลต่อมากซึ่งภาพอยู่ในระดับต่ำ เนื่องจาก根ของหญ้าทะเลชนิดนี้อาจอยู่ในระดับที่ลึกนอกเหนือไปจากความลึกระหว่าง 0-25 เซนติเมตร ได้

การวิเคราะห์ผลต่างระหว่างความเข้มข้นเฉลี่ยของชาตุอาหารในน้ำระหว่างอนุภาคดินตะกอนจากบริเวณที่มีหญ้าทะเลและบริเวณที่ไม่มีหญ้าทะเล (ตารางที่ 20) พบความแตกต่างของปริมาณแอมโมเนียม-ในโตรเรน ซิลิกเกต-ซิลิกอน และออร์โซฟอสเฟต-ฟอสฟอรัส อยู่ระหว่างร้อยละ 1.92-27.63 1.60-32.20 และ 7.93-56.47 ตามลำดับ ซึ่งความเข้มข้นของชาตุอาหารในดินตะกอนบริเวณที่มีหญ้าทะเลขึ้นอยู่มากจะมีค่าสูงกว่าบริเวณที่ไม่มีหญ้าทะเล ยกเว้น ปริมาณความเข้มข้นของแอมโมเนียม-ในโตรเรนและออร์โซฟอสเฟต-ฟอสฟอรัสบริเวณที่มีหญ้าทะเลชนิด *Halophila decipiens* ขึ้นอยู่ กับมีค่าสูงกว่าบริเวณที่ไม่มีหญ้าทะเลขึ้น เมื่อพิจารณาขนาดอนุภาคดินตะกอนทั้งสองบริเวณประกอบ (ตารางที่ 22) จะเห็นได้ว่า บริเวณที่มีหญ้าทะเลขึ้นจะมีคิดดินตะกอนขนาดเล็กกว่า 63 ไมโครเมตร มากกว่าบริเวณที่ไม่มีหญ้าทะเลอยู่ร้อยละ 8.67 ในขณะที่คิดดินตะกอนขนาด 63-125 ไมโครเมตร มีอยู่น้อยกว่าบริเวณที่ไม่มีหญ้าทะเลร้อยละ 6.42 ดังนั้น บริเวณที่มีหญ้าทะเลชนิด *H. decipiens* ขึ้นอยู่จะมีความเข้มข้นของชาตุอาหารสูงกว่าบริเวณที่ไม่มีหญ้าทะเลชนิดนี้

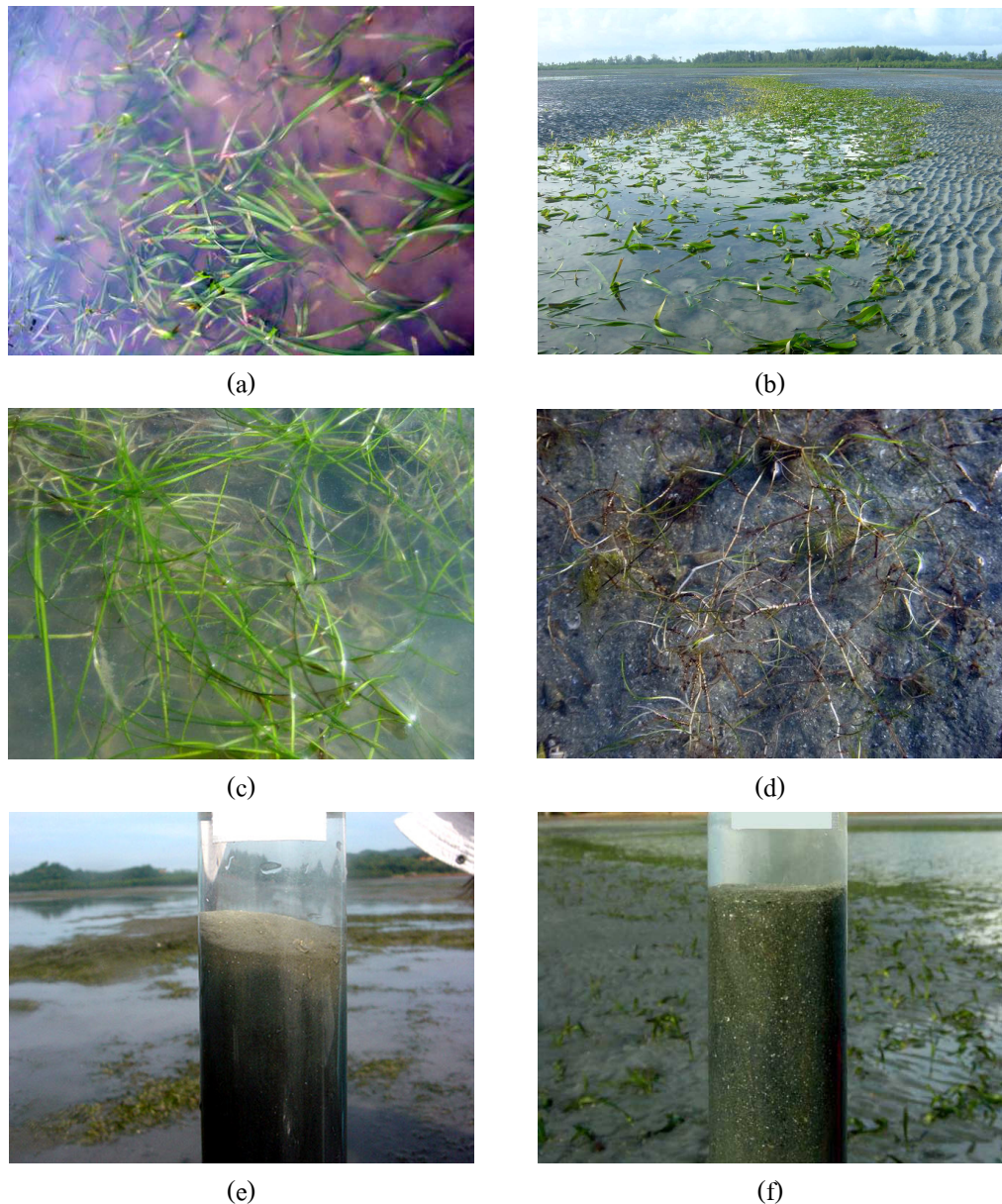
สัดส่วนของปริมาณชาตุอาหารในดินตะกอนที่หายไปนั้น มิได้มีสาเหตุมาจากการใช้สำหรับการเจริญเติบโตของหญ้าทะเลเพียงอย่างเดียว การผึ่งแห้งและการเกิดกระบวนการ Acvection ก็อีกสาเหตุหนึ่งที่สำคัญด้วย ซึ่งปัจจัยหลักที่ทำให้อัตราการสลายตัวของชาตุอาหารในน้ำระหว่างอนุภาคดินตะกอนระหว่างบริเวณที่มีและไม่มีหญ้าทะเลขึ้นอยู่แตกต่างกันก็คือ ขนาดอนุภาคดินตะกอนที่เป็นองค์ประกอบ จากตารางที่ 22 จะเห็นว่า คิดดินตะกอนของแหล่งหญ้าทะเลชนิด *Enhalus acoroides* มีองค์ประกอบของอนุภาคส่วนใหญ่เป็นตะกอนละเอียด (เล็กกว่า 63-125 ไมโครเมตร) ในขณะที่คิดดินตะกอนของแหล่งหญ้าทะเลชนิด *Halophila ovalis* จะมีองค์ประกอบของอนุภาคส่วนใหญ่เป็นตะกอนหยาบกว่า (250 ถึงขนาดใหญ่กว่า 1,000 ไมโครเมตร) จึงทำให้ปริมาณแอมโมเนียม-ในโตรเรนและออร์โซฟอสเฟต-ฟอสฟอรัสในคิดดินตะกอนของแหล่งหญ้าทะเลชนิด *H. ovalis* ออกนอกรอบๆ ได้มากกว่า (ตารางที่ 20) นอกจากนี้ ภายในแหล่งหญ้าทะเลชนิดเดียวกันก็อาจมีชาตุอาหารที่คงเหลืออยู่ในคิดดินตะกอนระหว่างบริเวณที่มีและไม่มีหญ้าทะเลแตกต่างกันด้วยก็ได้ หากขนาดอนุภาคดินตะกอนระหว่างบริเวณที่มีและไม่มีหญ้าทะเลนั้นมีความแตกต่างกัน แต่จากตารางที่ 22 จะเห็นได้ว่า ปริมาณและขนาดอนุภาคดินระหว่างบริเวณที่มีและไม่มีหญ้าทะเลภายในหญ้าทะเลชนิดเดียวกัน ไม่มีความแตกต่างกัน จึงอนุมานได้ว่า ปริมาณชาตุอาหารที่

หายไปเนื่องจากกระบวนการทางกายภาพที่กล่าวมาข้างต้นนั้นไม่มีความแตกต่างกายในแหล่งหญ้าทะเลนิดเดียวกัน

จากตารางที่ 21 ซึ่งแสดงสัดส่วนระหว่างแอมโมเนียม-ไนโตรเจนและฟอสเฟต-ฟอสฟอรัสที่หายไปจากระบบดินตะกอนทั้งหมดในแหล่งหญ้าทะเลนิด *Enhalus acoroides* และ *Halophila ovalis* มีค่าเท่ากับ 82.19:1 และ 74.32:1 ในขณะที่หญ้าทะเลทั่วไปคือการไนโตรเจนและฟอสฟอรัสเป็นสัดส่วนเท่ากับ 24:1 ดังนั้น สัดส่วนของแอมโมเนียม-ไนโตรเจนและฟอสเฟต-ฟอสฟอรัสที่หายไปนอกเหนือจากนี้ จะเกิดจากการทางลิ่งแวดล้อมอื่น ๆ นั่นเอง



ภาพที่ 68 การแพร่กระจายของป่ามานแอม โภเนียม-ใน โทรเจนและค่าความเค็มในน้ำ (a และ b)
ป่ามานแอม โภเนียม ใน โทรเจนในน้ำระหงอนน้ำคาดินตะกอนบริเวณผืนหญ้าทะเล
ชนิด *Enhalus acoroides* และ *Halodule pinifolia* (c และ d) และมวลชีวภาพของหญ้า
ทะเลชนิด *Enhalus acoroides* และ *Halodule pinifolia* (e และ f) บริเวณอ่าวคุ้งกระเบน



ภาพที่ 69 ลักษณะการแพร่กระจายของหญ้าทะเลชนิด *Enhalus acoroides* บริเวณตอนเหนือ (a)
และตอนใต้ของอ่าวคุ้งกระเบน (b) หญ้าทะเลชนิด *Halodule pinifolia* บริเวณตอนเหนือ
(c) และตอนใต้ของอ่าวอ่าาคุ้งกระเบน (d) และลักษณะดินตะกอนบริเวณตอนเหนือ
และตอนใต้ของอ่าวคุ้งกระเบน (e และ f)

**ตารางที่ 14 ความยาวใบ (เซนติเมตร) ความหนาแน่น (ต้นต่อตารางเมตร) และมวลชีวภาพของ
หญ้าทะเล (กรัมน้ำหนักแห้งต่อตารางเมตร) ของหญ้าทะเลชนิด *Enhalus acoroides*
บริเวณอ่าวคุ้งกระเบน**

สถานี	ความยาวใบ	ความหนาแน่น	มวลชีวภาพส่วนหนึ่งต่อวัน
	(เซนติเมตร)	(ต้นต่อตารางเมตร)	(กรัมน้ำหนักแห้งต่อตารางเมตร)
KE1	23.12	74.00	28.01
KE2	29.19	64.00	45.43
KE3	40.78	112.00	86.47
KE4	44.39	92.00	84.80

ตารางที่ 15 สัดส่วนระหว่างปริมาณแอมโมเนียม-ไนโตรเจน ($\mu\text{g-at-N}$) และฟอสเฟต-ฟอสฟอรัส ($\mu\text{g-at-P}$) ในน้ำ เนื้อผิวดินและในน้ำระหว่างอนุภาคดินตะกอน

ชนิดหญ้าทะเล	น้ำหนึ่งผิวดิน			น้ำระหว่างอนุภาคดินตะกอน		
	$\mu\text{g-at-N}$	$\mu\text{g-at-P}$	N:P	$\mu\text{g-at-N}$	$\mu\text{g-at-P}$	N:P
<i>Enhalus acoroides</i>	1.15	0.01	131.88	10.95	0.07	162.08
	0.94	0.01	123.67	5.57	0.06	95.67
	0.94	0.01	144.28	13.43	0.04	300.15
	0.94	0.01	144.28	26.52	0.06	472.73
	1.06	0.01	139.13	4.64	0.08	58.16
	0.71	0.00	162.31	7.59	0.03	290.82
	0.97	0.01	148.79	5.32	0.03	203.58
	1.88	0.01	247.33	7.55	0.03	290.82
	1.88	0.01	346.27	10.25	0.05	196.31
	1.10	0.02	65.36	11.25	0.05	218.12
<i>Halodule pinifolia</i>	1.94	0.02	98.55	13.05	0.05	254.47
	-	-	-	12.32	0.05	239.93
	-	-	-	17.84	0.08	232.66
	-	-	-	6.30	0.05	123.60
	1.15	0.01	131.88	5.78	0.01	405.20
	0.94	0.01	123.67	37.88	0.06	641.57
	0.94	0.01	144.28	25.07	0.03	855.42
	0.94	0.01	144.28	13.09	0.04	322.66
	1.06	0.01	139.13	23.52	0.09	255.13
	0.97	0.01	148.79	2.09	0.03	78.79
	1.88	0.01	247.33	-	-	-
	1.88	0.01	346.27	-	-	-

ตารางที่ 15 (ต่อ)

ชนิดหญ้าทะเล	น้ำหนืดผิวดิน			น้ำระบายน้ำภาคตะวันออก		
	$\mu\text{-at-N}$	$\mu\text{-at-P}$	N:P	$\mu\text{-at-N}$	$\mu\text{-at-P}$	N:P
<i>Halodule pinifolia</i>	1.55	0.02	76.16	-	-	-
	0.57	0.06	10.12	60.11	0.12	492.43
	0.59	0.06	9.42	43.39	0.03	1485.73
<i>Halophila ovalis</i>	-	-	-	58.31	0.32	181.93
	-	-	-	52.51	0.20	268.76
	-	-	-	65.45	0.07	931.71
	-	-	-	39.87	0.06	616.36
	1.13	0.01	83.51	29.65	0.27	110.42
	1.29	0.01	90.84	18.10	0.13	143.41
	1.47	0.02	74.74	23.31	0.11	217.50
	-	-	-	49.52	0.26	187.26
<i>Halophila decipiens</i>	-	-	-	26.48	0.24	111.97
	-	-	-	11.93	0.07	163.13
	-	-	-	9.52	0.02	527.02
	-	-	-	7.26	0.05	133.85
	-	-	-	7.25	0.04	200.77
	-	-	-	28.40	0.22	129.44

ตารางที่ 16 ค่าสัมประสิทธิ์การตัดสินใจระหว่างคุณภาพดินตะกอนและมวลชีวภาพที่ระดับความลึกดินทุก ๆ 1 เซนติเมตร และทุก ๆ 5 เซนติเมตร

ชนิดพืชทางเล	ความลึก (cm)	สัมประสิทธิ์การตัดสินใจระหว่างคุณภาพดินตะกอนและมวลชีวภาพ				
		NH ₄ ⁺ -N	Si(OH) ₄ -Si	PO ₄ ³⁻ -P	WC	TOM
	0-1	0.6779	0.6859	-0.6400	-0.7917	-0.6630
	1-2	0.2511	-0.4557	0.7809	-0.8049	-0.0007
	2-3	0.2296	0.0714	-0.2062	-0.8854	0.0763
	3-4	0.6510	0.0394	-0.3045	-0.8745	0.4250
<i>Enhalus acoroides</i>	0-5	0.3492	0.4224	-0.7360	-0.7023	-0.4906
	5-10	0.3543	0.3828	-0.3509	0.4350	0.5266
	10-15	0.2510	0.4045	-0.7913	0.3925	0.4827
	15-20	0.2540	0.5179	-0.5470	-0.7254	0.5050
	20-25	0.3658	0.4288	0.1629	-0.5599	0.7404
<i>Halodule pinifolia</i>	0-1	0.5812	0.4815	0.3407	-0.7338	-0.9449
	1-2	0.8519	0.5545	-0.5126	-0.0357	-0.8296
	2-3	0.5554	0.4934	-0.9274	-0.0649	-0.3162
	3-4	0.5815	0.6200	-0.5391	-0.1753	-0.8558
<i>Halophila ovalis</i>	0-1	-0.7505	0.7289	-0.3546	0.3596	-0.2619
	1-2	0.7723	0.4748	0.3541	0.3397	0.4602
	2-3	0.0873	0.4678	0.2665	0.3385	-0.5059
	3-4	0.3637	0.6626	0.2650	0.0172	-0.0060
<i>Halophila decipiens</i>	0-1	0.9491	-0.5116	0.8275	-0.2647	0.2705
	1-2	0.6827	-0.4760	0.7022	-0.6792	0.1885
	2-3	0.5569	-0.4007	0.5709	-0.3203	-0.2309
	3-4	-0.2310	-0.3660	-0.0095	-0.2599	0.0696

WC = น้ำในดินตะกอน

TOM = สารอินทรีย์รวมในดินตะกอน

ตารางที่ 17 ค่าสัมประสิทธิ์การตัดสินใจระหว่างคุณภาพดินตะกอนและมวลชีวภาพที่ระดับความลึกดินตะกอน 0-4 เซนติเมตร และ 0-25 เซนติเมตร

ชนิดหญ้าทะเล	ความลึก (cm)	ค่าสัมประสิทธิ์การตัดสินใจระหว่างคุณภาพดินตะกอนและ質量指標			
		NH ₄ ⁺ -N	Si(OH) ₄ -Si	PO ₄ ³⁻ -P	WC
<i>Enhalus acoroides</i>	0-4	0.7383	0.3384	-0.0108	-0.2436
	0-25	0.4643	0.3908	-0.2527	-0.0093
<i>Halodule pinifolia</i>	0-4	0.7002	0.5760	0.2022	-0.2610
<i>Halophila ovalis</i>	0-4	0.4380	0.7269	0.2668	0.3216
<i>Halophila decipiens</i>	0-4	0.7274	-0.5876	0.7371	-0.4255

WC = น้ำในดินตะกอน

TOM = สารอินทรีย์รวมในดินตะกอน

ตารางที่ 18 ค่าสัมประสิทธิ์การตัดสินใจระหว่างขนาดอนุภาคดินตะกอนที่ระดับความลึก 0-5 เซนติเมตร และมวลชีวภาพ

ชนิดหญ้าทะเล	ความลึก (cm)	สัมประสิทธิ์การตัดสินใจระหว่างขนาดอนุภาคดินตะกอนและมวลชีวภาพ					
		>1000	500-1000	250-500	125-250	63-125	<63
<i>Enhalus acoroides</i>	0-5	-0.0147	0.0001	-0.3149	0.2298	-0.5744	0.5126
<i>Halodule pinifolia</i>	0-5	0.2572	0.4644	-0.8217	-0.8994	-0.1938	0.5488
<i>Halophila ovalis</i>	0-5	-0.4629	-0.3619	-0.2430	0.3601	0.4965	0.0050
<i>Halophila decipiens</i>	0-5	0.5938	0.4525	0.4328	-0.5847	-0.1044	-0.1988

ตารางที่ 19 ปริมาณอนุภาคดินตะกอนเฉลี่ยระดับความลึก 0-5 เซนติเมตร

ชนิดหญ้าทะเล	ความลึก (cm)	ปริมาณอนุภาคดินตะกอนเฉลี่ย (ร้อยละ)					
		>1000	500-1000	250-500	125-250	63-125	<63
<i>Enhalus acoroides</i>	0-5	1.01	0.46	0.91	9.44	54.91	33.27
<i>Halodule pinifolia</i>	0-5	3.79	1.63	5.81	15.05	25.34	48.38
<i>Halophila ovalis</i>	0-5	20.30	17.20	23.34	17.88	7.46	13.82
<i>Halophila decipiens</i>	0-5	5.16	4.27	2.76	2.35	48.47	36.99

ตารางที่ 20 ผลต่างของความเข้มข้นของธาตุอาหารในน้ำระหว่างอนุภาคดินตะกอนเนลี่ยที่ระดับความลึก 0-4 เซนติเมตร ระหว่างบริเวณที่มีหญ้าทะเลและบริเวณที่ไม่มีหญ้าทะเล

ชนิดหญ้าทะเล	NH ₄ ⁺ -N				Si(OH) ₄ -Si				PO ₄ ³⁻ -P			
	มีหญ้าทะเล		ไม่มีหญ้าทะเล		มีหญ้าทะเล		ไม่มีหญ้าทะเล		มีหญ้าทะเล		ไม่มีหญ้าทะเล	
	(μM)	(μM)	(μM)	(%)	(μM)	(μM)	(μM)	(%)	(μM)	(μM)	(μM)	(%)
<i>Enhalus acoroides</i>	122.81	128.88	-6.07	-4.71	30.10	44.39	-14.29	-32.20	1.37	1.53	-0.16	-10.68
<i>Halodule pinifolia</i>	227.64	232.10	-4.46	-1.92	41.42	42.09	-0.68	-1.60	1.63	1.50	+0.13	+7.93
<i>Halophila ovalis</i>	508.18	654.72	-146.54	-22.38	33.11	37.71	-4.60	-12.20	3.37	7.73	-4.37	-56.47
<i>Halophila decipiens</i>	169.62	122.76	+46.86	+27.63	19.89	26.01	-6.12	-23.54	2.27	0.99	+1.27	+56.18

เครื่องหมาย - หมายถึง ความเข้มข้นของธาตุอาหารในน้ำระหว่างอนุภาคดินตะกอนส่วนที่หายไปจากบริเวณที่มีหญ้าทะเล
 (ความเข้มข้นบริเวณที่มีหญ้าทะเลต่ำกว่าบริเวณที่ไม่มีหญ้าทะเล)
 + หมายถึง ความเข้มข้นของธาตุอาหารในน้ำระหว่างอนุภาคดินตะกอนบริเวณที่มีหญ้าทะเลสูงกว่าบริเวณที่ไม่มีหญ้าทะเล

ตารางที่ 21 สัดส่วนระหว่างโมเลกุลของเอม โอมเนียม-ใน โตรเจนต่อซิลิกेट-ซิลิกอน และ แอม โอมเนียม-ใน โตรเจนต่อฟอสเฟต-ฟอสฟอรัสซึ่งหายไปทั้งหมดจากดินตะกอน บริเวณแหล่งหญ้าทะเล

ชนิดหญ้าทะเล	$\mu\text{-at-N}$	$\mu\text{-at-Si}$	$\mu\text{-at-P}$	N:Si	N:P
<i>Enhalus acoroides</i>	0.43	0.51	0.01	0.85	82.19
<i>Halodule pinifolia</i>	0.32	0.02	-	13.20	-
<i>Halophila ovalis</i>	10.47	0.16	0.14	63.67	74.32
<i>Halophila decipiens</i>	-	0.22	-	-	-

ตารางที่ 22 สัดส่วนขององค์ประกอบดินตะกอนระหว่างบริเวณที่มีหญ้าทะเลและบริเวณที่ไม่มี หญ้าทะเล

ชนิดหญ้าทะเล	บริเวณ	ปริมาณดินตะกอนเฉลี่ย (ร้อยละ)					
		ตามขนาดอนุภาคดินตะกอน (μm)					
		>1,000	500-1,000	250-500	125-250	63-125	<63
<i>Enhalus acoroides</i>	มีหญ้าทะเล	2.71	1.00	2.47	26.46	21.53	45.83
	ไม่มีหญ้าทะเล	5.09	1.43	1.88	10.08	31.43	50.10
<i>Halophila ovalis</i>	มีหญ้าทะเล	20.30	17.20	23.34	17.88	7.46	13.82
	ไม่มีหญ้าทะเล	15.24	32.31	39.01	7.20	1.11	5.14
<i>Halophila decipiens</i>	มีหญ้าทะเล	1.30	0.84	1.00	2.21	53.82	40.83
	ไม่มีหญ้าทะเล	1.87	0.60	0.99	4.14	60.24	32.16

สรุปและข้อเสนอแนะ

สรุปผลการศึกษา

จากการศึกษาคุณภาพน้ำและดินตะกอนบริเวณแหล่งหญ้าทะเล 4 พื้นที่ศึกษา ในจังหวัดจันทบุรี จังหวัดตราด จังหวัดพัทงา และจังหวัดกระนี่ พบรัญชาทะเลทึ้งสิ้น 4 ต่อ 6 ชนิด ได้แก่ *Enhalus acoroides* *Halodule pinifolia* *Halodule uninervis* *Halophila ovalis* *Halophila decipiens* และ *Cymodocea serrulata* โดยพบชนิด *E. acoroides* แพร่กระจายอยู่ในบริเวณอ่าวคุ้งกระเบน จังหวัดจันทบุรี เกาะจง จังหวัดพัทงา และหาดเจี้ยห์หลีในเกาะลันตาใหญ่ จังหวัดกระนี่ ชนิด *H. pinifolia* พบริ่มที่อ่าวคุ้งกระเบน จังหวัดจันทบุรี เกาะรังและเกาะคลุ่มในหมู่เกาะช้าง จังหวัดตราด ชนิด *H. ovalis* พบริ่มที่เกาะจง จังหวัดพัทงา และหาดเจี้ยห์หลีในเกาะลันตาใหญ่ จังหวัดกระนี่ ชนิด *H. decipiens* พบริ่มที่เกาะคลุ่มในหมู่เกาะช้าง จังหวัดตราด และหาดคลองดาวในเกาะลันตาใหญ่ จังหวัดกระนี่ ชนิด *H. uninervis* และ *C. serrulata* พบริ่มที่เกาะคลุ่ม จังหวัดตราด ทั้งนี้ หญ้าทะเลทึ้ง 6 ชนิดที่กล่าวมาข้างต้น สามารถอยู่อาศัยโดยมีช่วงและระดับความอุดมสมบูรณ์ต่างๆ ซึ่งใช้ค่ามวลชีวภาพของหญ้าทะเลแต่ละชนิดเป็นตัวบ่งชี้ถึงช่วงและระดับของคุณภาพน้ำและดินตะกอนที่เหมาะสม ดังนี้

1. คุณภาพน้ำ

ช่วงและระดับของคุณภาพน้ำสามารถสรุปตามชนิดของหญ้าทะเลที่พบดังต่อไปนี้

1.1 *Enhalus acoroides*

คุณภาพน้ำในแหล่งหญ้าทะเลชนิด *Enhalus acoroides* มีช่วงความเหมาะสมของคุณภาพน้ำที่หญ้าทะเลชนิดนี้สามารถอยู่อาศัยได้โดยมีความเข้มข้นของชาตุอาหารในน้ำ ได้แก่ แอมโมเนียม-ไนโตรเจน ในไตรท์และไนเตรท-ไนโตรเจน ซิลิกेट-ซิลิคอน และօร์โนฟอสเฟต-ฟอสฟอรัส อุณหภูมิที่มีค่าระหว่าง 9.87-27.15 0.14-16.79 15.45-83.32 และ 0.02-0.27 μM ตามลำดับ ระดับความเค็มมีค่าระหว่าง 14.36-33.94 psu อุณหภูมน้ำมีค่าระหว่าง 28.98-34.36 องศาเซลเซียส ออกริจิเจนละลายน้ำมีค่าระหว่าง 7.33-11.33 มิลลิกรัมต่อลิตร และความเป็นกรดเป็นด่างในน้ำมีค่า

ระหว่าง 7.87-8.64 ซึ่งสามารถทำให้มวลชีวภาพส่วนหนึ่งอดินมีค่าระหว่าง 28.01-86.47 กรัม น้ำหนักแห้งต่อตารางเมตร

1.2 *Halodule pinifolia*

คุณภาพน้ำในแหล่งหญ้าทะเลชนิด *Halodule pinifolia* มีช่วงความเหมาะสมของคุณภาพน้ำที่หญ้าทะเลชนิดนี้สามารถออยู่อาศัยได้โดยมีความเข้มข้นของชาต้อาหารในน้ำ ได้แก่ แอมโมเนียม-ไนโตรเจน ในไทรท์และไนเตรท-ไนโตรเจน ซิลิกेट-ซิลิคอน และออร์โนฟอสเฟต-ฟอสฟอรัส อัตราห่วง 9.87-26.32 0.08-7.04 7.03-83.32 และ 0.10-0.63 μM ตามลำดับ ระดับความเค็มมีค่าระหว่าง 14.86-31.75 psu อุณหภูมน้ำมีค่าระหว่าง 29.35-34.36 องศาเซลเซียส ออกซิเจนละลายน้ำมีค่าระหว่าง 6.65-11.33 มิลลิกรัมต่อลิตร และความเป็นกรดเป็นด่างในน้ำมีค่าระหว่าง 8.09-8.64 ซึ่งสามารถทำให้มวลชีวภาพมีค่าระหว่าง 3.34-81.61 กรัมน้ำหนักแห้งต่อตารางเมตร

1.3 *Halophila ovalis*

คุณภาพน้ำในแหล่งหญ้าทะเลชนิด *Halophila ovalis* มีช่วงความเหมาะสมของคุณภาพน้ำที่หญ้าทะเลชนิดนี้สามารถออยู่อาศัยได้โดยมีความเข้มข้นของชาต้อาหารในน้ำ ได้แก่ แอมโมเนียม-ไนโตรเจน ในไทรท์และไนเตรท-ไนโตรเจน ซิลิกेट-ซิลิคอน และออร์โนฟอสเฟต-ฟอสฟอรัส อัตราห่วง 8.00-5.25 0.72-0.98 28.90-29.31 และ 1.75-1.94 μM ตามลำดับ ระดับความเค็มมีค่าระหว่าง 29.67-30.30 psu อุณหภูมน้ำมีค่าระหว่าง 29.7-30.6 องศาเซลเซียส ออกซิเจนละลายน้ำมีค่าระหว่าง 6.10-7.96 มิลลิกรัมต่อลิตร และความเป็นกรดเป็นด่างในน้ำมีค่าระหว่าง 7.56-8.16 ซึ่งสามารถทำให้มวลชีวภาพมีค่าระหว่าง 27.69-40.15 กรัมน้ำหนักแห้งต่อตารางเมตร

1.4 *Halophila decipiens*

คุณภาพน้ำในแหล่งหญ้าทะเลชนิด *Halophila decipiens* มีช่วงความเหมาะสมของคุณภาพน้ำที่หญ้าทะเลชนิดนี้สามารถออยู่อาศัยได้โดยมีความเข้มข้นของชาต้อาหารในน้ำ ได้แก่ แอมโมเนียม-ไนโตรเจน ในไทรท์และไนเตรท-ไนโตรเจน ซิลิกेट-ซิลิคอน และออร์โนฟอสเฟต-ฟอสฟอรัส อัตราห่วง 15.84-20.59 0.04-0.63 7.45-9.89 และ 0.42-0.61 μM ตามลำดับ ระดับ

ความเค็มมีค่าระหว่าง 29.90-32.89 psu อุณหภูมิน้ำมีค่าระหว่าง 29.8-31.8 องศาเซลเซียส ออกซิเจนละลายน้ำมีค่าระหว่าง 5.14-6.65 มิลลิกรัมต่อลิตร และความเป็นกรดเป็นด่างในน้ำมีค่าระหว่าง 8.11-8.44 ซึ่งสามารถทำให้มวลชีวภาพมีค่าระหว่าง 0.15-4.84 กรัมน้ำหนักแห้งต่ำต่อตารางเมตร

1.5 *Halodule uninervis* และ *Cymodocea serrulata*

คุณภาพน้ำในแหล่งหญ้าทะเลชนิด *Halodule uninervis* และ *Cymodocea serrulata* มีระดับความเหมาะสมของคุณภาพน้ำที่หญ้าทะเลแห้ง 2 ชนิดนี้สามารถอยู่อาศัยได้โดยมีความเข้มข้นของชาตุอาหารในน้ำ ได้แก่ แอมโนเนียม-ในโตรเจน ในไตรท์และในเตรท-ในโตรเจน ซิลิกะ-ซิลิกอน และออร์โซฟอสเฟต-ฟอสฟอรัส เท่ากับ 21.25 0.05 9.42 และ 0.59 μM ตามลำดับ ระดับความเค็มมีค่าเท่ากับ 30.25 psu อุณหภูมิน้ำมีค่าเท่ากับ 29.1 องศาเซลเซียส ออกซิเจนละลายน้ำมีค่าเท่ากับ 6.7 มิลลิกรัมต่อลิตร และความเป็นกรดเป็นด่างในน้ำมีค่าเท่ากับ 8.12 ซึ่งสามารถทำให้มวลชีวภาพของหญ้าทะเลชนิด *Halodule uninervis* และ *Cymodocea serrulata* มีค่าเท่ากับ 1.56 และ 222.84 กรัมน้ำหนักแห้งต่ำต่อตารางเมตร ตามลำดับ

2. คุณภาพดินตะกอน

ช่วงและระดับของคุณภาพดินตะกอนสามารถสรุปตามชนิดของหญ้าทะเลที่พบดังต่อไปนี้

2.1 *Enhalus acoroides*

ช่วงของคุณภาพดินตะกอนระดับความลึก 0-1 เซนติเมตร ที่เหมาะสมต่อการอยู่อาศัยของหญ้าทะเลชนิด *Enhalus acoroides* โดยทำให้มวลชีวภาพส่วนหนึ่งอดินมีค่าอยู่ระหว่าง 28.01-86.47 กรัมน้ำหนักแห้งต่ำต่อตารางเมตร ได้แก่ ปริมาณแอมโนเนียม-ในโตรเจน ซิลิกะ-ซิลิกอน และออร์โซฟอสเฟต-ฟอสฟอรัสในน้ำระหว่างอนุภาคดินตะกอน มีค่าอยู่ระหว่าง 64.91-371.26 17.73-46.71 และ 0.80-2.47 μM ตามลำดับ ปริมาณน้ำในดินตะกอนมีค่าอยู่ระหว่าง 21.80-47.89 เปอร์เซนต์ ปริมาณสารอินทรีร่วมในดินตะกอนมีค่าอยู่ระหว่าง 15.59-42.73 มิลลิกรัมต่อกิโลกรัมน้ำหนักแห้ง ความเป็นกรดเป็นด่างในดินตะกอน 7.42-8.83 โดยที่ดินตะกอนจะประกอบด้วยอนุภาคที่มีขนาดใหญ่กว่า 1,000 ไมโครเมตร ระหว่าง 500-1,000 250-500 125-250 63-125

ไม้โกรเมตร และเล็กกว่า 63 ไม้โกรเมตร มีปริมาณอยู่ระหว่างร้อยละ 0.61-4.53 0.04-1.27 0.07-4.91 0.42-65.64 9.67-77.70 และ 10.08-72.75 ตามลำดับ

มวลชีวภาพส่วนเหนือดินของหญ้าทะเลชนิด *Enhalus acoroides* จะมีค่ามากที่สุดเท่ากับ 86.47 กรัมน้ำหนักแห้งต่อตารางเมตร เมื่อปริมาณแอมโมเนียม-ในโตรเจน ซิลิกेट-ซิลิคอน และออร์ฟอสเฟต-ฟอสฟอรัสในน้ำระหว่างอนุภาคดินตะกอน มีค่าเท่ากับ 188.02 37.26 และ 1.39 μM ตามลำดับ ปริมาณน้ำในดินตะกอนมีค่าเท่ากับ 29.37 เปอร์เซนต์ ปริมาณสารอินทรีย์รวมในดินตะกอนมีค่าเท่ากับ 28.43 มิลลิกรัมต่อกรัมน้ำหนักแห้ง ความเป็นกรดเป็นด่างในดินตะกอนเท่ากับ 8.37 โดยที่ดินตะกอนจะประกอบด้วยอนุภาคที่มีขนาดใหญ่กว่า 1,000 ไม้โกรเมตร ระหว่าง 500-1,000 250-500 125-250 63-125 ไม้โกรเมตร และเล็กกว่า 63 ไม้โกรเมตร มีปริมาณเท่ากับร้อยละ 4.53 1.27 2.02 11.97 9.67 และ 70.54 ตามลำดับ

คุณภาพดินตะกอนที่ระดับความลึก 0-1 เซนติเมตร ที่ทำให้หญ้าทะเลชนิด *Enhalus acoroides* มีความอุดมสมบูรณ์ คือ แอมโมเนียม-ในโตรเจนและซิลิกेट-ซิลิคอนในน้ำระหว่างอนุภาคดินตะกอน และดินตะกอนระดับความลึก 0-5 เซนติเมตร ที่มีขนาดอนุภาคเล็กกว่า 63 ไม้โกรเมตร ซึ่งพบว่าแอมโมเนียม-ในโตรเจนในน้ำระหว่างอนุภาคดินตะกอนมีความสัมพันธ์กับมวลชีวภาพส่วนเหนือดิน พ布ค่าสัมประสิทธิ์การตัดสินใจเท่ากับ 0.6779 ซิลิกेट-ซิลิคอนในน้ำระหว่างอนุภาคดินตะกอนกับมวลชีวภาพส่วนเหนือดิน พบค่าสัมประสิทธิ์การตัดสินใจเท่ากับ 0.6859 และอนุภาคดินตะกอนที่มีขนาดอนุภาคเล็กกว่า 63 ไม้โกรเมตร กับมวลชีวภาพส่วนเหนือดินพบค่าสัมประสิทธิ์การตัดสินใจเท่ากับ 0.5126 ทั้งนี้ ความเข้มข้นของแอมโมเนียม-ในโตรเจนและซิลิกेट-ซิลิคอนในน้ำระหว่างอนุภาคดินตะกอน ที่ส่งผลให้มวลชีวภาพส่วนเหนือดินมีค่าระหว่าง 80.00-100.00 และ 71.61-81.72 กรัมน้ำหนักแห้งต่อตารางเมตร ตามลำดับ โดยที่ความเข้มข้นของแอมโมเนียม-ในโตรเจนและซิลิกेट-ซิลิคอนในน้ำระหว่างอนุภาคดินตะกอนมีค่าระหว่าง 300.00-371.26 และ 37.26-46.71 μM ตามลำดับ ส่วนปริมาณดินตะกอนที่มีขนาดอนุภาคเล็กกว่า 63 ไม้โกรเมตร ที่ส่งผลให้มวลชีวภาพส่วนเหนือดินมีค่าระหว่าง 82.50-100.00 กรัมน้ำหนักแห้งต่อตารางเมตร มีปริมาณอยู่ระหว่างร้อยละ 60.00-72.75

2.2 *Halodule pinifolia*

ช่วงของคุณภาพดินตะกอนระดับความลึก 0-1 เซนติเมตร ที่เหมาะสมต่อการอยู่อาศัยของหญ้าทะเลชนิด *Halodule pinifolia* โดยทำให้มวลชีวภาพมีค่าอยู่ระหว่าง 27.69-40.15 กรัม น้ำหนักแห้งต่ำต่อตารางเมตร ได้แก่ ปริมาณแอมโมเนียม-ในไตรเจน ซิลิกेट-ซิลิคอน และออร์โซฟอสเฟต-ฟอสฟอรัสในน้ำระหว่างอนุภาคดินตะกอน มีค่าอยู่ระหว่าง 29.33-530.34 11.07-73.75 และ 0.91-9.94 μM ตามลำดับ ปริมาณน้ำในดินตะกอนมีค่าอยู่ระหว่างร้อยละ 19.77-42.45 ปริมาณสารอินทรีย์รวมในดินตะกอนมีค่าอยู่ระหว่าง 12.31-51.51 มิลลิกรัมต่อกิโลกรัมน้ำหนักแห้ง ความเป็นกรดเป็นด่างในดินตะกอน 8.02-8.61 โดยที่ดินตะกอนจะประกอบด้วยอนุภาคที่มีขนาดใหญ่กว่า 1,000 ไมโครเมตร ระหว่าง 500-1,000 250-500 125-250 63-125 ไมโครเมตร และเล็กกว่า 63 ไมโครเมตร มีปริมาณอยู่ระหว่างร้อยละ 0.04-9.92 0.28-3.86 0.28-20.02 0.25-71.40 2.81-67.09 และ 2.88-96.32 ตามลำดับ

มวลชีวภาพของหญ้าทะเลชนิด *Halodule pinifolia* จะมีค่ามากที่สุดเท่ากับ 81.61 กรัม น้ำหนักแห้งต่ำต่อตารางเมตร เมื่อความชื้นขั้นของแอมโมเนียม-ในไตรเจน ซิลิกेट-ซิลิคอน และออร์โซฟอสเฟต-ฟอสฟอรัสในน้ำระหว่างอนุภาคดินตะกอน มีค่าเท่ากับ 351.01 61.02 และ 0.91 μM ตามลำดับ ปริมาณน้ำในดินตะกอนมีค่าเท่ากับร้อยละ 23.74 ปริมาณสารอินทรีย์รวมในดินตะกอน มีค่าเท่ากับ 12.31 มิลลิกรัมต่อกิโลกรัมน้ำหนักแห้ง ความเป็นกรดเป็นด่างในดินตะกอนเท่ากับ 8.07 โดยที่ดินตะกอนจะประกอบด้วยอนุภาคที่มีขนาดใหญ่กว่า 1,000 ไมโครเมตร ระหว่าง 500-1,000 250-500 125-250 63-125 ไมโครเมตร และเล็กกว่า 63 ไมโครเมตร มีปริมาณเท่ากับร้อยละ 0.04 0.28 0.28 0.27 2.81 และ 96.32 ตามลำดับ

ปัจจัยของคุณภาพดินตะกอนที่ระดับความลึก 0-1 เซนติเมตร ที่ทำให้หญ้าทะเลชนิด *Halodule pinifolia* มีความอุดมสมบูรณ์ คือ แอมโมเนียม-ในไตรเจน ซิลิกेट-ซิลิคอน และออร์โซฟอสเฟต-ฟอสฟอรัสในน้ำระหว่างอนุภาคดินตะกอน และดินตะกอนระดับความลึก 0-5 เซนติเมตร ที่มีขนาดอนุภาคเล็กกว่า 63 ไมโครเมตร ซึ่งพบว่าแอมโมเนียม-ในไตรเจนในน้ำระหว่างอนุภาคดินตะกอนมีความสัมพันธ์กับมวลชีวภาพ พนค่าสัมประสิทธิ์การตัดสินใจเท่ากับ 0.5812 ซิลิกेट-ซิลิคอนและออร์โซฟอสเฟต-ฟอสฟอรัสในน้ำระหว่างอนุภาคดินตะกอนมีความสัมพันธ์กับมวลชีวภาพ พนค่าสัมประสิทธิ์การตัดสินใจเท่ากับ 0.4815 และ 0.3407 ตามลำดับ และดินตะกอนระดับความลึก 0-5 เซนติเมตร ที่มีขนาดอนุภาคเล็กกว่า 63 ไมโครเมตร มีความสัมพันธ์กับมวลชีวภาพ

พบค่าสัมประสิทธิ์การตัดสินใจเท่ากับ 0.5488 ทั้งนี้ ความเข้มข้นของแอมโมเนียม-ในโตรเจน ชิลิกอน-ชิลิกอน และออร์โซฟอสเฟต-ฟอสฟอรัสในน้ำระหัวงอนุภาคดินตะกอน ที่ส่งผลให้มวลชีวภาพมีค่าระหัวง 80.00-133.00 60.00-91.41 และ 60.00-86.25 กรัมน้ำหนักแห้งต่อตารางเมตร ตามลำดับ โดยที่ความเข้มข้นของแอมโมเนียม-ในโตรเจน ชิลิกอน-ชิลิกอน และออร์โซฟอสเฟต-ฟอสฟอรัสในน้ำระหัวงอนุภาคดินตะกอน มีค่าระหัวง 424.39-530.34 61.29-73.75 และ 2.41-2.86 μM ตามลำดับ ส่วนปริมาณดินตะกอนระดับความลึก 0-5 เซนติเมตร ที่มีขนาดอนุภาคเล็กกว่า 63 ไมโครเมตร ที่ส่งผลให้มวลชีวภาพส่วนมีค่าระหัวง 72.50-90.00 กรัมน้ำหนักแห้งต่อตารางเมตร มีปริมาณอยู่ระหว่างร้อยละ 80.00-96.32

2.3 *Halophila ovalis*

ช่วงของคุณภาพดินตะกอนระดับความลึก 0-1 เซนติเมตร ที่เหมาะสมต่อการอยู่อาศัยของหญ้าทะเลชนิด *Halophila ovalis* โดยทำให้มวลชีวภาพมีค่าอยู่ระหว่าง 27.69-40.15 กรัมน้ำหนักแห้งต่อตารางเมตร ได้แก่ ปริมาณแอมโมเนียม-ในโตรเจน ชิลิกอน-ชิลิกอน และออร์โซฟอสเฟต-ฟอสฟอรัสในน้ำระหัวงอนุภาคดินตะกอน มีค่าอยู่ระหว่าง 558.15-916.28 0.91-9.94 และ 0.91-9.94 μM ตามลำดับ ปริมาณน้ำในดินตะกอนมีค่าอยู่ระหว่างร้อยละ 18.34-33.33 ปริมาณสารอินทรีย์รวมในดินตะกอนมีค่าอยู่ระหว่าง 15.49-29.58 มิลลิกรัมต่อกรัมน้ำหนักแห้ง ความเป็นกรดเป็นด่างในดินตะกอน 7.55-7.99 โดยที่ดินตะกอนจะประกอบด้วยอนุภาคที่มีขนาดใหญ่กว่า 1,000 ไมโครเมตร ระหว่าง 500-1,000 250-500 125-250 63-125 ไมโครเมตร และเล็กกว่า 63 ไมโครเมตร มีปริมาณอยู่ระหว่างร้อยละ 9.24-30.39 8.66-21.69 15.81-31.24 8.32-31.06 2.74-15.29 และ 5.61-31.51 ตามลำดับ

มวลชีวภาพของหญ้าทะเลชนิด *Halophila ovalis* จะมีค่ามากที่สุดเท่ากับ 40.15 กรัมน้ำหนักแห้งต่อตารางเมตร เมื่อปริมาณแอมโมเนียม-ในโตรเจน ชิลิกอน-ชิลิกอน และออร์โซฟอสเฟต-ฟอสฟอรัสในน้ำระหัวงอนุภาคดินตะกอน มีค่าเท่ากับ 558.15 47.60 และ 2.01 μM ตามลำดับ ปริมาณน้ำในดินตะกอนมีค่าเท่ากับร้อยละ 20.61 ปริมาณสารอินทรีย์รวมในดินตะกอน มีค่าเท่ากับ 18.29 มิลลิกรัมต่อกรัมน้ำหนักแห้ง ความเป็นกรดเป็นด่างในดินตะกอนเท่ากับ 7.55 โดยที่ดินตะกอนจะประกอบด้วยอนุภาคที่มีขนาดใหญ่กว่า 1,000 ไมโครเมตร ระหว่าง 500-1,000 250-500 125-250 63-125 ไมโครเมตร และเล็กกว่า 63 ไมโครเมตร มีปริมาณเท่ากับร้อยละ 21.05 16.94 20.68 19.49 11.49 และ 10.35 ตามลำดับ

ปัจจัยของคุณภาพดินตะกอนที่ระดับความลึก 0-1 เซนติเมตร ที่ทำให้หญ้าทะเลชนิด *Halophila ovalis* มีความอุดมสมบูรณ์ คือ ชิลิกอต-ชิลิกอนในน้ำระหว่างอนุภาคดินตะกอน ปริมาณน้ำในดินตะกอน และดินตะกอนขนาดอนุภาคระหว่าง 125-250 และ 63-125 ไมโครเมตรที่ระดับความลึก 0-5 เซนติเมตร ซึ่งพบว่า ชิลิกอต-ชิลิกอนในน้ำระหว่างอนุภาคดินตะกอนมีความสัมพันธ์ กับมวลชีวภาพ พนค่าสัมประสิทธิ์การตัดสินใจเท่ากับ 0.7289 ปริมาณน้ำในดินตะกอนมีความสัมพันธ์กับมวลชีวภาพ พนค่าสัมประสิทธิ์การตัดสินใจเท่ากับ 0.3596 ส่วนขนาดอนุภาคดินตะกอนระหว่าง 125-250 และ 63-125 ไมโครเมตร มีความสัมพันธ์กับมวลชีวภาพ พนค่าสัมประสิทธิ์การตัดสินใจเท่ากับ 0.3601 และ 0.4965 ตามลำดับ ทั้งนี้ ความเข้มข้นของชิลิกอต-ชิลิกอนในน้ำระหว่างอนุภาคดินตะกอน ที่ส่งผลให้มวลชีวภาพมีค่าระหว่าง 36.00-40.00 กรัม น้ำหนักแห้งต่อตารางเมตร โดยที่ความเข้มข้นของชิลิกอต-ชิลิกอนในน้ำระหว่างอนุภาคดินตะกอน มีค่าระหว่าง 40.00-54.97 μM ตามลำดับ ส่วนปริมาณดินตะกอนที่มีขนาดอนุภาคระหว่าง 125-250 และ 63-125 ไมโครเมตร ที่ส่งผลให้มวลชีวภาพมีค่าระหว่าง 34.50-40.00 และ 36.73-40.15 กรัม น้ำหนักแห้งต่อตารางเมตร มีปริมาณอยู่ระหว่างร้อยละ 20.00-30.77 และ 10.00-15.29 ตามลำดับ

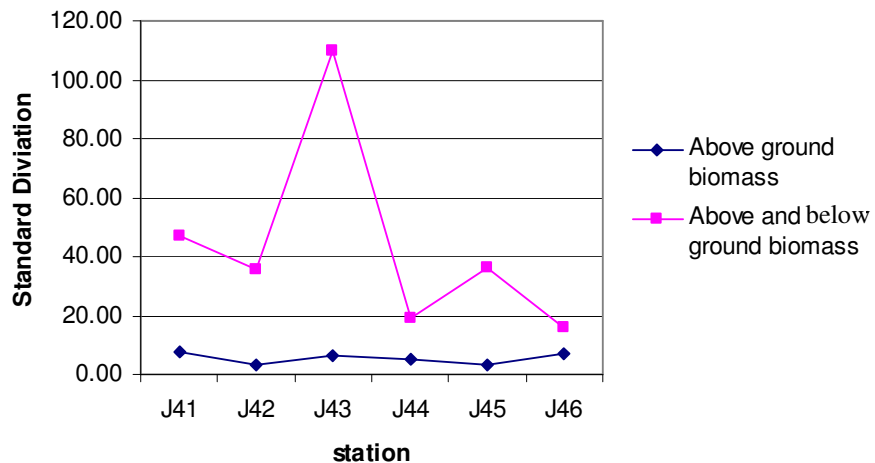
ข้อเสนอแนะ

ในการศึกษาความสัมพันธ์ระหว่างปัจจัยสิ่งแวดล้อมที่เหมาะสมต่อการเจริญเติบโตของหญ้าทะเลเพื่อการเลือกแหล่งปลูกหญ้าทะเลให้ประสบความสำเร็จ ควรมีการศึกษาดัดตามการเปลี่ยนแปลงของปัจจัยสิ่งแวดล้อมและหญ้าทะเลในบริเวณเดิมติดต่อกับครบถ้วนๆ การเปลี่ยนแปลงของปัจจัยสิ่งแวดล้อมและหญ้าทะเลในบริเวณเดิมติดต่อกับครบถ้วนๆ เนื่องจากค่าปัจจัยสิ่งแวดล้อมที่พบว่ามีความเหมาะสมในการเก็บตัวอย่างเพียง 1 ครั้ง อาจเป็นระดับความเหมาะสมที่มีค่าสูงที่สุดที่หญ้าทะเลชนิดหนึ่ง ๆ จะอาศัยอยู่ได้ และหากนำไปใช้เป็นเกณฑ์วัดโอกาสในการดำเนินการปลูกหญ้าทะเลในแหล่งใหม่โดยวัดจากระดับของปัจจัยสิ่งแวดล้อมของแหล่งใหม่ซึ่งอาจเป็นระดับต่ำสุดที่หญ้าทะเลชนิดนั้น ๆ สามารถอาศัยอยู่ได้แล้ว เมื่อคุณภาพสิ่งแวดล้อมแหล่งใหม่เปลี่ยนแปลงจนต่ำกว่าระดับที่หญ้าทะเลสามารถอาศัยอยู่ได้ โอกาสที่จะปลูกหญ้าทะเลให้ประสบความสำเร็จในแหล่งใหม่ก็จะมีน้อยลง เนื่องจาก เป้าหมายของการปลูกหญ้าทะเลให้สำเร็จนั้น คือการสร้างแหล่งหญ้าทะเลแหล่งใหม่ หรือฟื้นฟูแหล่งเดิมจนหญ้าทะเลสามารถขึ้นอยู่ สืบพันธุ์ และขยายพื้นที่จนกลายเป็นระบบนิเวศหญ้าทะเลที่เกื้อหนุนการดำรงชีวิตของสัตว์น้ำและมนุษย์ได้ นอกจากนี้การศึกษาแบบเฝ้าติดตามในแหล่งหญ้าทะเลแห่งใหม่แห่งหนึ่ง จะทำให้ทราบถึงความสัมพันธ์กันระหว่างทิศทางการเปลี่ยนแปลงปัจจัยสิ่งแวดล้อมกับหญ้าทะเล ซึ่งจะทำให้ทราบถึงช่วงความเหมาะสมของปัจจัยสิ่งแวดล้อมกับหญ้าทะเลชนิดหนึ่งได้ดียิ่งขึ้น

สำหรับปัจจัยสิ่งแวดล้อมที่สำคัญซึ่งการศึกษาเพิ่มเติมและทำความคุ้นเคยไปคือ ความเข้มแสง ระยะเวลาในการผึ่งแห้ง และอัตราการตกตะกอนซึ่งนับว่ามีความสำคัญยิ่งต่อการอยู่รอดของหญ้าทะเล

ส่วนวิธีการเก็บตัวอย่างหญ้าทะเลเพื่อศึกษามวลชีวภาพของหญ้าทะเลชนิด *Enhalus acoroides* ควรเก็บเฉพาะส่วนที่อยู่เหนือดิน เนื่องจากหญ้าทะเลชนิดนี้มีส่วนใต้ดินค่อนข้างลึก การบุคคลส่วนได้ดินขึ้นมาทึ่งหมดจึงทำได้ยาก มีผลทำให้เกิดส่วนเบี่ยงเบนมาตรฐานในการประเมินมวลชีวภาพของพื้นที่สูงด้วย ชาคริต (2549) ได้การศึกษาเปรียบเทียบความผันแปรระหว่างมวลชีวภาพส่วนเหนือดินและส่วนใต้ดินในแต่ละฤดูกาล พบว่าค่าความผันแปรของมวลชีวภาพเฉลี่ยส่วนใต้ดินจะมีค่าสูงกว่าส่วนเหนือดิน ซึ่งหากประเมินค่ามวลชีวภาพในหญ้าทะเลชนิดนี้โดยใช้ผลรวมจากส่วนเหนือดินและส่วนใต้ดิน พบร่วมกันจะทำให้ส่วนเบี่ยงเบนมาตรฐานมีค่ามากขึ้น (ภาพที่ 70) ดังนั้นการประเมินค่ามวลชีวภาพของหญ้าทะเลชนิด *E. acoroides* โดยใช้เฉพาะส่วนเหนือดินจะสามารถ

ลดส่วนเปี่ยงเบนมาตรฐานที่เกิดจากการบุดส่วนได้ดินขึ้นมาไม่หมด นอกจากนี้ ยังสามารถช่วยประหัดเวลาและแรงงาน โดยเฉพาะอย่างยิ่ง เน็งที่คงอยู่ได้ดีจะสามารถออกขึ้นเป็นต้นใหม่ได้



ภาพที่ 70 ความแตกต่างของค่าส่วนเปี่ยงเบนมาตรฐานระหว่างมวลชีวภาพเฉพาะส่วนเหนือดิน และมวลชีวภาพรวมส่วนเหนือดินและส่วนใต้ดินของหญ้าทะเลชนิด *Enhalus acoroides*

ที่มา: ชาคริต (2549)

เอกสารและสิ่งอ้างอิง

กรมควบคุมมลพิษ 2548. โครงการติดตามตรวจสอบคุณภาพน้ำทะเล. สำนักจัดการคุณภาพน้ำ.
กระทรวงทรัพยากรธรรมชาติและสิ่งแวดล้อม, กรุงเทพฯ.

กรมควบคุมมลพิษ . 2549. โครงการศึกษาขีดความสามารถในการรองรับมลพิษและ
แผนปฏิบัติการในการป้องกันและแก้ไขปัญหามลพิษสิ่งแวดล้อมในพื้นที่ภาคล้านนา.
สำนักจัดการคุณภาพน้ำ. กระทรวงทรัพยากรธรรมชาติและสิ่งแวดล้อม, กรุงเทพฯ.

กรมทรัพยากรทางทะเลและชายฝั่ง กระทรวงทรัพยากรธรรมชาติและสิ่งแวดล้อม. 2548. การ
สำรวจและประเมินผลกระทบจากเหตุการณ์ธรรมชาติพิบัติภัยต่อทรัพยากรชายฝั่งทะเลใน
ทะเลอันดามัน. กรมทรัพยากรทางทะเลและชายฝั่ง กระทรวงทรัพยากรธรรมชาติและ
สิ่งแวดล้อม, กรุงเทพฯ.

กรมประมง. 2545. ความเป็นไปได้ในการปิดอ่าวคุ้งกระเบนเพื่อการเลี้ยงปลาและพะยูน. ศูนย์
ศึกษาการพัฒนาอ่าวคุ้งกระเบน. กรมประมง.

กรมอุทกศาสตร์ กองทัพเรือ. 2548. มาตรฐาน น่านน้ำไทย แม่น้ำเจ้าพระยา-อ่าวไทย-ทะเลอันดา
มัน พ.ศ. 2548. กรมอุทกศาสตร์ กองทัพเรือ, กรุงเทพฯ.

กาญจนภาชน์ ลิ่วมโนมนต์, สุจินต์ ดีแท้ และวิทยา ศรีเมือง. 2534. อนุกรรมวิชานและ
นิเวศวิทยาของหมู่บ้านในประเทศไทย. คณะประมง มหาวิทยาลัยเกษตรศาสตร์,
กรุงเทพฯ.

คณะสิ่งแวดล้อมและทรัพยากรศาสตร์. 2547. ข้อมูลสารสนเทศทางภูมิศาสตร์ (GIS database) :
เล่มที่ 3 หมู่บ้าน. คณะสิ่งแวดล้อมและทรัพยากรศาสตร์ มหาวิทยาลัยมหิดล,
กรุงเทพฯ.

กรมป่าไม้. 2543. การสำรวจหญ้าทะเล. คู่มืออุทยานแห่งชาติ. ฉบับที่ 3.ส่วนอุทยานแห่งชาติทาง
ทะเล สำนักอนุรักษ์ทรัพยากรธรรมชาติ

จารุมาศ เมฆสัมพันธ์. 2548. ดินตะกอน. ภาควิชาชีวิทยาประมง คณะประมง
มหาวิทยาลัยเกษตรศาสตร์, กรุงเทพฯ.

จำลอง โอดอ่อน. 2546. สัตว์ทะเลหน้าดินบริเวณพื้นที่หญ้าทะเล อ่าวบางพระ จังหวัดชลบุรี, น.
304-311. ใน รายงานการประชุมวิชาการของมหาวิทยาลัยเกษตรศาสตร์ ครั้งที่ 41
(สาขาประมง). มหาวิทยาลัยเกษตรศาสตร์, กรุงเทพฯ.

จิตติมา อายุตตะภ. 2544. การศึกษาเบื้องต้นประชามติสิ่งมีชีวิตพื้นทะเล.
มหาวิทยาลัยเกษตรศาสตร์, กรุงเทพ.

จิตติมา อายุตตะภ, สันติ สงข์ทอง และ กนกพันธ์ อวยวนนท์. 2535. แหล่งหญ้าทะเลบริเวณอ่าว
คุ้งกระเบนจังหวัดจันทบุรี, น. 369-378. ใน รายงานการประชุมสัมมนาประจำปี 2535,
กรมประมง, กรุงเทพฯ.

ชัชรี สุพันธุ์วนิช. 2543. หญ้าทะเล, น. 22-28. ใน จิตติมา อายุตตะภ และมาเรียม กอสานาน,
บรรณาธิการ. อุทยานทรัพยากรชายฝั่งอันดามันเคลื่อนพระเกี้ยรติ. สถาบันวิจัยและ
พัฒนาแห่งมหาวิทยาลัยเกษตรศาสตร์ มหาวิทยาลัยเกษตรศาสตร์ อักษรสยามการพิมพ์,
กรุงเทพฯ

ชัชรี แก้วสุรลิพิท. 2549. สัณฐานวิทยาและสรีรวิทยาหญ้าทะเล. ภาควิชาชีวิทยาประมง คณะ
ประมง คณะประมง มหาวิทยาลัยเกษตรศาสตร์, กรุงเทพฯ.

ชาคริต เรืองสอน, เนยสูพงษ์ เมฆสัมพันธ์ และภัททิรา เกษมศิริ. 2549. การศึกษาการ
แพร่กระจายและมวลชีวภาพของหญ้าทะเล บริเวณเกาะลันตา จังหวัดกระบี่. การ
ประชุมทางวิชาการ ครั้งที่ 44. มหาวิทยาลัยเกษตรศาสตร์.

เซย์สูงษ์ เมฆสัมพันธ์. 2545. สรีริวิทยาของแพลงก์ตอนพืชทะเล. ภาควิชาวิทยาศาสตร์ทาง
ทะเล คณะประมง มหาวิทยาลัยเกษตรศาสตร์, กรุงเทพฯ.

ณัฐวีดี นกเกดุ. 2548. การศึกษาการแพร่กระจายของหญ้าทะเลในพื้นที่จังหวัดสุราษฎร์ธานี.
ศูนย์วิจัยทรัพยากรทางทะเลและชายฝั่งอ่าวไทยตอนกลาง. เอกสารวิชาการฉบับที่
7/2548.

บำรุงศักดิ์ นัตรอนันต์วงศ์. 2544. นิเวศวิทยาของไส้เดือนทะเลที่สัมพันธ์กับภาวะสารอินทรีย์
ปริมาณสูงในอ่าวคุ้งกระเบน ประเทศไทย. วิทยานิพนธ์ปริญญาเอก, จุฬาลงกรณ์
มหาวิทยาลัย, กรุงเทพฯ.

เปี่ยมศักดิ์ เมนะเสวต. 2525. แหล่งน้ำกับปัญหามลพิษ. คณะวิทยาศาสตร์ จุฬาลงกรณ์มหาวิทยาลัย,
กรุงเทพฯ.

วิลาสินี อกันธ์กำแหง. 2533. การศึกษาปริมาณสารอินทรีย์ในน้ำและดินตะกอนบริเวณลุ่มน้ำย่อย
ภาคใต้ตอนล่าง. วิทยานิพนธ์ปริญญาโท, มหาวิทยาลัยเกษตรศาสตร์.

ศิรินา อารยะรุ่งโรจน์. 2531. การศึกษาปริมาณสารอินทรีย์ในน้ำและดินตะกอนบริเวณลุ่มน้ำชี.
วิทยานิพนธ์ปริญญาโท, มหาวิทยาลัยเกษตรศาสตร์.

ศุภมาศ พนิชศักดิ์พัฒนา. 2529. จุลชีววิทยาของดินเพื่อผลผลิตทางการเกษตร. ภาควิชาปฏิวิทยา
คณะเกษตร, มหาวิทยาลัยเกษตรศาสตร์.

สมบัติ ภู่ชิรานันท์. 2531. การศึกษาสำรวจเบื้องต้นในประชากมแหน่งหญ้าทะเลบริเวณอ่าวพังงา
ชายฝั่งทะเลอันดามัน, น. 404-414. ใน รายงานการสัมมนาวิชาการประจำปี 2531 วันที่
21-23 กันยายน พ.ศ. 2531. สถาบันประมงน้ำจืดแห่งชาติ, กรุงเทพฯ.

สมเจตน์ จันทวัฒน์. 2522. การอนุรักษ์ดินและน้ำ เล่มที่ 1 การพังทลายของดิน. ภาควิชาปฏิวิทยา
คณะเกษตร, มหาวิทยาลัยเกษตรศาสตร์.

สมศักดิ์ วงศ์ใน. 2528. ชุลินทรีย์และกิจกรรมในดิน. ภาควิชาปฐพีวิทยา คณะเกษตร,
มหาวิทยาลัยเกษตรศาสตร์.

สุจันต์ ดีแท้. 2524. สมุนไพรศาสตร์เคมี. ภาควิชาวิทยาศาสตร์ทางทะเล คณะประมง
มหาวิทยาลัยเกษตรศาสตร์, กรุงเทพฯ.

สุริย์พร ธรรมิกพงษ์. 2548. ความสัมพันธ์ระหว่างคุณภาพน้ำทึ่งนากรุงที่ผ่านระบบบำบัดต่อชนิด
และการกระจายของหอยในแหล่งหญ้าทะเล อ่าวคุ้งกระเบน จังหวัดจันทบุรี.
วิทยานิพนธ์ปริญญาโท, มหาวิทยาลัยมหิดล, กรุงเทพฯ.

อัจฉริ์ ภูมวรรณ. 2536. ความสัมพันธ์ระหว่างมวลชีวภาพของหญ้าทะเลกับปัจจัยสภาพแวดล้อม
บางปะการ บริเวณอ่าวทับละมุ จังหวัดพังงา. วิทยานิพนธ์ปริญญาโท,
มหาวิทยาลัยเกษตรศาสตร์.

Alcoverro, T., J. Romero, C.M. Duarte and N.I. López. 1997. Spatial and temporal variations in
nutrient limitation of seagrass *Posidonia oceanica* growth in the NW Mediterranean.
Mar. Ecol. Prog. Ser. 146: 155-161.

Atkinson, M.J. and S.V. Smith. 1984. C:N:P ratios of benthic marine plants. **Limnol.**
Oceanogr. 28: 568-574.

Benjamin, K.J., D.I. Walker, A.J. McComb and J. Kuo. 1999. Structural response of marine and
estuarine plants of *Halophila ovalis* (R. Br.) Hook. f. to long-term hyposalinity.
Aquat. Bot. 64: 1-17.

Brewer, W.S. and F.K. Pfander. 1979. The distribution of selected organic molecules in fresh
water sediment. **Water Res.** 33:237-240

Bulthuis, D.A. 1987 Effects of temperature on photosynthesis and growth of seagrasses, pp. 27-40. *Cited by* K. Hillman, D.I. Walker, A.W.D. Larkum and A.J. McComb. Productivity and nutrient limitation, pp. 635-685. In A.W.D. Larkum, A.J. McComb and S.A. Shepherd eds.. **Biology of seagrasses.** Elsevier Science Publisher B.V., **Amsterdam.**

Dennison, W.C., R.C. Aller and R.S. Alberte. 1987. Sediment ammonium availability and eelgrass (*Zostera marina*) growth. **Mar. Biol.** 94: 469-477.

Dennison, W.C. 1990. Shoot density. pp. 61-63. In R.C. Phillips and C.P. McRoy, eds. **Seagrass research methods.** Unesco, France.

Den Hartog, C. 1970. **The sea-grasses of the world.** North-Holland Publ. Co. Amsterdam, London.

Duarte, C.M. 1990. Seagrass nutrient content. **Mar. Ecol. Prog. Ser.** 67: 201-207.

Duarte, C.M., M. Merino, N.S.R. Agawin, J. Uri, M.D. Fortes, M.E. Gallegos, N. Marba and M.A. Hemminga. 1998. Root production and belowground seagrass biomass. **Mar. Ecol. Prog. Ser.** 171: 97-108.

Epstein, E. 1994. The anomaly of silicon in plant biology. **Proc. Natl. Acad. Sci. U.S.A.** 91: 11-17.

Erfstemeijer, P.L.A. and J.J. Middelburg. 1993. Sediment-nutrient interactions in tropical seagrass beds: a comparison between a terrigenous and a carbonate sedimentary environment in South Sulawesi (Indonesia). **Mar. Ecol. Prog. Ser.** 187: 187-198.

Halun, Z. 2001. **Experimental evaluation of the effects of siltation-derived changes in sediment conditions on the seagrass *Cymodocea rotundata*.** M.Sc. Thesis, college of Sciences, university of the Philippines, Diliman, Philippines.

Herman, P.M.J., M.A. Hemminga, P.H. Nienhuis, J.M. Verschuur and E.G.J. Wessel. 1996. Wax and wane of eelgrass *Zostera marina* and water column silicon levels. **Mar. Ecol. Prog. Ser.** 144: 303-307.

Hillman, K. and A.J. McComb. 1988. The primary production of the seagrasses *Halophila ovalis* in the Swan/Canning estuary, Western Australia, III, the effect of salinity, temperature and light on *H. ovalis* in culture, and computer simulation of growth. *Cited by* K. Hillman, D.I. Walker, A.W.D. Larkum and A.J. McComb. Productivity and Nutrient Limitation, pp.635-685. *In* A.W.D. Larkum, A.J. McComb and S.A. Shepherd, eds. **Biology of Seagrasses.** Elsevier Science Publishers B.V., Amsterdam

Hillman, K., D.I. Walker, A.W.D. Larkum and A.J. Mc Comb. 1989. Productivity and Nutrient Limitation. pp. 635-685. *In* Larkum, A.W.D. A.J. Mc Comb and S.A. Shepherd, eds. **Biology of Seagrass.** Elsevier Science, London.

Jackson, M.L. 1958. **Organic matter determinations for soil in the soil chemical analysis.** New york: Prentice-Hall, Inc., New York.

Johnstone, I.M. 1979. Papua New Guinea seagrass and aspect of the biology and growth of *Enhalus acoroides* (L.F.) Royle. **Aquat. Bot.** 7: 197-208.

Kamermans, P., M.A. Hemminga and D.J. de jong. 1999. Significance of salinity and silicon levels for growth of a formerly estuarine eelgrass (*Zostera marina*) population (Lake Grevelingen, The Netherlands). **Mar. Biol.** 133: 527-539.

- Kaufman, P.B., P. Dayanandan, Y. Takeoka, W.C. Bigelow, J.D. Jones and R. Iler. 1981. Silica in shoots of higher plants, pp. 409-449. In T.L. Simpson and B.E. Volcani, eds. **Silicon and siliceous structures in biological systems.** Springer Verlag, Berlin.
- Kuo, J., A.J. McComb. 1989. Seagrass taxonomy, structure and development, pp. 6-73. In A.W.D. Larkum, A.J. McComb and S.A. Shepherd, eds. **Biology of seagrasses.** Elsevier, Amsterdam.
- Larkum, A.W.D., A. J. McComb and S. A. Shepherd. 1989. **Biology of seagrasses.** Elsevier, Amsterdam.
- Larkum, A.W.D., G. Roberts, J. Kuo and S. Strother. 1989. Gaseous movement in seagrasses, pp. 686-722. In A.W.D. Larkum, A.J. McComb and S.A. Shepherd, eds. **Biology of seagrasses.** Elsevier, Amsterdam.
- Lanyon, J. 1986. **Guide to the Identification of Seagrass in The Great Barrier Reef Region.** Nadicprint Services Pty. Ltd., Townsville.
- Lewmanomont, K., S. Deetae and V. Shimanobhas. 1996. Seagrasses of Thailand, pp. 21-26. In Kuo J., Phillips R.C., Walker D.I. and Kirkman H., eds. **Seagrass biology: Proceedings of an international workshop,** Rottenest Island, Western Australia, 25-29 January 1996. Faculty of Science, The University of Western Australia, Nedlands, Australia.
- McGlathery, K.J., P. Berg and R. Marino. 2001. Using porewater profiles to assess nutrient availability in seagrass-vegetated carbonate sediments. **Biogeochemistry.** 56: 239-263.

McMillian, C. and F.N. Mosely. 1967. Salinity tolerances of five marine spermatophytes of Redfish Bay, Texas, pp.503-506. *Cited by* K. Hillman, D.I. Walker, A.W.D. Larkum and A.J. McComb. Productivity and Nutrient Limitation, pp.635-685. In A.W.D. Larkum, A.J. McComb and S.A. Shepherd eds.. **Biology of Seagrasses**. Elsevier Science Publishers B.V., Amsterdam

McRoy, C.P. and R.J. Barsdate. 1970. Phosphorus absorption in eelgrass. **Limnol. Oceanogr.** 15: 6-13.

McRoy, C.P. and C. McMillan. 1977. **Production ecology and physiology of seagrasses, pp.53-87** cited by S.D. Tyerman. Solute and water Relation of seagrasses, pp. 723-759. In A.W.D. Larkum, A.J. McComb and S.A. Sheperd eds. **Biology of Seagrasses**. Elservier Science Publishers B.V.,Amsterdam

Meksumpun, C. and S. Meksumpun. 2003. Evaluation of roles of Seagrasses on Physicochemical Qualities of Bottom Deposits in the Southwestern Coast of Thailand, pp. 25-38. *In* I. Koike, ed. **Conservation of Tropical Seagrass Beds with Special Reference to Their Role on Function of Coastal Ecosystem**., Thailand.

Monthum, Y. and C. Aryuthaka. 2006. Spatial distribution of meiobenthic community in Tha Len seagrass bed, Krabi Province, Thailand. **Coast. Mar. Sci.** 30(1): 146-153.

Muramatsu, Y., A. Harada, Y. Ohwaki, S. Takagi and T. Fukuhara. 2002. Salt-Tolerant ATPase Activity in the Plasma Membrane of the Marine Angiosperm *Zostera marina* L. **Plant Cell Physiol.** 43(10): 1137-1145.

Redfield, A.C., B.A. Ketchum and F.A. Richards. 1963. The influence of organisms on the composition of sea-water, pp. 26-77. *In* M.N. Hill, ed. **The sea Vol.2**. Wiley.

- Sand-Jensen, K. 1975. Biomass net production and growth Dynamics in an eelgrass (*Zostera marina*) population in Vellurup Vig, Denmark. **Ophelia** 14: 185-210.
- Short, F.T. and C.P. McRoy. 1984. Nitrogen uptake by leaves and roots of the seagrass (*Zostera marina* L.) and its epiphytes. **Bot. Mar.** 27: 547-555.
- Short, F.T., R.G. Coles and C. Pergent-Martini. 2001. Global seagrass distribution, pp. 5-25. In Short, F.T. and R.G. Coles, eds. **Global Seagrass Research Methods**. Elsevier Science, London.
- Smith, G.W., S.S. Hayasaka, G.W. Thayer. 1979. Root surface area measurements of *Zostera marina* and *Halodule wrightii*. **Bot. Mar.** 22: 347-358.
- Stapel, J. and H.M. Hemminga. 1997. Nutrient resorption from seagrass leaves. **Mar. Biol.** 128: 197-206.
- Terrados, J., C.M. Duarte, M.D. Fortes, J. Borum, N.S.R. Agawin, S. Bach, U. Thampanya and L. Kamp-Nielsen. 1998. Changes in community structure and biomass of seagrass communities along gradients of situation in SE Asia. **Estuar. Coast. Shelf Sci.** 46: 757-768.
- Thorhaug, A. 1986. Review of Seagrass Restoration Efforts. **Ambio** 15:110-117
- Umezawa, Y., M. Yamamoto, K. Lewmanomont and I. Koike. 2003. The variability of nitrogen Sources for macrophyte at intertidal seagrass beds in Thailand during dry season, pp. 97-111. In I. Koike, ed. **Conservation of Tropical Seagrass Bes with Special Reference to Their Role on Function of Coastal Ecosystem**. Thailand.

Umezawa, Y. Komatsu and I. Koike. 2003. Variable Physical Forcing Causing Different Characteristics of Suspended Organic Matters at Seagrass Beds in a Thailand Estuary, pp. 1-24. In I. Koike, ed. **Conservation of Tropical Seagrass Bes with Special Reference to Their Role on Function of Coastal Ecosystem.** Thailand.

Verardo, D., P.N. Froelich and A. McIntyre. 1990. Determination of organic carbon and nitrogen in marine sediments using the Carlo Erba NA-1500 analyzer. **Deep-Sea Res.** **37: 157-165.**

Vichkovitten, T. 1998. Biomass, Growth and Productivity of Seagrass; *Enhalus acoroides* (Linn. f) in Khung Kraben Bay, Chanthaburi, Thailand. **Kasetsart J. (Nat. Sci).** **32:** 109-115.

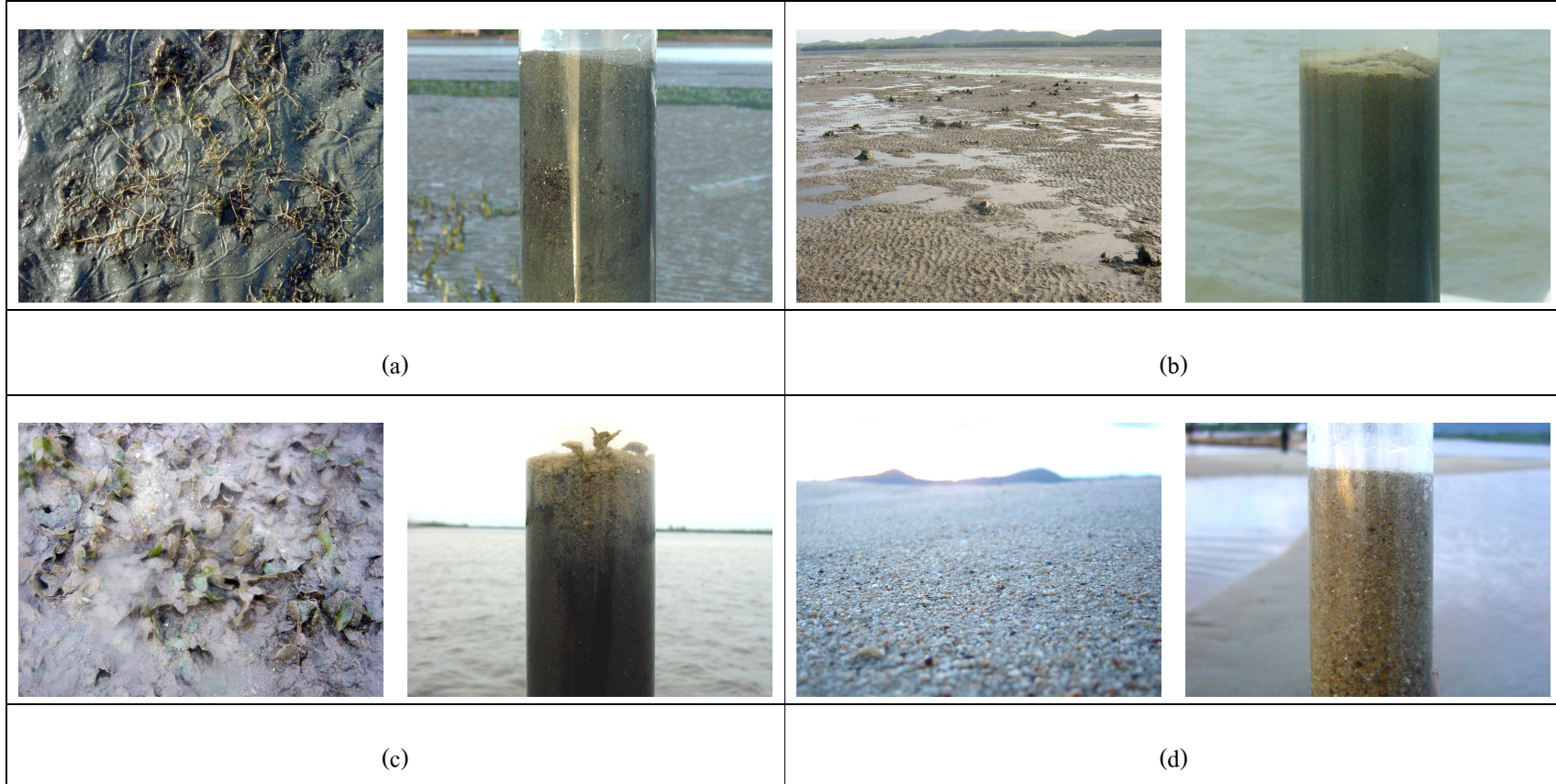
Walstad, D.E. 1994. Aquatic plants prefer ammonium over nitrates. **Freshwater and marine aquarium.** **17(4): 176-177.**

Yamamoto, M., Y. Umezawa and I. Koike. 2004. Internal variations in nutrient concentrations and the C and N stable isotope ratios in leaves of the seagrass *Enhalus acoroides*. **Aquat. Bot.** **79:** 95-102.

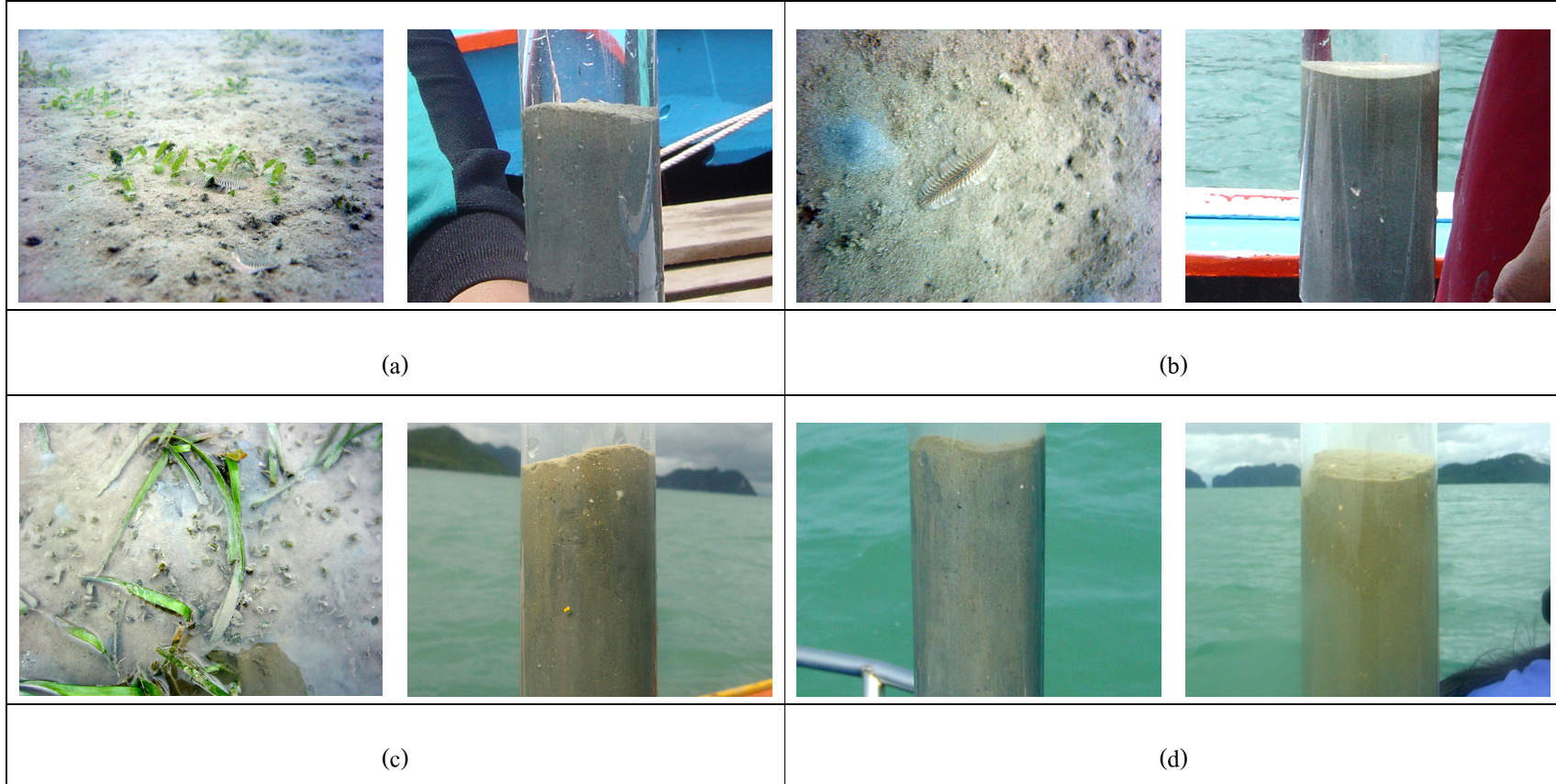
Zieman, J.C. 1972. Origin of circular beds of *Thalassia* (Spermatophyta: Hydrocharitaceae) in South Biscayne Bay, Florida, and their relationship to mangrove hammocks. **Bull. Mar. Sci.** **22:** 559-574.

Zieman, J.C. and R.G. Wetzel. 1980. Productivity in Seagrass: Methods and Rates. pp. 87-116. In R.C. Phillips and C.P. McRoy, eds. **Handbook of Seagrass Biology: an Ecosystem Perspective.** Garland ATPM-Press, New York.

ภาคผนวก



ภาพพนวกที่ 1 ลักษณะคินตะกอนบริเวณที่มีหญ้าทะเลและไม่มีหญ้าทะเลบริเวณอ่าวคุ้งกระเบน จังหวัดจันทบุรี (a และ b) และบริเวณเกาะจง จังหวัดพังงา (c และ d)



ภาพพนวกที่ 2 ลักษณะคินตะกอนบริเวณที่มีหญ้าทะเลและไม่มีหญ้าทะเลบริเวณหาดคลองดาว (a และ b) และบริเวณหาดเจี้ยหดี (c และ d) เกาะลันตาใหญ่ จังหวัดกระบี่

ตารางผนวกที่ 1 คุณภาพน้ำทะเลบริเวณแหล่งหญ้าทะเลแต่ละชนิด

ชื่อชนิดหญ้าทะเล	สถานที่	ค่าความนำทาง		ค่าเคมีทางน้ำ		ค่าทางกายภาพ		ค่าคงที่ติดต่อระหว่างค่าทางน้ำและค่าทางกายภาพ	
		(μM)	(μM)	(μM)	(μM)	(psu)	($^{\circ}\text{C}$)		
	KB1	11.11	0.28	26.42	0.10	24.86	33.51	10.68	8.64
	KB2	14.81	0.14	24.39	0.13	28.59	31.05	11.33	8.63
	KB3	16.04	2.25	38.10	0.27	31.74	30.21	8.96	8.52
	KB4	13.16	2.53	36.07	0.24	31.10	30.23	8.77	8.49
	KB5	13.16	3.66	37.59	0.20	30.41	30.39	9.05	8.54
	KB6	13.16	3.66	37.59	0.20	31.75	29.68	8.62	8.48
	KB7	14.81	7.04	44.71	0.24	28.78	30.43	9.97	8.56
	KB8	9.87	4.36	41.15	0.13	29.21	30.38	9.31	8.50
	KB9	13.57	4.22	43.69	0.20	30.09	30.57	8.98	8.45
	KB10	18.92	2.95	43.69	0.13	22.71	33.56	9.72	8.56
	KB11	26.32	3.94	50.80	0.24	23.01	33.77	9.27	8.56
	KB12	12.75	2.81	35.56	0.13	26.57	32.45	10.15	8.49
	KB13	12.75	2.81	32.51	0.13	29.37	30.64	8.50	8.38
	KB14	14.81	2.95	36.58	0.10	26.87	32.45	8.87	8.42
	KB15	23.45	3.66	49.28	0.13	24.07	33.82	8.74	8.49
<i>Enhalus acoroides</i>	KB16	26.32	3.66	83.32	0.17	14.86	34.36	8.46	8.56
	J1	-	-	-	-	31.41	28.98	7.54	7.87
	J2	15.35	1.07	2.23	0.52	32.91	29.24	7.33	8.33
	J3	-	-	-	-	32.95	29.29	7.41	8.37
	J4	-	-	-	-	33.41	29.45	7.56	8.49
	J5	27.15	16.79	1.80	0.61	33.25	29.22	8.03	8.41
	J6	-	-	-	-	33.94	29.54	7.79	8.41
	J7	-	-	-	-	33.29	29.42	7.63	8.47
	J8	-	-	-	-	33.45	29.47	7.49	8.46
	J9	-	-	-	-	33.42	29.26	8.21	8.42
	J10	-	-	-	-	33.59	29.44	7.53	8.43
	J11	-	-	-	-	33.67	29.45	7.97	8.34
	J12	-	-	-	-	33.91	29.52	7.68	8.27
	J13	-	-	-	-	33.32	29.91	7.78	8.44
	J14	-	-	-	-	31.97	29.97	8.10	8.22
	J15	-	-	-	-	29.90	29.74	7.89	8.14

ตารางผนวกที่ 1 (ต่อ)

พืชต้นหญ้าทะเล	ตัวอย่าง	ค่าทางเคมีในดิน							ค่าทางเคมีในน้ำ
		ขนาดเมล็ด (μM)	ขนาดต่อมน้ำ (μM)	ขนาดต่อมน้ำ-สารประกอบพิเศษ (μM)	ขนาดต่อมน้ำ-สารประกอบพิเศษ (μM)	อัตราการซึมออก	อัตราการซึมออก	อุณหภูมิ (°C)	
<i>Enhalus acoroides</i>	J16	-	-	-	-	33.71	29.69	7.98	8.32
	J17	-	-	-	-	33.75	29.66	7.65	8.25
	J18	-	-	-	-	33.72	29.78	7.70	8.22
<i>Halodule pinifolia</i>	C2	21.67	0.08	7.03	0.63	31.60	29.35	6.65	8.09
	KB1	11.11	0.28	26.42	0.10	24.86	33.51	10.68	8.64
	KB2	14.81	0.14	24.39	0.13	28.59	31.05	11.33	8.63
	KB3	16.04	2.25	38.10	0.27	31.74	30.21	8.96	8.52
	KB4	13.16	2.53	36.07	0.24	31.10	30.23	8.77	8.49
	KB5	13.16	3.66	37.59	0.20	30.41	30.39	9.05	8.54
	KB6	13.16	3.66	37.59	0.20	31.75	29.68	8.62	8.48
	KB7	14.81	7.04	44.71	0.24	28.78	30.43	9.97	8.56
	KB8	9.87	4.36	41.15	0.13	29.21	30.38	9.31	8.50
	KB9	13.57	4.22	43.69	0.20	30.09	30.57	8.98	8.45
	KB10	18.92	2.95	43.69	0.13	22.71	33.56	9.72	8.56
	KB11	26.32	3.94	50.80	0.24	23.01	33.77	9.27	8.56
	KB12	12.75	2.81	35.56	0.13	26.57	32.45	10.15	8.49
	KB13	12.75	2.81	32.51	0.13	29.37	30.64	8.50	8.38
	KB14	14.81	2.95	36.58	0.10	26.87	32.45	8.87	8.42
	KB15	23.45	3.66	49.28	0.13	24.07	33.82	8.74	8.49
	KB16	26.32	3.66	83.32	0.17	14.86	34.36	8.46	8.56
<i>Halophila ovalis</i>	CS1	8.00	0.72	29.31	1.75	29.70	29.27	7.96	8.16
	CN4	8.25	0.98	28.90	1.94	30.03	30.60	6.10	7.56
<i>Halophila decipiens</i>	C3	20.59	0.04	7.45	0.61	29.90	29.80	6.65	8.09
	KD3	15.84	0.10	8.49	0.42	32.89	31.71	5.14	8.44
	KD12	18.05	0.63	9.89	0.44	32.86	31.82	5.26	8.43
<i>Cymodocea serrulata</i>	C1	21.25	0.05	9.42	0.59	30.25	29.10	6.85	8.18

ตารางผนวกที่ 2 คุณภาพดินตะกอนบริเวณแนวชายหาดชนิด *Enhalus acoroides*

ชนิดหญ้าทะเล	สถานี	แอมโมเนียม-ไนโตรเจนในน้ำระหว่างอนุภาคดินตะกอน (μM) ตามระดับชั้นความลึกของดินตะกอน (เซนติเมตร)										
		0-1	1-2	2-3	3-4	0-4	0-5	5-10	10-15	15-20	0-25	
<i>Enhalus acoroides</i>	KE1	153.33	154.67	160.10	142.38	152.62	160.32	243.46	98.87	268.57	119.88	178.22
	KE2	77.98	42.84	77.66	71.89	67.59	60.38	208.20	61.48	86.70	72.33	97.82
	KE3	188.02	223.11	98.48	244.86	188.62	231.40	88.33	69.66	104.79	45.73	107.98
	KE4	371.26	219.46	251.21	213.78	263.93	350.38	265.08	160.86	106.48	67.01	189.96
	JS1	64.91	89.00	67.63	62.23	70.94	88.83	76.86	55.02	57.82	55.18	66.74
	JS2	106.28	114.48	84.08	63.42	92.06	119.43	58.58	41.67	39.66	-	64.84
	JS3	74.55	79.59	63.90	63.34	70.35	126.26	50.13	35.82	32.04	23.78	53.60
	JS4	105.66	62.99	90.15	110.29	92.27	56.98	63.93	39.64	31.71	23.85	43.22
	JS5	143.46	109.20	98.82	108.54	115.01	60.15	48.83	31.49	25.94	16.67	36.62
	JS6	157.50	140.07	125.70	104.79	132.01	275.58	143.14	67.40	51.15	41.11	115.68
<i>Enhalus acoroides</i>	JS7	182.73	90.51	93.79	81.21	112.06	156.78	91.43	115.16	124.98	83.80	114.43
	JS8	172.51	98.86	78.57	95.75	111.42	221.07	176.80	77.54	58.50	-	133.48
	JS9	249.82	125.11	214.61	79.06	167.15	233.76	115.48	41.33	59.72	47.43	99.55
	JS10	88.24	80.43	90.18	74.57	83.36	127.31	184.57	84.29	42.36	33.31	94.37
	ชนิดหญ้าทะเล	สถานี	ชิลิก็อก-ชิลิคอนในน้ำระหว่างอนุภาคดินตะกอน (μM) ตามระดับชั้นความลึกของดินตะกอน (เซนติเมตร)									
<i>Enhalus acoroides</i>	KE1	22.51	22.09	22.26	22.80	22.42	23.53	45.95	59.37	59.13	36.55	44.91
	KE2	36.36	33.96	45.60	65.29	45.30	56.97	67.36	87.02	96.46	95.56	80.67
	KE3	37.26	34.01	35.48	71.89	44.66	35.27	35.01	57.52	63.45	72.49	52.75
	KE4	46.71	34.79	58.49	58.07	49.52	60.91	72.45	81.25	70.33	101.17	77.22

ตารางผนวกที่ 2 (ต่อ)

ชนิดหญ้าทะเล	สถานี	ชิลิกอต-ชิลกอนในน้ำระหว่างอนุภาคดินตะกอน (μM) ตามระดับชั้นความลึกของดินตะกอน (เมตรต่ำมتر)										
		0-1	1-2	2-3	3-4	0-4	0-5	5-10	10-15	15-20	20-25	
<i>Enhalus acoroides</i>	JS1	24.85	42.09	47.79	41.69	39.10	38.27	49.06	42.54	53.38	31.24	42.90
	JS2	24.41	25.04	24.14	24.28	24.47	24.50	30.05	59.85	31.44	-	36.46
	JS3	36.69	24.37	24.46	24.25	27.44	22.24	11.04	21.03	21.16	15.71	18.23
	JS4	30.33	15.07	25.10	18.09	22.15	10.75	10.56	20.95	15.71	21.01	15.80
	JS5	30.51	17.92	17.92	17.81	21.04	10.60	10.75	15.60	22.84	22.02	16.36
	JS6	42.20	17.87	18.04	18.05	24.04	22.06	22.25	22.26	33.78	43.45	28.76
	JS7	35.97	17.82	23.94	31.09	27.20	17.26	21.96	43.47	55.04	33.21	34.19
	JS8	42.02	17.93	18.05	24.44	25.61	22.47	35.04	22.76	33.12	-	28.35
	JS9	17.93	17.96	18.03	18.16	18.02	33.09	32.69	21.84	33.81	28.06	29.90
	JS10	29.81	30.79	30.46	30.59	30.41	23.20	44.33	22.27	22.39	33.00	29.04
ชนิดหญ้าทะเล	สถานี	ออร์โธฟอสฟอต-ฟอสฟอเรสเซินน้ำระหว่างอนุภาคดินตะกอน (μM) ตามระดับชั้นความลึกของดินตะกอน (เมตรต่ำมتر)										
<i>Enhalus acoroides</i>	KE1	2.09	2.06	1.66	1.70	1.88	1.31	1.71	1.77	0.88	2.72	1.68
	KE2	1.80	1.69	0.85	nd	1.45	0.85	0.84	0.86	0.90	nd	0.86
	KE3	1.39	0.84	nd	0.89	1.04	0.88	0.87	nd	2.58	1.80	1.53
	KE4	1.74	2.59	1.48	0.61	1.60	1.81	0.90	0.93	0.87	0.94	1.09
	JS1	2.47	0.80	0.79	1.58	1.41	2.21	2.12	2.10	2.56	0.78	1.95
	JS2	0.81	0.83	0.80	0.40	0.71	2.12	1.56	2.07	0.78	-	1.63
	JS3	0.81	0.40	0.41	1.21	0.71	0.83	nd	0.78	0.79	1.56	0.99
	JS4	0.80	1.60	0.83	1.60	1.21	0.80	2.36	2.34	1.56	0.78	1.57
	JS5	1.62	1.98	1.58	1.57	1.69	0.79	0.80	0.77	1.70	0.82	0.98
	JS6	1.60	1.18	1.20	1.60	1.39	0.82	2.48	1.66	1.26	1.62	1.57

ตารางผนวกที่ 2 (ต่อ)

ชนิดหญ้าทะเล	สถานี	อัตราฟื้นฟูสีฟอก-ฟื้นฟูรักษาในน้ำระห่ำกว่าองุ่นคาดินตะกอน (μM) ตามระดับชั้นความลึกของดินตะกอน (เมตร)									
		0-1	1-2	2-3	3-4	4-5	7-10	10-15	15-20	20-25	0-25
<i>Enhalus acoroides</i>	JS7	1.59	1.58	1.19	1.65	1.50	1.71	0.82	1.62	2.46	1.24
	JS8	1.59	1.58	0.80	1.62	1.40	0.84	2.61	1.69	1.23	-
	JS9	2.38	1.43	2.39	1.61	1.95	1.64	1.22	1.63	0.84	0.70
	JS10	1.58	0.82	0.81	1.62	1.21	0.86	1.65	2.49	1.67	1.66
ชนิดหญ้าทะเล	สถานี	ปริมาณผ้าใบในดินตะกอน (ร้อยละ) ตามระดับชั้นความลึกของดินตะกอน (เมตร)									
<i>Enhalus acoroides</i>	KE1	23.19	22.58	22.12	22.23	22.53	21.92	22.84	23.51	23.66	26.04
	KE2	25.07	24.25	24.15	24.31	24.45	22.32	22.11	23.31	25.09	24.57
	KE3	29.37	20.33	21.31	21.58	23.15	21.63	22.12	21.83	22.83	22.96
	KE4	21.80	21.19	21.12	20.94	21.26	23.95	21.80	22.57	19.58	22.07
	JS1	47.89	32.04	32.12	30.81	35.71	35.88	29.20	29.46	29.48	27.08
	JS2	38.67	28.65	30.22	29.04	31.64	32.16	25.01	24.14	23.42	-
	JS3	34.29	33.50	35.61	33.03	34.11	38.87	35.26	28.98	28.34	27.95
	JS4	34.22	32.03	29.74	28.22	31.05	31.62	29.91	27.53	25.75	28.50
	JS5	32.68	26.32	26.00	24.26	27.31	28.10	24.91	26.17	24.89	24.82
	JS6	31.55	24.23	29.31	28.49	28.40	24.21	23.83	25.39	23.84	23.84
	JS7	31.02	22.77	27.16	35.97	29.23	26.64	25.46	24.74	24.46	24.56
	JS8	26.74	23.68	29.12	28.58	27.03	27.80	30.29	28.86	26.65	-
	JS9	28.32	25.81	27.34	27.27	27.18	23.89	23.13	22.91	25.91	22.78
	JS10	29.49	35.56	34.37	31.40	32.70	30.89	25.24	24.79	26.50	26.36

ตารางผนวกที่ 2 (ต่อ)

ชนิดหญ้าทะเล	สถานี	สารอินทรีย์รวมในดินตะกอน (มิลลิกรัมต่อกิรัมหน้าหักแห้ง) ตามระดับชั้นความลึกของดินตะกอน (เซนติเมตร)									
		0-1	1-2	2-3	3-4	0-4	0-5	5-10	10-15	15-20	20-25
<i>Enhalus acoroides</i>	KE1	32.85	34.34	34.91	41.29	35.85	19.70	19.70	28.74	39.75	35.38
	KE2	39.46	36.56	35.84	39.23	37.77	27.64	37.38	32.38	44.17	30.25
	KE3	28.43	32.79	54.99	64.71	45.23	24.21	42.33	40.06	33.28	34.01
	KE4	22.86	21.34	19.80	21.16	21.29	24.53	32.97	52.17	37.66	35.92
	JS1	42.73	23.06	23.65	22.10	27.89	29.05	22.04	33.26	32.42	26.28
	JS2	28.89	29.84	27.12	27.12	28.24	28.84	23.62	16.31	17.48	-
	JS3	18.60	20.90	27.31	24.48	22.82	25.91	30.92	25.70	21.90	23.51
	JS4	21.70	19.73	19.37	19.51	20.08	21.04	29.52	31.93	39.27	38.02
	JS5	31.44	22.61	20.89	22.01	24.24	23.67	17.87	23.08	22.11	28.06
	JS6	21.71	16.45	19.07	21.27	19.62	20.80	11.14	15.94	12.26	12.68
<i>Zizaniopsis miliacea</i>	JS7	21.54	12.98	19.90	33.70	22.03	23.86	16.13	16.54	20.02	18.16
	JS8	16.28	15.35	20.14	19.29	17.77	19.39	18.79	23.89	21.96	-
	JS9	15.59	14.03	19.05	18.54	16.80	16.77	20.15	18.78	25.43	21.97
	JS10	22.21	26.23	29.51	24.16	25.53	28.46	20.76	18.47	20.86	29.96
											23.70

ตารางผนวกที่ 3 คุณภาพดินตะกอนบริเวณแนวหันฟ้าทะเลชนิด *Enhalus acoroides* *Halodule pinifolia* *Halophila ovalis* และ *H. decipiens*

ชนิดหญ้าทะเล	สถานี	แอมโมเนียม-ไนโตรเจนในน้ำระห่ำว่างอุ่นภาคดินตะกอน (μM) ตามระดับความลึก (เซนติเมตร)				
		0-1	1-2	2-3	3-4	0-4
<i>Halodule pinifolia</i>	C2	29.33	33.75	101.78	57.87	55.68
	KH1	80.91	133.47	120.25	100.60	108.81
	KH2	530.34	186.57	306.50	208.29	307.92
	KH3	351.01	270.45	450.40	410.18	370.51
	KH4	183.24	190.82	191.22	174.63	184.98
<i>Halophila ovalis</i>	KH5	329.30	160.74	564.86	270.89	331.45
	CS1	841.60	482.73	264.92	241.77	457.75
	CS2	607.44	524.17	303.86	367.43	450.72
	CS3	816.35	361.79	618.61	508.43	576.30
	CS4	735.13	647.56	854.32	652.30	722.33
	CS5	916.28	589.24	461.19	346.44	578.29
<i>Halophila decipiens</i>	CS6	558.15	234.80	277.93	192.85	315.93
	C3	397.56	245.31	204.30	137.49	246.17
	KD1	415.04	181.28	161.74	-	252.69
	KD3	253.37	161.90	111.04	49.17	143.87
	KD4	326.30	125.79	175.71	87.27	178.77
	KD5	693.33	124.67	149.95	305.33	318.32
	KD6	370.73	189.50	112.57	137.62	202.61
	KD7	167.05	101.02	102.08	187.78	139.49
	KD8	133.35	68.90	130.20	155.05	121.88
	KD9	101.63	211.09	99.57	101.01	128.32
	KD10	101.55	113.96	63.22	-	92.91
<i>Cymodocea serrulata</i>	C1	86.99	83.67	49.17	66.30	71.53
ชนิดหญ้าทะเล	สถานี	ชิลิกेट-ชิลิคอนในน้ำระห่ำว่างอุ่นภาคดินตะกอน (μM)				
<i>Halodule pinifolia</i>	C2	11.07	8.92	8.96	8.74	9.42
	KH1	35.63	47.02	47.07	48.33	44.51
	KH2	73.75	36.07	53.59	47.86	52.82
	KH3	61.02	59.55	83.30	72.25	69.03
	KH4	22.52	22.92	22.97	28.84	24.31
	KH5	63.98	35.39	48.14	46.18	48.42

ตารางผนวกที่ 3 (ต่อ)

ชนิดหญ้าทะเล	สถานี	ชิลิกेट-ชิลิกอนในน้ำรำหัวงอนุภาคคินตะกอน (μM) ตามระดับความลึก (เมตร)				
		0-1	1-2	2-3	3-4	0-4
<i>Halophila ovalis</i>	CS1	25.41	11.60	5.64	5.91	12.14
	CS2	24.32	12.37	11.81	11.29	14.94
	CS3	60.48	22.11	30.25	37.00	37.46
	CS4	44.93	30.45	52.97	34.97	40.83
	CS5	86.16	64.03	30.47	39.21	54.97
	CS6	47.60	45.32	30.89	29.47	38.32
<i>Halophila decipiens</i>	C3	11.42	10.80	9.34	10.68	10.56
	KD1	46.45	31.75	20.10	-	32.77
	KD3	23.39	23.00	14.24	11.35	18.00
	KD4	23.17	17.42	17.38	17.27	18.81
	KD5	66.00	11.51	11.54	23.01	28.01
	KD6	41.31	26.25	23.10	31.77	30.61
	KD7	17.80	17.49	11.78	11.56	14.66
	KD8	11.73	11.57	17.17	17.18	14.41
	KD9	23.46	17.20	17.24	11.66	17.39
	KD10	11.72	17.54	11.67	-	13.64
<i>Cymodocea serrulata</i>	C1	27.36	16.58	21.65	32.85	24.61
ชนิดหญ้าทะเล	สถานี	ออร์ฟอสเฟต-ฟอสฟอรัสในน้ำรำหัวงอนุภาคคินตะกอน (μM)				
<i>Halodule pinifolia</i>	C2	0.82	0.83	2.50	1.63	1.45
	KH1	0.44	1.75	1.75	1.80	1.44
	KH2	1.83	1.34	1.33	1.34	1.46
	KH3	0.91	0.89	1.77	1.79	1.34
	KH4	1.26	0.85	0.85	2.58	1.39
	KH5	2.86	1.76	2.69	3.44	2.69
<i>Halophila ovalis</i>	CS1	3.78	1.73	0.84	0.88	1.81
	CS2	0.91	0.92	0.88	nd	0.90
	CS3	9.94	1.49	3.44	1.12	4.00
	CS4	6.06	6.16	16.07	12.73	10.25
	CS5	2.18	2.02	nd	0.79	1.66
	CS6	2.01	1.15	nd	nd	1.58
<i>Halophila decipiens</i>	C3	6.80	4.02	3.09	1.59	3.88
	KD1	8.32	2.76	2.20	-	4.43
	KD3	3.91	1.65	1.09	0.54	1.80
	KD4	3.32	1.11	1.11	0.55	1.52

ตารางผนวกที่ 3 (ต่อ)

ชนิดหญ้าทะเล	สถานี	อัตราไฟ索ฟ์-ฟอสฟอรัสในน้ำระห่ำกว่าองุ่นภาคตินตะกอน (μM) ตามระดับความลึก (เมตร)				
		0-1	1-2	2-3	3-4	0-4
<i>Halophila decipiens</i>	KD5	8.20	1.10	1.65	1.10	3.01
	KD6	7.33	2.23	1.10	1.66	3.08
	KD7	2.27	0.56	0.84	0.83	1.12
	KD8	0.56	0.55	1.09	3.83	1.51
	KD9	1.68	1.64	1.10	1.11	1.38
	KD10	1.12	1.12	0.56	-	0.93
<i>Cymodocea serrulata</i>	C1	2.44	1.65	1.61	1.63	1.83
ชนิดหญ้าทะเล	สถานี	ปริมาณน้ำในดินตะกอน (ร้อยละ)				
<i>Halodule pinifolia</i>	C2	27.35	26.10	25.23	24.64	25.83
	KH1	27.53	25.94	24.72	24.87	25.76
	KH2	28.13	29.76	26.89	25.77	27.64
	KH3	23.74	24.94	24.83	25.08	24.65
	KH4	19.77	20.24	20.45	20.53	20.25
	KH5	42.45	24.30	24.66	21.78	28.30
<i>Halophila ovalis</i>	CS1	23.03	17.53	17.16	18.10	18.95
	CS2	23.66	19.79	18.99	19.68	20.53
	CS3	18.34	18.77	18.94	19.15	18.80
	CS4	20.80	17.92	18.19	16.61	18.38
	CS5	33.33	24.90	21.96	20.63	25.21
	CS6	20.61	20.32	18.86	18.30	19.52
<i>Halophila decipiens</i>	C3	23.30	19.39	17.64	21.91	20.56
	KD1	27.93	26.53	21.45	-	25.31
	KD3	28.05	23.80	23.00	22.54	24.35
	KD4	27.24	25.46	27.63	24.59	26.23
	KD5	35.76	24.34	24.04	23.19	26.83
	KD6	25.18	26.74	23.81	22.75	24.62
	KD7	26.24	23.69	25.02	24.46	24.85
	KD8	28.96	24.57	23.27	22.36	24.79
	KD9	26.52	24.17	23.48	23.10	24.32
	KD10	22.92	25.49	24.83	-	24.41
<i>Cymodocea serrulata</i>	C1	37.18	30.17	29.62	28.61	31.39
ชนิดหญ้าทะเล	สถานี	สารอินทรีย์รวมในดินตะกอน (มิลลิกรัมต่อกิโลกรัมน้ำหนักแห้ง)				
<i>Halodule pinifolia</i>	C2	37.51	38.89	52.03	39.39	41.95
	KH1	30.34	33.04	33.12	33.56	32.52
	KH2	49.17	58.28	80.69	72.67	65.20

ตารางผนวกที่ 3 (ต่อ)

ชนิดหญ้าทะเล	สถานี	สารอินทรีย์รวมในดินตะกอน (มิลลิกรัมต่อกิโลกรัมหนักแห้ง) ตามระดับความลึก (เซนติเมตร)				
		0-1	1-2	2-3	3-4	0-4
<i>Halodule pinifolia</i>	KH3	12.31	14.71	10.68	12.55	12.56
	KH4	13.10	11.48	8.27	13.89	11.69
	KH5	51.51	24.83	59.54	24.58	40.11
<i>Halophila ovalis</i>	CS1	26.95	12.67	14.09	11.85	16.39
	CS2	29.58	18.06	13.53	16.76	19.48
	CS3	19.17	23.40	27.97	26.87	24.35
	CS4	15.49	13.13	13.03	11.39	13.26
	CS5	26.49	25.94	19.59	20.21	23.06
	CS6	18.29	22.77	17.47	21.32	19.96
<i>Halophila decipiens</i>	C3	46.26	43.84	29.18	30.75	37.51
	KD1	41.87	40.87	40.03	-	40.92
	KD3	23.76	23.18	21.39	22.44	22.69
	KD4	25.31	28.21	32.57	30.75	29.21
	KD5	24.74	30.88	25.24	6.29	21.79
	KD6	23.06	25.77	26.39	20.49	23.93
	KD7	20.18	19.86	20.09	26.05	21.55
	KD8	45.23	42.24	36.89	28.16	38.13
	KD9	21.44	43.07	26.13	36.39	31.76
	KD10	32.79	27.00	31.24	-	30.34
<i>Cymodocea serrulata</i>	C1	49.82	43.33	46.74	60.07	49.99

ตารางผนวกที่ 4 องค์ประกอบของดินตะกอนตามชนิดของหญ้าทะเล

ชนิดหญ้าทะเล	ปริมาณดินตะกอน (ร้อยละ) ตามขนาดอนุภาคดินตะกอน (ไมโครเมตร)					
	>1,000	500-1,000	250-500	125-250	63-125	<63
	2.44	0.92	1.01	2.36	67.44	25.83
	4.83	0.49	0.37	1.38	48.00	44.95
	0.50	0.15	0.27	1.27	68.60	29.21
	0.10	0.19	0.18	0.23	72.03	27.27
	0.69	0.50	0.64	1.34	66.70	30.12
	0.86	0.48	0.57	1.01	49.22	47.87
	0.43	0.47	0.54	1.94	67.44	29.19
	42.23	5.27	2.38	1.97	17.98	30.17
	15.01	1.45	1.52	3.30	26.40	52.31
	0.46	0.37	0.52	1.50	59.69	37.45
	0.46	0.41	0.26	1.44	73.86	23.57
	4.43	1.09	0.72	1.35	62.86	29.55
	24.99	1.28	1.23	3.58	33.91	35.02
	0.62	0.54	0.63	0.94	47.54	49.73
	1.19	0.75	0.80	51.11	1.15	45.00
	0.75	0.53	0.51	0.69	65.99	31.52
	0.49	0.56	0.73	1.43	41.33	55.47
<i>Enhalus acoroides</i>	15.04	1.27	0.96	1.63	46.12	34.97
	16.48	2.86	1.65	3.06	27.04	48.92
	0.62	0.48	1.38	6.87	21.47	69.19
	42.90	18.45	11.79	2.36	13.29	11.21
	4.64	1.18	1.85	5.22	46.59	40.53
	0.50	0.50	1.05	6.98	26.98	63.99
	6.52	1.32	0.99	2.94	28.67	59.56
	0.71	0.36	0.52	1.01	50.60	46.80
	0.44	0.26	0.42	1.17	71.41	26.30
	0.42	0.28	0.32	1.56	64.25	33.18
	0.43	0.19	0.36	1.22	68.62	29.18
	0.30	0.38	0.37	9.20	58.42	31.33
	0.20	0.04	0.07	0.42	77.30	21.97
	0.31	0.29	0.31	0.44	77.70	20.94
	0.30	0.25	0.32	0.49	70.97	27.66
	0.20	0.26	0.30	0.45	76.31	22.47
	0.16	0.12	0.07	2.65	64.39	32.62
	0.54	0.29	0.33	8.77	53.24	36.83

ตารางผนวกที่ 4 (ต่อ)

ชนิดหญ้าทะเล	ปริมาณดินตะกอน (ร้อยละ) ตามขนาดอนุภาคดินตะกอน (ไมโครเมตร)					
	>1,000	500-1,000	250-500	125-250	63-125	<63
<i>Enhalus acoroides</i>	3.73	1.03	4.91	65.64	14.62	10.08
	1.86	0.92	1.87	23.65	41.74	29.95
	4.53	1.27	2.02	11.97	9.67	70.54
	0.71	0.78	1.09	4.56	20.12	72.75
<i>Halodule pinifolia</i>	0.65	1.02	6.77	0.25	36.23	55.08
	8.05	3.86	4.18	10.26	10.36	63.28
	0.04	0.28	0.28	0.27	2.81	96.32
	9.92	2.96	2.37	5.53	67.09	12.13
	3.57	1.08	1.26	2.57	30.94	60.58
	0.51	0.56	20.02	71.40	4.63	2.88
<i>Enhalus acoroides/</i> <i>Halodule pinifolia</i>	4.70	1.56	1.15	2.76	10.19	79.65
	3.20	1.22	0.71	1.98	8.21	84.68
	0.82	0.59	1.06	2.77	3.82	90.94
	3.38	1.22	1.80	19.21	13.38	61.01
	8.16	4.90	5.50	8.34	28.34	44.77
	0.66	0.55	0.58	2.19	37.88	58.15
	2.24	0.95	11.06	54.27	13.59	17.90
	0.28	0.52	0.80	12.75	63.81	21.84
	4.18	2.39	1.93	4.09	8.22	79.20
	0.54	0.41	0.51	1.97	6.81	89.76
	0.27	0.36	0.33	1.26	6.17	91.61
	0.59	0.33	0.35	1.32	6.46	90.96
	4.51	1.16	3.44	50.57	11.92	28.39
	4.22	1.30	5.54	39.88	11.35	37.72
<i>Halophila ovalis</i>	2.09	0.61	1.85	32.93	13.04	49.46
	2.68	0.82	2.35	17.75	38.84	37.56
	30.39	21.69	31.24	8.32	2.74	5.61
	22.56	14.97	15.81	10.25	4.90	31.51
	22.87	19.64	20.74	16.78	5.09	14.88
	15.68	21.32	30.72	21.36	5.25	5.68
	9.24	8.66	20.88	31.06	15.29	14.87
	21.05	16.94	20.68	19.49	11.49	10.35
	5.95	39.92	47.35	0.82	0.11	5.85
	31.31	30.07	28.17	4.29	1.54	4.62
	13.93	27.78	36.13	14.95	2.37	4.84
	9.75	31.46	44.37	8.75	0.43	5.23

ตารางผนวกที่ 4 (ต่อ)

ชนิดหญ้าทะเล	ปริมาณดินตะกอน (ร้อยละ) ตามขนาดอนุภาคดินตะกอน (ไมโครเมตร)					
	>1,000	500-1,000	250-500	125-250	63-125	<63
<i>Halophila decipiens</i>	7.40	2.31	1.36	4.63	51.22	33.08
	4.89	1.07	2.07	5.51	66.72	19.73
	0.33	0.36	0.36	0.92	54.61	43.42
	0.19	0.24	0.35	0.94	42.94	55.34
	0.36	0.68	1.40	1.84	60.80	34.92
	0.28	0.48	0.66	2.25	52.72	43.61
	0.58	1.22	1.53	2.92	63.13	30.62
	0.91	0.25	0.32	0.87	47.44	50.21
	0.89	1.34	2.21	3.29	48.60	43.68
	0.73	0.72	0.81	2.23	62.92	32.58
<i>Cymodocea serrulata</i>	0.42	0.57	0.45	1.51	48.42	48.63
	0.31	0.16	0.44	5.38	65.59	28.11
	39.92	35.09	18.66	3.60	0.34	2.39
<i>Cymodocea serrulata</i>	1.74	18.93	50.36	17.67	2.60	8.71

ตารางผนวกที่ 5 มวลชีวภาพของหญ้าทะเลที่พบในประเทศไทยตั้งแต่ปี พ.ศ. 2531-2546

ชนิดหญ้าทะเล	มวลชีวภาพ (g.m ⁻²)	สถานที่	ปีที่ทำการศึกษา	ที่มา
<i>Cymodocea serrulata</i>	20.12	อ่าวทับกระดู จ.พังงา	2532-2534	กาญจนกานธ์และคณะ (2534)
	51.16	อ่าวทับกระดู จ.พังงา	2532-2534	กาญจนกานธ์และคณะ (2534)
	76.28	อ่าวทับกระดู จ.พังงา	2532-2534	กาญจนกานธ์และคณะ (2534)
	151.28	อ่าวทับกระดู จ.พังงา	2532-2534	กาญจนกานธ์และคณะ (2534)
	155.68	อ่าวทับกระดู จ.พังงา	2532-2534	กาญจนกานธ์และคณะ (2534)
	193.72	อ่าวทับกระดู จ.พังงา	2532-2534	กาญจนกานธ์และคณะ (2534)
	198.12	อ่าวทับกระดู จ.พังงา	2532-2534	กาญจนกานธ์และคณะ (2534)
	213.72	อ่าวทับกระดู จ.พังงา	2532-2534	กาญจนกานธ์และคณะ (2534)
	292.76	อ่าวทับกระดู จ.พังงา	2532-2534	กาญจนกานธ์และคณะ (2534)
	300.96	อ่าวทับกระดู จ.พังงา	2532-2534	กาญจนกานธ์และคณะ (2534)
	384.28	อ่าวทับกระดู จ.พังงา	2532-2534	กาญจนกานธ์และคณะ (2534)
	0.73	อ่าวพังงา จ.พังงา	2531	สมบัด (2531)
	151.28	อ่าวทับกระดู จ.พังงา	2533-2534	อัจฉริย์ (2536)
	155.68	อ่าวทับกระดู จ.พังงา	2533-2534	อัจฉริย์ (2536)
<i>Enhalus acoroides</i>	198.12	อ่าวทับกระดู จ.พังงา	2533-2534	อัจฉริย์ (2536)
	20.12	อ่าวทับกระดู จ.พังงา	2533-2534	อัจฉริย์ (2536)
	213.72	อ่าวทับกระดู จ.พังงา	2533-2534	อัจฉริย์ (2536)
	292.76	อ่าวทับกระดู จ.พังงา	2533-2534	อัจฉริย์ (2536)
	300.96	อ่าวทับกระดู จ.พังงา	2533-2534	อัจฉริย์ (2536)
	384.28	อ่าวทับกระดู จ.พังงา	2533-2534	อัจฉริย์ (2536)
	51.60	อ่าวทับกระดู จ.พังงา	2533-2534	อัจฉริย์ (2536)
	51.60	อ่าวทับกระดู จ.พังงา	2532-2534	กาญจนกานธ์และคณะ (2534)
	6.00	อ่าวทับกระดู จ.พังงา	2533-2534	อัจฉริย์ (2536)
	6.00	อ่าวทับกระดู จ.พังงา	2532-2534	กาญจนกานธ์และคณะ (2534)
	223.40	อ่าวพังงา จ.พังงา	2531	สมบัด (2531)
	65.86	อ่าวพังงา จ.พังงา	2531	สมบัด (2531)
	146.16	อ่าวทับกระดู จ.พังงา	2532-2534	กาญจนกานธ์และคณะ (2534)
	276.68	อ่าวทับกระดู จ.พังงา	2532-2534	กาญจนกานธ์และคณะ (2534)
	346.36	อ่าวทับกระดู จ.พังงา	2532-2534	กาญจนกานธ์และคณะ (2534)
	394.76	อ่าวทับกระดู จ.พังงา	2532-2534	กาญจนกานธ์และคณะ (2534)
	478.28	อ่าวทับกระดู จ.พังงา	2532-2534	กาญจนกานธ์และคณะ (2534)
	519.92	อ่าวทับกระดู จ.พังงา	2532-2534	กาญจนกานธ์และคณะ (2534)
	629.16	อ่าวทับกระดู จ.พังงา	2532-2534	กาญจนกานธ์และคณะ (2534)
	665.12	อ่าวทับกระดู จ.พังงา	2532-2534	กาญจนกานธ์และคณะ (2534)
	674.16	อ่าวทับกระดู จ.พังงา	2532-2534	กาญจนกานธ์และคณะ (2534)
	680.24	อ่าวทับกระดู จ.พังงา	2532-2534	กาญจนกานธ์และคณะ (2534)
	783.08	อ่าวทับกระดู จ.พังงา	2532-2534	กาญจนกานธ์และคณะ (2534)

ตารางผนวกที่ 5 (ต่อ)

ชนิดหญ้าทะเล	มวลชีวภาพ (g.m^{-2})	สถานที่	ปีที่ทำการศึกษา	ที่มา
	810.16	อ่าวทับละมุ จ.พังงา	2532-2534	กาญจนภานุ์และคณะ (2534)
	146.16	อ่าวทับละมุ จ.พังงา	2533-2534	อัจฉริย์ (2536)
	276.68	อ่าวทับละมุ จ.พังงา	2533-2534	อัจฉริย์ (2536)
	346.36	อ่าวทับละมุ จ.พังงา	2533-2534	อัจฉริย์ (2536)
	394.76	อ่าวทับละมุ จ.พังงา	2533-2534	อัจฉริย์ (2536)
	478.28	อ่าวทับละมุ จ.พังงา	2533-2534	อัจฉริย์ (2536)
	519.92	อ่าวทับละมุ จ.พังงา	2533-2534	อัจฉริย์ (2536)
	665.12	อ่าวทับละมุ จ.พังงา	2533-2534	อัจฉริย์ (2536)
	674.16	อ่าวทับละมุ จ.พังงา	2533-2534	อัจฉริย์ (2536)
	783.08	อ่าวทับละมุ จ.พังงา	2533-2534	อัจฉริย์ (2536)
	810.16	อ่าวทับละมุ จ.พังงา	2533-2534	อัจฉริย์ (2536)
	105.10	อ่าวคุ้งกระเบน จ.จันทบุรี	2535	จิตติมา (2535)
	137.10	อ่าวคุ้งกระเบน จ.จันทบุรี	2535	จิตติมา (2535)
	144.00	อ่าวคุ้งกระเบน จ.จันทบุรี	2535	จิตติมา (2535)
	827.00	อ่าวคุ้งกระเบน จ.จันทบุรี	2538-2539	Vichkovitten (1998)
	121.22	อ่าวคุ้งกระเบน จ.จันทบุรี	2545-2546	ศุรีษพร (2548)
	148.10	อ่าวคุ้งกระเบน จ.จันทบุรี	2545-2546	ศุรีษพร (2548)
	157.04	อ่าวคุ้งกระเบน จ.จันทบุรี	2545-2546	ศุรีษพร (2548)
<i>Enhalus acoroides</i>	168.56	อ่าวคุ้งกระเบน จ.จันทบุรี	2545-2546	ศุรีษพร (2548)
	198.14	อ่าวคุ้งกระเบน จ.จันทบุรี	2545-2546	ศุรีษพร (2548)
	198.90	อ่าวคุ้งกระเบน จ.จันทบุรี	2545-2546	ศุรีษพร (2548)
	210.56	อ่าวคุ้งกระเบน จ.จันทบุรี	2545-2546	ศุรีษพร (2548)
	217.70	อ่าวคุ้งกระเบน จ.จันทบุรี	2545-2546	ศุรีษพร (2548)
	243.28	อ่าวคุ้งกระเบน จ.จันทบุรี	2545-2546	ศุรีษพร (2548)
	247.66	อ่าวคุ้งกระเบน จ.จันทบุรี	2545-2546	ศุรีษพร (2548)
	250.76	อ่าวคุ้งกระเบน จ.จันทบุรี	2545-2546	ศุรีษพร (2548)
	277.46	อ่าวคุ้งกระเบน จ.จันทบุรี	2545-2546	ศุรีษพร (2548)
	293.92	อ่าวคุ้งกระเบน จ.จันทบุรี	2545-2546	ศุรีษพร (2548)
	296.88	อ่าวคุ้งกระเบน จ.จันทบุรี	2545-2546	ศุรีษพร (2548)
	317.14	อ่าวคุ้งกระเบน จ.จันทบุรี	2545-2546	ศุรีษพร (2548)
	356.00	อ่าวคุ้งกระเบน จ.จันทบุรี	2545-2546	ศุรีษพร (2548)
	358.50	อ่าวคุ้งกระเบน จ.จันทบุรี	2545-2546	ศุรีษพร (2548)
	412.24	อ่าวคุ้งกระเบน จ.จันทบุรี	2545-2546	ศุรีษพร (2548)
	420.08	อ่าวคุ้งกระเบน จ.จันทบุรี	2545-2546	ศุรีษพร (2548)
	421.38	อ่าวคุ้งกระเบน จ.จันทบุรี	2545-2546	ศุรีษพร (2548)
	447.82	อ่าวคุ้งกระเบน จ.จันทบุรี	2545-2546	ศุรีษพร (2548)
	502.40	อ่าวคุ้งกระเบน จ.จันทบุรี	2545-2546	ศุรีษพร (2548)

ตารางผนวกที่ 5 (ต่อ)

ชนิดหญ้าทะเล	มวลชีวภาพ (g.m^{-2})	สถานที่	ปีที่ทำการศึกษา	ที่มา
<i>Enhalus acoroides</i>	557.36	อ่าวคุ้งกระเบน จ.จันทบุรี	2545-2546	ศูรีษัพ (2548)
	574.32	อ่าวคุ้งกระเบน จ.จันทบุรี	2545-2546	ศูรีษัพ (2548)
	585.12	อ่าวคุ้งกระเบน จ.จันทบุรี	2545-2546	ศูรีษัพ (2548)
	659.12	อ่าวคุ้งกระเบน จ.จันทบุรี	2545-2546	ศูรีษัพ (2548)
	660.24	อ่าวคุ้งกระเบน จ.จันทบุรี	2545-2546	ศูรีษัพ (2548)
	734.48	อ่าวคุ้งกระเบน จ.จันทบุรี	2545-2546	ศูรีษัพ (2548)
	750.88	อ่าวคุ้งกระเบน จ.จันทบุรี	2545-2546	ศูรีษัพ (2548)
	780.16	อ่าวคุ้งกระเบน จ.จันทบุรี	2545-2546	ศูรีษัพ (2548)
	868.88	อ่าวคุ้งกระเบน จ.จันทบุรี	2545-2546	ศูรีษัพ (2548)
<i>Halodule wrightii</i>	4.84	อ่าวทับละมุ จ.พังงา	2532-2534	กาญจนภานุและคณะ (2534)
	5.12	อ่าวทับละมุ จ.พังงา	2532-2534	กาญจนภานุและคณะ (2534)
	21.84	อ่าวทับละมุ จ.พังงา	2532-2534	กาญจนภานุและคณะ (2534)
	25.52	อ่าวทับละมุ จ.พังงา	2532-2534	กาญจนภานุและคณะ (2534)
	28.84	อ่าวทับละมุ จ.พังงา	2532-2534	กาญจนภานุและคณะ (2534)
	51.16	อ่าวทับละมุ จ.พังงา	2532-2534	กาญจนภานุและคณะ (2534)
	54.72	อ่าวทับละมุ จ.พังงา	2532-2534	กาญจนภานุและคณะ (2534)
	102.84	อ่าวทับละมุ จ.พังงา	2532-2534	กาญจนภานุและคณะ (2534)
	153.28	อ่าวทับละมุ จ.พังงา	2532-2534	กาญจนภานุและคณะ (2534)
	200.96	อ่าวทับละมุ จ.พังงา	2532-2534	กาญจนภานุและคณะ (2534)
	327.96	อ่าวทับละมุ จ.พังงา	2532-2534	กาญจนภานุและคณะ (2534)
	10.00	อ่าวคุ้งกระเบน จ.จันทบุรี	2535	จิตติมา (2535)
	10.16	อ่าวคุ้งกระเบน จ.จันทบุรี	2545-2546	ศูรีษัพ (2548)
	103.44	อ่าวคุ้งกระเบน จ.จันทบุรี	2545-2546	ศูรีษัพ (2548)
	120.00	อ่าวคุ้งกระเบน จ.จันทบุรี	2545-2546	ศูรีษัพ (2548)
	124.32	อ่าวคุ้งกระเบน จ.จันทบุรี	2545-2546	ศูรีษัพ (2548)
	13.42	อ่าวคุ้งกระเบน จ.จันทบุรี	2545-2546	ศูรีษัพ (2548)
	143.76	อ่าวคุ้งกระเบน จ.จันทบุรี	2545-2546	ศูรีษัพ (2548)
	17.10	อ่าวคุ้งกระเบน จ.จันทบุรี	2535	จิตติมา (2535)
	171.28	อ่าวคุ้งกระเบน จ.จันทบุรี	2545-2546	ศูรีษัพ (2548)
	18.00	อ่าวทับละมุ จ.พังงา	2533-2534	อัจฉริย์ (2536)
	18.00	อ่าวทับละมุ จ.พังงา	2532-2534	กาญจนภานุและคณะ (2534)
	20.40	อ่าวคุ้งกระเบน จ.จันทบุรี	2535	จิตติมา (2535)
	20.92	อ่าวคุ้งกระเบน จ.จันทบุรี	2545-2546	ศูรีษัพ (2548)
	200.96	อ่าวทับละมุ จ.พังงา	2533-2534	อัจฉริย์ (2536)
	205.36	อ่าวคุ้งกระเบน จ.จันทบุรี	2545-2546	ศูรีษัพ (2548)
	21.84	อ่าวทับละมุ จ.พังงา	2533-2534	อัจฉริย์ (2536)
	22.24	อ่าวคุ้งกระเบน จ.จันทบุรี	2545-2546	ศูรีษัพ (2548)

ตารางผนวกที่ 5 (ต่อ)

ชนิดหญ้าทะเล	มวลชีวภาพ (g.m^{-2})	สถานที่	ปีที่ทำการศึกษา	ที่มา
<i>Halodule pinifolia</i>	221.20	อ่าวทับกระดุม จ.พังงา	2533-2534	อัจฉริย์ (2536)
	221.20	อ่าวทับกระดุม จ.พังงา	2532-2534	กาญจนกานธ์และคณะ (2534)
	23.36	อ่าวคุ้งกระเบน จ.จันทบุรี	2545-2546	ศุรีษพร (2548)
	23.92	อ่าวคุ้งกระเบน จ.จันทบุรี	2545-2546	ศุรีษพร (2548)
	25.24	อ่าวคุ้งกระเบน จ.จันทบุรี	2545-2546	ศุรีษพร (2548)
	25.52	อ่าวทับกระดุม จ.พังงา	2533-2534	อัจฉริย์ (2536)
	25.60	อ่าวคุ้งกระเบน จ.จันทบุรี	2535	จิตติมา (2535)
	28.88	อ่าวคุ้งกระเบน จ.จันทบุรี	2545-2546	ศุรีษพร (2548)
	295.44	อ่าวคุ้งกระเบน จ.จันทบุรี	2545-2546	ศุรีษพร (2548)
	3.80	อ่าวคุ้งกระเบน จ.จันทบุรี	2535	จิตติมา (2535)
	307.92	อ่าวคุ้งกระเบน จ.จันทบุรี	2545-2546	ศุรีษพร (2548)
	327.96	อ่าวทับกระดุม จ.พังงา	2533-2534	อัจฉริย์ (2536)
	33.74	อ่าวคุ้งกระเบน จ.จันทบุรี	2545-2546	ศุรีษพร (2548)
	337.76	อ่าวคุ้งกระเบน จ.จันทบุรี	2545-2546	ศุรีษพร (2548)
	4.84	อ่าวทับกระดุม จ.พังงา	2533-2534	อัจฉริย์ (2536)
	4.98	อ่าวคุ้งกระเบน จ.จันทบุรี	2545-2546	ศุรีษพร (2548)
	42.00	อ่าวคุ้งกระเบน จ.จันทบุรี	2535	จิตติมา (2535)
	44.52	อ่าวคุ้งกระเบน จ.จันทบุรี	2545-2546	ศุรีษพร (2548)
	5.10	อ่าวคุ้งกระเบน จ.จันทบุรี	2535	จิตติมา (2535)
	5.12	อ่าวทับกระดุม จ.พังงา	2533-2534	อัจฉริย์ (2536)
	5.14	อ่าวคุ้งกระเบน จ.จันทบุรี	2545-2546	ศุรีษพร (2548)
<i>Halodule uninervis</i>	51.16	อ่าวทับกระดุม จ.พังงา	2533-2534	อัจฉริย์ (2536)
	54.72	อ่าวทับกระดุม จ.พังงา	2533-2534	อัจฉริย์ (2536)
	56.20	อ่าวคุ้งกระเบน จ.จันทบุรี	2545-2546	ศุรีษพร (2548)
	56.80	อ่าวคุ้งกระเบน จ.จันทบุรี	2545-2546	ศุรีษพร (2548)
	6.00	อ่าวคุ้งกระเบน จ.จันทบุรี	2535	จิตติมา (2535)
	6.34	อ่าวคุ้งกระเบน จ.จันทบุรี	2545-2546	ศุรีษพร (2548)
	6.74	อ่าวคุ้งกระเบน จ.จันทบุรี	2545-2546	ศุรีษพร (2548)
<i>Halodule uninervis</i>	64.64	อ่าวคุ้งกระเบน จ.จันทบุรี	2545-2546	ศุรีษพร (2548)
	7.52	อ่าวคุ้งกระเบน จ.จันทบุรี	2545-2546	ศุรีษพร (2548)
	8.76	อ่าวคุ้งกระเบน จ.จันทบุรี	2545-2546	ศุรีษพร (2548)
	8.80	อ่าวคุ้งกระเบน จ.จันทบุรี	2545-2546	ศุรีษพร (2548)
	85.20	อ่าวคุ้งกระเบน จ.จันทบุรี	2545-2546	ศุรีษพร (2548)
	97.28	อ่าวคุ้งกระเบน จ.จันทบุรี	2545-2546	ศุรีษพร (2548)
	11.84	อ่าวทับกระดุม จ.พังงา	2532-2534	กาญจนกานธ์และคณะ (2534)
<i>Halodule uninervis</i>	49.64	อ่าวทับกระดุม จ.พังงา	2532-2534	กาญจนกานธ์และคณะ (2534)
	58.16	อ่าวทับกระดุม จ.พังงา	2532-2534	กาญจนกานธ์และคณะ (2534)

ตารางผนวกที่ 5 (ต่อ)

ชนิดหญ้าทะเล	มวลชีวภาพ (g.m^{-2})	สถานที่	ปีที่ทำการศึกษา	ที่มา
<i>Halodule uninervis</i>	71.72	อ่าวทับกระดู จ.พังงา	2532-2534	กาญจนภำพน์และคณะ (2534)
	121.96	อ่าวทับกระดู จ.พังงา	2532-2534	กาญจนภำพน์และคณะ (2534)
	138.64	อ่าวทับกระดู จ.พังงา	2532-2534	กาญจนภำพน์และคณะ (2534)
	201.24	อ่าวทับกระดู จ.พังงา	2532-2534	กาญจนภำพน์และคณะ (2534)
	242.8	อ่าวทับกระดู จ.พังงา	2532-2534	กาญจนภำพน์และคณะ (2534)
	375.56	อ่าวทับกระดู จ.พังงา	2532-2534	กาญจนภำพน์และคณะ (2534)
	1.68	อ่าวพังงา จ.พังงา	2531	สมบัติ (2531)
	11.84	อ่าวทับกระดู จ.พังงา	2533-2534	อัจฉริย์ (2536)
	121.96	อ่าวทับกระดู จ.พังงา	2533-2534	อัจฉริย์ (2536)
	138.64	อ่าวทับกระดู จ.พังงา	2533-2534	อัจฉริย์ (2536)
	169.20	อ่าวทับกระดู จ.พังงา	2532-2534	กาญจนภำพน์และคณะ (2534)
	201.24	อ่าวทับกระดู จ.พังงา	2533-2534	อัจฉริย์ (2536)
	241.40	อ่าวทับกระดู จ.พังงา	2533-2534	อัจฉริย์ (2536)
	241.40	อ่าวทับกระดู จ.พังงา	2532-2534	กาญจนภำพน์และคณะ (2534)
<i>Halophila ovalis</i>	242.80	อ่าวทับกระดู จ.พังงา	2533-2534	อัจฉริย์ (2536)
	51.00	อ่าวทับกระดู จ.พังงา	2533-2534	อัจฉริย์ (2536)
	51.00	อ่าวทับกระดู จ.พังงา	2532-2534	กาญจนภำพน์และคณะ (2534)
	58.16	อ่าวทับกระดู จ.พังงา	2533-2534	อัจฉริย์ (2536)
	6.40	อ่าวทับกระดู จ.พังงา	2533-2534	อัจฉริย์ (2536)
	6.40	อ่าวทับกระดู จ.พังงา	2532-2534	กาญจนภำพน์และคณะ (2534)
	71.72	อ่าวทับกระดู จ.พังงา	2533-2534	อัจฉริย์ (2536)
	0.28	อ่าวทับกระดู จ.พังงา	2532-2534	กาญจนภำพน์และคณะ (2534)
	1.32	อ่าวทับกระดู จ.พังงา	2532-2534	กาญจนภำพน์และคณะ (2534)
	1.52	อ่าวทับกระดู จ.พังงา	2532-2534	กาญจนภำพน์และคณะ (2534)
	10.48	อ่าวทับกระดู จ.พังงา	2532-2534	กาญจนภำพน์และคณะ (2534)
	11.81	อ่าวบางพระ จ.ชลบุรี	2546	จำลอง (2546)
	23.36	อ่าวทับกระดู จ.พังงา	2532-2534	กาญจนภำพน์และคณะ (2534)
	41.76	อ่าวทับกระดู จ.พังงา	2532-2534	กาญจนภำพน์และคณะ (2534)
	62.71	อ่าวบางพระ จ.ชลบุรี	2546	จำลอง (2546)
	73.24	อ่าวทับกระดู จ.พังงา	2532-2534	กาญจนภำพน์และคณะ (2534)
	113.6	อ่าวทับกระดู จ.พังงา	2532-2534	กาญจนภำพน์และคณะ (2534)
	181.24	อ่าวทับกระดู จ.พังงา	2532-2534	กาญจนภำพน์และคณะ (2534)
	0.28	อ่าวทับกระดู จ.พังงา	2533-2534	อัจฉริย์ (2536)
	1.52	อ่าวทับกระดู จ.พังงา	2533-2534	อัจฉริย์ (2536)
	113.60	อ่าวทับกระดู จ.พังงา	2533-2534	อัจฉริย์ (2536)
	14.1	อ่าวพังงา จ.พังงา	2531	สมบัติ (2531)
	17.68	อ่าวพังงา จ.พังงา	2531	สมบัติ (2531)

ตารางผนวกที่ 5 (ต่อ)

ชนิดหญ้าทะเล	มวลชีวภาพ (g.m^{-2})	สถานที่	ปีที่ทำการศึกษา	ที่มา
	181.24	อ่าวทับกระดุม จ.พัชฯ	2533-2534	อัจฉริย์ (2536)
	22.80	อ่าวทับกระดุม จ.พัชฯ	2533-2534	อัจฉริย์ (2536)
	22.80	อ่าวทับกระดุม จ.พัชฯ	2532-2534	กาญจนภานน์และคณะ (2534)
	3.40	อ่าวทับกระดุม จ.พัชฯ	2533-2534	อัจฉริย์ (2536)
	3.40	อ่าวทับกระดุม จ.พัชฯ	2532-2534	กาญจนภานน์และคณะ (2534)
<i>Halophila ovalis</i>	34.85	อ่าวพังงา จ.พัชฯ	2531	สมบัติ (2531)
	41.76	อ่าวทับกระดุม จ.พัชฯ	2533-2534	อัจฉริย์ (2536)
	43.78	อ่าวพังงา จ.พัชฯ	2531	สมบัติ (2531)
	5.80	อ่าวทับกระดุม จ.พัชฯ	2533-2534	อัจฉริย์ (2536)
	5.80	อ่าวทับกระดุม จ.พัชฯ	2532-2534	กาญจนภานน์และคณะ (2534)
	73.24	อ่าวทับกระดุม จ.พัชฯ	2533-2534	อัจฉริย์ (2536)